

สำนักหอสมุดกลาง พระจอมเกล้าลาดกระบัง

การทำโปรแกรมชิ้นงาน CNC แบบเชิงโต้ตอบ

INTERACTIVE CNC PART PROGRAMMING



อพ.  
ร 3567  
2548

เลขหมู่.....  
เลขทะเบียน.....**60252**  
วัน,เดือน,ปี...**27 ส.ย. 2549**

b. **11525616**  
i.....

วิทยานิพนธ์นี้เป็นส่วนหนึ่งของการศึกษาตามหลักสูตรปริญญาวิศวกรรมศาสตรมหาบัณฑิต  
สาขาวิชาวิศวกรรมเครื่องกล  
บัณฑิตวิทยาลัย

สถาบันเทคโนโลยีพระจอมเกล้าเจ้าคุณทหารลาดกระบัง

พ.ศ. 2548

เอกสารนี้เป็นเอกสารที่สงวนไว้สำหรับการใช้ ISBN 974-15-1986-9 นั้น ไม่อนุญาตให้นำไปใช้ประโยชน์ด้านการค้า  
ไม่ว่ากรณีใดๆ ทั้งสิ้น อีกทั้งห้ามมิให้ดัดแปลงเนื้อหา และต้องอ้างอิงถึงเจ้าของเอกสารทุกครั้งที่มีการนำไปใช้

# INTERACTIVE CNC PART PROGRAMMING



A THESIS SUMITTED IN PARTIAL FULFILLMENT  
OF THE REQUIREMENT FOR THE DEGREE OF  
MASTER OF ENGINEERING IN MECHANICAL ENGINEERING  
SCHOOL OF GRADUATE STUDIES  
KING MONGKUT'S INSTITUTE OF TECHNOLOGY LADKRABANG

2005

เอกสารนี้เป็นเอกสารที่สงวนไว้สำหรับการใช้ภายในที่ออกจากรีจิสทรีเท่านั้น ไม่อนุญาตให้นำไปใช้ประโยชน์ด้านการค้า  
ไม่ว่ากรณีใดๆ ทั้งสิ้น อีกทั้งห้ามมิให้ดัดแปลงเนื้อหา และต้องอ้างอิงถึงเจ้าของเอกสารทุกครั้งที่มีการนำไปใช้

ISBN 974-15-1986-9



**COPYRIGHT 2005**

**SCHOOL OF GRADUATE STUDIES**

**KING MONGKUT'S INSTITUTE OF TECHNOLOGY LADKRABANG**

เอกสารนี้เป็นเอกสารที่สงวนลิขสิทธิ์ไว้เพื่อการศึกษาเท่านั้น เมื่อผู้ใดเห็นนำไปใช้ประโยชน์ด้านการค้า

ไม่ว่ากรณีใดๆ ทั้งสิ้น อีกทั้งห้ามมิให้ดัดแปลงเนื้อหา และต้องอ้างอิงถึงเจ้าของเอกสารทุกครั้งที่มีการนำไปใช้

หัวข้อวิทยานิพนธ์	การทำโปรแกรมชิ้นงาน CNC แบบเชิงโต้ตอบ
นักศึกษา	นายรัฐพล นวมพิพัฒน์
รหัสนักศึกษา	44611533
ปริญญา	วิศวกรรมศาสตรมหาบัณฑิต
สาขาวิชา	วิศวกรรมเครื่องกล
พ.ศ.	2548
อาจารย์ผู้ควบคุมวิทยานิพนธ์	รศ.ทวี เทศเจริญ

### บทคัดย่อ

ในการศึกษานี้จะเป็นการประยุกต์ใช้การทำข้อมูลแบบลวงหน้าอย่างง่ายโดยอาศัยการโปรแกรมชิ้นงานแบบพารามิเตอร์มาช่วยในการจัดทำโปรแกรมชิ้นงาน CNC แบบเชิงโต้ตอบสำหรับรูปทรงเรขาคณิตพื้นฐานแบบ 2 มิติและเฟืองตรงที่มีขนาดเส้นผ่าศูนย์กลางขอดี้นน้อยกว่า 400 มิลลิเมตรซึ่งช่วยให้สามารถทำโปรแกรมได้ง่าย และยังช่วยให้สามารถจัดเตรียมสิ่งอำนวยความสะดวกต่างๆ เพื่อให้มีศักยภาพในการรองรับการประยุกต์ใช้งานด้านต่างๆ ของอุตสาหกรรมได้อีกด้วย

การโปรแกรมชิ้นงานแบบพารามิเตอร์ (Parametrical part programming) สามารถนำมาประยุกต์ใช้เพื่อเตรียมข้อมูลเชิงตัวเลขได้อย่างมีประสิทธิภาพเพราะสามารถเตรียมสิ่งอำนวยความสะดวกต่างๆ ได้มาก ซึ่งเป็นผลดีต่อระดับการสื่อสารข้อมูลเชิงตัวเลขระหว่างคอมพิวเตอร์กับเครื่องจักร CNC นอกจากนี้การโปรแกรมชิ้นงานแบบพารามิเตอร์สามารถพัฒนารูปแบบการทำงานโดยผู้ปฏิบัติการเองและยังสามารถปรับแต่งให้เข้ากับรูปแบบปัญหาที่เกิดขึ้นจริงในการบวนการผลิต

<b>Thesis Title</b>	Interactive CNC Part Programming
<b>Student</b>	Mr. Rattapol noumpipat
<b>Student ID.</b>	44611533
<b>Degree</b>	Master of Engineering
<b>Program</b>	Mechanical Engineering
<b>Year</b>	2005
<b>Thesis Advisor</b>	Assoc.Prof.Thavee Teschareon

### ABSTRACT

The main objective of this study is to explain how interactive CNC part programming can be generated from parametrical part programming method on PC level (or off line programming) for 2 dimension of basic geometry and spur gear(outside diameter less than 400 mm.)

By this technique, we are able to get less time for program preparation, less human interventions, thus, resulting in less mistakes, and smoother throughput of programs, data, and worksheets. The system is constructive and based on skilled experiences that results in a high flexibility for the user, and can be implemented in any manufacturing process, for small batch or large scale production.

Parametrical part programming can be developed to prepare numerical data effective, and offers a wide range of potential industrial applications, provides a lot of faculties at both PC and controller level. Parametrical part programs can be developed by the user himself and tailored to his manufacturing problems.

## กิตติกรรมประกาศ

วิทยานิพนธ์ฉบับนี้สำเร็จได้เนื่องมาจากคำแนะนำ การสนับสนุน รวมถึงการให้กำลังใจในการค้นคว้าวิจัยจากคณาจารย์ผู้ควบคุมวิทยานิพนธ์ คือ รศ.ทวิ เทศเจริญ ผู้วิจัยผู้ศึกษาซึ่งและเป็นเกียรติอย่างสูงในความอนุเคราะห์ของท่านและขอกราบขอบพระคุณเป็นอย่างสูงมา ณ. ที่นี้

ผู้วิจัยขอขอบพระคุณ คุณบุญชู ติลาขจรจิต นักวิชาการ สถาบันวิจัยวิทยาศาสตร์และเทคโนโลยีแห่งประเทศไทย (วว.) ที่เป็นทั้งรุ่นพี่และเป็นพี่ที่ปรึกษาในเรื่องต่างๆ รวมถึงเป็นครูที่แนะนำเทคนิคการเขียนโปรแกรมภาษาเบสิกให้แก่ผู้วิจัยในการนำมาประยุกต์ใช้กับโปรแกรมวิซวลเบสิกในวิทยานิพนธ์ฉบับนี้

ผู้วิจัยขอขอบคุณ ผอ.ยุทธนา คันทิววัฒน์ ผอ.ฝ่ายวิศวกรรม และนายบุญสืบ ราชรัตนรักษ์ นักวิชาการประจำฝ่ายวิศวกรรม สถาบันวิจัยวิทยาศาสตร์และเทคโนโลยีแห่งประเทศไทย (วว.) ที่ได้ให้ความอนุเคราะห์ให้ใช้สถานที่ เครื่องจักรและเครื่องมือองงานวิจัยสำเร็จลุล่วงได้ด้วยดี

ผู้วิจัยหวังว่าวิทยานิพนธ์ฉบับนี้จะมีประโยชน์แก่ผู้ที่สนใจโดยทั่วไป ซึ่งคุณค่าที่พึงจะมีได้ในวิทยานิพนธ์ฉบับนี้ ผู้เขียนขออุทิศส่วนที่ดั่งมานี้ให้แก่บิดา มารดา ที่ล่วงลับไปแล้ว ซึ่งเป็นผู้ที่สนับสนุนการเรียนรู้ในทุกๆ ด้านให้แก่ผู้วิจัย และหากมีสิ่งใดบกพร่องผู้วิจัยขอน้อมรับความผิดพลาดแต่เพียงผู้เดียว

รัฐพล นวมพิพัฒน์

# สารบัญ

	หน้า
บทคัดย่อภาษาไทย .....	I
บทคัดย่อภาษาอังกฤษ .....	II
กิตติกรรมประกาศ .....	III
สารบัญ .....	IV
สารบัญตาราง .....	VI
สารบัญรูป .....	VII
รายการคำย่อและสัญลักษณ์ .....	IX
บทที่ 1 บทนำ.....	1
1.1 ความเป็นมาและความสำคัญของปัญหา .....	1
1.2 ความมุ่งหมายและวัตถุประสงค์ของการศึกษา .....	2
1.3 สมมติฐานของการศึกษา.....	3
1.4 ทฤษฎีหรือแนวความคิดในการวิจัย.....	3
1.6 ขอบเขตการวิจัย .....	4
1.7 ขั้นตอนของการศึกษา .....	5
บทที่ 2 ทฤษฎีแนวความคิดพื้นฐาน .....	6
2.1 บทนำ.....	6
2.2 ระบบของเครื่องจักร CNC.....	7
2.3 ระบบแกนเครื่องจักร(Machine axis).....	13
2.4 ระบบพิกัดบอกตำแหน่ง (Coordinate systems).....	15
2.5 ระบบการเคลื่อนที่มีดัดของเครื่องจักรCNC.....	20
2.6 ระบบพิกัดอ้างอิง.....	20
2.7 ทฤษฎีการทำงานของเครื่องกัด CNC.....	20
2.8 การโปรแกรม CNC.....	27
2.9 คอมพิวเตอร์ช่วยงานออกแบบ(Computer Aided Design: CAD) .....	28
2.10 คอมพิวเตอร์ช่วยงานการผลิต(Computer Aided Manufacturing : CAM).....	29
บทที่ 3 สมการพาราเมตริก .....	31
3.1 การแสดงถึงพื้นฐานของสมการพาราเมตริก (Parametric Equations).....	31
3.2 สมการสำหรับเส้นโค้ง (Curve Equations).....	31

เอกสารนี้เป็นเอกสารที่สงวนไว้สำหรับการใช้งานเพื่อการศึกษาเท่านั้น ไม่อนุญาตให้นำไปใช้ประโยชน์ด้านอื่น ๆ

ไม่ว่ากรณีใดๆ ทั้งสิ้น อีกทั้งห้ามมิให้ดัดแปลงเนื้อหา และต้องอ้างอิงถึงเจ้าของเอกสารทุกครั้งที่มีการนำไปใช้

## สารบัญ (ต่อ)

	หน้า
บทที่ 4 การทำโปรแกรมแบบพารามิเตอร์ .....	53
4.1 การทำโปรแกรมแบบพารามิเตอร์บนคอมพิวเตอร์ส่วนบุคคล.....	53
4.2 การออกแบบคำสั่งโปรแกรมเพียงตรง.....	61
4.3 การทำโปรแกรมใช้งานแบบพารามิเตอร์ในระดับตัวควบคุมของเครื่องจักร.....	72
4.4 ระบบการทำงานแบบโต้ตอบ (Interactive System).....	72
บทที่ 5 ผลการทดลองและการวิเคราะห์.....	75
5.1 วิธีการทดลอง.....	75
5.2 ผลการทดสอบจากการสร้างคำสั่งเส้นตรง วงกลม วงรี พาราโบลา และไฮเพอร์โบลา.....	75
5.3 ผลการทดสอบจากการสร้างคำสั่งสไปล์.....	78
5.4 ผลการทดสอบจากการสร้างคำสั่งเพียงตรง .....	81
บทที่ 6 สรุปผลการวิจัยและข้อเสนอแนะ.....	84
6.1 สรุปผลการวิจัย.....	84
6.2 ข้อเสนอแนะ.....	85
เอกสารอ้างอิง.....	86
ภาคผนวก .....	89
ภาคผนวก ก. โครงสร้าง โปรแกรมการคำนวณ.....	90
ภาคผนวก ข. ตัวอย่าง โปรแกรมคำสั่งและ โปรแกรมไฟล์ที่ได้จากการทดสอบโปรแกรม.....	97
ภาคผนวก ค. ตารางค่ามาตรฐานต่างๆ ของเฟือง ... ..	116
ภาคผนวก ง. ผลงานวิจัยที่ได้รับการตีพิมพ์ .....	122
ประวัติผู้เขียน .....	130

เอกสารนี้เป็นเอกสารที่สงวนไว้สำหรับการใช้งานเพื่อการศึกษาเท่านั้น ไม่อนุญาตให้นำไปใช้ประโยชน์ด้านการค้าไม่ว่ากรณีใดๆ ทั้งสิ้น อีกทั้งห้ามมิให้ดัดแปลงเนื้อหา และต้องอ้างอิงถึงเจ้าของเอกสารทุกครั้งที่มีการนำไปใช้

# สารบัญตาราง

ตารางที่	หน้า
2.1 เปรียบเทียบการทำงานระหว่างเครื่องจักรกลทั่วไปกับเครื่องจักรกล NC .....	11
2.2 แสดงความสัมพันธ์ของเลขฐานต่างๆ.....	23
2.3 การให้โค้ดตัวอักษรของชุดรหัส EIA.....	25
5.1 แสดงค่าข้อมูลที่ป้อนเข้าสู่โปรแกรมสร้างคำสั่งเส้นตรง วงกลม วงรี พาราโบลาและไฮเพอร์โบลา.....	76
5.2 แสดงค่าข้อมูลที่ป้อนเข้าสู่โปรแกรมสร้างคำสั่งสไปน์.....	79
5.3 แสดงการเปรียบเทียบค่าข้อมูลที่ป้อนเข้าสู่และพิกัดที่วัดได้จากโปรแกรมสำเร็จรูป.....	81
5.4 แสดงการเปรียบเทียบค่าพิกัดที่วัดได้ของเฟืองตรง 16 ฟัน โมดูล=5 , มุมกดคัน=20 องศาและค่าที่คำนวณได้จากสูตร.....	82



# สารบัญญรูป

รูปที่	หน้า
2.1	แสดงกระบวนการควบคุมเชิงตัวเลข.....8
2.2	แสดงการกำหนดแกนเชิงเส้นปฐมภูมิ :X,Y,และ Z ตามกฎมือขวา.....14
2.3	แสดงการกำหนดแกนหมุนปฐมภูมิ : A,B,และ C ตามกฎมือขวา.....14
2.4	แสดงแกนหลักทั้งสามของระบบพิกัดคาร์ทีเซียน.....15
2.5	แสดงระบบพิกัดคาร์ทีเซียนแบบสองมิติ.....16
2.6	แสดงกฎมือขวาการหมุนรอบแนวแกนและระนาบต่างๆ.....17
2.7	แสดงระบบพิกัดเชิงขั้ว.....18
2.8	แสดงระบบพิกัดทรงกระบอก.....18
2.9	แสดงความสัมพันธ์ระหว่างระบบพิกัดคาร์ทีเซียนและระบบพิกัดเชิงขั้ว.....19
2.10	แสดงความสัมพันธ์ระหว่างระบบพิกัดคาร์ทีเซียนและระบบพิกัดเชิงขั้ว กรณีจุดกำเนิด ไม่อยู่ที่เดียวกัน.....19
2.11	แสดงระบบพิกัดอ้างอิง.....21
2.12	แสดงส่วนประกอบพื้นฐานของระบบ CNC.....22
2.13	แสดงแถบเทพกระดาษมาตรฐาน EIA สำหรับ โปรแกรม NC.....24
2.14	แสดงการเปรียบเทียบแถบเทพกระดาษมาตรฐาน EIA กับมาตรฐานASCII.....26
2.15	แสดงการใช้ฐานข้อมูลร่วมกันของระบบCAD-CAM.....30
3.1	แสดงค่าความชันของรูปปริภูมิทั้ง 3 แกน.....33
3.2	แสดงเส้นตรงที่เกิดจากจุดสองจุด $P_1$ และ $P_2$ .....34
3.3	แสดงเส้นตรงที่เกิดจากการกำหนด โดยจุดศูนย์กลางและรัศมี.....35
3.4	แสดงรูปวงรีที่ได้จากการกำหนดจุดศูนย์กลางแกนหลักและแกนรอง.....37
3.5	แสดงรูปทรงเรขาคณิตของพาราโบลา.....39
3.6	แสดงรูปทั่วไปของไฮเพอร์โบลา.....40
3.7	แสดงรูปเส้นโค้งของสมการพาราเมตริกคิวบิกสไปล์.....42
3.8	แสดงการแบ่งช่วงของเส้นโค้งของสมการพาราเมตริกคิวบิกสไปล์.....43
4.1	แสดงส่วนประกอบหลักของโปรแกรม.....54
4.2	แสดงกรอบกำหนดขอบเขตพื้นที่วาดรูป.....55
4.3	แสดงโพลชาร์ตของการตรวจแก้ข้อมูล.....56
4.4	แสดงกล่องรับข้อมูลของเส้นตรง.....57
4.5	แสดงกล่องรับข้อมูลของวงกลม.....57

เอกสารนี้เป็นเอกสารที่สงวนไว้สำหรับการใช้งานเพื่อการศึกษาเท่านั้น ไม่อนุญาตให้นำไปใช้ประโยชน์ด้านการค้า

ไม่ว่ากรณีใดๆ ทั้งสิ้น อีกทั้งห้ามมิให้ดัดแปลงเนื้อหา และต้องอ้างอิงถึงเจ้าของเอกสารทุกครั้งที่มีการนำไปใช้

## สารบัญรูป (ต่อ)

รูปที่	หน้า
4.6	แสดงกล่องรับข้อมูลของวงรี.....58
4.7	แสดงกล่องรับข้อมูลของพาราโบลา .....59
4.8	แสดงกล่องรับข้อมูลของไฮเพอร์โบลา.....59
4.9	แสดงกล่องรับข้อมูลของสไปล์..... 60
4.10	แสดงกล่องรับข้อมูลของเฟืองตรง.....60
4.11	แสดงส่วนประกอบของเฟืองตรง.....62
4.12	แสดงการเกิดเส้นโค้งอินวอลูท.....64
4.13	แสดงความสัมพันธ์ของมุมกคคันบนจุดต่างๆ ของเส้นโค้งอินวอลูท..... 64
4.14	แสดงลักษณะที่สมบูรณ์ของฟันแบบอินวอลูท (Involute).....65
4.15	แสดงหลักการสร้างรูปโค้งอินวอลูทของฟันเฟือง.....66
4.16	แสดงการแบ่งมุมสำหรับเขียนรูปฟันเฟืองตรง.....67
4.17	แสดงการแบ่งมุมสำหรับเขียนเส้นโค้งอินวอลูท.....68
4.18	แสดงการหมุนภาพรอบจุดกำเนิด..... 71
4.19	แสดงโพลชาร์ตการใช้หน่วยความจำน้อยสุด..... 74
5.1	แสดงภาพกราฟฟิกส์และG-code ที่ได้จากการป้อนข้อมูลคำสั่งเส้นตรง วงกลม วงรี พาราโบลา และไฮเพอร์โบลา..... 76
5.2	แสดงภาพกราฟฟิกส์ที่ได้จากการแปลงข้อมูลเทียบกับโปรแกรมMaster CAM.....77
5.3	แสดงผลที่ได้จากการทดสอบโปรแกรมกับเครื่องจักรCNC.....77
5.4	แสดงแบบงานที่กำหนดขนาดของลูกเบี้ยว..... 78
5.5	แสดงภาพกราฟฟิกส์และG-code ที่ได้จากการป้อนข้อมูลคำสั่งสไปล์.....79
5.6	แสดงภาพกราฟฟิกส์ของคำสั่งสไปล์ในโปรแกรมMaster CAM.....80
5.7	แสดงผลจากคำสั่งสไปล์ที่ได้จากการทดสอบ โปรแกรมกับเครื่องจักรCNC.....80
5.8	แสดงภาพกราฟฟิกส์และG-code ที่ได้จากการป้อนข้อมูลคำสั่งเฟืองตรง.....81
5.9	แสดงภาพกราฟฟิกส์ของคำสั่งเฟืองในโปรแกรมMaster CAM.....82
5.10	แสดงผลจากคำสั่งเฟืองที่ได้จากการทดสอบ โปรแกรมกับเครื่องจักรCNC.....83

## รายการคำย่อและสัญลักษณ์

$x$	โคออร์ดิเนต $x$
$y$	โคออร์ดิเนต $y$
$z$	โคออร์ดิเนต $z$
$X_c$	จุดกำเนิดในแนวแกน $x$
$Y_c$	จุดกำเนิดในแนวแกน $y$
$R_1$	รัศมีของวงรีในพิกัดแกน $x$
$R_2$	รัศมีของวงรีในพิกัดแกน $y$
$h$	จุดกำเนิดของการเขียนภาพในแกน $x$
$k$	จุดกำเนิดของการเขียนภาพในแกน $y$
$t$	ตัวแปรเสริม
$\vec{P}$	เวกเตอร์ของเส้นตรง
$L$	ความยาวของเส้นตรง
$R$	รัศมีของวงกลม
$A$	ค่าคงที่ของสมการวงรี
$B$	ค่าคงที่ของสมการวงรี
$F$	จุดโฟกัส
$h_i$	ช่วงของตัวแปรเสริม
$t_i$	ตัวแปรเสริมที่จุดใดๆ
$c$	ค่าคงที่ที่ได้จากอินทิกรัล
$d$	ค่าคงที่ที่ได้จากอินทิกรัล
$m$	ค่าโมดูลของเฟือง
$T$	มุมกดดันของฟันเฟือง (Pressure angle)
$NT$	จำนวนฟันของเฟือง
$Z$	ค่าความลึกของชิ้นงาน
$A_2$	มุมเริ่มต้นในการเขียนเส้นโค้งอินเวลูท
$A_3$	มุมสิ้นสุดในการเขียนเส้นโค้งอินเวลูท
$P$	พิตช์ในแนวเส้นรอบวง (circular pitch)
$a$	ช่วงสูงบนของฟันเฟือง (addendum)
$b$	ช่วงสูงล่างของฟันเฟือง (dedendum)

เอกสารนี้เป็นเอกสารที่สงวนไว้สำหรับการใช้งานเพื่อการศึกษาเท่านั้น ไม่อนุญาตให้นำไปใช้ประโยชน์ด้านการค้า  
ไม่ว่ากรณีใดๆ ทั้งสิ้น อีกทั้งห้ามมิให้ดัดแปลงเนื้อหา และต้องอ้างอิงถึงเจ้าของเอกสารทุกครั้งที่มีการนำไปใช้

## รายการคำย่อและสัญลักษณ์ (ต่อ)

- $d$  วงกลมพิตช์ (pitch circle)  
 $d_o$  เส้นผ่าศูนย์กลางของยอดฟันเฟือง (outside diameter)  
 $d_r$  เส้นผ่าศูนย์กลางโคนฟัน (root diameter)  
 $d_b$  วงกลมฐาน (base circle)  
 $\text{inv } \phi$  อินเวอลูทฟังก์ชัน (involute function)

### Greek symbols

- $\beta_i$  ค่าของเมตริกที่ไม่เป็นเอกพันธ์ (Inhomogeneous element)  
 $\alpha$  มุมสุดท้ายของเส้นโค้งอินเวอลูท  
 $\theta$  มุมย่อยในการหมุนภาพ  
 $\theta_i$  มุมย่อยที่ใช้ในการเขียนฟันเฟือง



# บทที่ 1

## บทนำ

### 1.1 ความเป็นมาและความสำคัญของปัญหา

#### 1.1.1 ความเป็นมาของระบบ CAD/CAM กับคอมพิวเตอร์กราฟิกส์ [1]

การออกแบบด้วยคอมพิวเตอร์ (CAD : Computer- Aided Design) และการผลิตด้วยคอมพิวเตอร์ (CAM: Computer – Aided Manufacturing) ได้รับการยกย่องมาเป็นเวลานานแล้วว่า ได้ช่วยให้งานทางด้าน การออกแบบและการผลิต ขยายตัวออกไปอย่างมากมายมหาศาลคอมพิวเตอร์กราฟิกส์ (Computer graphics) ได้ช่วยให้ผู้ออกแบบสามารถมองเห็นผลงานสร้างสรรค์ของเขาได้ โดยไม่ต้องเสียค่าใช้จ่ายในการที่จะต้องทำต้นแบบขึ้นมาก่อน เนื่องจากแบบพิมพ์เขียวทางด้านวิศวกรรมส่วนใหญ่จะมีการนำฟังก์ชันต่างๆ มาใช้ประโยชน์เช่น ฟังก์ชันของเส้นตรง, วงกลม วงรี เป็นต้น

ความก้าวหน้าทางคอมพิวเตอร์ทำให้วิธีการคำนวณแบบต่างๆ ได้ถูกต้องประคิษฐ์ขึ้นเฟอ์กูสัน (Ferguson, 1963) ได้อธิบายเส้นทางเดินของระบบหรือชิ้นงานพาราเมตริกแทนที่จะใช้ระบบพิกัดคาร์ทีเซียน นิยามของระบบพิกัดใหม่นั้นขณะนี้ได้กลายเป็นมาตรฐานสำหรับการใช้งาน โดยมีเหตุผลดังนี้ คือ

1.1.1.1 ทำให้สามารถบิดเส้นโค้งในระบบสามมิติได้โดยแทนด้วยคณิตศาสตร์อย่างง่าย

1.1.1.2 ช่วยหลีกเลี่ยงปัญหาที่อาจเกิดขึ้นเมื่อแทนที่เส้น โค้งต่างๆ ด้วยเส้นสัมผัสในแนวตั้ง (Vertical tangents) ซึ่งมักพบเสมอในระบบพิกัดที่ถูกอยู่กับที่

1.1.1.3 ทำให้สามารถทำการเปลี่ยนแปลงระบบพิกัด (Coordinate transformation) ได้ เช่น การเคลื่อนย้ายแกน (translation) การหมุนแกน (rotation) เป็นต้น

1.1.1.4 รูปแบบพาราเมตริก (Parametric Forms) ของเส้น โค้ง (Curves) หรือผิวหน้า (Surfaces) ต่างๆ สามารถแสดงผลออกมาได้โดยง่ายในรูปแบบดิจิทัล

โดยสรุปแล้วอาจกล่าวได้ว่าความเป็นอิสระของการใช้รูปแบบพาราเมตริกนี้ได้มาจากการไม่ขึ้นอยู่กับระบบพิกัดเฉพาะอันใดอันหนึ่ง

ทฤษฎีทั่วไปของเส้นทางเดินสำหรับผิวหน้า (Surface patches) ต่าง ๆ ได้ถูกบรรยายโดย Coons (ค.ศ. 1964) คุณสมบัติของสไปไลน์ (Spline Curves) ได้ถูกคิดค้นขึ้นและพบว่ามีประโยชน์อย่างมากที่จะนำมาใช้แทนเส้น โค้งและผิวหน้าที่กลมกลื่น (Smooth Curves and Surfaces)

ค.ศ. 1946 Schoenberg ได้แนะนำ B - Splines ให้เป็นที่รู้จักกันต่อมาใน ค.ศ.1974 Reusefeld ได้นำมาประยุกต์ใช้ในการนิยามเส้น โค้งและผิวหน้าต่างๆ

ไม่ว่ากรณีใดๆ ทั้งสิ้น อีกทั้งห้ามมิให้ดัดแปลงเนื้อหา และต้องอ้างอิงถึงเจ้าของเอกสารทุกครั้งที่มีการนำไปใช้

ในปี ค.ศ. 1971 Bezier ได้นำการควบคุมรูปหลายเหลี่ยม (polygon) มาช่วยให้ผู้ออกแบบสามารถควบคุมรูปทรงของผิวหน้าต่างๆ (surface geometry) ต่างๆ ได้อย่างมีประสิทธิภาพ

ค.ศ. 1974 Gordon และ Reisenfeld ได้ประยุกต์ใช้การควบคุมรูปหลายเหลี่ยมเข้ากับ B – splines ซึ่งต่อมาได้มีการพัฒนาเป็นผิวหน้าแบบ B – splines (B – Spline surfaces) ซึ่งมีประโยชน์ในการใช้เป็นเครื่องมือในเชิงโต้ตอบสำหรับการนิยามผิวหน้า

### 1.1.2 ความสำคัญของปัญหา

คอมพิวเตอร์มีราคาของชิ้นส่วนต่างๆ ลดลง แต่ความเร็วในการคำนวณและความสามารถในการจัดเก็บข้อมูลได้เพิ่มขึ้นอย่างมาก ระบบการผลิตด้วยคอมพิวเตอร์หรือ CAM (computer – aided manufacturing) จึงสามารถนำไปใช้ได้กับบริษัทในทุกระดับขนาดแต่การนำเทคโนโลยีเหล่านี้ ไปใช้งานยังคงมีปัญหาหลักที่แท้จริงอยู่อีกอันหนึ่งคือ ซอฟต์แวร์ ที่จะนำมาใช้กับระบบ CAM นั้น มักจามีราคาสูง ไม่สามารถรองรับการทำงานของเครื่องจักรรุ่นต่างๆ ที่หลากหลายได้ ทั้งยังยุ่งยากในการศึกษาทำความเข้าใจและเรียนรู้เพื่อนำไปใช้งานอีกด้วย การศึกษาวิจัยนี้จึงมุ่งที่จะพัฒนาระบบ CAD/CAM อย่างง่าย มีความเป็นมิตรกับผู้ใช้ (friendliness) สามารถเรียนรู้ได้เร็ว และราคาไม่สูงมากนัก เพื่อให้ผู้เริ่มต้นใช้งาน ผู้ประกอบการขนาดเล็กหรือรายย่อย และผู้ประกอบการขนาดกลาง ที่ยังไม่มีผู้เชี่ยวชาญระบบ CAD/CAM ที่แท้จริงสามารถนำไปใช้งานได้ ตลอดจนใช้เป็น เครื่องมือพื้นฐานในการเตรียมการสำหรับศึกษาการใช้งาน ซอฟต์แวร์ ระบบ CAD/CAM ในระดับสูงต่อไป

## 1.2 ความมุ่งหมายและวัตถุประสงค์ของการศึกษา

การศึกษานี้มีความมุ่งหมายที่จะพัฒนาระบบ CAD/ CAM ที่สามารถทำงานได้บนเครื่องคอมพิวเตอร์ส่วนบุคคล (PC) โดยผู้ใช้ซอฟต์แวร์ที่สามารถหาได้ง่ายในท้องตลาด เพื่อให้ผู้สนใจทุกระดับสามารถจัดหาใช้งานได้ เป็นระบบที่สามารถเรียนรู้ใช้งานได้ง่าย โดยไม่ต้องมีความรู้ทางด้านโปรแกรมสูงมากนักและเป็นทางเลือกในการใช้งานแทนภาษา (APT Automatically Programmed Tool) ซึ่งไม่สามารถหาซื้อหาได้ในท้องตลาดโดยทั่วไป โดยมีวัตถุประสงค์ของการศึกษาดังนี้

1.2.1 เพื่อศึกษาแนวทางการพัฒนาระบบ ราคาถูกสามารถซื้อหาได้ง่ายและมีความเป็นมิตรกับผู้ใช้ (friendliness) สามารถเรียนรู้การใช้งานได้ง่าย

1.2.2 เพื่อศึกษาแนวทางการนำโปรแกรมภาษาเบสิกรุ่นต่างๆ มาช่วยในการจัดทำโปรแกรมชิ้นงาน CNC แบบเชิงโต้ตอบ สำหรับเครื่องจักร CNC ต่างๆ โดยเฉพาะอย่างยิ่งเครื่องกัด (CNC Milling Machine)

1.2.3 เพื่อเพิ่มศักยภาพและประสิทธิภาพการทำงานของเครื่องจักร CNC ในงานอุตสาหกรรม

## 1.2.4 เพื่อศึกษาการนำหลักการทางคณิตศาสตร์มาประยุกต์ใช้บนคอมพิวเตอร์และเครื่องจักร CNC

### 1.3 สมมุติฐานของการศึกษา

คอมพิวเตอร์กราฟิกส์ สามารถคำนวณและแสดงผลของฟังก์ชัน เส้นตรง , วงกลม , วงรี ฯลฯ ที่มาใช้ในแบบพิมพ์เขียวทางวิศวกรรมได้เป็นอย่างดี นอกจากนี้ยังแก้ไขข้อมูลที่แสดงผลผ่านหน้าจอคอมพิวเตอร์ ซึ่งผู้ใช้งานสามารถมองเห็น ภาพโดยง่าย และมักจะสามารรถรับการเปลี่ยนแปลงแก้ไข ผ่านแผงแป้นอักขระ (Key board) และเมาส์ (mouse) ได้เป็นอย่างดี ทำให้ผู้ใช้งานสะดวกและคุ้นเคยกับการใช้งานได้โดยง่าย โปรแกรมภาษาเบสิกกลุ่มต่างๆ เป็นโปรแกรมที่เหมาะสมสำหรับผู้เริ่มหัดทำโปรแกรมคอมพิวเตอร์ใหม่ๆ มีรูปแบบคำสั่งคล้ายคำพูด จึงสามารถเรียนรู้ได้ง่าย นอกจากนี้ โปรแกรมภาษาเบสิกเป็นโปรแกรมที่มีศักยภาพค่อนข้างจะรอบด้านกล่าวคือ สามารถนำมาประยุกต์ใช้ในการทำคอมพิวเตอร์กราฟิกส์ได้ ตลอดจนสามารถส่งข้อมูลออกมาในรูปของรหัสแอสกี ซึ่งเป็นที่รับรู้ได้สำหรับเครื่องจักร CNC ดังนั้น การศึกษาวิจัยนี้จึงได้ตั้งสมมุติฐานว่าสามารถนำโปรแกรมภาษาเบสิกมาช่วยในการจัดสร้างโปรแกรมชิ้นงาน CNC บนเครื่องคอมพิวเตอร์ส่วนบุคคลแบบเชิงโต้ตอบได้

### 1.4 ทฤษฎีหรือแนวคิดที่ใช้ในการวิจัย

ในการแลกเปลี่ยนข้อมูลของเครื่องจักรกล CNC โดยทั่วไปสามารถแลกเปลี่ยนข้อมูลในลักษณะของข้อมูลตัวอักษรหรืออักขระตามรหัสมาตรฐานของ American Standard Code for Information Interchange หรือที่เรียกว่า ASCII Code ซึ่งโปรแกรมภาษาวิซวลเบสิกเป็นโปรแกรมที่สามารถออกแบบให้โปรแกรมสามารถรับตัวแปรที่เป็นพารามิเตอร์ที่จำเป็นในการกำหนดต่อกรวาดแบบภาพ 2 มิติ ของแบบงานพื้นฐานคือเส้นตรง วงกลม วงรี พาราโบลา ไฮเพอร์โบลา สไปรล์ และเฟืองตรง เพื่อแสดงถึงการโต้ตอบของข้อมูลที่ป้อนเข้ากับภาพวาดที่ได้จากการป้อนข้อมูล อีกทั้งโปรแกรมภาษาวิซวลเบสิกสามารถคำนวณงานทางคณิตศาสตร์และส่งข้อมูลออกมาในลักษณะของแฟ้มข้อมูลรหัสแอสกีได้ (ASCII text file)

ดังนั้นเราจึงสามารถใช้โอกาสนี้มาใช้ประโยชน์ในการเขียนโปรแกรมทำการคำนวณข้อมูลเส้นทางเดินของมีดตัด (CL – data: Cutter Location data) สำหรับชิ้นงาน แล้วส่งถ่ายข้อมูลในรูปแบบของแฟ้มข้อมูลรหัสแอสกี ซึ่งจะทำให้เครื่องจักรสามารถทำชิ้นงานออกมาตามที่เราคือต้องการได้

ในขั้นตอนการผลิตงานด้วยเครื่องจักร CNC นั้น ขั้นตอนที่สำคัญที่สุดของขบวนการนั้นคือ การเขียนโปรแกรม ควบคุมเชิงตัวเลข ผู้เขียนโปรแกรมจะต้องนำข้อมูลจากแบบผลิตชิ้นงานจริงที่มีองค์ประกอบของขนาดและสัดส่วนป้อนให้แก่ระบบคอมพิวเตอร์โดยที่แบบงานวิศวกรรมใช้

นั้นจะถูกนิยามในรูปอนุกรมของจุดเส้นตรงและเส้นโค้งหรือนิยามอยู่ในรูปเรขาคณิตตามลักษณะผิวหน้าของชิ้นงานซึ่งรูปทรงเรขาคณิตเหล่านี้สามารถใช้รูปทรงเรขาคณิตวิเคราะห์ในการคำนวณหาข้อมูลเส้นทางเดินของมีดตัดได้

ปัญหาในการเขียนโปรแกรมคอมพิวเตอร์ด้วยสมการที่ไม่เป็นแบบพารามेटริก(Non-Parametric Equation) ส่งผลให้ภาพของวัตถุที่เขียนมีระยะห่างระหว่างจุดที่คำนวณไว้ไม่คงที่ ทำให้ภาพที่เขียนออกมาแสดงสัดส่วนของภาพที่ไม่สมบูรณ์ เพื่อให้เกิดความแน่นอนในการสร้างภาพเหล่านี้จึงได้ใช้สมการแบบพารามेटริก (Parametric Equation) ซึ่งส่งผลให้ปัญหานี้หมดไป

ในการประยุกต์ใช้ความรู้เกี่ยวกับการเขียนแบบเครื่องจักรกลนั้น งานวิจัยนี้ได้เสนอแนวทางการเขียนภาพของเฟืองตรง (Spur Gear) พร้อมทั้งแสดงเส้นทางเดินของมีดตัดโดยผู้ใช้โปรแกรมป้อนพารามิเตอร์สำคัญให้แก่โปรแกรมคือ โมดูล (Module) จำนวนฟันเฟือง (Number of Teeth) และมุมกดคั่น (Pressure Angle) ซึ่งเนื้อหาของโปรแกรมจะนำข้อมูลป้อนเข้าที่ได้ ทำการคำนวณหาเส้นรอบรูปจากการประยุกต์ใช้เทคนิควิธีการทางโปรแกรม เช่น หลักการสร้างรูปโค้งอินเวลูทของฟันเฟือง การเขียนภาพสะท้อนของเส้นโค้งอินเวลูท การหมุนภาพ

## 1.5 ขอบเขตการวิจัย

การศึกษานี้เป็นการศึกษาวิธีการที่จะนำโปรแกรมภาษาวิซวลเบสิกมาประยุกต์ใช้ในการทำโปรแกรมชิ้นงานCNCแบบเชิงโต้ตอบ โดยโปรแกรมจะนำข้อมูลตัวเลขที่ได้จากการรับค่าข้อมูลในคำสั่งพื้นฐานของโปรแกรมคือเส้นตรง วงกลม วงรี พาราโบลา ไฮเพอร์โบลา สไปรลล์ และเฟืองตรง ซึ่งโปรแกรมสามารถเขียนภาพแสดงออกทางภาพแบบ 2 มิติ และแสดงที่ค่า G – Code ในลักษณะของเพิ่มข้อมูลสำหรับตำแหน่งเส้นทางเดินของมีดตัด (Cutter Location Data File หรือ CL – Data File)

## 1.6 ขั้นตอนของการศึกษา

การศึกษานี้ได้นำโปรแกรมภาษาวิซวลเบสิกเข้ามาใช้คำนวณรูปทรงเรขาคณิตของข้อมูลป้อนเข้า โดยใช้สมการพารามेटริกในการคำนวณค่าการแสดงผลกราฟิกส์ และ ค่าG – Code โดยใช้ศาสตร์ทางด้านเรขาคณิตคอมพิวเตอร์ (Computer graphic) มาใช้เป็นเครื่องมือในการทำงานมีการพัฒนาชุดคำสั่งกราฟิกส์ (graphic commands) ที่ใช้คีย์บอร์ดเป็นอุปกรณ์สำคัญสำหรับป้อนอินพุท มีการออกแบบหน้าจอในรูปแบบของคำสั่งที่ทำงานตามรายการเลือก (Menu – driven commands) ข้อความพร้อมรับ (Prompt) และข้อความบอกสถานะ (Status messages) ที่แสดงผลออกมาตามข้อมูลกราฟิกส์ประกอบอยู่ด้วย

เอกสารนี้เป็นเอกสารที่สงวนไว้สำหรับการใช้งานเพื่อการศึกษาเท่านั้น ไม่อนุญาตให้นำไปใช้ประโยชน์ด้านการค้าไม่ว่ากรณีใดๆ ทั้งสิ้น อีกทั้งห้ามมิให้ดัดแปลงเนื้อหา และต้องอ้างอิงถึงเจ้าของเอกสารทุกครั้งที่มีการนำไปใช้

เนื่องจากกระบวนการเหล่านี้สามารถทำบนคอมพิวเตอร์ส่วนบุคคล ในขณะที่ไม่ได้ต่อเชื่อมกับเครื่องคอมพิวเตอร์ของเครื่องจักร CNC ซึ่งเป็นการทำงานแบบล่วงหน้า (Off-line programming) ทำให้สามารถทำโปรแกรมได้สะดวกไม่รบกวนเวลาการทำงานบนเครื่องจักร CNC และสามารถนำมาประยุกต์ใช้สำหรับอุตสาหกรรมขนาดเล็กและขนาดกลางที่ยังไม่มีระบบเครือข่ายเครื่องจักร CNC เป็นของตนเองเพิ่มข้อมูลที่ได้จากกรรมวิธีนี้จะถูกส่งออกมาจัดเก็บในลักษณะของเพิ่มข้อมูลรหัสแอสกี (ASCII text file) ที่สามารถส่งถ่ายข้อมูลไปยังคอมพิวเตอร์ของเครื่องจักร CNC โดยผ่านสายนำสัญญาณผ่านพอร์ตอนุกรม (Series port) หรือพอร์ตแบบ RS – 232 C

เนื่องจากเพิ่มข้อมูลเส้นทางเดินมีดตัดเหล่านี้ได้จากคำนวณผลจากสมการพาราเมตริก ซึ่งจะได้เฉพาะข้อมูลพิกัดตำแหน่งในระนาบ XY เท่านั้น การใช้งานจะต้องนำมาปรับปรุงส่วนหัวและส่วนท้ายของโปรแกรมเพื่อให้เหมาะสมกับการทำงานของเครื่องจักร CNC แต่ละเครื่องในการปรับปรุงข้อมูลนี้กระทำการปรับปรุงโปรแกรมชิ้นงานเหล่านี้บนเวิร์ด Notepad ของระบบปฏิบัติการวินโดวส์ 95 ขึ้นไป

การโปรแกรมชิ้นงานแบบพาราเมตริกสามารถนำมาประยุกต์ใช้กับกระบวนการผลิตต่างๆ ได้ ไม่ว่าจะเป็นระดับการผลิตจำนวนน้อยๆ หรือการผลิตขนาดใหญ่โดยที่ผู้ปฏิบัติงานไม่ต้องทำการเขียน G-code เองและยังสามารถตรวจสอบความถูกต้องของข้อมูลได้จากรูปที่แสดงในโปรแกรม อีกทั้งยังทำชิ้นงานที่มีรูปร่างเดียวกันหรืออยู่ในตระกูลเดียวกัน โดยไม่ต้องเขียนชิ้นงานใหม่ทั้งหมด รวมถึงการทำชิ้นงานที่มีรูปร่างซับซ้อนได้ง่ายขึ้นซึ่งจะทำให้เกิดผลประโยชน์ตอบแทนสูงมากแม้ว่าจะเป็นการทำงานในช่วงสั้นๆ และมีการขีดจำกัดจากปัญหาทางด้านพนักงานน้อยกว่าทำให้เกิดผลผลิตที่ราบรื่นกว่าทั้งในด้านโปรแกรมข้อมูลและการทำงาน

## บทที่ 2

# ทฤษฎีแนวความคิดพื้นฐาน

### 2.1 ความนำ

ในปัจจุบันวงการอุตสาหกรรมต่างๆ ได้มีการพัฒนาและขยายตัวอย่างรวดเร็วผลิตภัณฑ์ที่ผลิตขึ้นมามีทั้งจำหน่ายภายในประเทศและส่งออกต่างประเทศทำให้ผลิตภัณฑ์ต้องได้ตามมาตรฐานที่กำหนดไว้เช่น มาตรฐานสากล ISO (International Standardization Organization) หรือ ตามมาตรฐานของเยอรมัน DIN (Deutsche Industrie Norm) เนื่องจากภาวะในปัจจุบันมีอัตราแข่งขันในตลาดเป็นอย่างมาก การนำเข้าเครื่องจักรกลที่ทันสมัยและมีประสิทธิภาพสูงทำให้มีความนิยมใช้งานเครื่องจักรที่ใช้ระบบการควบคุมแบบเชิงตัวเลขหรือเครื่องจักร CNC (CNC Machine) ซึ่งเป็นเครื่องจักรที่ทำงานแบบอัตโนมัติ สามารถผลิตชิ้นงานที่มีการเปลี่ยนแปลงขนาด หรือรูปทรงบ่อยๆ ได้ดี เพราะสามารถแก้ไขข้อมูลต่างๆ โดยตรงที่โปรแกรม ขณะเดียวกันการพัฒนากระบวนโปรแกรมช่วยในการผลิตชิ้นงานโดยระบบควบคุมแบบเชิงตัวเลขยังต้องมีการพัฒนาควบคู่ไปตามกัน

เครื่องจักร CNC ในการเคลื่อนที่ต่างๆ ในการผลิตชิ้นงานจะทำงานโดยอัตโนมัติด้วยตัวเลขของเครื่องจักรเอง โดยอาศัยข้อมูลจากชุดควบคุมสั่งให้เครื่องจักรทำงานตามข้อมูลเครื่องจักรตัวเลข (Numerical Information) ที่ป้อนให้กับชุดควบคุมของเครื่องจักร CNC ในรูปแบบของรหัส (Code) ที่ชุดควบคุมสามารถเข้าใจได้

การฝึกอบรมผู้ปฏิบัติงาน ให้มีทักษะความชำนาญในด้านการโปรแกรมชิ้นงาน CNC เป็นการลงทุนที่ค่อนข้างสูงเพราะจะต้องใช้เงินและเวลาสำหรับการฝึกอบรม การใช้โปรแกรมชิ้นงาน CNC ซึ่งได้ตอบนี้จะช่วยให้สามารถทำโปรแกรมชิ้นงาน CNC แบบดั้งเดิมอีกทั้งระบบยังมีความยืดหยุ่นอย่างมากทำให้สามารถประยุกต์ไปใช้งานในด้านต่างๆ ได้ในจำนวนมาก

การใช้งานเครื่องจักรกลควบคุมด้วยคอมพิวเตอร์ CNC ได้ขยายตัวเข้าไปในงานอุตสาหกรรมต่างๆ อย่างรวดเร็วได้มีการคิดค้นเทคนิคใหม่ๆ เพื่อนำมาประยุกต์ใช้กับเทคโนโลยีการผลิตและมีการปรับตัวให้สามารถใช้งานกับเครื่องจักร CNC ได้ การบูรณาการ สิ่งต่างๆ เหล่านี้เข้าด้วยกันได้ก่อให้เกิดปัญหาแก่ส่วนต่างๆ ที่เกี่ยวข้องอย่างมากปัญหาหลักที่สำคัญยิ่งอันหนึ่งก็ยังคงเป็นการเตรียมข้อมูลเชิงตัวเลขสำหรับเครื่องจักร CNC เพราะส่วนมากแล้วผู้ใช้งานยังคงใช้กรรมวิธีการโปรแกรมแบบหนึ่งโปรแกรมต่อหนึ่งชิ้นงานอยู่

การนำคอมพิวเตอร์ส่วนบุคคล(PC) มาใช้ในงานเครื่องจักร CNC ได้ช่วยให้การจัดเตรียมข้อมูลเชิงตัวเลขของเครื่องจักรดีขึ้นมาก และทำให้สามารถเตรียมข้อมูลบนเครื่องคอมพิวเตอร์ส่วนบุคคลอื่นๆ ที่ไม่ต้องเชื่อมต่ออยู่กับเครื่องจักร CNC ก็ได้แต่กระนั้นก็ตามการทำงานก็ยังคง

เอกสารเป็นแบบกรรมวิธีการไว้โปรแกรมหนึ่งชิ้นงานใช้หนึ่งโปรแกรมอยู่ในสถานศึกษาจึงได้ศึกษาการทำ  
ไม่ว่ากรณีใดๆ ทั้งสิ้น อีกทั้งห้ามมิให้ดัดแปลงเนื้อหา และต้องอ้างอิงถึงเจ้าของเอกสารทุกครั้งที่มีการนำไปใช้

โปรแกรมชิ้นงาน CNC ซึ่งได้ตอบขึ้นมาโดยตั้งอยู่บนพื้นฐานของการ โปรแกรมชิ้นงานแบบใช้พารามิเตอร์ (Parametric Part Programming) ซึ่งช่วยให้สามารถทำโปรแกรมได้ง่ายและ จัดเตรียมสิ่งอำนวยความสะดวกต่างๆ ให้มีศักยภาพในการรองรับการประยุกต์ใช้งานอุตสาหกรรมด้านต่างๆ ได้ ซึ่งวิธีการนี้สามารถใช้งานทั้งบนเครื่องคอมพิวเตอร์ส่วนบุคคลและบนตัวควบคุมของเครื่องจักร โดยเฉพาะการ โปรแกรมชิ้นงานแบบใช้พารามิเตอร์นี้จะช่วยให้ผู้ใช้งานสามารถพัฒนารูปแบบการทำงานของตัวเองขึ้นมาได้และสามารถปรับแต่งให้เข้ากับปัญหาในด้านการผลิตที่เขาประสบอยู่ได้

## 2.2 ระบบของเครื่องจักร CNC

### 2.2.1 การควบคุมเชิงตัวเลข (Numerical control)

ในระบบการผลิตสมัยใหม่ และโรบอทเชิงอุตสาหกรรม (Industrial robots) เป็นระบบอัตโนมัติที่ก้าวหน้ามาก เพราะใช้คอมพิวเตอร์เป็นส่วนหนึ่งของการควบคุม เครื่องมือกล (Machine Tool) เครื่องเชื่อมและ เครื่องตัดโดยลำแสงเลเซอร์ เป็นต้น ต่างก็ประยุกต์คอมพิวเตอร์ ซึ่งในปัจจุบันมีราคาถูกลงเข้ามาใช้เพื่อเพิ่มความสะดวก ความรวดเร็ว และความถูกต้องในการผลิตที่เป็นจำนวนมาก

การควบคุมเครื่องมือกลโดยใช้ตัวกลางซึ่งเป็น โปรแกรมที่ได้เตรียมล่วงหน้าไว้แล้ว เรียกว่า การควบคุมเชิงตัวเลข (Numerical Control) สมาคมอุตสาหกรรมอิเล็กทรอนิกส์ (Electronic Industrial Association : EIA) ได้นิยามอุปกรณ์ NC ไว้ดังนี้

ระบบหนึ่งซึ่งกิริยาของระบบถูกควบคุมโดยข้อมูลเชิงตัวเลขที่ป้อนเข้าไป โดยตรง ณ จุดใดจุดหนึ่ง ระบบนี้จะต้องทำงานแบบอัตโนมัติอย่างน้อย ช่วงใดช่วงหนึ่งของข้อมูลนี้

การนำ NC มาประยุกต์ใช้โดยส่วนมากจะเป็นการนำเข้ามาช่วยในการผลิตสินค้า (Manufacturing) อย่างไรก็ตาม ยังสามารถนำไปประยุกต์ใช้ในการผลิตทั้งหมด (Total production) และด้านการจัดการ NC ซึ่งช่วยในการผลิตสินค้านี้ เป็นวิวัฒนาการมาจากกระบวนการผลิตสินค้าด้วยมืออย่างไรก็ตาม NC นี้สามารถใช้งานในหลายด้านได้ ตั้งแต่การออกแบบวิศวกรรม (Design engineering) การวางแผน การทำเครื่องมือ ตลอดจนการควบคุมคุณภาพ สิ่งที่เด่นที่สุดของ NC คือ การจัดเตรียมกระบวนการผลิตสินค้าทั้งหมดด้วยการควบคุมอย่างใกล้ชิด

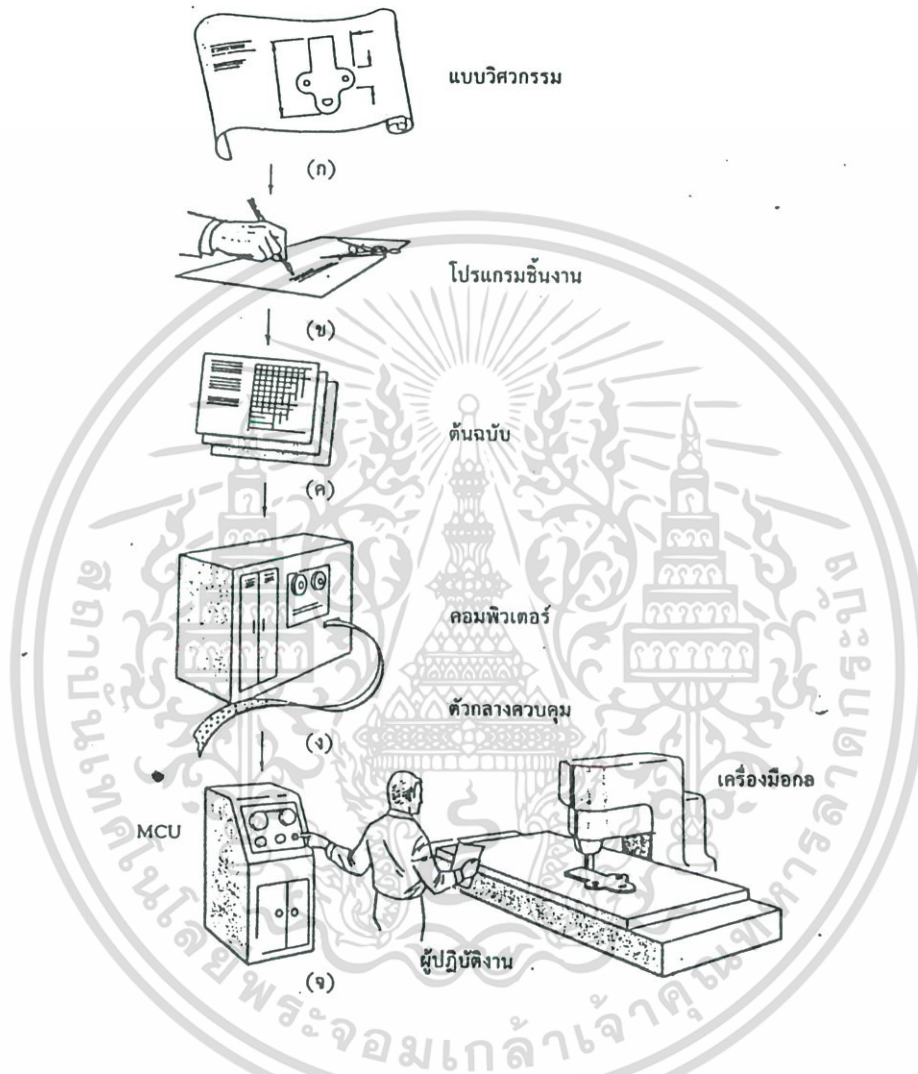
### 2.2.2 การอธิบายกระบวนการควบคุมเชิงตัวเลขอย่างง่าย [17]

ผลิตภัณฑ์ที่จะผลิตนั้น จะต้องวาดและกำหนดสัดส่วนลงในแบบวิศวกรรม (Engineering Drawing) นั่นคือ จะต้องมีการกำหนดชนิดวัสดุและเงื่อนไข กำหนดการทำขั้นสุดท้ายของผิวชิ้นงานและค่าความผิดพลาดที่ยอมรับได้ และกำหนดสัดส่วนของชิ้นงาน เช่น ความยาว ความ

กว้าง ความสูง รัศมี และเส้นโค้ง ดังรูป 2.1 เพื่อการศึกษาเท่านั้น ไม่อนุญาตให้นำไปใช้ประโยชน์ด้านการค้า ไม่ว่ากรณีใดๆ ทั้งสิ้น อีกทั้งห้ามมิให้ดัดแปลงเนื้อหา และต้องอ้างอิงถึงเจ้าของเอกสารทุกครั้งที่มีการนำไปใช้

จากนั้นผู้เขียนโปรแกรมชิ้นงาน (Part Programmer) จะทำหน้าที่ขั้นต่อไปคือ พยายามดึงข้อมูลทั้งหมดและสัดส่วนที่ต้องการผลิตจากแบบวิศวกรรม ดังรูป 2.1 ดังนั้น ผู้เขียนโปรแกรมจึงเป็นบุคคลเดียวกันที่ทำหน้าที่เป็น

#### 2.2.2.1 ผู้วางแผนงาน (Planner) ซึ่งจะกำหนดลำดับขั้นตอนในการปฏิบัติงาน



รูปที่ 2.1 แสดงกระบวนการควบคุมเชิงตัวเลข

2.2.2.2 ผู้จัดเครื่องมือ (Tooling man) ซึ่งจะกำหนดฟิกเจอร์เครื่องมือกล (Machine Tool fixtures) และเครื่องมือตัด (Cutting tools) ที่จะใช้

2.2.2.3 ผู้ชำนาญทางเครื่องกล (Machinist) ซึ่งทำหน้าที่พิจารณาการป้อนส่ง (Feed) และความเร็ว (Speed) เมื่อผู้เขียนโปรแกรมชิ้นงานได้วิเคราะห์แล้ว จึงบันทึกผลการตัดสินใจทั้งหมดลงในต้นฉบับในรูปแบบของรหัสหรือสัญลักษณ์ ซึ่งจะได้ออกมาเป็นโปรแกรมที่จะป้อนเข้าสู่เครื่องมือกล ดังรูปที่ 2.1

เอกสารนี้เป็นเอกสารที่สงวนไว้สำหรับการใช้งานเพื่อการศึกษาเท่านั้น ไม่อนุญาตให้นำไปใช้ประโยชน์ด้านการค้าไม่ว่ากรณีใดๆ ทั้งสิ้น อีกทั้งห้ามมิให้ดัดแปลงเนื้อหา และต้องอ้างอิงถึงเจ้าของเอกสารทุกครั้งที่มีการนำไปใช้

ในขั้นต่อไป คอมพิวเตอร์จะถูกนำมาใช้ช่วยผู้เขียนโปรแกรมในการคำนวณชิ้นงานคอมพิวเตอร์ จะคำนวณการตัดกัน (Intersection) การสัมผัส (Tangencies) เป็นต้น จากจุด เส้นตรง และเส้นโค้งที่ได้ถูกกำหนดไว้ในแบบวิศวกรรมโดยอัตโนมัติ แล้วยังคงข้อมูลเหล่านี้เพื่อใช้กับคำสั่งในการตัด (Cutting instruction) คำสั่งในการตัดนี้ คือ การเคลื่อนที่เป็นลำดับที่กำหนดไว้แล้วโดยผู้เขียนโปรแกรมชิ้นงาน และคำสั่งนี้ยังจำเป็นต้องใช้เพื่อสั่งเลื่อนโลหะ ซึ่งจะได้รูปลักษณะของชิ้นงานตามที่ต้องการ คอมพิวเตอร์ยังคำนวณทางเดินออฟเซต (Offset part) ซึ่งเป็นทางเดินไปตามออฟเซตพื้นผิวของชิ้นงานอันเกิดจากการเลือกใช้มีดตัด (Cutter) และคอมพิวเตอร์ยังผลิตตัวกลางควบคุมโดยใช้อัตราการป้อนส่ง (feed rates) ระบบควบคุมและลักษณะพลวัตรของเครื่องมือกล ตัวกลางควบคุมนี้คือเทปที่ใช้สำหรับปฏิบัติงานของเครื่องมือกล และสำหรับการผลิตผลิตภัณฑ์ ดังรูปที่ 2.1

หน้าที่ของผู้ปฏิบัติงานคือ ประกอบฟีกเจอร์บนเครื่องมือกล วางชิ้นงานลงในฟีกเจอร์นี้ ใส่ใบมีดในสปินเดิล (Spindle) และตัวกลางควบคุมที่ระบบควบคุมเครื่องมือกลพร้อมกับเริ่มสตาร์ทการปฏิบัติงาน ระบบควบคุมจะให้คำสั่งของเครื่องมือกล และนำมีดตัดไปตามทางที่กำหนดไว้ก่อนแล้ว ระบบจะทำงานจนถึงขั้นตอนสุดท้ายโดยอ่านตัวกลางควบคุมนี้ แล้วกระตุ้นให้ระบบเซอร์โว สกรูนำ (lead screw) และระบบป้อนกลับให้ทำงาน ดังรูปที่ 2.1

การลองการผลิตและตัวกลางควบคุมในครั้งแรกนี้ โดยปรกติจะมีความผิดพลาดเกิดขึ้นในการผลิตและในการเขียนโปรแกรม เมื่อได้แก้ไขความผิดพลาดเหล่านี้ และทางควบคุมคุณภาพได้ยอมรับชิ้นงานแล้ว จะสามารถผลิตได้โดยไม่ต้องวิเคราะห์หรือตัดสินใจใหม่ ตัวเลขโปรแกรมที่ได้พิจารณาล่วงหน้าเรียบร้อยแล้วนี้จะควบคุมกระบวนการผลิตผลิตภัณฑ์ ดังนั้น จึงเรียกว่า การควบคุมเชิงตัวเลข

### 2.2.3 ความหมายของ NC และ CNC

เอ็นซี (NC) ย่อมาจากคำว่า Numerical Control หมายถึง การควบคุมเครื่องจักรกลด้วยระบบตัวเลขและตัวอักษร เนื่องจากการนำข้อมูลทางคณิตศาสตร์มาใช้ในการควบคุม จึงเรียกว่า การควบคุมเชิงตัวเลข กล่าวคือ การเคลื่อนที่ต่างๆ ตลอดจนการทำงานอื่นๆ ของเครื่องจักรกล จะถูกควบคุมโดยรหัสคำสั่งที่ประกอบด้วยตัวเลข ตัวอักษร และสัญลักษณ์อื่นๆ ซึ่งจะถูกละเปลี่ยนเป็นสัญญาณ (Pulse) ของกระแสไฟฟ้า หรือสัญญาณออกอื่นๆ ที่จะไปกระตุ้นมอเตอร์หรืออุปกรณ์อื่นๆ เพื่อให้เครื่องจักรกลทำงานตามขั้นตอนที่ต้องการ NC เป็นการทำงานของอุปกรณ์จักรกลโดยชุดของรหัสคำสั่ง ซึ่งชุดของรหัสคำสั่งที่สำคัญที่สุดอาจเป็นความสัมพันธ์ระหว่างตำแหน่งของเครื่องมือและชิ้นงาน การจัดเรียงคำสั่งเป็นชุดอย่างถูกแบบแผน จะเรียกว่าชุดคำสั่งของการควบคุมเชิงตัวเลข มันอาจนำไปใช้ในการผลิตชิ้นงานที่เหมือนกันได้ โดยการใช้ชุดคำสั่งซ้ำๆ กัน

ซีเอ็นซี (CNC) ย่อมาจากคำว่า Computerized Numerical Control ระบบควบคุม NC แบบนี้ เป็นผลจากการพัฒนาจากเครื่องจักรกล NC โดยมีการนำเอาคอมพิวเตอร์ที่มีความสามารถสูงเพิ่มเข้าไปภายในระบบ ทำให้สามารถจัดการกับข้อมูลที่ป้อนเข้าไปในระบบ NC และประมวลผลข้อมูลเพื่อนำผลข้อมูลเพื่อผลลัพธ์ที่ได้ไปควบคุมการทำงานของเครื่องจักรกล เช่น ทำให้สามารถกลึงหรือกัดชิ้นงานที่มีรูปทรงยากๆ ได้ง่ายขึ้น สามารถใช้โปรแกรมสำเร็จจำลองเส้นทางเดินของมีดตัดและการคำนวณค่าต่างๆ เช่น ความเร็วรอบ อัตราป้อน เป็นต้น

ในปัจจุบันเครื่องจักรกล NC ส่วนมากจะหมายถึง เครื่องจักรกล CNC ทั้งนี้เพราะว่าระบบ NC ที่ไม่มีคอมพิวเตอร์เป็นส่วนประกอบ มักไม่นิยมสร้างใช้แล้ว เนื่องจากชิ้นส่วนอิเล็กทรอนิกส์ในปัจจุบันมีราคาค่อนข้างถูก ดังนั้น ราคาของชิ้นส่วนอิเล็กทรอนิกส์เหล่านี้ที่เพิ่มขึ้นมา เกือบจะไม่ต้องนำมาพิจารณาเมื่อเทียบกับราคาของเครื่องจักรทั้งเครื่อง

#### 2.2.4 ความแตกต่างระหว่างเครื่องจักรกล NC กับเครื่องจักรกลทั่วไป

เครื่องจักรกลทั่วไปแทนเลื่อน (Slides) ทำหน้าที่นำชิ้นงานหรือเครื่องมือตัดให้เคลื่อนที่ไปตามรางเลื่อน (Sideways) โดยการหมุนมือหมุน หรือโดยการต่อกลไกป้อนอัตโนมัติ เช่น ลูกเบี้ยวในเครื่องกลึงอัตโนมัติ ซึ่งในขณะที่เดียวกันช่วงควบคุมเครื่องจะต้องปฏิบัติงานในหน้าที่อื่นๆ ที่จำเป็นต้องใช้ในการตัดเคลื่อนชิ้นงานนั้นๆ ด้วย เช่น เปิดและปิดสวิทช์ควบคุมการหมุนของเพลาหัวเครื่อง เปลี่ยนอัตราราดและความเร็วรอบ เปิดและปิดสวิทช์ สารหล่อลื่น เป็นต้น ในการปฏิบัติหน้าที่ต่างๆ เหล่านี้ ช่วงควบคุมเครื่องจะต้องใช้ทั้งวิจารณญาณและการตัดสินใจร่วมกัน การตัดสินใจเหล่านี้จะต้องทำซ้ำๆ กันตลอดเวลาที่ทำการผลิตชิ้นงาน ถึงแม้ว่าจะเป็นการผลิตชิ้นงานที่มีรูปทรงเดียวกันก็ตาม

ส่วนเครื่องจักรกล NC การเคลื่อนที่ต่างๆ ที่จะเป็นในการผลิตชิ้นงานจะทำงานโดยอัตโนมัติด้วยตัวเครื่องจักรเอง ตามข้อมูลตัวเลข (Numerical Information) ที่ป้อนให้กับระบบควบคุมของเครื่องจักรกล NC ในรูปแบบของรหัส (Code) ที่ระบบควบคุมของเครื่องสามารถเข้าใจได้

ความแตกต่างในการใช้เครื่องจักรกล NC เมื่อเปรียบเทียบกับเครื่องจักรกลทั่วไปก็คือ การตัดสินใจในการกำหนดขั้นตอนการทำงานต่างๆ จะกระทำเพียงครั้งเดียว กล่าวคือ จะกระทำในขั้นตอนการวางแผนและสร้างโปรแกรม สำหรับควบคุมเครื่องจักรกลเท่านั้น ต่อจากนั้น โปรแกรมก็จะถูกนำไปใช้ในการควบคุมการทำงานของเครื่องจักรกล สำหรับการผลิตชิ้นงานที่ต้องการ โดยสามารถทำการผลิตซ้ำๆ กันก็ครั้งก็ได้ตามความต้องการ

นอกจากโปรแกรมการทำงาน ซึ่งเปรียบเสมือนการวางแผนการทำงานที่ได้จัดเตรียมขั้นตอนการทำงานทุกขั้นตอน การป้องกันความเสียหายที่เกิดขึ้นได้ ตลอดจนการป้องกันอันตรายที่อาจเกิดขึ้นได้นั้น การผลิตชิ้นงานด้วยเครื่องจักรกล NC ยังช่วยลดเวลาการทำงานอื่นๆ ที่จำเป็น

เอกสารนี้เป็นเอกสารที่สงวนไว้สำหรับการใช้งานเพื่อการศึกษาเท่านั้น ไม่อนุญาตให้นำไปใช้ประโยชน์ด้านการค้า ไม่ว่ากรณีใดๆ ทั้งสิ้น อีกทั้งห้ามมิให้ดัดแปลงเนื้อหา และต้องอ้างอิงถึงเจ้าของเอกสารทุกครั้งที่มีการนำไปใช้

ด้วย เช่น ลดเวลาการตรวจสอบขนาดของชิ้นงาน ลดเวลาการปรับตำแหน่งของชิ้นงาน ลดเวลาในการปรับเปลี่ยนความเร็วรอบในการทำงาน เป็นต้น

ตารางที่ 2.1 เปรียบเทียบการทำงานระหว่างเครื่องจักรกลทั่วไปกับเครื่องจักรกล NC

			เครื่องจักรกลทั่วไป	เครื่องจักรกล NC
1	การป้อนโปรแกรม	ขั้นเตรียมงาน	ไม่มี	มี
2	การจับยึดชิ้นงาน		มือ	มือ
3	การจับยึดเครื่องมือตัด		มือ	มือหรือชุดควบคุม
4	การตั้งจุดอ้างอิง		มือ	มือ
5	การตั้งความเร็วรอบ		มือ	ระบบควบคุม
6	การเลื่อนแท่นเลื่อน	ขั้นตัดเฉือน	มือหมุน	ระบบควบคุม
7	การเปรียบเทียบระยะ		สายตา	ระบบควบคุม
8	การตรวจสอบขนาด		เครื่องมือวัด	ใช้เวลาน้อยกว่า

### 2.2.5 ความแตกต่างระหว่างระบบNC กับระบบCNC

ระบบ CNC เป็นระบบที่พัฒนาต่อเนื่องมาจากระบบNC ดังนั้น ความแตกต่างระหว่างระบบNC กับระบบ CNC ก็จะอยู่ที่ความสามารถของระบบควบคุมนั่นคือ คอมพิวเตอร์ เมื่อนำระบบCNC ไปควบคุมเครื่องจักรกล ความสามารถในการทำงานต่างๆ จะเพิ่มมากขึ้นเมื่อเปรียบเทียบกับเครื่องจักรกล NC ดังนี้

2.2.5.1 การแสดงภาพจำลอง (Simulation) การทำงานตาม โปรแกรมที่ป้อนเข้าไปในระบบทางจอภาพ

2.2.5.2 ความจุของหน่วยความจำเพิ่มมากขึ้น สามารถเก็บข้อมูล โปรแกรมได้มาก

2.2.5.3 การแก้ไขและลบโปรแกรมสามารถกระทำได้ที่เครื่องจักร โดยตรง

2.2.5.4 สามารถส่งข้อมูลไปเก็บไว้ในหน่วยความจำภายนอกได้

2.2.5.5 ระบบความปลอดภัยเพิ่มมากขึ้น

2.2.5.6 มีการชดเชยความผิดพลาดที่เกิดจากการวัดและการส่งคำสั่ง

2.2.5.7 มีโปรแกรมสำเร็จสำหรับการคำนวณค่าต่างๆ เช่น ความเร็วรอบ

อัตราป้อน เป็นต้น

### 2.2.6 ข้อดีข้อเสียของเครื่องจักรกล NC และ CNC

เครื่องจักรกลNCและCNCเป็นเครื่องจักรกลสมัยใหม่ ที่มีประสิทธิภาพการทำงานสูง แต่ในขณะเดียวกันราคาก็สูงตามด้วย ดังนั้น ก่อนที่จะพิจารณาจัดซื้อเครื่องจักรกลประเภทนี้ มาใช้ใน

กระบวนการผลิต จำเป็นที่จะต้องศึกษารายละเอียดต่างๆ เกี่ยวกับขีดความสามารถของเครื่อง เอกสารเป็นเอกสารที่ส่งมอบไว้สำหรับการใช้งานเพื่อการศึกษาเท่านั้น ไม่นับญาติให้นำไปใช้ประโยชน์การค้า ตลอดจนข้อดีและข้อเสียของเครื่องจักรกลประเภทนี้ก่อน ไม่ว่าจะกรณีใดๆ ทั้งสิ้น อีกทั้งห้ามมีเหตุดัดแปลงเนื้อหา และต้องอ้างอิงถึงเจ้าของเอกสารทุกครั้งที่มีการนำไปใช้

### ข้อดีของเครื่องจักรกล NC และ CNC

เมื่อเปรียบเทียบกับเครื่องจักรกลอัตโนมัติประเภทอื่นๆ พอจะสรุปได้ดังนี้

1. มีความยืดหยุ่นในการทำงานสูง ; การเปลี่ยนงานใหม่จะแก้ไขหรือเปลี่ยนแปลงเฉพาะโปรแกรมเท่านั้น
2. ความเที่ยงตรง (Accuracy) จะอยู่ในระดับเดียวกันตลอดช่วงความเร็วรอบและอัตราป้อนที่ใช้ทำการผลิต
3. การใช้เวลาในการผลิต (Production Time) สั้นกว่า
4. สามารถใช้ผลิตชิ้นงานที่มีรูปร่างซับซ้อนได้ง่าย หรือมีขนาดเหมือนกันจำนวนมาก
5. การปรับตั้งเครื่องจักรกลกระทำได้ง่าย ใช้เวลาน้อยกว่าการผลิตด้วยวิธีอื่นๆ
6. หลีกเลี่ยงความจำเป็นที่ต้องใช้ช่างควบคุมที่มีทักษะและประสบการณ์สูง
7. ช่างควบคุมเครื่องมีเวลาว่างจากการควบคุมเครื่อง สามารถที่จะจัดเตรียมงานอื่นๆ ว่างล่วงหน้าได้
8. การตรวจสอบคุณภาพไม่จำเป็นต้องกระทำทุกชั้นตอนและทุกชิ้น
9. ลดขั้นตอนการจัดเก็บเอกสาร แบบงาน และอะไหล่ เพียงแต่เก็บ โปรแกรมคำสั่งไว้เท่านั้น
10. การเปลี่ยนแปลงรูปร่างของชิ้นงานไม่มีผลต่อการผลิต เนื่องจากเครื่องจักรกล CNC ไม่ต้องใช้เครื่องมือพิเศษ หรือ จิ๊ก ฟิกเจอร์ เพียงแต่เปลี่ยนแปลงโปรแกรมคำสั่งเท่านั้น

### ข้อเสียของเครื่องจักรกล NC และ CNC มีดังนี้

1. ราคาของเครื่องจักรค่อนข้างสูง
2. การบำรุงรักษามีความซับซ้อนมาก
3. จำเป็นต้องใช้ช่างเขียน โปรแกรม (Part Programmer) ที่มีทักษะสูงและฝึกอบรมมาโดยเฉพาะ
4. ชิ้นส่วนหรืออะไหล่ที่ใช้ในการซ่อมบำรุง ไม่สามารถผลิตได้ในประเทศ จำเป็นต้องสั่งซื้อหรือนำเข้าจากต่างประเทศ
5. การซ่อมบำรุงจะต้องใช้ช่างที่มีประสบการณ์สูงและผ่านการฝึกอบรมมาโดยเฉพาะ
6. ราคาของเครื่องมือต่างๆ ที่ใช้ในกระบวนการตัดเฉือน เช่น แกนเพลายัด ไบมีด มีดกลึงแบบใช้อินเสิร์ต (Insert) เป็นต้น มีราคาสูง
7. พื้นที่ติดตั้งเครื่องจักร จะต้องควบคุมอุณหภูมิ ความชื้น และฝุ่นละออง

เอกสารนี้เป็นเอกสารที่สงวนไว้สำหรับการใช้งานเพื่อการศึกษาเท่านั้น ไม่อนุญาตให้นำไปใช้ประโยชน์ด้านการค้า ไม่ว่ากรณีใดๆ ทั้งสิ้น อีกทั้งห้ามมิให้ดัดแปลงเนื้อหา และต้องอ้างอิงถึงเจ้าของเอกสารทุกครั้งที่มีการนำไปใช้

## 2.3 ระบบแกนเครื่องจักร (Machine axis) [20]

Lin 1994 ได้กล่าวว่าเครื่องมือกลแต่ละเครื่องจะมีการเคลื่อนที่ของแกนอยู่ 2 แบบด้วยกัน คือแบบเชิงเส้นตรง (Linear motion) และแบบหมุน (Rotary motion) การเคลื่อนที่เชิงเส้น เครื่องจักรจะเคลื่อนที่ไปเป็นเส้นตรงขนานกับแกนอ้างอิง (reference axis) การเคลื่อนที่แบบหมุน จะเป็นการหมุนรอบแกนอ้างอิง สมาคมอุตสาหกรรมอิเล็กทรอนิกส์ (EIA) ได้สร้างมาตรฐาน สำหรับกำหนดแกนของเครื่องจักร CNC ไว้ใน EIA-267-B มาตรฐานนี้ได้มีการกำหนดแกนต่างๆ ไว้ 14 แกนด้วยกัน ประกอบด้วยแกนเชิงเส้น 9 แกน และแกนหมุน 5 แกน แกนเชิงเส้นของ เครื่องจักรอาจจะประกอบไปด้วยแกนเชิงเส้นปฐมภูมิ (Primary linear axis) 3 แกน แกนเชิงเส้นทุติยภูมิ (Secondary linear axis) 3 แกน และตติยภูมิ (Tertiary linear axis) 3 แกน ในแกนหมุนจะ ประกอบไปด้วยแกนหมุนปฐมภูมิ (Primary rotary axis) 3 แกน แกนหมุนทุติยภูมิ (Secondary rotary axis) 2 แกน แต่โดยทั่วไปเครื่องจักร CNC ส่วนใหญ่ประกอบด้วยแกนเชิงเส้นเพียง 3 แกน และแกนหมุน 1 แกน สำหรับการจัดวางตำแหน่งชิ้นงาน

### 2.3.1 แกนเชิงเส้นปฐมภูมิ : X, Y, และ Z

แกนเชิงเส้นปฐมภูมิมักจะถูกกำหนดเป็นแกน X, Y, และ Z การกำหนดแกนเหล่านี้บน เครื่องจักร CNC จะใช้กฎพิคคัมมือขวา ดังในรูปที่ 2.2

### 2.3.2 แกนหมุนปฐมภูมิ : A, B, และ C

แกนหมุนปฐมภูมิ จะถูกกำหนดชื่อเป็น : A, B, และ C โดยใช้เป็นการชี้ทิศทาง การ หมุนรอบแกน X, Y, และ Z ตามลำดับ ดังรูปที่ 2.3 ซึ่งทิศทาง การ หมุนใช้กฎหัวแม่มือของมือขวา

### 2.3.3 แกนเชิงเส้นทุติยภูมิ : U, V, และ W

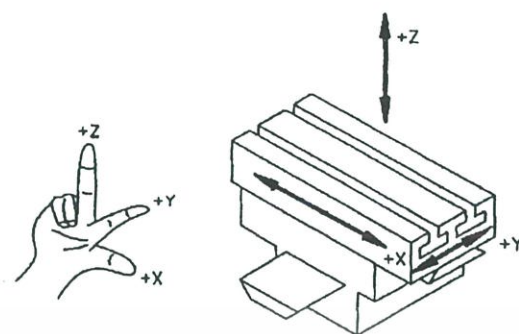
เครื่องจักร CNC บางเครื่องอาจจะมีการเคลื่อนที่ของแกนเชิงเส้นเพิ่มเติม แกนเชิงเส้น ทุติยภูมิ U จะขนานกับแกน X, แกน V จะขนานกับแกน Y และแกน W จะขนานกับแกน Z

### 2.3.4 แกนหมุนทุติยภูมิ : D และ E

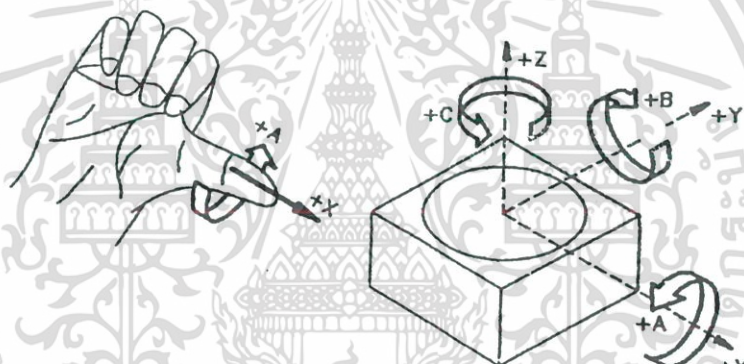
ตัวอักษร D และ E จะถูกนำมาใช้แทนแกนหมุนทุติยภูมิ ซึ่งแกนหมุนนี้อาจจะขนานกับ แกนหมุน A, B, หรือ C หรือเป็นแกนพิเศษก็ได้

### 2.3.5 แกนเชิงเส้นตติยภูมิ : P, Q และ R

เครื่องจักร CNC ที่ซับซ้อนมากๆ อาจจะมีชุดของแกนเคลื่อนที่เชิงเส้น ชุดที่ 3 ขนานกับ 1 แกนเชิงเส้นก็ปฐมภูมิได้ ตัวอักษร P, Q และ R จะแทนแกนเชิงเส้นตติยภูมิที่ขนานกับแกน X, Y, และ Z ตามลำดับ



รูปที่ 2.2 แสดงการกำหนด แกนเชิงเส้นปฐมภูมิ :X,Y,และ Z ตามกฎมือขวา



รูปที่ 2.3 แสดงการกำหนดแกนหมุนปฐมภูมิ : A,B,และ C ตามกฎมือขวา

การที่ชิ้นงานจะถูกตกแต่งให้มีรูปแบบตามที่ต้องการได้นั้นจำเป็นที่จะต้องให้เครื่องมือกลมีการเคลื่อนที่ที่สัมพันธ์กับชิ้นงานไม่ว่าจะเป็นในรูปแบบที่ชิ้นงานอยู่กับที่แล้วให้เครื่องมือกลเคลื่อนที่หรือ เครื่องมือกลอยู่กับที่ แล้วให้ชิ้นงานเคลื่อนที่ไปโดยอาศัยการเคลื่อนที่ของแท่นยึดจับชิ้นงานหรืออาจเป็นไปในรูปแบบที่ทั้งสองต่างเคลื่อนที่ไปพร้อมๆกัน

ลักษณะของการเคลื่อนที่สัมพันธ์สามารถกำหนดได้โดยอาศัยระบบแกนอ้างอิง (Coordinate Systems) ซึ่งโดยทั่วไปแล้วนิยามที่จะให้แท่นยึดจับเคลื่อนที่โดยการเคลื่อนไปในแนวแกน X, Y และ Z ซึ่งเป็นทิศทางหลักของการเคลื่อนที่ โดยทิศทางที่เป็นบวกหรือลบจะถูกกำหนดโดยบริษัทผู้ผลิตและการเคลื่อนที่ไปในแต่ละทิศทางจะมีการหมุนรอบแกนนั้นด้วยก็ได้ นอกจากนี้ยังอาจมีทิศทางรองของการเคลื่อนที่ ซึ่งอาจจะกำหนดโดยแนวแกน U, V และ W โดยจำนวนแกนอ้างอิงต่างๆ

เหล่านี้จะบอกถึงการสัมพันธ์ของการเคลื่อนที่และตำแหน่งรวมถึงมุมระหว่างชิ้นงานและเครื่องมือกล เอกสารนี้เป็นเอกสารที่สงวนไว้สำหรับการใช้งานเพื่อการศึกษาเท่านั้น ไม่อนุญาตให้นำไปเผยแพร่บนสื่อออนไลน์ ไม่ว่ากรณีใดๆ ทั้งสิ้น อีกทั้งห้ามมิให้ดัดแปลงเนื้อหา และต้องอ้างอิงถึงเจ้าของเอกสารทุกครั้งที่มีการนำไปใช้

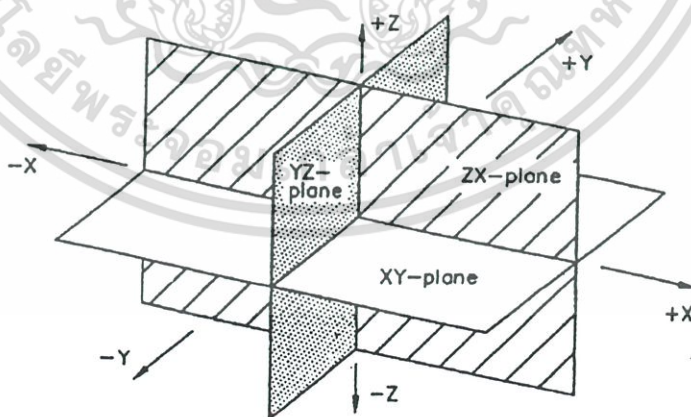
ดังนั้นความสามารถในจำนวนแกน เช่น 2 แกน, 3 แกน หรือ 5 แกน จึงเป็นสิ่งที่บอกถึงจำนวนแกนที่สามารถควบคุมได้ในขณะเดียวกัน

## 2.4 ระบบพิกัดบอกตำแหน่ง (Coordinate systems)

หลักการของการทำโปรแกรมชิ้นงาน NC คือการนำเครื่องมือตัดเคลื่อนไปรอบๆ ชิ้นงาน เพื่อสร้างรูปทรงเรขาคณิตของชิ้นงานมา ในการนี้ผู้ใช้โปรแกรมชิ้นงานต้องวางแผนว่าจะทำชิ้นงานอย่างไร ปฏิบัติการตัดเฉือนอะไรที่ควรที่จะเลือกมาใช้ และมีลำดับของปฏิบัติการอย่างไร จะเลือกใช้เครื่องมือตัดอะไร และจะใช้เครื่องจักรอะไร การแปลงข้อมูลเหล่านี้ไปเป็นชิ้นงานจะต้องอาศัยระบบพิกัดตำแหน่ง ในเครื่องจักร CNC จะมีระบบพิกัดตำแหน่งที่แสดงถึงลักษณะของชิ้นงานอยู่สองแบบด้วยกันคือระบบพิกัดคาร์ทีเซียน (Cartesian coordinate system) และระบบพิกัดเชิงขั้ว (Polar coordinate system)

### 2.4.1 ระบบพิกัดคาร์ทีเซียน (Cartesian coordinate system)

พิกัดคาร์ทีเซียน หรือระบบพิกัดฉาก (Rectangular coordinate system) เป็นระบบที่กำหนดตำแหน่งของจุดใดๆ ตามแกนสามอันซึ่งตั้งฉากซึ่งกันและกัน โดยมีระนาบ XY, ZX, และ YZ ดังแสดงในรูปที่ โดยส่วนใหญ่ระนาบ XY มักจะเป็นระนาบของโต๊ะที่วางชิ้นงาน ชิ้นงานเหล่านี้จะถูกนิยามในรูปอนุกรมของจุด เส้นตรง และเส้นโค้ง นั่นคือ นิยามให้อยู่ในรูปเรขาคณิตของผิวหน้าชิ้นงาน (part surfaces) กระบวนการ NC นี้ได้ใช้ระบบของคู่ลำดับ (coordinates) เพื่อสร้างรูปเรขาคณิต ระบบนี้จะแสดงได้เป็นสองแบบคือ



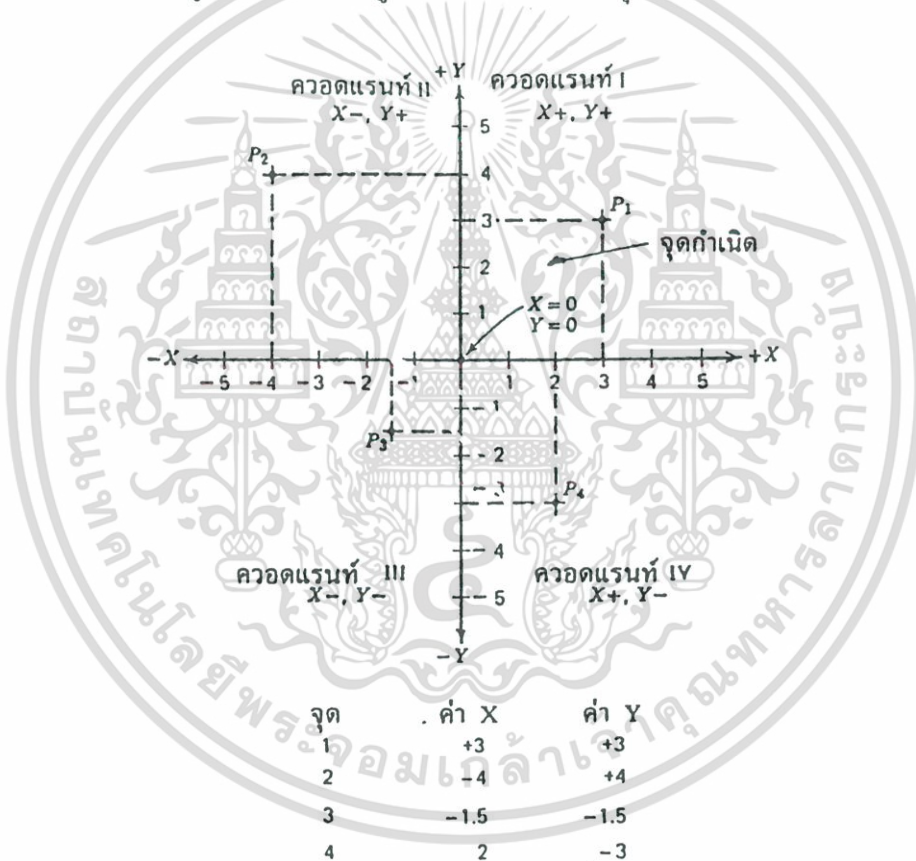
รูปที่ 2.4 แสดงแกนหลักทั้งสามของระบบพิกัดคาร์ทีเซียน

เอกสารนี้เป็นเอกสารที่สงวนไว้สำหรับการใช้งานเพื่อการศึกษาเท่านั้น ไม่อนุญาตให้นำไปใช้ประโยชน์ด้านการค้า ไม่ว่ากรณีใดๆ ทั้งสิ้น อีกทั้งห้ามมิให้ดัดแปลงเนื้อหา และต้องอ้างอิงถึงเจ้าของเอกสารทุกครั้งที่มีการนำไปใช้

### 2.4.1.1 ระบบสองมิติ (2D)

ระบบพิกัดที่ง่ายที่สุดคือ ระบบสองมิติ (two-dimension system) หรือระบบสองแกน ดังรูปที่ 2.5 เป็นระบบสองมิติที่ถูกสร้างขึ้นด้วยเส้นตรงสองเส้นที่มีสเกลอยู่ และเส้นตรงสองเส้นนี้ต่างตั้งฉากซึ่งกันและกัน จุดที่ตัดกันของเส้นตรงสองเส้นนี้ จะเป็นจุดศูนย์กลางของเส้นตรงทั้งสอง ดังนั้น เส้นตรงทั้งสองจึงเป็นแกนพิกัด (coordinate axes) และจุดตัดกันจะเรียกว่าจุดกำเนิด (Origin) ซึ่งจะกำหนดว่า  $X = 0, Y = 0$

เครื่องหมายของแกนนั้น พิจารณาจากทิศทางที่ออกจากจุดกำเนิด ดังที่ได้แสดงไว้ในรูปที่ 2.5 แกน x อยู่ทางซ้ายของจุดกำเนิดจะเป็นลบ และเป็นบวกเมื่ออยู่ทางขวาของจุดกำเนิด ในทำนองเดียวกัน แกน y ที่อยู่ใต้จุดกำเนิดจะเป็นลบ และเป็นบวกเมื่ออยู่เหนือจุดกำเนิด ตำแหน่งจุดใดๆ บนระนาบ นี้จะถูกพิจารณาและถูกบรรยายโดยอ้างอิงจุดกำเนิด



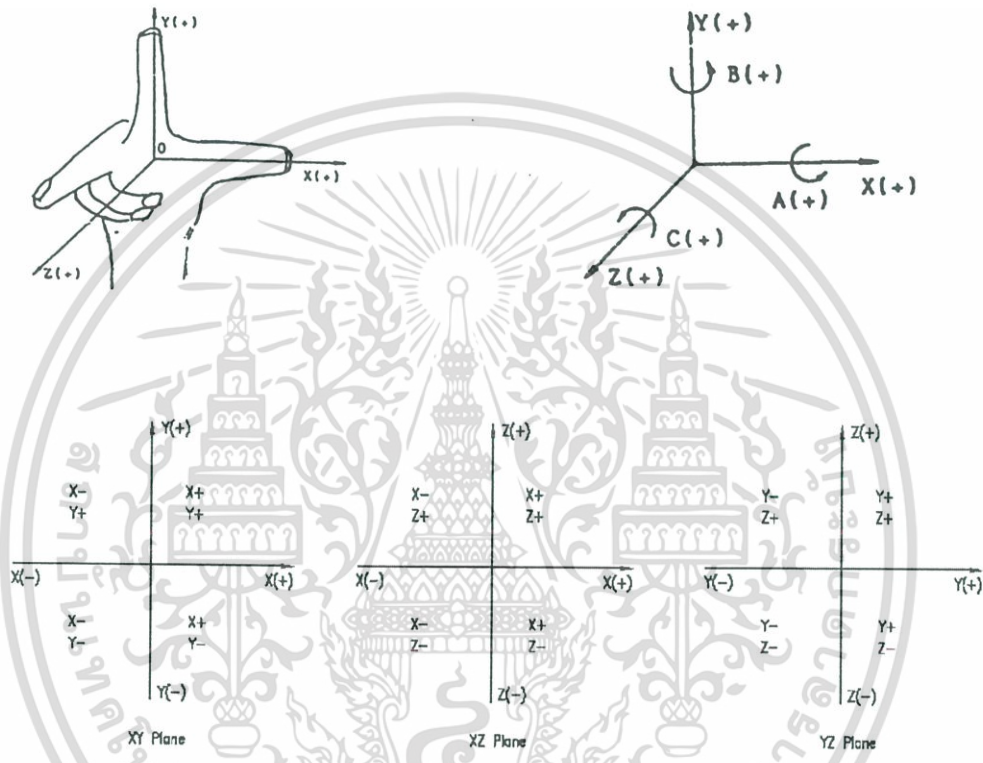
รูปที่ 2.5 แสดงระบบพิกัดคาร์ทีเซียนแบบสองมิติ

### 2.4.1.2 ระบบสามมิติ (3D)

เมื่อเพิ่มแกนพิกัด Z อีกแกนหนึ่ง เข้ากับแกน x และแกน y ของระบบพิกัดสองมิติแล้ว จะสามารถสร้างระบบสามมิติ (three dimensional system) หรือสามแกนขึ้นได้ ดังแสดงในรูปที่ 2.6 อาจจะกล่าวได้อีกว่า ระบบพิกัดสามมิตินั้น สร้างขึ้นจากเส้นตรงที่ตั้งฉากซึ่งกันและกัน เอกสารนี้เป็นเอกสารที่สงวนไว้สำหรับครูช่างานเพื่อการศึกษาเท่านั้น ไม่อนุญาตให้ใช้ไปใช้ประโยชน์ในการค้ากัน ในสเปซ (space) เส้นตรงเหล่านี้จะถูกระบุให้มีหน่วยเหมือนกัน และให้ชื่อแกนพิกัดเป็น x, y, z ไม่ว่ากรณีใดๆ ทั้งสิ้น อีกทั้งห้ามมิให้ตัดแปลงเนื้อหา และต้องอ้างอิงถึงเจ้าของเอกสารทุกครั้งที่มีการนำไปใช้

y และ z ส่วนจุดตัดกันก็จะเหมือนกรณีของระบบสองมิติ กล่าวคือ จุดนี้จะเป็นจุดกำเนิด และมีค่าคู่ลำดับของ  $x = 0, y = 0$  และ  $z = 0$  ดังรูป เป็นรูปที่ 2.6 แสดงระบบคู่ลำดับมือขวา

แกนที่จับกันเป็นคู่ๆ จะทำให้เกิดระนาบคู่ลำดับ  $xy, xz$  และ  $yz$  ถ้า  $p$  เป็นจุดใดๆ ในสเปซ ค่าคู่ลำดับ  $x, y$  และ  $z$  จะสามารถสร้างได้จากระนาบที่ตั้งฉากกับแกนคู่ลำดับในแต่ละแกนกับจุดตัดที่  $p$  ระยะเวลาที่วัดจากจุดกำเนิดไปตามแกน  $x, y$  และ  $z$  คือ คู่ลำดับ  $x, y$  และ  $z$  ของจุด  $p$



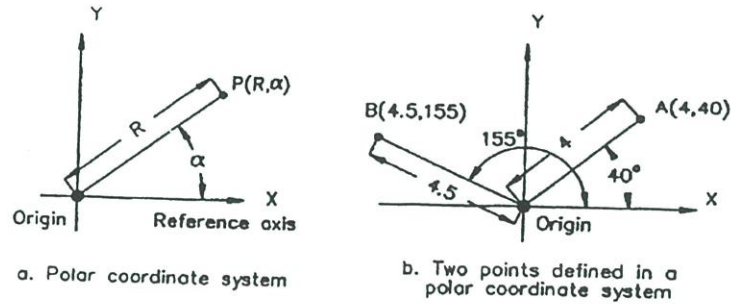
รูปที่ 2.6 แสดงกฎมือขวา การหมุนรอบแนวแกนและระนาบต่างๆ

#### 2.4.2 ระบบพิกัดเชิงขั้ว (Polar coordinate system)

ในระบบพิกัดเชิงขั้วจะบอกตำแหน่งเป็นค่ารัศมีอันหนึ่งวัดจากจุดอ้างอิง และค่ามุมอันหนึ่งที่รัศมีอันนี้ทำกับแกนอ้างอิงดังรูปที่ 2.7 จุดอ้างอิงนี้มีมักจะเป็นจุดกำเนิดของระบบพิกัดฉากและแกนอ้างอิงมักจะเป็นแกน X บวกของระบบพิกัดฉาก ค่ามุมจะเป็นบวกเมื่อวัดทวนเข็มนาฬิกา และมีค่ามุมเป็นลบเมื่อวัดตามเข็มนาฬิกา การบอกค่าในพิกัดเชิงขั้วมักจะแบ่งเป็น  $(R, \theta)$  โดย  $R$  แทนรัศมี,  $\theta$  แทนค่ามุมดังรูปที่ 2.7

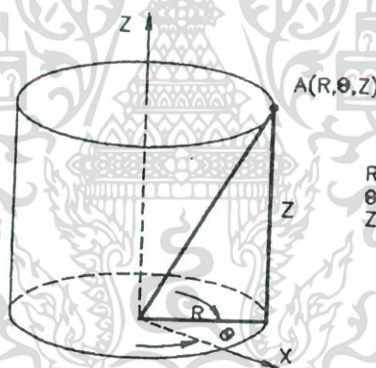
60252

เอกสารนี้เป็นเอกสารที่สงวนไว้สำหรับการใช้งานเพื่อการศึกษาเท่านั้น ไม่อนุญาตให้นำไปใช้ประโยชน์ด้านการค้า ไม่ว่าจะกรณีใดๆ ทั้งสิ้น อีกทั้งห้ามมิให้ดัดแปลงเนื้อหา และต้องอ้างอิงถึงเจ้าของเอกสารทุกครั้งที่มีการนำไปใช้



รูปที่ 2.7 แสดงระบบพิกัดเชิงขั้ว

สำหรับระบบพิกัดเชิงขั้วที่มีขนาดมิติทางแกน Z ด้วยนั้น เราเรียกเป็นระบบพิกัดทรงกระบอก (Cylindrical coordinate system) โดยจะมีการกำหนดจุดเป็น  $(R, \theta, Z)$  ตัวอย่างเช่นจุด A ในรูปที่ 2.8



รูปที่ 2.8 ระบบพิกัดทรงกระบอก

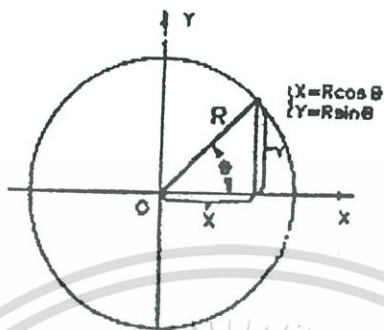
ระบบพิกัดทรงกระบอกจะมีประโยชน์มากในการประมาณระบบเฮลิคอลลินเทอร์โปเลชัน (Helical Interpolation) ซึ่งการหมุนมักจะอยู่ในระนาบ XY และการเคลื่อนที่เชิงเส้นมักจะอยู่ในแนวแกน Z ในทางคณิตศาสตร์ ระบบพิกัดเชิงขั้วและระบบพิกัดคาร์ทีเซียนจะมีความสัมพันธ์กันดังในรูปที่ 2.9 นั่นคือ

เอกสารนี้เป็นเอกสารที่สงวนไว้สำหรับการใช้งานเพื่อการศึกษาเท่านั้น ไม่อนุญาตให้นำไปใช้ประโยชน์ด้านการค้าไม่ว่ากรณีใดๆ ทั้งสิ้น อีกทั้งห้ามมิให้ดัดแปลงเนื้อหา และต้องอ้างอิงถึงเจ้าของเอกสารทุกครั้งที่มีการนำไปใช้

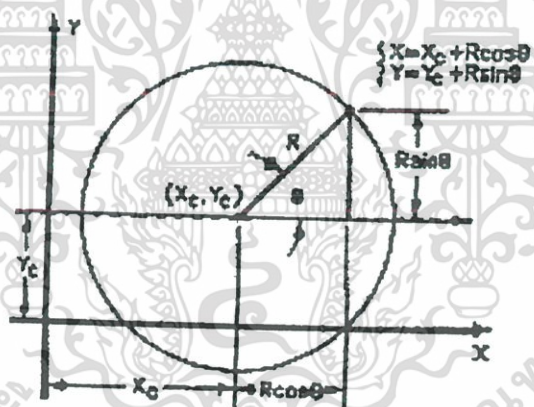
$$X = R \cos \theta \quad (2.1)$$

$$Y = R \sin \theta \quad (2.2)$$

$$Z = Z \quad (2.3)$$



รูปที่ 2.9 แสดงความสัมพันธ์ระหว่างระบบพิกัดคาร์ทีเซียนและระบบพิกัดเชิงขั้ว



รูปที่ 2.10 แสดงความสัมพันธ์ระหว่างระบบพิกัดคาร์ทีเซียนและระบบพิกัดเชิงขั้ว กรณีจุดกำเนิดไม่อยู่ที่เดียวกัน

ในกรณีที่จุดกำเนิดของระบบพิกัดอ้างอิงไม่ได้อยู่ที่เดียวกับจุดกำเนิดของระบบพิกัดคาร์ทีเซียน ความสัมพันธ์ของระบบทั้งสองอาจเขียนออกมาอยู่ในรูปที่ คือ

$$X = X_c + R \cos \theta \quad (2.4)$$

$$Y = Y_c + R \sin \theta \quad (2.5)$$

เอกสารนี้เป็นเอกสารที่สงวนไว้สำหรับการใช้งานเพื่อการศึกษาเท่านั้น ไม่อนุญาตให้นำไปใช้ประโยชน์ด้านการค้า ไม่ว่ากรณีใดๆ ทั้งสิ้น อีกทั้งห้ามมิให้ดัดแปลงเนื้อหา และต้องอ้างอิงถึงเจ้าของเอกสารทุกครั้งที่มีการนำไปใช้

## 2.5 ระบบการเคลื่อนที่มีทิศทางของเครื่องจักรCNC

ในการทำโปรแกรมชิ้นงานCNC จะมีการบ่งบอกตำแหน่งสองวิธีด้วยกัน คือ

2.5.1 ระบบการบอกตำแหน่งแบบสัมบูรณ์ (Absolute Positioning System) ในระบบนี้ตำแหน่งต่างๆ จะแบ่งออกมาเป็นค่าเทียบกับจุดอ้างอิงเดิมเสมอ

2.5.2 ระบบการบอกตำแหน่งแบบส่วนเพิ่ม (Incremental Positioning System) ระบบนี้ค่าตำแหน่งที่บ่งบอกจะเป็นค่าที่อ้างอิงจากจุดก่อนหน้าหนึ่งจุดเสมอ

ระบบการบอกตำแหน่งแบบสัมบูรณ์ จะดีกว่าระบบการบอกตำแหน่งแบบส่วนเพิ่มในเรื่องความผิดพลาดของตำแหน่ง (positioning errors) เนื่องจากระบบการบอกตำแหน่งแบบสัมบูรณ์จะมีจุดอ้างอิงเพียงจุดเดียว หากมีการผิดพลาดก็ผิดพลาดเพียงจุดเดียว ไม่มีผลกระทบกับจุดอื่น ต่างกับระบบการบอกตำแหน่งแบบส่วนเพิ่ม ซึ่งจะมีการเปลี่ยนจุดอ้างอิงไปเรื่อยๆ หากมีการผิดพลาดเพียงจุดเดียวจะทำให้จุดต่อไปผิดพลาดไปด้วย

## 2.6 ระบบพิกัดอ้างอิง

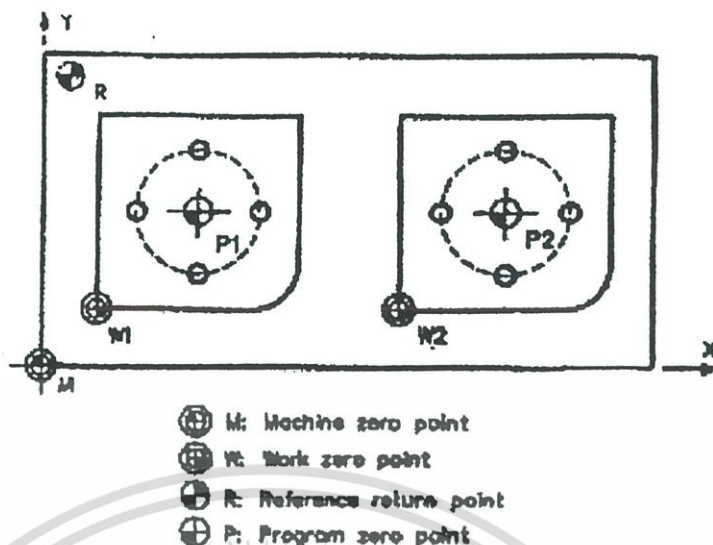
ในการโปรแกรม NC จะต้องมีจุดอ้างอิงอย่างน้อยหนึ่งจุด เพื่อใช้กำหนดค่าพิกัดตำแหน่งต่างๆ จุดอ้างอิงเหล่านี้จะถือเป็นจุดศูนย์อ้างอิง (Zero point) ซึ่งอาจแบ่งออกได้เป็นสี่แบบด้วยกัน

2.6.1 จุดศูนย์อ้างอิงของเครื่องจักร (Machine reference zero point) จุดกำเนิดนี้เป็นจุดกำเนิดของระบบพิกัดของเครื่องจักร จุดนี้จะเปลี่ยนแปลงไม่ได้

2.6.2 จุดอ้างอิงสำหรับการกลับที่เดิม (Reference return point) จุดเหล่านี้เป็นจุดที่กำหนดไว้ล่วงหน้าอย่างถูกต้อง เพื่อให้แต่ละแกนเคลื่อนที่กลับมาซึ่งอาจใช้ลิimitsวิตซ์ตั้งระยะไว้ได้ เพื่อให้สปีนเดิล(spindle) หรือ โต๊ะจับชิ้นงานกลับมาประจำที่ตำแหน่งนี้

2.6.3 จุดศูนย์อ้างอิงของงาน (Work reference zero point) จะเป็นจุดกำเนิดของระบบพิกัดของชิ้นงาน อาจมีการกำหนดจุดศูนย์ของชิ้นงานมากกว่าหนึ่งจุดก็ได้บน โต๊ะจับชิ้นงานของเครื่องจักร จุดสำหรับการติดตั้งอาจอยู่ที่จุดศูนย์ของชิ้นงานก็ได้

2.6.4 จุดศูนย์อ้างอิงของโปรแกรม (Program reference zero point) ตำแหน่งจุดศูนย์อ้างอิงเหล่านี้ อาจกำหนดหรือเลือกใช้โดยผู้เขียน โปรแกรมเอง ซึ่งอาจจะมียมากกว่าหนึ่งจุดอยู่ในโปรแกรมเดียวกัน ตัวอย่างการกำหนดจุดอ้างอิงเหล่านี้แสดงไว้ในรูปที่ 2.11



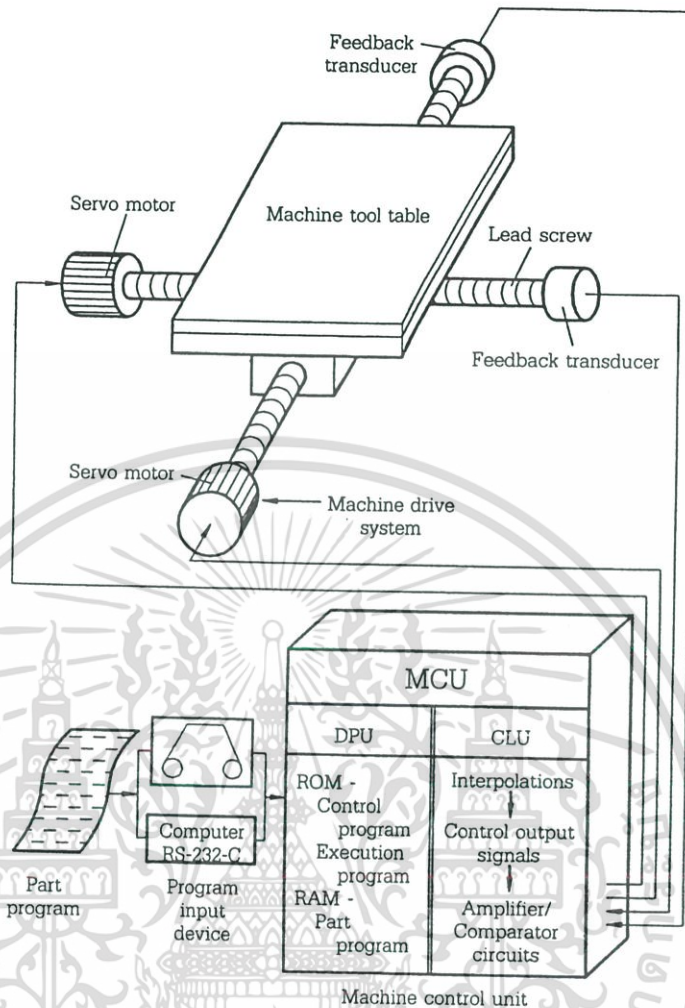
รูปที่ 2.11 แสดงระบบพิกัดอ้างอิง

## 2.7 ทฤษฎีการทำงานของเครื่องกัด CNC

การควบคุมเครื่องจักรด้วยคอมพิวเตอร์ (Computer Numerical Control) นั้น เป็นระบบการควบคุมเชิงตัวเลขด้วยคอมพิวเตอร์ ซึ่งนำไปประยุกต์ใช้กับเครื่องจักรกล เพื่อให้สามารถผลิตชิ้นงานทางเรขาคณิตที่ซับซ้อน ให้เกิดความรวดเร็วต่อการผลิตชิ้นงาน อีกทั้งยังให้ความเที่ยงตรงสูง จึงมีการนำการควบคุมเชิงตัวเลขมาประยุกต์ใช้กับเครื่องจักรหลายๆ ประเภท เช่น เครื่องกล เครื่องตัด โลหะ เครื่องกัดเซาะโลหะด้วยไฟฟ้า และอื่นๆ โดยจะมีการทำงานดังรูปที่ 2.12 ซึ่งหน่วยอินพุต (Input) จะทำการรับข้อมูลคำสั่ง และประมวลผลของคำสั่งแล้วจึงไปควบคุมการทำงานของเครื่องจักรกล ให้ผลิตตามข้อมูลที่ได้รับ ดังแสดงรูปที่ 2.12 จากรูปที่ 2.12 สามารถแสดงถึงส่วนประกอบพื้นฐานของระบบ CNC เป็น 5 ส่วนสำคัญ ดังนี้

### 2.7.1 ส่วนโปรแกรมสั่งงาน (Part Program)

ในโปรแกรมสั่งงานของระบบ CNC จะมีลักษณะเรียงกันเป็นแถวลำดับ ซึ่งแต่ละแถวจะถูกเขียนเป็นคำสั่งในรูปแบบของตัวเลข ตัวอักษร และสัญลักษณ์ การเขียนโปรแกรมเพื่อใช้เพื่อใช้ในการควบคุมเครื่องจักรกลนั้น มีหลายแบบ เช่น ภาษาโปรแกรมรหัส NC ภาษาเอสพีทีแอล ภาษาเอพีที ซึ่งภาษาเหล่านี้จะแทนตำแหน่งการเคลื่อนที่ของเครื่องมือตัดบนเครื่องจักร CNC เพื่อใช้สำหรับการขึ้นรูปชิ้นส่วนในการผลิต



รูปที่ 2.12 แสดงส่วนประกอบพื้นฐานของระบบ CNC

#### 2.7.1.1 เลขฐานต่างๆ (Number System)

ระบบเลขฐานสิบเป็นระบบที่เราใช้กันอยู่ในโลกปัจจุบันนี้ ในทางทฤษฎีเราอาจใช้เลขฐานจำนวนใดๆ ก็ได้แต่นิยมใช้กันจะได้แก่ เลขฐานสิบ (Decimal : BCD) ใช้เลข 0 ถึง 9 เลขฐานสอง (Binary : BIN) ใช้เลข 0 หรือ 1 เลขฐานแปด (Octal) ใช้เลข 0 ถึง 7 และเลขฐานสิบหก (Hexadecimal : HEX) ใช้เลข 0 ถึง 9 และ ถึง F

เอกสารนี้เป็นเอกสารที่สงวนไว้สำหรับการใช้งานเพื่อการศึกษาเท่านั้น ไม่อนุญาตให้นำไปใช้ประโยชน์ด้านการค้า ไม่ว่าจะกรณีใดๆ ทั้งสิ้น อีกทั้งห้ามมิให้ดัดแปลงเนื้อหา และต้องอ้างอิงถึงเจ้าของเอกสารทุกครั้งที่มีการนำไปใช้

ตารางที่ 2.2 แสดงความสัมพันธ์ของเลขฐานต่างๆ

HEX	BCD	FOUR DIGIT BINARY			
		$2^3 = 8$	$2^2 = 4$	$2^1 = 2$	$2^0 = 1$
0	0	0	0	0	0
1	1	0	0	0	1
2	2	0	0	1	0
3	3	0	0	1	1
4	4	0	1	0	0
5	5	0	1	0	1
6	6	0	1	1	0
7	7	0	1	1	1
8	8	1	0	0	0
9	9	1	0	0	1
A	-	1	0	1	0
B	-	1	0	1	1
C	-	1	1	0	0
D	-	1	1	0	1
E	-	1	1	1	0
F	-	1	1	1	1

หมายเหตุ BIN (Binary)

= ระบบเลขฐานสอง

BCD (Binary Code Decimal)

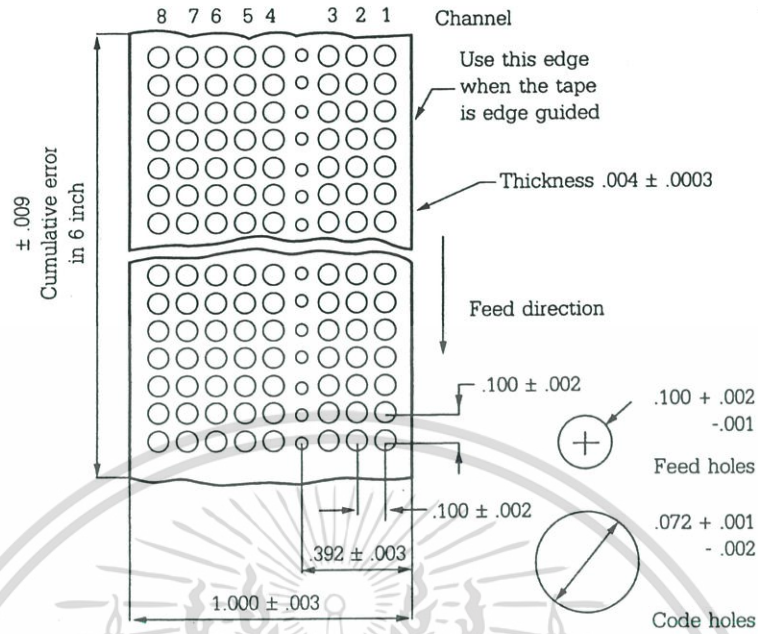
= ระบบเลขฐานสิบ

HEX (Hexadecimal)

= ระบบเลขฐานสิบหก

### 2.7.1.2 ระบบรหัสของเทป NC (NC TAPE CODING SYSTEM)

สำหรับเครื่องจักร NC มีระบบของเทป หรือ ระบบรหัส NC ที่ใช้กันอยู่อย่างแพร่หลายสองระบบด้วยกันคือ ระบบ EIA (Electronic Industries Association) และระบบ ASCII (American Standard Code for Information Interchange) ระบบทั้งสองนี้จะใช้เทปขนาด 1 นิ้ว มี 8 ช่องและใช้ระบบ BCD สำหรับข้อมูลเชิงตัวเลขระบบการให้รหัสแบบ EIA จัดทำขึ้นโดย EIA ตามมาตรฐาน RS-244-B ระบบรหัสนี้ใช้กันอย่างแพร่หลายในอเมริกาเหนือก่อนที่จะมีการจัดทำรหัส ASCII ขึ้นเป็นระบบรหัสขนาด 7 บิต ที่อยู่ในรูปแบบของเทปแบบ 8 ช่อง รหัส EIA ที่สมบูรณ์ที่ได้แสดงไว้ในรูป 2.13 พอจะสรุปได้ดังนี้



รูปที่ 2.13 แสดงแถบเทปกระดาษมาตรฐาน EIA สำหรับโปรแกรม NC

1. ตัวเลข 1-9 จะใช้ 4 ช่องแรก (ช่อง 1 ถึง 4) มาแทนตัวเลขด้วยรหัสเลขฐานสอง
2. การตรวจสอบภาวะคู่หรือคี่ (Parity Check) ช่องที่ห้าจะเป็นบิตที่ใช้ตรวจสอบภาวะคี่ (odd-parity check bit) ช่องนี้จะถูกนำมาใช้เพื่อให้จำนวนรูเจาะในแต่ละแถวมีจำนวนเป็นเลขคี่ และจะไม่ถูกนำมาใช้คิดคำนวณในระบบเลขฐานสอง
3. เลขศูนย์ (Digit zero) ช่องที่ 6 จะถูกใช้แทนเลขศูนย์และสมมูลย์กับเลขฐานสิบ

16

4. ตัวอักษร ช่องที่ 6 และ 7 จะถูกนำมาใช้ร่วมกับช่องที่ 1 ถึง 4 เพื่อแทนด้วยตัวอักษรภาษาอังกฤษทั้ง 26 ตัว ตลอดจนจนอักษรพิเศษและสัญลักษณ์ต่างๆ เพื่อให้เจาะจงขึ้น ตัวอักษรจะถูกแทนโดยใช้รหัสตัวเลข 1-9 ร่วมกับช่องที่ 6 และ / หรือ ช่องที่ 7 ดังรายละเอียดในตารางที่ 2.3

5. จุดสิ้นสุดบล็อก (End of block) ช่อง 8 จะถูกนำมาใช้แทนการสิ้นสุดของบล็อก

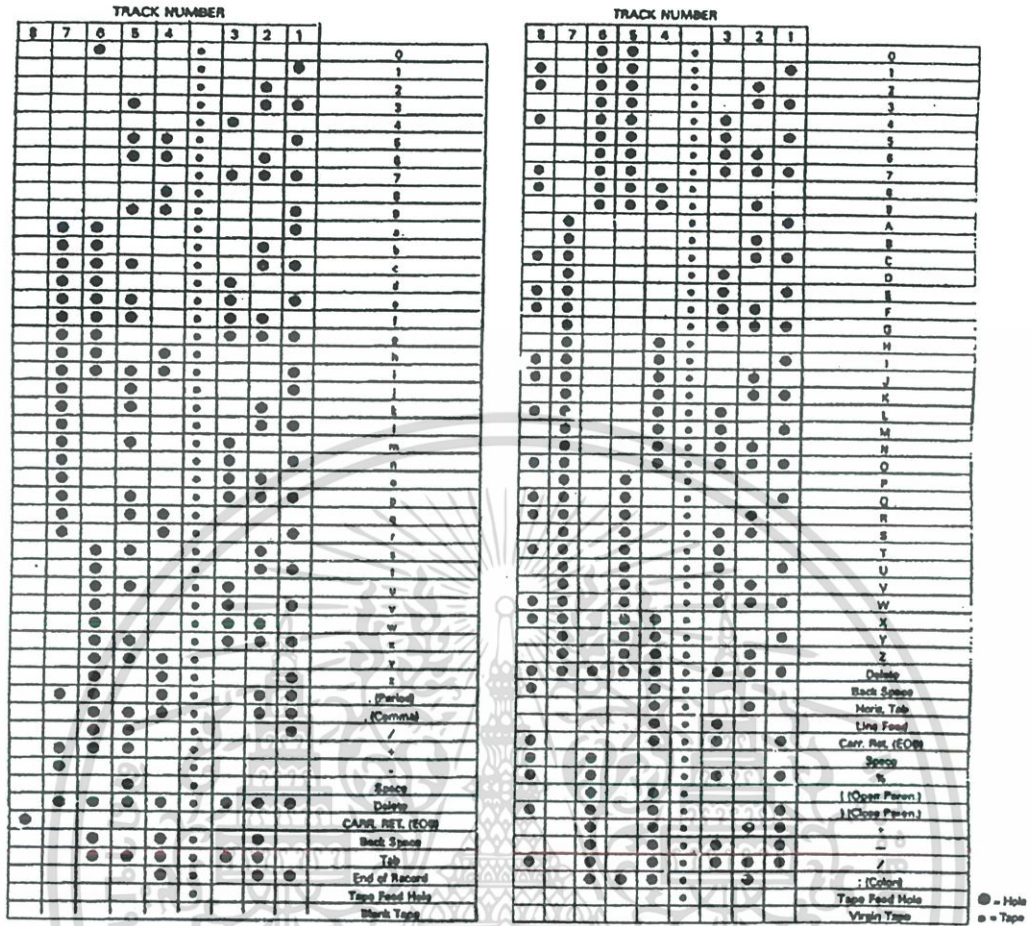
ตารางที่ 2.3 การให้โค้ดตัวอักษรของชุดรหัส EIA

รูเจาะในช่องที่ 6 และ 7 ร่วมกับ ค่าตัวเลข:	รูเจาะในช่องที่ 7 ร่วมกับ ค่าตัวเลข:	รูเจาะในช่องที่ 6 ร่วมกับ ค่าตัวเลข:
1=a	1=j	
2=b	2=k	2=s
3=c	3=l	3=t
4=d	4=m	4=u
5=e	5=n	5=v
6=f	6=o	6=w
7=g	7=p	7=x
8=h	8=q	8=y
9=I	9=r	9=z

### 2.7.1.3 ระบบรหัสเทปแบบ ASCII

รหัส ASCII ถูกพัฒนาขึ้นมาโดย American National Standards Institute (ANSI) จากความพยายามที่จะสร้างระบบรหัสอื่นหนึ่งที่เป็นมาตรฐานนานาชาติสำหรับกระบวนการสารสนเทศ และระบบการสื่อสารทั้งหลาย รหัส ASCII (EIA RS-358) ถูกสร้างขึ้นเป็นระบบรหัสเทปเจาะแบบ 8 ช่องขนาด 1 นิ้ว เพื่อใช้สำหรับภาคราชการ , การโทรศัพท์ , การโทรเลข , คอมพิวเตอร์และอุตสาหกรรมอื่นๆ เพื่ออำนวยความสะดวกในการนำคอมพิวเตอร์มาใช้ในการควบคุมเชิงตัวเลข ASCII จึงได้ดัดแปลงรหัส ASCII เพื่อมาสร้างเป็นเซ็ทย่อยสำหรับรหัส ASCII (RS-385-B) ชุดอักขระ ASCII ที่ได้แสดงไว้ในรูป 2.21 พอจะสรุปได้ดังนี้

1. บิตภาวะคู่หรือคี่ (Parity bit) ช่องที่ 8 (บิตที่สำคัญที่สุด) จะถูกนำมาใช้สำหรับการตรวจสอบภาวะคู่ (even-parity check)
2. ตัวเลข (1-9) จะคล้ายกับรหัส EIA ใช้ช่องที่ 1 ถึง 4 มาแทนตัวเลข โดยช่องที่ 1 เป็นบิตที่มีนัยสำคัญน้อยที่สุด แต่ตัวเลขในรหัส ASCII จะมีการเจาะรูที่ช่องที่ 5 และ 6
3. ตัวอักษร (A-Z) ตัวอักษรทั้งหลายจะใช้การเจาะรูในช่องที่ 7 โดยช่องที่ 8 ใช้สำหรับการตรวจภาวะคู่ ช่องที่ 1 ถึง 5 จะถูกนำมาใช้แทนตัวอักษรทั้ง 26 ตัวในภาษาอังกฤษ



รูปที่ 2.14 แสดงการเปรียบเทียบแถบเทปกระดาศมาตรฐาน EIA กับมาตรฐาน ASCII

รหัส ASCII จะใช้กันได้กับ รหัส ISO (International Standards Organization) ตัวอักษร และตัวเลขจะแทนด้วยรหัสที่เหมือนกันในระบบทั้งสอง ดังนั้นในหลายๆ กรณี รหัส ASCII และ รหัส ISO จะถูกนำมาใช้แทนกันได้โดยไม่มี ความแตกต่าง

2.7.2 ส่วนที่ใช้ป้อนข้อมูลของโปรแกรม (Program Input Device)

ในการป้อนข้อมูลโปรแกรมในเครื่องจักรเป็นแบบซอฟต์แวร์ (Soft Wired) หมายความว่าแรงเคลื่อนไฟฟ้าจะถูกส่งไปตามสายไฟที่ต่อไปยังอุปกรณ์ไฟฟ้าทางกล เช่น โซลินอยด์ ซึ่งสามารถนำไปควบคุมเครื่องมือกล เครื่องเดียวหรือหลายๆ เครื่อง พร้อมกันได้ การส่งสัญญาณจะถูกส่งด้วยสายส่งสัญญาณ (Interface bus) เช่น RS-232-C ไปยังชุดเครื่องมือกล

เอกสารนี้เป็นเอกสารที่สงวนไว้สำหรับการใช้งานเพื่อการศึกษาเท่านั้น เมื่อนุญาตให้ไปใช้ประโยชน์ด้านการค้าไม่ว่ากรณีใดๆ ทั้งสิ้น อีกทั้งห้ามมิให้ดัดแปลงเนื้อหา และต้องอ้างอิงถึงเจ้าของเอกสารทุกครั้งที่มีการนำไปใช้

### 2.7.3 หน่วยควบคุมการทำงานของเครื่อง (Machine Control Unit)

หน่วยควบคุมการทำงาน (MCU) ที่ประกอบไปด้วยชุดวงจรอิเล็กทรอนิกส์จะทำหน้าที่อ่านโปรแกรมที่ป้อนเข้าไปจากเทปกระดาษ เปลี่ยนรหัสโปรแกรมนั้นให้เป็นสัญญาณไฟฟ้า โดยส่งสัญญาณนี้เข้าไปในราคาขยายสัญญาณของระบบขับ (Drive amplified) เนื่องจากสัญญาณที่ได้จากหน่วยควบคุมนี้มีกำลังน้อย ไม่สามารถหมุนมอเตอร์ของแกนที่ต้องการเคลื่อนที่ได้โดยตรง

ส่วนที่สำคัญของหน่วยควบคุมการทำงาน (MCU) แบ่งออกเป็น 2 ส่วนใหญ่ๆ ที่สำคัญได้แก่ ส่วนที่ทำหน้าที่ในการอ่านโปรแกรมที่ป้อนเข้า (Input Data Processing Unit : DPU) เช่น เครื่องอ่านเทปกระดาษ เครื่องอ่านเทปแม่เหล็ก และส่วนที่ทำหน้าที่ควบคุมการทำงานของเครื่องกล (Control Loop Unit : CLU) เช่น ความเร็วและระยะทางการเคลื่อนที่ของแท่นเลื่อน การเปิดหรือปิดน้ำหล่อเย็น การเปลี่ยนเครื่องมือตัด เป็นต้น

### 2.7.4 ระบบควบคุมการเคลื่อนที่ (Drive System)

การเคลื่อนที่ของเครื่องจักร CNC จะเลือกใช้อุปกรณ์ต่างๆ ในการขับเคลื่อนแบ่งได้เป็น 4 ชนิด คือ มอเตอร์กระแสตรง (AC Motor) มอเตอร์แบบเป็นขั้น (Stepping Motor) และระบบไฮดรอลิก (Hydraulic System)

### 2.7.5 เครื่องกล

ลักษณะการควบคุมเครื่องจักรกลระบบ CNC นั้น จะสามารถแบ่งระบบการควบคุมได้เป็น 2 ลักษณะ คือ แบบวงรอบเปิด แบบวงรอบปิด และในบางกรณี จะเป็นแบบผสมผสานกันระหว่างแบบวงรอบปิดและวงรอบเปิด การวางจรแบบวงรอบเปิด จะสามารถอธิบายได้อย่างง่าย ๆ ดังนี้ เมื่อระบบควบคุมส่งสัญญาณไปยังมอเตอร์ เพื่อให้มอเตอร์ขับเคลื่อน โต๊ะจับชิ้นงานเคลื่อนที่ไปยังจุดที่ต้องการตามที่ได้โปรแกรมไว้ล่วงหน้า ซึ่งในระบบวงรอบเปิดนี้ จะไม่มีการตรวจสอบสัญญาณย้อนกลับ (Feed back) ทำให้ไม่สามารถตรวจสอบได้ว่าสัญญาณที่ส่งมานั้น ได้ทำแล้วหรือยัง ข้อผิดพลาดจากการส่งสัญญาณนั้นหรือไม่

ซึ่งต่างจากระบบปิดคือ เมื่อ โต๊ะเลื่อนชิ้นงานถึงตำแหน่งที่ถูกโปรแกรมไว้ ก็จะมีสัญญาณจากอุปกรณ์ เช่น เซ็นเซอร์ (Sensor) จับเพื่อควบคุมให้โต๊ะเลื่อนชิ้นงานหยุดการเคลื่อนที่

## 2.8 การโปรแกรม CNC

การกำหนดขั้นตอนการทำงานให้แก่ CNC หรือการโปรแกรม CNC สามารถกระทำได้โดยอาศัยการป้อน code ต่างๆ ตามหน้าที่การทำงานในรูปแบบของโปรแกรมคอมพิวเตอร์ ซึ่งภาษาที่ใช้มีมากมายหลายรูปแบบ แต่ภาษาหรือ code ที่เป็นที่ยอมรับกันโดยทั่วไปนั้น เป็น code ที่กำหนดโดย EIA (Electronic Industrial Association) และ ASCII (American Standard Code for Information Interchange) ซึ่งผู้ผลิตส่วนใหญ่นำมาใช้ในการกำหนดการทำงานให้แก่เครื่อง CNC ที่

ไม่ว่ากรณีใดๆ ทั้งสิ้น อีกทั้งห้ามมิให้ดัดแปลงเนื้อหา และต้องอ้างอิงถึงเจ้าของเอกสารทุกครั้งที่มีการนำไปใช้

ตนผลิตโดยมีการเพิ่มเติม code เฉพาะเครื่องของตนเสริมลงไป เพื่อให้ทำหน้าที่พิเศษที่ออกแบบมา เฉพาะเครื่องของตน code ที่ใช้ในการปฏิบัติงานของ CNC นั้นอาจแบ่งออกได้เป็น 3 ประเภท

2.8.1 G-Code เป็น Code ที่บอกถึงการเตรียมการปฏิบัติงานในขั้นตอนต่างๆ หรือ Preparatory Functions ตัวอย่างเช่น G00 ระบุให้เคลื่อนที่จากจุดๆ หนึ่งไปยังอีกจุดหนึ่งด้วยความเร็วสูง, G91 ระบุว่าตำแหน่งที่ระบุในบรรทัดต่างๆ ต่อไปนี้ กำหนดโดยอ้างอิงจากตำแหน่งปัจจุบันหรือเป็นระยะสัมพัทธ์นั่นเอง เป็นต้น

2.8.2 M-Code เป็น Code ที่กำหนดหน้าที่เบ็ดเตล็ดต่างๆ หรือ Miscellaneous Functions ตัวอย่างเช่น M00 แสดงถึงการหยุดโปรแกรมโดย Spindle (หัวยึดจับเครื่องมือ) และ Coolant (น้ำหล่อเย็น) หยุดด้วย, M02 บอกถึงจุดสุดท้ายของโปรแกรม, M03 หมุน Spindle ตามเข็มนาฬิกา เป็นต้น

2.8.3 Code อื่นๆ ที่มีความหมายเฉพาะตัว ซึ่งทำหน้าที่ด้วยตัวอักษรอื่นๆ และรวมไปจนถึง Code ที่บอกถึงการเคลื่อนที่ในแนวแกนต่างๆ เช่น X,Y และ Z เป็นต้น ตัวอย่างเช่น F25.0 ระบุ Feed rate หรือความเร็วของการเคลื่อนที่เท่ากับ 25 นิ้ว/นาที

จาก Code ต่างๆ ที่กล่าวมานั้น เนื่องจาก G-Code เป็น Code ที่ใช้มากที่สุดในโปรแกรม ดังนั้นเมื่อกล่าวถึง G-Code จึงหมายถึงภาษาที่ใช้ในการเขียนโปรแกรม CNC และเป็นภาษาที่นิยมมากรูปแบบหนึ่ง ส่วนขั้นตอนการทำงานแต่ละขั้น หรือแต่ละบรรทัด ของโปรแกรม ก็จำเป็นที่จะต้องให้มีหมายเลขระบุขั้นตอน หรือ Sequence Number ขึ้นต้น ซึ่งหมายเลขเหล่านี้ จะถูกนำด้วยตัวอักษร N เช่น N001, N002,..... เป็นต้น การให้หมายเลขระบุขั้นตอนเหล่านี้จะมีประโยชน์อย่างมากในเวลาตรวจสอบแก้ไขโปรแกรมซึ่งไม่จำเป็นต้องให้หมายเลขเรียงกัน สามารถให้หมายเลขกระโดดข้ามกันได้ เช่น การสร้างรูปโค้งอินเวลูทของฟันเฟือง การสะท้อนภาพของฟันเฟือง การหมุนภาพ

## 2.9 คอมพิวเตอร์ช่วยงานออกแบบ(Computer Aided Design: CAD)

เป็นการใช้คอมพิวเตอร์เป็นเครื่องมืออย่างหนึ่งในการสร้างหรือเขียนแบบภาพลงบนจอของคอมพิวเตอร์ หรือการนำคอมพิวเตอร์กราฟิกส์มาช่วยในการสร้างแบบงานทางวิศวกรรม ซึ่งเป็นการพัฒนาจากการเขียนแบบบนโต๊ะด้วยมือ ซึ่งต้องอาศัย ปากกา วงเวียน หรืออุปกรณ์ช่วยในการเขียนแบบต่างๆด้วยมือ มาเป็นการเขียนแบบด้วยคอมพิวเตอร์ที่สามารถเขียน เส้นตรง ส่วนโค้ง วงกลม วงรีและ รวมทั้งการเขียนเป็นภาพสามมิติ โดยกำหนดเป็นรูปทรงเรขาคณิตของชิ้นงาน หรือถ้าเราต้องการเราก็สามารถเขียนแยกส่วนจากภาพประกอบสามมิติได้ด้วย รายละเอียดของชิ้นส่วน ก็จะใช้เพื่อทำการเลือกออกแบบเครื่องจับยึดชิ้นงานฟิกเจอร์ (Fixture) แสดงตำแหน่งที่แคลมป์จับชิ้นงาน ตำแหน่งของบล็อกตลอด จนรายละเอียดเกี่ยวกับชื่อชิ้นส่วนวัสดุ (Bill of Materials) และเป็นไปได้ที่จะใช้ให้โปรแกรมวิเคราะห์การออกแบบอย่างเช่น ความแข็งแรงของ

เอกสารที่ส่งไปใช้ให้โปรแกรมวิเคราะห์การออกแบบอย่างเช่น ความแข็งแรงของไม่ว่ากรณีใดๆ ทั้งสิ้น อีกทั้งห้ามมิให้ดัดแปลงเนื้อหา และต้องอ้างอิงถึงเจ้าของเอกสารทุกครั้งที่มีการนำไปใช้

วัสดุ ระยะพักผิว ความคลอนในการประกอบ ประเมินค่าพิคคความผิว และค่าผิดพลาดที่ยอมรับได้ ก่อนการผลิต โดยระบบ CAD จะต้องมีทั้งส่วนที่เป็นฮาร์ดแวร์และซอฟต์แวร์ โดยส่วนฮาร์ดแวร์ โดยทั่วไปประกอบไปด้วย คอมพิวเตอร์ประสิทธิภาพสูง จอกราฟิกส์ เม้าส์ แป้นพิมพ์ ขณะที่ซอฟต์แวร์ประกอบไปด้วยโปรแกรมสร้างแบบชิ้นส่วนและกำหนดขนาด

วิธีการทำงานในระบบCADนั้น จะทำการสร้างรูปภาพ ออกแบบชิ้นส่วนต่าง โดยการสร้างรูปภาพให้แสดงที่จอภาพของเครื่องคอมพิวเตอร์ด้วยคำสั่งต่างๆที่มีอยู่ภายในโปรแกรม ข้อมูลของรูปภาพสามารถทำการบันทึกลงในหน่วยความจำของคอมพิวเตอร์ในรูปแบบของแฟ้มข้อมูล เพื่อที่สามารถนำไปใช้งานตามความต้องการ สำหรับระบบการสร้างภาพโดยโปรแกรม CAD นั้นสามารถแบ่งออกได้เป็น 3 ระบบ คือ

2.9.1 ระบบเส้นรอบรูป(Wire frame modeler)

2.9.2 ระบบผิวสัมผัส (Surface Modeller)

2.9.3 ระบบรูปทรงวัตถุตัน (Solid Modeller)

## 2.10 คอมพิวเตอร์ช่วยงานการผลิต (Computer Aided Manufacturing : CAM)

ในการผลิตชิ้นงานจริงจากข้อมูลรูปทรงเรขาคณิตที่จาก CAD นั้นจะถูกนำมาคำนวณหา ค่าพิคคต่างๆ และสร้างเส้นทางเดินของมีดตัดสำหรับสั่งให้เครื่องจักร CNC ซึ่งประยุกต์ได้กับกรรมวิธี การผลิตทั้งแบบงานมีเศษและงานไร้เศษ เช่น งานกัด งานกลึง งานปั๊มขึ้นรูป การตัดปาดด้วยการ จ่ายประจุไฟฟ้า(Electrical discharge machining) งานกัดเซาะร่องด้วยไฟฟ้า(Wire-cut machine) งานตัดปาดลำน้ำฉีดความเร็วสูง(Water-jet machining) การนำระบบ CAMเข้ามาช่วยในการผลิต ทำให้สามารถเชื่อมระบบการผลิตเป็นสายการผลิตที่ต่อเนื่องได้คือ เมื่อมีความต้องการผลิตชิ้นงาน ใดๆ ก็จะทำให้การออกแบบและเขียนโปรแกรม CAMจากนั้นก็เก็บข้อมูลส่งผ่านเป็นรหัสโปรแกรม (Program Code) ผ่านไปยังส่วนควบคุมระบบ CAM ซึ่งทั้งสองระบบที่เชื่อมโยงกันนี้เรียกว่า ขบวนการผลิตแบบ CAD - CAM

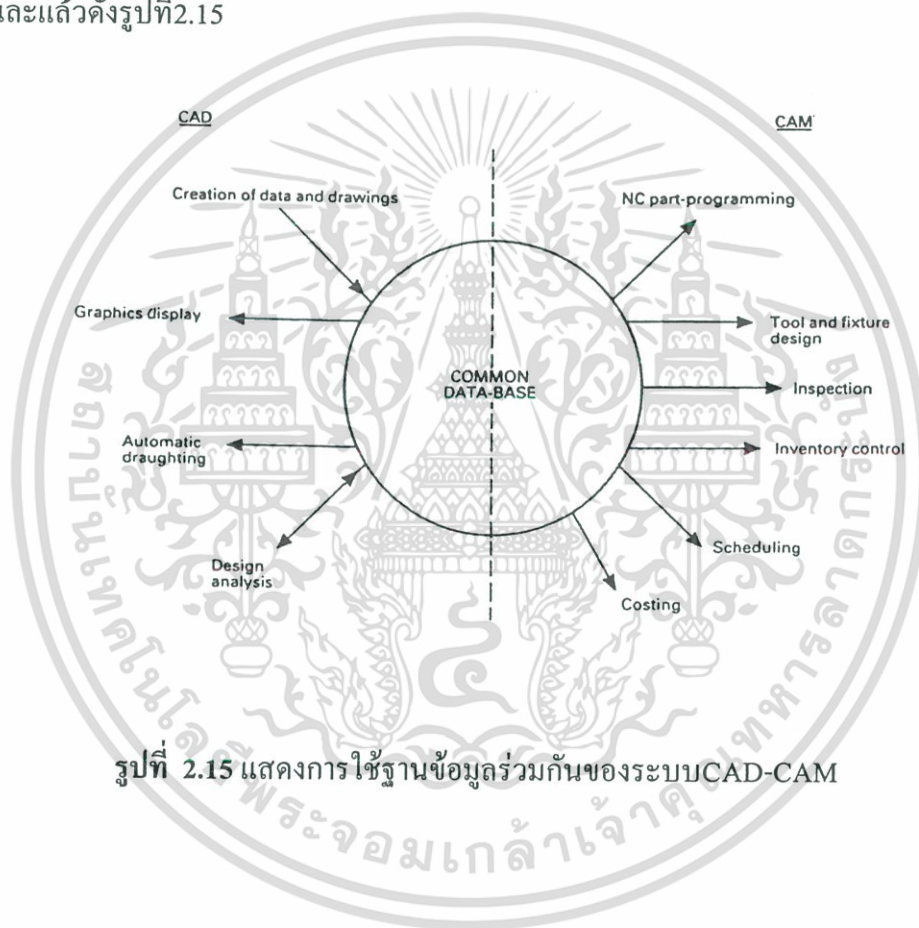
ระบบ CAMโดยทั่วไปสามารถแบ่งแยกตามลักษณะของงานได้เป็น 2 ประเภท คือ ระบบ CAM สำหรับการทำงานในระบบสองมิติครึ่ง (2 1/2 axis) และระบบ CAM สำหรับการทำงานในระบบ 3 มิติ (3 axis) ระบบ CAM สามารถรวมเป็น โมดูล (Module) เดียวกับระบบ CAD หรือแยก ทำงานอย่างอิสระจากระบบ CAD การส่งข้อมูลจากระบบ CAM สู่อุปกรณ์ CNC สามารถกระทำ ได้โดยตรงระหว่างเครื่องคอมพิวเตอร์กับชุดควบคุมของเครื่องจักร CNC โดยผ่านสายส่งข้อมูล มาตรฐาน หรือ โดยใช้แผ่นบันทึกข้อมูล ซึ่งสถานการณ์เชื่อมต่อระหว่างระบบ CAM กับเครื่องจักร CNC สามารถแบ่งออกได้เป็น 2 ระบบ

2.10.1 ระบบ On-line คือการนำเอาคอมพิวเตอร์ต่อเข้าโดยตรงกับส่วนควบคุมของ เครื่องจักร CNC แล้วส่งข้อมูลที่ประมวลผลแล้ว อาจจะส่งเป็นข้อมูลเป็นบล็อก (Block) หรือข้อมูล ไม่ว่ากรณีใดๆ ทั้งสิ้น อีกทั้งห้ามมิให้ดัดแปลงเนื้อหา และต้องอ้างอิงถึงเจ้าของเอกสารทุกครั้งที่มีการนำไปใช้

รหัสส่งเข้าโดยตรงที่ตัว Interpolator ของเครื่องจักร จุดเด่นของลักษณะนี้คือสามารถส่งข้อมูลได้ไม่จำกัดขนาดของข้อมูล

2.10.2 ระบบOff-line คือการนำเอาผลจากการประมวลข้อมูลทางเรขาคณิตที่ได้รับจากโปรแกรม แปลค่าพิกัดมาเป็นและซึ่งจะได้แบบเป็นรูปแบบบล็อก แล้วบันทึกผลลงบนแผ่นบันทึกข้อมูลแล้วจึงนำไปเข้าเครื่องอ่านแผ่นข้อมูลที่เครื่องจักร

การใช้ CAD - CAM ให้เกิดผลอย่างสมบูรณ์นั้นจะต้องสามารถส่งข้อมูลถึงกันและกันได้ โดยข้อมูลที่ออกแบบ โดยซึ่งเป็นข้อมูลของรูปภาพกราฟฟิกส์ สามารถนำไปใช้ในการผลิตชิ้นงานซึ่งมีขนาดและรูปร่างเหมือนกับที่ออกแบบไว้ในทุกประการสำหรับการใช้ข้อมูลร่วมกันของระบบและแล้วดังรูปที่2.15



รูปที่ 2.15 แสดงการใช้งานข้อมูลร่วมกันของระบบCAD-CAM

เอกสารนี้เป็นเอกสารที่สงวนไว้สำหรับการใช้งานเพื่อการศึกษาเท่านั้น ไม่อนุญาตให้นำไปใช้ประโยชน์ด้านการค้าไม่ว่ากรณีใดๆ ทั้งสิ้น อีกทั้งห้ามมิให้ดัดแปลงเนื้อหา และต้องอ้างอิงถึงเจ้าของเอกสารทุกครั้งที่มีการนำไปใช้

## บทที่ 3

### สมการพาราเมตริก

#### 3.1 การแสดงถึงพื้นฐานของสมการพาราเมตริก (Parametric Equations)

สำหรับการวิเคราะห์เส้นโค้ง (Analytic curves) ซึ่งส่วนมากใช้สำหรับการสร้างภาพในลักษณะ แบบเส้นรอบรูป (Wire frame Modelling) ซึ่งโดยทั่วไปจะแบ่งออกเป็น 2 กลุ่ม คือ การวิเคราะห์ และการสังเคราะห์ (Analytic and synthetic entities) ซึ่ง

3.1.1 การวิเคราะห์ (Analytic Entities) นั้นโดยมากจะเป็นสมการคณิตศาสตร์ที่มีสมการแน่นอน เช่นจุด(Points) เส้นตรง (Lines) วงกลม (Circle) พาราโบลา (Parabolas) ไฮเพอร์โบลา (Hyperbola) เช่น สมการเส้นตรง มีสมการคือ  $y = ax + b$  หรือ สมการวงกลมเป็น  $x^2 + y^2 = R^2$

3.1.2 การสังเคราะห์ (Synthetic Entities) จะอยู่ในรูปที่ไม่มีสมการแน่นอน แต่ขึ้นอยู่กับจุดของข้อมูลที่กำหนด ในส่วนของการจัดสมการจะมีความยุ่งยากในการคำนวณมากกว่า เช่น Cubic Spline, Beziers, B-Spline Curve

#### 3.2 สมการสำหรับเส้นโค้ง (Curve Equations) [6]

เราสามารถที่จะอธิบายสมการสำหรับเส้นโค้ง ได้ในทางคณิตศาสตร์ได้ 2 แบบ คือ

3.2.1 สมการที่ไม่เป็นแบบอิงตัวแปรเสริม (Nonparametric Equation) คือ พิกัดตำแหน่งของจุด  $x, y, z$  บนส่วนโค้งจะถูกกำหนดความสัมพันธ์ในรูปของฟังก์ชัน เช่น ในระบบ 2 มิติ จะกำหนดได้โดยฟังก์ชัน  $y = f(x)$  และในระบบ 3 มิติ จะเป็น  $z = f(x, y)$  ดังรูปที่ 3.1 แสดงตำแหน่งของ  $p$  อยู่ที่พิกัด  $(x, y, z)$  โดยที่  $y$  และ  $z$  เป็นฟังก์ชันของ  $x$  ดังนั้น  $p = [x \ f(x) \ g(x)]^T$  หรือจุด  $p$  สามารถอธิบายในอีกรูปแบบได้ดังนี้

$$F(x, y, z) = 0 \quad (3.1)$$

$$G(x, y, z) = 0 \quad (3.2)$$

โดยที่  $F$  และ  $G$  เป็นสมการแสดงความสัมพันธ์ หากกำหนดค่า  $x$  แล้วก็จะสามารถแก้สมการหาค่า  $y$  และ  $z$  ได้

จากการศึกษาจะพบถึงข้อเสียของวิธีการใช้สมการที่ไม่เป็นแบบอิงตัวแปรเสริม ดังนี้

3.2.1.1 ความชันของเส้นที่เกือบจะเป็นแนวตั้งจะมีค่าเป็นอนันต์ (Infinity)

3.2.1.2 ถ้าหากเส้นที่กำลังพิจารณาประกอบด้วยเส้นตรงเล็กๆ เป็นจำนวนมาก

จะขึ้นอยู่กับความสัมพันธ์ของจุดต่างๆ ในการแก้ปัญหาเหล่านี้ จะถูกแสดงในหัวข้อของวิธีการตัวแปรอ้างอิงเสริมในหัวข้อถัดไป

3.2.2 สมการแบบอิงตัวแปรเสริม (Parametric Equation) สำหรับสมการเส้นโค้งแบบอิงตัวแปรเสริมนั้น แต่ละจุดที่อยู่บนเส้นจะเป็นฟังก์ชันของตัวแปร  $t$  โดยที่  $t$  ปกติจะถูกกำหนดให้มีค่าระหว่าง 0 และ 1 พิจารณาจากรูปที่ 3.1 สมการของเส้นในรูปของปริภูมิ 3 มิติ คือ

$$p(t) = [x(t) \ y(t) \ z(t)]^T \quad (3.3)$$

โดยที่ค่า  $t_{\min} < t < t_{\max}$  โดยสามารถแสดงถึงจุดที่อยู่บนเส้นที่เป็นส่วนประกอบของเวกเตอร์ตำแหน่งที่ประกอบไปด้วยเวกเตอร์  $\bar{p}(t)$  และ  $\bar{p}(t)$  จากรูปที่ 3.1 ความสัมพันธ์ของตัวแปร  $x, y$  และ  $z$  เขียนอยู่ในรูปของฟังก์ชันได้ คือ

$$\begin{aligned} x &= f(t) \\ y &= g(t) \\ z &= h(t) \end{aligned} \quad (3.4)$$

พิจารณาค่าความชันของเส้น ที่ถูกแสดงในรูปของเวกเตอร์  $\bar{p}'(t)$  โดยทำการดิฟเฟอเรนเชียล  $p(t)$

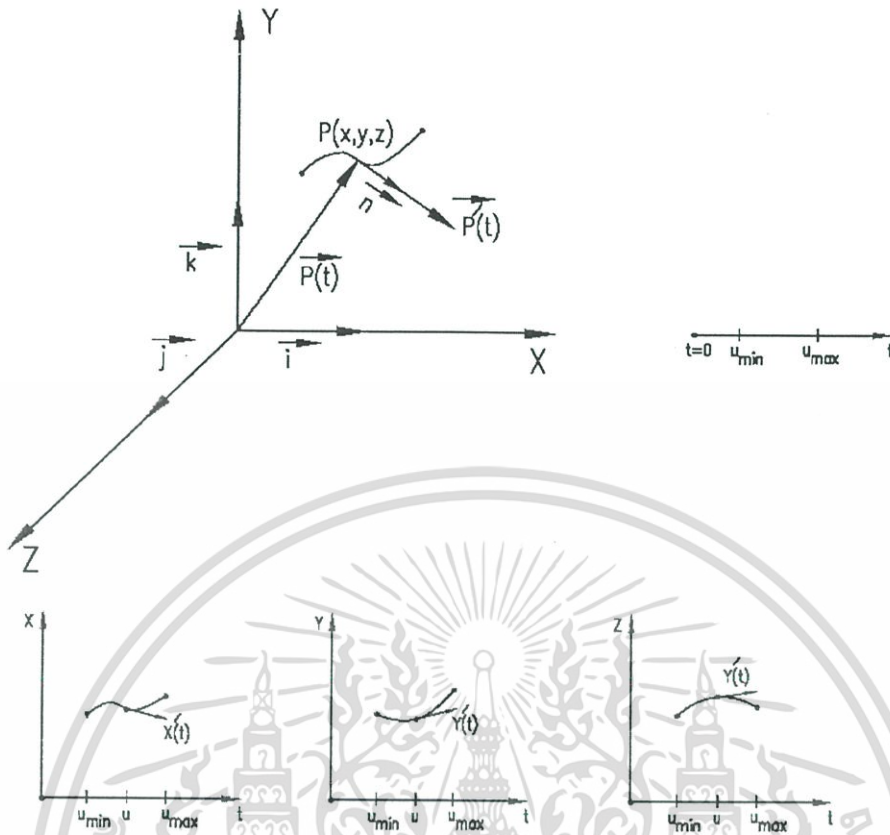
$$\bar{p}'(t) = \frac{dp(t)}{dt} \quad (3.5)$$

นำค่า  $p(t)$  ในสมการที่ (3.5) แทนในสมการที่ (3.3) เพื่อหาเส้นสัมผัส

$$\bar{p}(t) = [x'(t) \ y'(t) \ z'(t)]^T \quad (3.6)$$

จากการที่กำหนดให้ค่า  $t$  นั้นเป็นฟังก์ชันของ  $x, y$  และ  $z$  นั้น  $y$  จะเป็นฟังก์ชันของ  $x$  ได้ก็ตัวผ่านความสัมพันธ์จาก  $t$  มาก่อน เราเรียกฟังก์ชันชนิดนี้ว่า Function to a Function ซึ่งสามารถหาค่าได้ตามทฤษฎีของดิฟเฟอเรนเชียล คือ  $\frac{dy}{dx} = \frac{dy}{dt} \cdot \frac{dt}{dx}$  ดังนั้นสมการที่ (3.5) สามารถแปลงรูปได้เป็น

$$\begin{aligned} \frac{dy}{dx} &= \frac{y'}{x'} \\ \frac{dz}{dy} &= \frac{z'}{y'} \end{aligned} \quad (3.7)$$



รูปที่ 3.1 แสดงค่าความชันของรูปปริภูมิทั้ง 3 แกน

ขนาดและทิศทางของเส้นสัมผัส สามารถหาได้โดย สมการของขนาด

$$|p'(t)| = \sqrt{x'^2 + y'^2 + z'^2} \tag{3.8}$$

สมการของทิศทาง

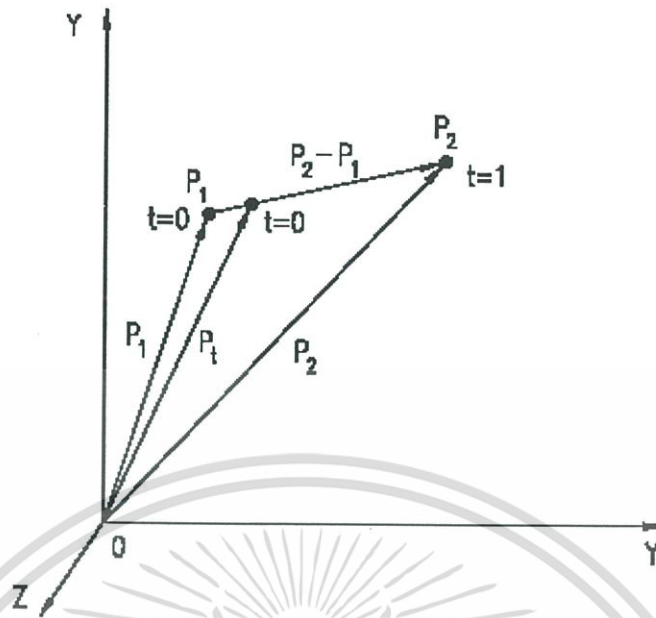
$$\vec{n} = \frac{p'(t)}{|p'(t)|} = h_x \vec{i} + h_y \vec{j} + h_z \vec{k} \tag{3.9}$$

### 3.2.2.1 สมการเส้นโค้งตัวแปรเสริมแบบวิเคราะห์

#### 1. เส้นตรง (Line)

จากรูปที่ 3.2 พิจารณาเส้นตรงที่เชื่อมกันระหว่างจุด  $p_1$  และ  $p_2$  โดยกำหนดให้พารามิเตอร์  $t$  มีค่าเป็น  $t = 0$

เอกสารนี้เป็นเอกสารที่สงวนไว้สำหรับการใช้งานเพื่อการศึกษาเท่านั้น ไม่อนุญาตให้นำไปใช้ประโยชน์ด้านการค้า ไม่ว่ากรณีใดๆ ทั้งสิ้น อีกทั้งห้ามมิให้ดัดแปลงเนื้อหา และต้องอ้างอิงถึงเจ้าของเอกสารทุกครั้งที่มีการนำไปใช้



รูปที่ 3.2 แสดงเส้นตรงที่เกิดจากจุดสองจุด  $P_1$  และ  $P_2$

ที่จุด  $p_1$  และ  $t=1$  ที่จุด  $p_2$  ซึ่งในรูปของ  $\Delta opp_1$  เราสามารถเขียนสมการเพื่อคำนวณหาเวกเตอร์  $\vec{p}$  ดังนี้

$$\vec{p} = \vec{p}_1 + (\vec{p} - \vec{p}_1) \quad (3.10)$$

เนื่องจาก  $\vec{p} - \vec{p}_1$  เป็นสัดส่วนกับ  $\vec{p}_2 - \vec{p}_1$  ดังนั้นจะได้ว่า

$$\vec{p} - \vec{p}_1 = t(\vec{p}_2 - \vec{p}_1) \quad (3.11)$$

แทนค่าสมการ (3.10) ในสมการ (3.11) จะได้

$$\vec{p} = \vec{p}_1 + t(\vec{p}_2 - \vec{p}_1) \quad 0 \leq t \leq 1 \quad (3.12)$$

เนื่องจากเวกเตอร์  $\vec{p}_1$  มีส่วนประกอบ  $(x_1, y_1, z_1)$   $(x, y, z)$  และ  $\vec{p}_2$  มีส่วนประกอบ  $(x_2, y_2, z_2)$  เพราะฉะนั้นจะเขียนในรูปของเวกเตอร์ย่อยได้คือ

$$xi + yj + zk = (x_1i + y_1j + z_1k) + t(x_2i + y_2j + z_2k) \quad (3.13)$$

หรือเขียนในรูปของสเกลาร์ (Scalar) ได้เป็น

$$\begin{aligned} x &= x_1 + t(x_2 - x_1) \\ y &= y_1 + t(y_2 - y_1) \\ z &= z_1 + t(z_2 - z_1) \end{aligned} \quad (3.14)$$

เอกสารนี้เป็นเอกสารที่สงวนไว้สำหรับกรใช้ภายในเพื่อการศึกษเท่านั้น ไม่อนุญาตให้นำไปใช้ประโยชน์ด้านการค้า ไม่ว่าจะกรณีใดๆ ทั้งสิ้น อีกทั้งห้ามมิให้ดัดแปลงเนื้อหา และต้องอ้างอิงถึงเจ้าของเอกสารทุกครั้งที่มีการนำไปใช้

สมการ (3.14) นี้เรียกว่าสมการอิงตัวแปรเสริม (Parametric Equation) ของเส้นตรง  $p$  โดยมี  $t$  เป็นตัวแปรเสริม (Parametric) และจากการที่เส้นตรงลากผ่านจุดที่ไม่อยู่บนแนวตั้งเดียวกัน จะทำให้เกิดค่า  $x_1$  และ  $x_2$  หรือ  $y_1$  และ  $y_2$  มีค่าแตกต่างกันนั้น จะถูกเรียกว่า ความชัน (Slope) พิจารณารูปที่ 3.2 จะสามารถหาค่าความชันได้ดังนี้

$$\vec{p}' = \vec{p}_2 - \vec{p}_1 \quad (3.15)$$

จัดอยู่ในรูปสเกลาร์ คือ

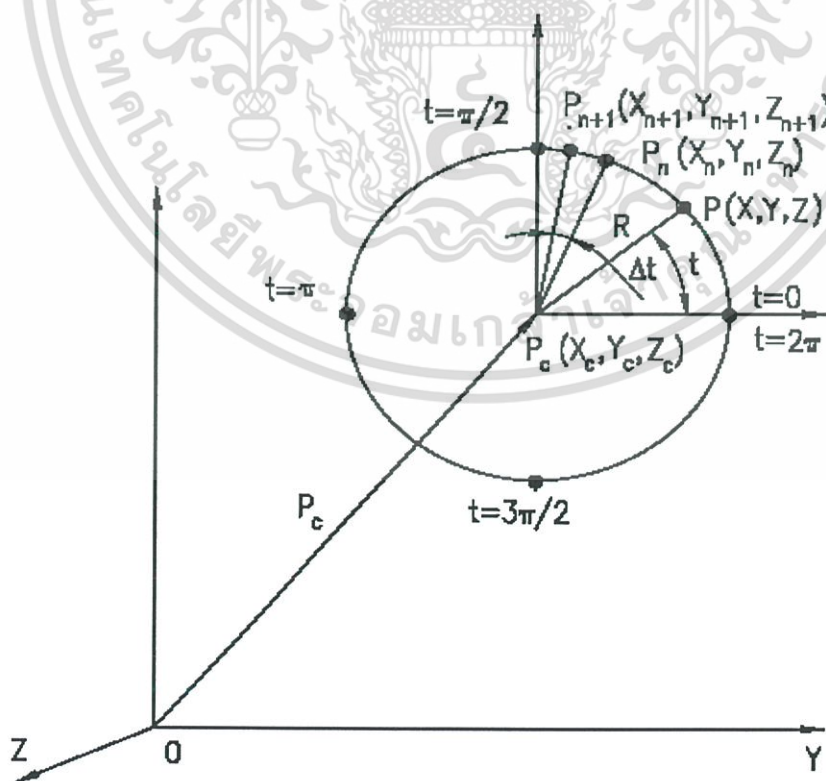
$$\begin{aligned} x' &= x_2 - x_1 \\ y' &= y_2 - y_1 \\ z' &= z_2 - z_1 \end{aligned} \quad (3.16)$$

สำหรับความยาวของเส้นตรงสมการคำนวณได้จาก  $\vec{p}_2 - \vec{p}_1$

$$L = |\vec{p}_2 - \vec{p}_1| = \sqrt{(x_2 - x_1)^2 + (y_2 - y_1)^2 + (z_2 - z_1)^2} \quad (3.17)$$

## 2. วงกลม (Circles)

วงกลมจะประกอบไปด้วยจุดต่างๆ ประกอบกันเป็นวงกลม โดยจุดเหล่านั้นจะอยู่ห่างจากจุดที่คงที่ด้วยระยะทางที่เท่ากัน จุดคงที่นั้นเรียกว่า จุดศูนย์กลาง และเรียกระยะทางคงที่ว่า รัศมี



รูปที่ 3.3 แสดงเส้นตรงที่เกิดจากการกำหนดโดยจุดศูนย์กลางและรัศมี เอกสารนี้เป็นเอกสารลิขสิทธิ์ของสถาบันวิจัยระบบบริหาร โดยขอสงวนสิทธิ์ในการนำเอกสารนี้ไปใช้โดยไม่ผ่านการอนุญาตจากสถาบันวิจัยระบบบริหาร หากมีการนำเอกสารนี้ไปใช้โดยไม่ผ่านการอนุญาตจากสถาบันวิจัยระบบบริหาร จะถือว่าผิดกฎหมาย

จากรูปที่ 3.3 กำหนดให้จุดศูนย์กลางของวงกลมใดๆ เป็นจุด  $p_c(x_c, y_c, z_c)$  และกำหนดรัศมีของวงกลมเท่ากับ  $R$  เราสามารถคำนวณหาสมการอ้างอิงตัวแปรเสริมของวงกลมที่จุด  $P$  โดยกำหนดให้ระนาบที่วงกลมอยู่คือระนาบที่วงกลมอยู่คือ ระนาบ  $XY$

$$\left. \begin{aligned} x &= x_c + R \cos t \\ y &= y_c + R \sin t \\ z &= z_c \end{aligned} \right\} 0 \leq t \leq 2\pi \quad (3.18)$$

ในการสร้างรูปวงกลมโดยทั่วไปนิยมใช้  $\Delta t$  เพิ่มขึ้นจาก 0 ถึง 360 องศา จากรูปเราพบว่า  $\Delta t$  ที่กำหนดระหว่างจุด  $\Delta t$  ที่กำหนดระหว่างจุด  $p_n(x_n, y_n, z_n)$  และจุด  $p_{n+1}(x_{n+1}, y_{n+1}, z_{n+1})$  จากความสัมพันธ์เราสามารถคำนวณหาพิกัดบนเส้นวงกลม ได้ดังนี้

$$\left. \begin{aligned} x_n &= x_c + R \cos t \\ y_n &= y_c + R \sin t \\ z_n &= z_n \end{aligned} \right\} \quad (3.19)$$

$$\left. \begin{aligned} x_{n+1} &= x_c + R \cos(t + \Delta t) \\ y_{n+1} &= y_c + R \sin(t + \Delta t) \\ z_{n+1} &= z_n \end{aligned} \right\} \quad (3.20)$$

จากความสัมพันธ์ของฟังก์ชันตรีโกณมิติ

$$\begin{aligned} \sin(A \pm B) &= \sin A \cos B \pm \cos A \sin B \\ \cos(A \pm B) &= \cos A \cos B \pm \sin A \sin B \end{aligned} \quad (3.21)$$

จากความสัมพันธ์ดังกล่าวสามารถนำมาประยุกต์กับสมการ (3.20) ได้ดังนี้

$$\begin{aligned} x_{n+1} &= x_c + R(\cos t \cos \Delta t - \sin t \sin \Delta t) \\ y_{n+1} &= y_c + R(\sin t \cos \Delta t + \cos t \sin \Delta t) \\ z_{n+1} &= z_c \end{aligned} \quad (3.22)$$

จัดรูปสมการ (3.19) ได้ดังนี้

$$\begin{aligned} (x_n - x_c) &= R \cos t \\ (y_n - y_c) &= R \sin t \end{aligned} \quad (3.23)$$

เอกสารนี้เป็นเอกสารที่สงวนไว้สำหรับการใช้งานเพื่อการศึกษาเท่านั้น ไม่อนุญาตให้นำไปใช้ประโยชน์ด้านการค้า ไม่ว่ากรณีใดๆ ทั้งสิ้น อีกทั้งห้ามมิให้ดัดแปลงเนื้อหา และต้องอ้างอิงถึงเจ้าของเอกสารทุกครั้งที่มีการนำไปใช้

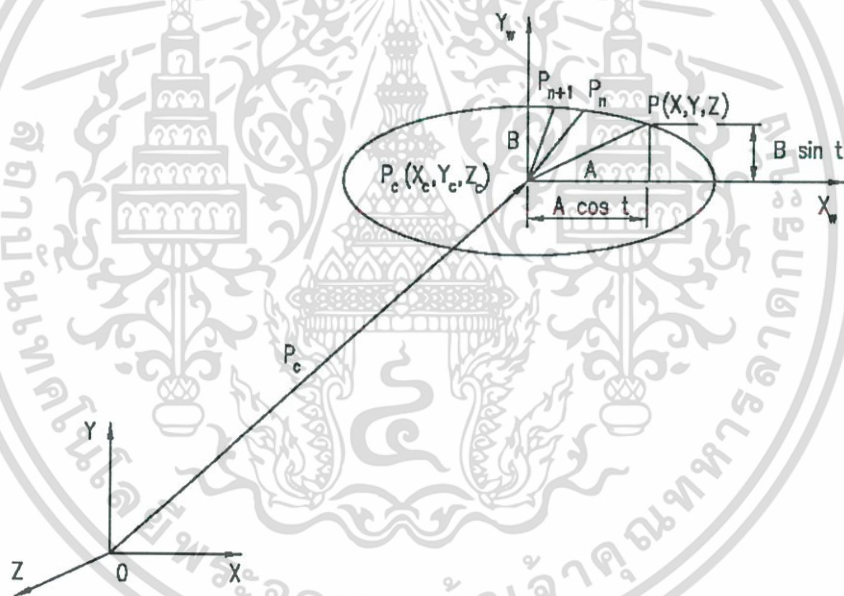
แทนค่าสมการ (3.23) ลงในสมการ (3.22) จะกลายเป็น

$$\begin{aligned}x_{n+1} &= x_c + (x_n - x_c)\cos \Delta t - (y_n - y_c)\sin \Delta t \\y_{n+1} &= y_c + (y_n - y_c)\cos \Delta t - (x_n - x_c)\sin \Delta t\end{aligned}\quad (3.24)$$

การวาดเส้นวงกลม โดยการเขียนโปรแกรมคอมพิวเตอร์ หากใช้สมการ (3.24) จะสามารถเขียนวงกลมได้รวดเร็วกว่าใช้สมการ (3.20) เนื่องจากค่า  $\sin \Delta t$  และ  $\cos \Delta t$  จะถูกคำนวณเพียงครั้งเดียว ซึ่งแตกต่างสมการ (3.20) จะต้องคำนวณค่า  $\sin t$  และ  $\cos t$  ที่ทุกๆ ค่า  $t$

### 3. วงรี (Ellipses)

วงรี เกิดจากเซตของจุดบนระนาบ ที่ผลบวกของระยะทางจากจุดใดๆ เซตนี้ไปยังจุดคงที่สองจุดที่สองจุดที่มีค่าคงตัวเสมอ



รูปที่ 3.4 แสดงรูปวงรีที่ได้จากการกำหนดจุดศูนย์กลางแกนหลักและแกนรอง

จากรูปที่ 3.4 พิจารณาที่จุด  $p(x, y, z)$  จะได้สมการอ้างอิงตัวแปรเสริมสำหรับจุด  $p$  ดังนี้

$$\left. \begin{aligned}x &= x_c + A \cos t \\y &= y_c + B \sin t \\z &= z_c\end{aligned} \right\} 0 \leq t \leq 2\pi \quad (3.25)$$

เอกสารนี้เป็นเอกสารที่สงวนไว้สำหรับการใช้งานเพื่อการศึกษาเท่านั้น ไม่อนุญาตให้นำไปใช้ประโยชน์ด้านการค้า ไม่ว่ากรณีใดๆ ทั้งสิ้น อีกทั้งห้ามมิให้ดัดแปลงเนื้อหา และต้องอ้างอิงถึงเจ้าของเอกสารทุกครั้งที่มีการนำไปใช้

พิจารณาจากรูปที่ 3.4 ของสมการอ้างอิงตัวแปรเสริมของวงรีนั้นจะพบว่ามีรูปแบบเหมือนกันกับสมการอ้างอิงตัวแปรเสริมของวงกลม โดยจะแตกต่างกันที่ค่าคงที่  $A$  และ  $B$  ของสมการวงรี จะมีค่าเท่ากันในสมการแบบวงกลม และจากการทำการแทนค่าโดยใช้วิธีเดียวกันกับสมการอ้างอิงตัวแปรเสริมของวงกลมที่ผ่านมาแล้วนั้น สุดท้ายจะได้สมการอยู่ในรูปของ

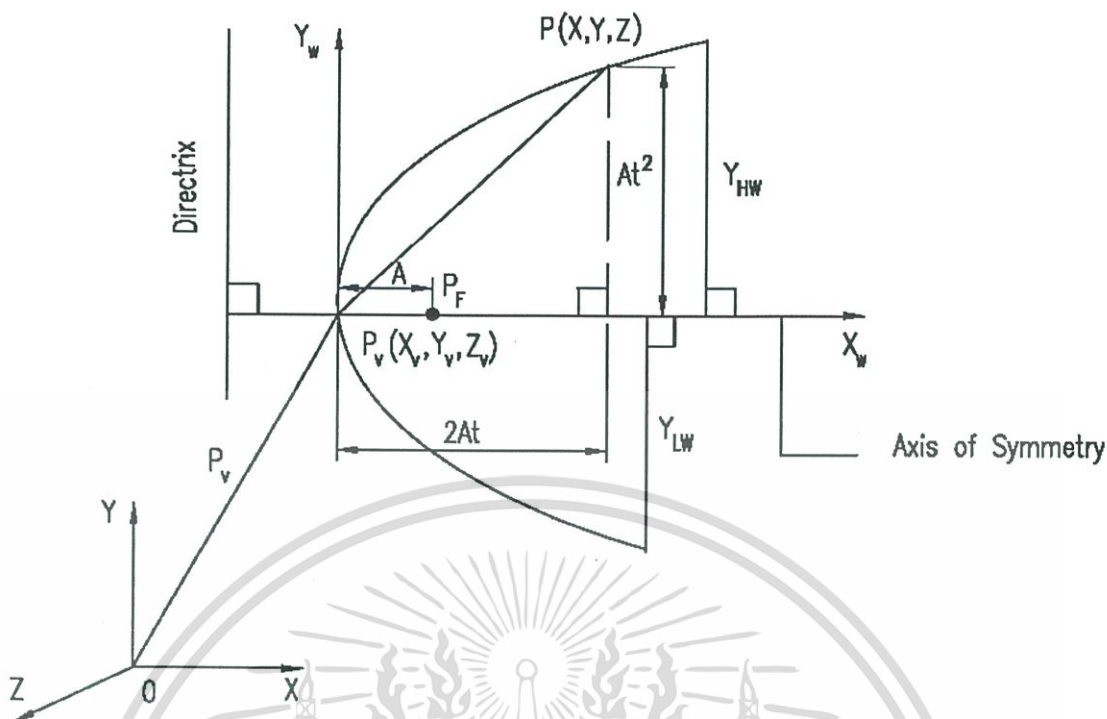
$$\begin{aligned}x_{n+1} &= A \cos(t + \Delta t) \\y_{n+1} &= B \sin(t + \Delta t) \\z_n &= z_c\end{aligned}\tag{3.26}$$

และ

$$\begin{aligned}x_{n+1} &= x_c + (x_n - x_c) \cos \Delta t - \frac{A}{B} (y_n - y_c) \sin \Delta t \\y_{n+1} &= y_c + (y_n - y_c) \cos \Delta t + \frac{A}{B} (x_n - x_c) \sin \Delta t \\z_{n+1} &= z_n\end{aligned}\tag{3.27}$$

#### 4. พาราโบลา (Parabola)

พาราโบลา คือ เซตของจุดในระนาบที่มีระยะทางห่างจากเส้นตรงเส้นหนึ่งเท่ากับระยะทางห่างจากจุดคงที่จุดหนึ่งซึ่งไม่อยู่บนเส้นตรง จุดคงที่นั้นเรียกว่า จุดโฟกัส (Focus) มักเขียนแทนด้วย  $F$  และ เส้นตรงนี้เรียกว่า ไคเรตริกซ์ เรียกว่าแกนของพาราโบลาจุดที่กราฟตัดกับแกนเรียกว่า จุดยอด (Vertex) เส้นคอร์ดที่ลากผ่านโฟกัส และตั้งฉาก กับแกนพาราโบลาคือ ลาดัสเรกตัม (Latus rectum)



รูปที่ 3.5 แสดงรูปทรงเรขาคณิตของพาราโบลา

พิจารณาจากรูปที่ 3.5 กำหนดให้แกนระนาบของพาราโบลาอยู่ในแกนระนาบ  $xy$  และพิจารณาจากรูปสมการในรูปทั่วไปของพาราโบลา คือ  $y^2 = 4ax$  จากสมการในรูปทั่วไปของพาราโบลานั้น กำหนดให้ค่า  $a$  เป็นค่าคงที่ และกำหนดให้ค่า  $x_n$  ในเทอมของตัวแปรอ้างอิงเสริม ดังสมการ

$$x_n = at^2 \tag{3.28}$$

แทนค่า  $x_n$  ในรูปสมการทั่วไปของพาราโบลา จะได้สมการของ  $y_n$  คือ

$$y_n = 2at \tag{3.29}$$

ทั้งค่า  $x_n$  และ  $y_n$  นั้นถูกแสดงในแนวแกน  $x$  และ  $y$  ของรูปที่ (3.24) และในการหาค่าที่จุด  $p(x, y, z)$  นั้นสามารถกำหนดสมการได้ ดังนี้

$$\left. \begin{aligned} x &= x_v + at^2 \\ y &= y_v + 2at \\ z &= z_v \end{aligned} \right\} 0 \leq t \leq \alpha \tag{3.30}$$

เอกสารนี้เป็นเอกสารที่สงวนไว้สำหรับการใช้งานเพื่อการศึกษาเท่านั้น ไม่อนุญาตให้นำไปใช้ประโยชน์ด้านการค้า ไม่ว่ากรณีใดๆ ทั้งสิ้น อีกทั้งห้ามมิให้ดัดแปลงเนื้อหา และต้องอ้างอิงถึงเจ้าของเอกสารทุกครั้งที่มีการนำไปใช้

สำหรับในการพิจารณาค่าจุดต่อไปของพาราโบลา นั้น เราสามารถทำได้โดยใช้วิธีการกำหนดช่วงที่เพิ่มขึ้นของจุดบนเส้นโค้งพาราโบลา คือ  $t$  และ  $t + \Delta t$  โดยที่ค่า  $\Delta t$  นั้นเป็นสัญลักษณ์แสดงถึงการเพิ่มขึ้นของจุดในแต่ละช่วงของพาราโบลา พิจารณาเทียบกับสมการ (3.28) และ (3.29) จะได้สมการของ  $x_{n+1}$  และ  $y_{n+1}$  คือ

$$\begin{aligned} x_{n+1} &= a(t + \Delta t)^2 \\ &= at^2 + 2at\Delta t + a\Delta t^2 \\ &= x_n + y_n\Delta t + a\Delta t^2 \end{aligned} \quad (3.31)$$

และ

$$\begin{aligned} y_{n+1} &= 2a(t + \Delta t) \\ y_{n+1} &= y_n + 2a\Delta t \end{aligned} \quad (3.32)$$



รูปที่ 3.6 แสดงรูปทั่วไปของไฮเพอร์โบลา

### 5. ไฮเพอร์โบลา (Hyperbola)

สมการอ้างอิงตัวแปรเสริมสำหรับไฮเพอร์โบลานั้นเราสามารถแบ่งออกได้เป็น 2 แบบ คือ

5.1 แบบฟังก์ชันตรีโกณมิติจากรูปที่ 3.6 แบบทั่วไปของสมการไฮเพอร์โบลา ที่มีแกนผ่านแกน  $x$  คือ

$$\frac{x^2}{a^2} - \frac{y^2}{b^2} = 1 \quad (3.33)$$

จากคุณสมบัติของตรีโกณมิติ  $\sec^2 t - \tan^2 t = 1$  นำสมการทั้งสองมาพิจารณาเปรียบเทียบกัน จะพบความสัมพันธ์ในรูปของสมการอิงตัวแปรเสริม ดังนี้  
เอกสารนี้เป็นเอกสารที่สงวนไว้สำหรับใช้เพื่อการศึกษานี้ ไม่อนุญาตให้นำไปใช้ประโยชน์ด้านการค้า ไม่ว่ากรณีใดๆ ทั้งสิ้น อีกทั้งห้ามมิให้ดัดแปลงเนื้อหา และต้องอ้างอิงถึงเจ้าของเอกสารทุกครั้งที่มีการนำไปใช้

$$\begin{aligned}x &= \pm a \sec t \\y &= \pm b \tan t \quad , 0 \leq t \leq \pi/2\end{aligned}\quad (3.34)$$

จากสมการที่ได้นำมาหาค่าในพิกัด  $x, y$  บนจุดต่างๆของไฮเพอร์โบลา ดังนี้

$$\begin{aligned}x_n &= x_c + a \sec t \\y_n &= y_c + b \tan t \\z_n &= z_n\end{aligned}\quad (3.35)$$

และที่  $t + \Delta t$  จะได้สมการ

$$\begin{aligned}x_{n+1} &= x_c + a \sec (t + \Delta t) \\y_{n+1} &= y_c + b \tan (t + \Delta t) \\z_{n+1} &= z_n\end{aligned}\quad (3.36)$$

## 5.2 แบบฟังก์ชันไฮเพอร์โบลิก (Hyperbolic function)

พิจารณาจากคุณสมบัติฟังก์ชันตรีโกณมิติ  $\cosh^2 t - \sinh^2 t = 1$  เปรียบเทียบกับแบบทั่วไปของสมการไฮเพอร์โบลามีแกนผ่านนานแกน  $x$  ที่ผ่านมาในหัวข้อที่แล้วนั้นจะสามารถเขียนสมการอิงตัวแปรเสริมดังสมการ

$$\begin{aligned}x &= a \cosh t \\y &= b \sinh t\end{aligned}\quad (3.37)$$

โดยที่

$$\begin{aligned}\cosh t &= \frac{e^x + e^{-x}}{2} \\ \sinh t &= \frac{e^x - e^{-x}}{2} \quad , 0 < t < \alpha\end{aligned}\quad (3.38)$$

จากสมการที่ได้นำมาหาค่าในพิกัด  $x, y$  บนจุดต่างๆ ของไฮเพอร์โบลา ดังนี้

$$\begin{aligned}x_n &= x_c + a \cosh t \\y_n &= y_c + b \sinh t \\z_n &= z_n\end{aligned}\quad (3.39)$$

เอกสารนี้เป็นเอกสารที่สงวนไว้สำหรับการใช้งานเพื่อการศึกษาเท่านั้น ไม่อนุญาตให้นำไปใช้ประโยชน์ด้านการค้าไม่ว่ากรณีใดๆ ทั้งสิ้น อีกทั้งห้ามมิให้ดัดแปลงเนื้อหา และต้องอ้างอิงถึงเจ้าของเอกสารทุกครั้งที่มีการนำไปใช้

และที่  $t+\Delta t$  จะได้สมการ

$$\begin{aligned}x_{n+1} &= x_c + a \cosh (t + \Delta t) \\y_{n+1} &= y_c + b \sinh (t + \Delta t) \\z_{n+1} &= z_n\end{aligned}\quad (3.40)$$

พิจารณาจากสูตรของมุมที่เปลี่ยนแปลงไป คือ

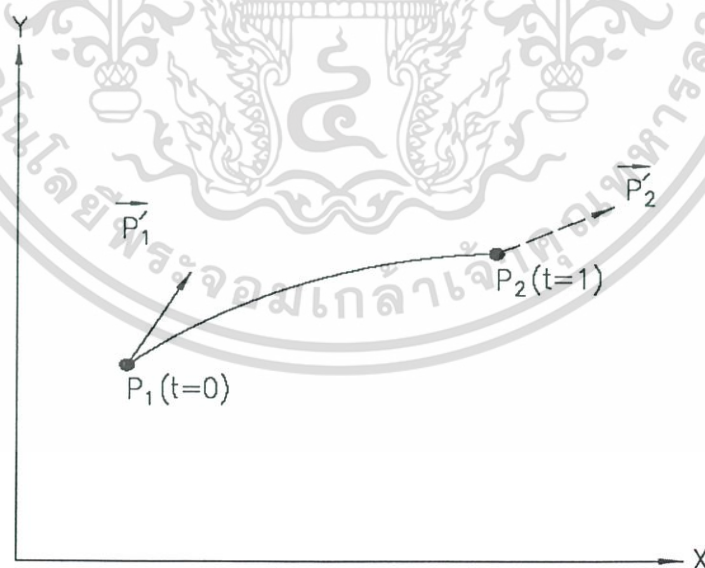
$$\begin{aligned}\cosh (t + \Delta t) &= \cosh t \cosh \Delta t + \sinh t \sinh \Delta t \\ \sinh (t + \Delta t) &= \sinh t \cosh \Delta t + \cosh t \sinh \Delta t\end{aligned}\quad (3.41)$$

แทนค่าในสมการที่ (3.40) สุดท้ายจะได้สมการ

$$\begin{aligned}x_{n+1} &= x_n \cosh \Delta t + \left(\frac{a}{b}\right) y_n \sinh \Delta t \\y_{n+1} &= \left(\frac{b}{a}\right) x_n \sinh \Delta t + y_n \cosh \Delta t\end{aligned}\quad (3.42)$$

#### 6. สมการพารามตริกคิวบิกสไปน (Parametric Cubic Splines Equation) [7], [8]

จากการพิจารณาจากช่วงระหว่างจุดต่อ 2 จุด โดยที่เราทราบตำแหน่งของจุด และความชันของเส้นที่จุดทั้งสอง ดังรูป 3.7



รูปที่ 3.7 แสดงรูปเส้นโค้งของสมการพารามตริกคิวบิกสไปน

จากการที่เงื่อนไขที่  $t = 0$  ทำให้เรารู้ค่า  $\bar{p}_1, \bar{p}'_1$  และที่  $t = 1$  ทำให้เรารู้ค่า  $\bar{p}_2, \bar{p}'_2$

เราจึงสามารถเขียนสมการอ้างอิงตัวแปรเสริม ได้เป็น

เอกสารนี้เป็นเอกสารที่สงวนไว้สำหรับการใช้งานเพื่อการศึกษาเท่านั้น ไม่อนุญาตให้นำไปใช้ประโยชน์ด้านการค้า ไม่ว่ากรณีใดๆ ทั้งสิ้น อีกทั้งห้ามมิให้ดัดแปลงเนื้อหา และต้องอ้างอิงถึงเจ้าของเอกสารทุกครั้งที่มีการนำไปใช้

$$\bar{p}(t) = \sum_{i=1}^{m+1} a_i t^{i-1} \quad , t_i \leq t \leq t_2 \quad (3.43)$$

โดยที่  $\bar{p}(t)$  เป็นเวกเตอร์แสดงตำแหน่งของจุดบนสไปลน์ และ  $a_i$  คือค่าสัมประสิทธิ์ของโพลิโนเมียล สมการที่ (3.43) จะเขียนในรูปของสกาลาร์ได้เป็น

$$\begin{aligned} x(t) &= a_{1x} + a_{2x}t + a_{3x}t^2 + a_{4x}t^3 \\ y(t) &= a_{1y} + a_{2y}t + a_{3y}t^2 + a_{4y}t^3 \\ z(t) &= a_{1z} + a_{2z}t + a_{3z}t^2 + a_{4z}t^3 \end{aligned} \quad (3.44)$$

และเรานำสมการที่ (3.44) มาเขียนใหม่ในรูปของเวกเตอร์ได้ว่า

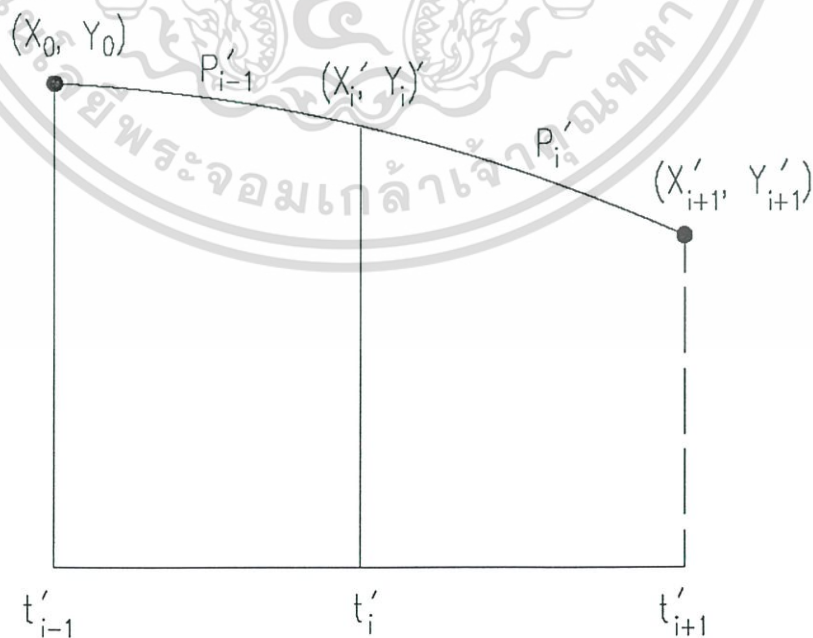
$$\bar{p}(t) = \bar{a}_1 + \bar{a}_2 t + \bar{a}_3 t^2 + \bar{a}_4 t^3 \quad (3.45)$$

สำหรับพารามิเตอร์  $t$  จะถูกกำหนดให้เพิ่มขึ้นจากช่วงของเส้นโค้ง โดยกำหนดให้  $0 \leq t \leq 1$  และ

$$\begin{aligned} t_1 &= 0 \\ t_i &= t_{i-1} + \sqrt{(x_i - x_{i-1})^2 + (y_i - y_{i-1})^2} \\ t_{n+1} &= t_n + \sqrt{(x_1 - x_n)^2 + (y_1 - y_n)^2} \end{aligned} \quad (3.46)$$

โดยที่  $i = 2, 3, \dots, n$

การหาสมการจากระเบียบวิธีเชิงตัวเลข จากรูปที่ 3.8 พิจารณาช่วงเส้นโค้งกำลังสามบนช่วง  $[t_i, t_{i+1}]$  ซึ่งแสดงแทนด้วยค่าจะสามารถเขียนได้เป็น  $p_i$  สามารถเขียนได้เป็น



**รูปที่ 3.8** แสดงการแบ่งช่วงของเส้นโค้งของสมการพาราเมตริกคิวบิกสไปลน์

เอกสารนี้เป็นเอกสารที่เผยแพร่โดยมหาวิทยาลัยเทคโนโลยีพระจอมเกล้าเจ้าคุณทหารลาดกระบัง  
ไม่ว่ากรณีใดๆ ทั้งสิ้น อีกทั้งห้ามมิให้ดัดแปลงเนื้อหา และต้องอ้างอิงถึงเจ้าของเอกสารทุกครั้งที่มีการนำไปใช้

$$\left. \begin{array}{l} p(t_i) = y_i \\ p(t_{i+1}) = y_{i+1} \end{array} \right\} 0 \leq i \leq n \quad (3.47)$$

$$p(x) = \begin{cases} p_0(x), & t_0 \leq x \leq t_1 \\ p_1(x), & t_1 \leq x \leq t_2 \\ \vdots \\ p_{n-1}(x), & t_{n-1} \leq x \leq t_n \end{cases} \quad (3.48)$$

การกำหนดเงื่อนไขขอบเขตของความต่อเนื่องที่จุดต่อภายใน  $t_1, t_2, \dots, t_{n-1}$  มีความสัมพันธ์กันดังสมการ

$$p_{i-1}^{(k)}(t_i) = p_i^{(k)}(t_i) \quad \text{สำหรับ } k = 0, 1, 2, \quad (3.49)$$

เนื่องจากเรารับสมภาวะเงื่อนไขขอบเขตที่กำหนด  $p(t_i) = y_i$  และกำหนดเงื่อนไขขอบเขตจากความสัมพันธ์ของอนุพันธ์อันดับ 2 ที่ตำแหน่งจุดปลายทั้งสอง นั่นคือที่  $t_0$  และ  $t_n$  นั้นมีค่าเท่ากับศูนย์

$$p''(t_0) = p''(t_n) = 0 \quad (3.50)$$

ซึ่งฟังก์ชันดังกล่าวนี้เรียกกันทั่วไปว่า Natural cubic spline พิจารณาบนช่วง  $[t_i, t_{i+1}]$  อนุพันธ์อันดับสองของ  $P$  จะเป็นแบบพหุนามเชิงเส้น (Linear polynomial) และกิดที่จุดปลายจะเขียนได้ ดังรูปสมการ

$$p_i''(x) = \frac{p_i''(t_{i+1})(x-t_i)}{(t_{i+1}-t_i)} + \frac{p_i''(t_i)(t_{i+1}-x)}{(t_{i+1}-t_i)} \quad (3.51)$$

กำหนดให้  $h_i = t_{i+1} - t_i$  และ  $z_i = p_i''(t_i)$  สำหรับ  $0 \leq i \leq n-1$  แทนค่าลงในสมการที่ (3.51) จะได้ว่า

$$p_i''(x) = \frac{z_{i+1}}{h_i}(x-t_i) + \frac{z_i}{h_i}(t_{i+1}-x) \quad (3.52)$$

ทำการอินทิเกรต 2 ครั้ง จะได้ว่า

$$p_i''(x) = \frac{z_{i+1}}{2h_i}(x-t_i)^2 + \frac{z_i}{2h_i}(t_{i+1}-x)^2 + c \quad (3.53)$$

เอกสารนี้เป็นเอกสารที่สงวนไว้สำหรับงานเพื่อการศึกษาค้นคว้าเท่านั้น ไม่อนุญาตให้นำไปใช้ประโยชน์ด้านการค้าไม่ว่ากรณีใดๆ ทั้งสิ้น อีกทั้งห้ามมิให้ดัดแปลงเนื้อหา และต้องอ้างอิงถึงเจ้าของเอกสารทุกครั้งที่มีการนำไปใช้

โดยที่ค่า  $c$  และ  $d$  ที่ได้จากการอินทิเกรตเป็นค่าคงที่ ทำการกำหนดเงื่อนไขขอบเขตโดยกำหนดให้  $p_i(t_i) = y_i$  และ  $p_i(t_i) = y_{i+1}$  ลงในสมการที่ (3.53) จะเขียนอยู่ในรูปของสมการได้ดังนี้

$$y_i = \frac{z_i}{6h_i}(t_{i+1} - t_i)^3 + ct_i + d \quad (3.54)$$

$$y_i = \frac{z_i h_i^2}{6} + ct_i + d$$

$$y_{i+1} = \frac{z_{i+1}}{6h_i}(t_{i+1} - t_i)^3 + ct_{i+1} + d \quad (3.55)$$

$$y_{i+1} = \frac{z_{i+1}}{6} h_i^2 + ct_{i+1} + d$$

จัดรูปสมการหาค่าคงที่  $c$  และ  $d$  จากสมการที่ (3.54) จะได้ว่า

$$d = y_i - \frac{z_i h_i^2}{6} - ct_i \quad (3.56)$$

แทนค่า  $d$  ลงในสมการที่ (3.55) จะได้ว่า

$$\begin{aligned} y_{i+1} &= \frac{z_{i+1} h_i^2}{6} + ct_{i+1} + y_i - \frac{z_i h_i^2}{6} + ct_i \\ ch_i &= y_{i+1} - y_i - \frac{h_i^2}{6} (z_{i+1} - z_i) \\ c &= \frac{y_{i+1} - y_i}{h_i} - \frac{h_i^2}{6} (z_{i+1} - z_i) \end{aligned} \quad (3.57)$$

โดยที่ค่า  $c$  และ  $d$  ที่ได้จากการอินทิเกรตเป็นค่าคงที่ โดยวิธีการปรับปรุงค่าคงที่ ที่ได้จากการอินทิเกรตเพื่อให้ง่ายขึ้น ดังนี้

$$p_i(x) = \frac{z_{i+1}}{6h_i}(x - t_i)^3 + \frac{z_i}{6h_i}(t_{i+1} - x)^3 + c(x - t_i) + d(t_{i+1} - x) \quad (3.58)$$

เอกสารนี้เป็นเอกสารที่สงวนไว้สำหรับการใช้งานเพื่อการศึกษาเท่านั้น ไม่อนุญาตให้นำไปใช้ประโยชน์ด้านการค้าไม่ว่ากรณีใดๆ ทั้งสิ้น อีกทั้งห้ามมิให้ดัดแปลงเนื้อหา และต้องอ้างอิงถึงเจ้าของเอกสารทุกครั้งที่มีการนำไปใช้

โดยที่ค่า  $c$  และ  $d$  เป็นค่าคงที่ จากการดิฟเฟอเรนเชียลสมการที่ (3.58) สองครั้ง จะได้ผลลัพธ์ตรงกับสมการที่ (3.52) ในการประมาณค่าทำการกำหนดเงื่อนไขขอบเขตโดยกำหนดให้  $p_i(t_i) = y_i$  และ  $p_i(t_{i+1}) = y_{i+1}$  ลงในสมการที่ (3.58) จะเขียนอยู่ในรูปของสมการได้ดังนี้

$$\begin{aligned} y_i &= \frac{z_i}{6h_i}(t_{i+1} - t_i)^3 + d(t_{i+1} - t_i) \\ y_i &= \frac{z_i h_i^2}{6} + dh_i \\ d &= \frac{y_i}{h_i} - \frac{z_i h_i}{6} \\ y_{i+1} &= \frac{z_{i+1}}{6h_i}(t_{i+1} - t_i)^3 + c(t_{i+1} - t_i) \\ y_{i+1} &= \frac{z_{i+1} h_i^2}{6} + ch_i \\ c &= \frac{y_{i+1}}{h_i} - \frac{z_{i+1} h_i}{6} \end{aligned} \quad (3.59)$$

แทนค่าคงที่  $c$  และ  $d$  ในสมการที่ (3.53) จะได้

$$p_i(x) = \frac{z_{i+1}}{6h_i}(x_i - t_i)^3 + \frac{z_i}{6h_i}(t_{i+1} - x)^3 + \left(\frac{y_{i+1}}{h_i} - \frac{z_{i+1}h_i}{6}\right)(x - t_i) + \left(\frac{y_i}{h_i} - \frac{z_i h_i}{6}\right)(t_{i+1} - x) \quad (3.60)$$

ค่าของ  $z_0, z_1, \dots, z_n$  จะเป็นตัวกำหนดของฟังก์ชันของทุกๆ ฟังก์ชัน  $p_0(x), p_1(x), \dots, p_{n-1}(x)$

กำหนดให้  $u = \frac{x - t_i}{h_i}$  และ  $v = \frac{t_{i+1} - x}{h_i}$  และ  $w = \frac{z_i}{6}$  แทนค่าลงในสมการที่ (3.60) ทำให้

สมการลดรูปได้เป็น

$$\begin{aligned} p_i(x) &= w_{i+1}h_i^2 u^3 + w_{i+1}h_i^2 v^3 + \left(\frac{y_{i+1}}{h_i} - w_{i+1}h_i\right)h_i u + \left(\frac{y_i}{h_i} - w_i h_i\right)h_i v \\ p_i(x) &= uy_{i+1} + vy_i + w_{i+1}h_i^2 u^3 - w_{i+1}h_i^2 u + w_i h_i^2 v^3 - w_i h_i v \\ p_i(x) &= uy_{i+1} + vy_i + h_i^2 [(u^3 - u)w_{i+1} + (v^3 - v)w_i] \end{aligned} \quad (3.61)$$

ทำการดิฟเฟอเรนเชียลฟังก์ชัน  $p_i(x)$  โดยใช้กฎลูกโซ่ และใช้ค่า  $w' = \frac{1}{h_i}$  และ  $v' = \frac{-1}{h_i}$  ทำให้

ได้สมการ

$$p_i'(x) = \frac{y_{i+1} - y_i}{h_i} + h_i [(3u^2 - 1)w_{i+1} - (3v^2 - 1)w_i] \quad (3.62)$$

เอกสารนี้เป็นเอกสารที่สงวนไว้สำหรับการใช้งานเพื่อการศึกษาเท่านั้น ไม่อนุญาตให้นำไปใช้ประโยชน์ด้านการค้าไม่ว่ากรณีใดๆ ทั้งสิ้น อีกทั้งห้ามมิให้ดัดแปลงเนื้อหา และต้องอ้างอิงถึงเจ้าของเอกสารทุกครั้งที่มีการนำไปใช้

จากรูปที่ 3.8 ค่าความชันของ  $p'_{i-1}(t_i)$  จะมีค่าเท่ากับค่าความชันของ  $p'_i(t_i)$  จากความสัมพันธ์นี้เราสามารถนำค่าสมการเพื่อจัดอยู่ในรูปแบบของเมตริกซ์ได้

$$p'_i(t_i) = \frac{y_{i+1} - y_i}{h_i} - h_i w_{i+1} - 2w_i \quad (3.63)$$

กำหนดให้  $b_i = \frac{y_{i+1} - y_i}{h_i}$  จัดรูปสมการใหม่จะได้ว่า

$$p'_i(t_i) = b_i - h_i(w_{i+1} + 2w_i)$$

$$p'_{i-1}(t_i) = \frac{y_i - y_{i+1}}{h_{i+1}} - h_{i+1}(2w_i + w_{i-1}) \quad (3.64)$$

$$p'_{i-1}(t_i) = b_{i-1} + h_{i-1}(2w_i + w_{i-1})$$

เนื่องจาก  $p'_{i-1}(t_i) = p'_i(t_i)$  ดังนั้น

$$b_{i-1} + h_{i-1}(2w_i + w_{i-1}) = b_i - h_i(w_{i+1} + 2w_i)$$

$$h_{i-1}w_{i-1} + 2(h_{i-1} + h_i)w_i + h_iw_{i+1} = b_i - b_{i-1} \quad (3.65)$$

สำหรับการกำหนดเงื่อนไขขอบเขตของจุดเริ่มต้นและจุดปลายของเส้นนั้น ทำได้โดยการกำหนดค่า  $c_1(x)$  และ  $c_n(x)$  ซึ่งค่าทั้งสองนี้เปรียบเสมือนเส้นโค้งกำลังสามที่ผ่านข้อมูลสี่จุดแรกและข้อมูลสี่จุดสุดท้ายและเงื่อนไขขอบเขตทั้งสองปลายนั้น เป็นเสมือนอนุพันธ์อันดับที่ 3 ของฟังก์ชัน  $p(x)$

$$p'''(t_1) = c_1'''$$

และ

$$p'''(t_n) = c_n''' \quad (3.66)$$

จากค่าคงที่  $c_1'''$  และ  $c_n'''$  สามารถกำหนดได้โดยการจากข้อมูลของ  $c_1(t)$  และ  $c_n(t)$

$$\Delta i = \frac{y_{i+1} - y_i}{t_{i+1} - t_i} \quad (3.67)$$

สำหรับค่าประมาณของอนุพันธ์อันดับที่ 1 กำหนดโดย

$$\Delta^2_i = \frac{\Delta_{i+1} - \Delta_i}{t_{i+2} - t_i}$$

และ

$$\Delta^3_i = \frac{\Delta^2_{i+1} - \Delta^2_i}{t_{i+3} - t_i} \quad (3.68)$$

เอกสารนี้เป็นเอกสารที่สงวนไว้สำหรับการใช้งานเพื่อการวิจัยเท่านั้น ไม่อนุญาตให้นำไปใช้ประโยชน์ด้านการค้าไม่ว่ากรณีใดๆ ทั้งสิ้น อีกทั้งห้ามมิให้ดัดแปลงเนื้อหา และต้องอ้างอิงถึงเจ้าของเอกสารทุกครั้งที่มีการนำไปใช้

สำหรับปริมาณเรทราบได้จากการแบ่งส่วนที่แตกต่างกันได้  $2\Delta_1^2$  และ  $6\Delta_1^3$  เมื่อนำไปเทียบกับค่ากับอนุพันธ์อันดับที่สาม แสดงได้ดังนี้

$$c_1''' = 6\Delta_1^3 \quad (3.69)$$

และ

$$c_n''' = 6\Delta_{n-3}^3 \quad (3.70)$$

สามารถนำมาเขียนในรูปของ

$$\frac{w_2 - w_1}{h_1} = \Delta_1^3 \quad (3.71)$$

$$\frac{w_n - w_{n-1}}{h_{n-1}} = \Delta_{n-3}^3 \quad (3.72)$$

$$\Delta_1^3 = \frac{\Delta_2^2 - \Delta_1^2}{t_4 - t_1} = \frac{\Delta_3 - \Delta_2}{t_4 - t_2} \cdot \frac{\Delta_2 - \Delta_1}{t_3 - t_1} \quad (3.73)$$

จัดรูปใหม่ ดังนี้

$$\Delta_1^3 = \frac{\frac{y_4 - y_3}{t_4 - t_3} \cdot \frac{y_3 - y_2}{t_3 - t_2} \cdot \frac{y_3 - y_2}{t_3 - t_2} \cdot \frac{y_2 - y_1}{t_2 - t_1}}{t_4 - t_2} \cdot \frac{t_3 - t_1}{t_3 - t_1}$$

$$\Delta_{n-3}^3 = \frac{\Delta_{n-2}^2 - \Delta_{n-3}^2}{t_n - t_{n-3}} = \frac{\Delta_{n-1} - \Delta_{n-2}}{t_n - t_{n-2}} \cdot \frac{\Delta_{n-2} - \Delta_{n-3}}{t_{n-2} - t_{n-3}}$$

$$\Delta_{n-3}^3 = \frac{\left( \frac{y_n - y_{n-1}}{t_n - t_{n-1}} \cdot \frac{y_{n-1} - y_{n-2}}{t_{n-1} - t_{n-2}} \right)}{t_n - t_{n-2}} - \left( \frac{\frac{y_{n-1} - y_{n-2}}{t_{n-1} - t_{n-2}} \cdot \frac{y_{n-2} - y_{n-3}}{x_{n-2} - x_{n-3}}}{t_{n-2} - x_{n-3}} \right) \quad (3.74)$$

เอกสารนี้เป็นเอกสารที่สงวนไว้สำหรับการใช้งานเพื่อการศึกษาเท่านั้น ไม่อนุญาตให้นำไปใช้ประโยชน์ด้านการค้าไม่ว่ากรณีใดๆ ทั้งสิ้น อีกทั้งห้ามมิให้ดัดแปลงเนื้อหา และต้องอ้างอิงถึงเจ้าของเอกสารทุกครั้งที่มีการนำไปใช้

สุดท้ายนี้เราสามารถกำหนดระบบสมการ

$$\begin{aligned} \text{(จุดเริ่มต้น)} \quad & -h_1 w_1 + h_1 w_2 = h_1^2 \Delta_1^3 \\ & h_{i-1} w_{i-1} + 2(h_{i-1} + h_i) w_i + h_i w_{i+1} = b_i - b_{i-1} \\ \text{(จุดสุดท้าย)} \quad & h_{n-1} w_{n-1} - h_{n-1} w_n = -h_{n-1}^2 \Delta_{n-3}^3 \end{aligned}$$

จากการแทนค่า  $i = 1, 2, \dots, n-1$  จะได้อยู่ในรูปเมทริกซ์ ดังนี้

$$\begin{bmatrix} -h_1 & h_1 & 0 & 0 \\ h_1 & 2(h_1 + h_2) & h_2 & 0 \\ h_2 & 2(h_2 + h_3) & h_3 & 0 \\ \vdots & \vdots & \vdots & \vdots \\ h_{n-2} & 2(h_{n-2} + h_{n-1}) & h_{n-1} & 0 \\ 0 & h_{n-1} & -h_{n-1} & 0 \end{bmatrix} \begin{bmatrix} w_1 \\ w_2 \\ w_3 \\ \vdots \\ w_{n-1} \\ w_n \end{bmatrix} = \begin{bmatrix} h_1^2 \Delta_1^3 \\ b_2 - b_1 \\ b_3 - b_2 \\ \vdots \\ b_{n-1} - b_{n-2} \\ -h_{n-1}^2 \Delta_{n-3}^3 \end{bmatrix} \quad (3.75)$$

สำหรับระบบสมการที่เขียนในรูปของเมทริกซ์นี้มีจำนวนสมการเท่ากับ  $n$  สมการซึ่งสามารถหาค่า  $w$  โดยการวิธีกำจัดค่า (Elimination) แต่เนื่องจากสัมประสิทธิ์ของเมทริกซ์มีคุณสมบัติพิเศษหลายข้อคือ

- 6.1 เมทริกซ์เป็นแบบเชิงทแยงมุม (Tridiagonal matrix)
- 6.2 เมทริกซ์สมมาตร (Symmetric matrix)
- 6.3 สำหรับทุก ๆ ค่าของ  $t_1 < t_2 < \dots < t_n$  เมทริกซ์อยู่ในรูปนอนซิงกูลาร์ เมทริกซ์ (Non singular matrix) และจากคุณสมบัติของเมทริกซ์นี้เราสามารถคำนวณหาค่าตัวแปร  $w$  ได้โดยการใช้ระเบียบวิธีการกำจัดแบบเกาส์ (Gauss elimination method) โดยไม่ต้องทำการปรับปรุงค่าโดยการจัดสเกล (Scaling) และการกำหนดจุดหมุน (Pivoting) และจากการประยุกต์วิธีการกำจัดแบบเกาส์ทำให้เมทริกซ์ลดรูปเป็น

$$\begin{bmatrix} \alpha_1 & h_1 & & & \\ & \alpha_2 & h_2 & & \\ & & \alpha_3 & h_3 & \\ & & & \ddots & \ddots \\ & & & & \alpha_n \end{bmatrix} \begin{bmatrix} w_1 \\ w_2 \\ w_3 \\ \vdots \\ w_n \end{bmatrix} = \begin{bmatrix} \beta_1 \\ \beta_2 \\ \beta_3 \\ \vdots \\ \beta_n \end{bmatrix} \quad (3.76)$$

เอกสารนี้เป็นเอกสารที่สงวนไว้สำหรับการใช้งานเพื่อการศึกษาเท่านั้น ไม่นิยมนำไปใช้ประโยชน์ด้านการค้า ไม่ว่ากรณีใดๆ ทั้งสิ้น อีกทั้งห้ามมิให้ดัดแปลงเนื้อหา และต้องอ้างอิงถึงเจ้าของเอกสารทุกครั้งที่มีการนำไปใช้

โดยที่สมาชิกในแนวทแยงมุม (Diagonal elements)  $\alpha_i$  หาค่าได้โดย

$$\begin{aligned}\alpha_1 &= -h_1 \\ \alpha_i &= 2(h_{i-1} + h_i) - \frac{h_{i-1}^2}{\alpha_{i-1}}, i = 2, 3, \dots, n-1 \\ \alpha_n &= -h_{n-1} - \frac{h_{n-1}^2}{\alpha_{n-1}}\end{aligned}\quad (3.77)$$

และส่วนที่ไม่เป็นเอกพันธ์ (Inhomogeneous elements)  $\beta_i$  หาค่าได้โดย

$$\begin{aligned}\beta_1 &= h_1^2 \Delta_1^3 \\ \beta_i &= (b_i - b_{i-1}) - \frac{h_{i-1} \beta_{i-1}}{\alpha_{i-1}}, i = 2, 3, \dots, n-1 \\ \beta_n &= -h_{n-1}^2 \Delta_{n-1}^3 - h_{n-1} \frac{\beta_{n-1}}{\alpha_{n-1}}\end{aligned}\quad (3.78)$$

โดยการแทนค่าย้อนกลับ (Back substitution) ทำให้สามารถคำนวณค่าสัมประสิทธิ์  $w_i$  คือ

$$\begin{aligned}w_i &= \frac{\beta_i - h_i w_{i+1}}{\alpha_i}, i = n-1, n-2, \dots, 1 \\ w_n &= \frac{\beta_n}{\alpha_n}\end{aligned}\quad (3.79)$$

จากสมการที่ (3.60) นั้นพบว่าไม่เหมาะสมสำหรับรูปแบบของวิธีการคำนวณเชิงตัวเลข เนื่องจากต้องคำนวณค่าหลาย ๆ ครั้ง เราจึงต้องทำการจัดเรียงเทอมของสมการใหม่ เพื่อให้สามารถคำนวณผลลู่เข้าหาค่าที่ต้องการคำนวณได้รวดเร็วขึ้น โดยการคำนวณและจัดเก็บค่าที่แท้จริงของสัมประสิทธิ์เส้นโค้งกำลังสาม  $B_i, C_i$  และ  $D_i$  โดยที่  $i = 1, 2, \dots, n-1$  สำหรับช่วง  $(t_i, t_{i+1})$  ดังนั้นสมการที่ (3.60) จะเปลี่ยนรูปเป็น

$$P_i(x) = A_i + B_i(x-t_i) + C_i(x-t_i)^2 + D_i(x-t_i)^3 \quad (3.80)$$

จากรูปแบบสมการที่ได้พบว่าสามารถจัดเข้าอยู่ในรูปของอนุกรมเทเลอร์ (Taylor Series) กล่าวคือ สำหรับฟังก์ชัน  $f(x)$  เป็นฟังก์ชันที่หาอนุพันธ์ได้ทุกอันดับ ณ ที่จุด  $x = a$  จะอยู่ในรูปของ

$$f(x) = f(a) + f'(a)(x-a) + \frac{f''(a)}{2!}(x-a)^2 + \dots + \frac{f^n(a)}{n!}(x-a)^n + \dots \quad (3.81)$$

เอกสารนี้เป็นเอกสารที่สงวนไว้สำหรับการใช้งานเพื่อการศึกษาเท่านั้น ไม่อนุญาตให้นำไปใช้ประโยชน์ด้านการค้าไม่ว่ากรณีใดๆ ทั้งสิ้น อีกทั้งห้ามมิให้ดัดแปลงเนื้อหา และต้องอ้างอิงถึงเจ้าของเอกสารทุกครั้งที่มีการนำไปใช้

ดังนั้นสามารถกำหนดค่า  $A_i, B_i, C_i$  และ  $D_i$  โดยพิจารณาเป็นอนุกรมเทเลอร์ (Taylor Series) ของจุด  $t_i$  ดังนี้

$$\begin{aligned} A_i &= P_i(t_i) \\ B_i &= P_i'(t_i) \\ C_i &= \frac{1}{2} P_i''(t_i) \\ D_i &= \frac{1}{6} P_i'''(t_i) \end{aligned} \quad (3.82)$$

เนื่องจากเรากำหนดเงื่อนไขขอบเขตให้  $P_i(t_i) = y_i$  ดังนั้น

$$A_i = y_i \quad (3.83)$$

และค่า  $P_i''(t_i) = Z_i$  ดังนั้น

$$C_i = \frac{Z_i}{2} \quad (3.84)$$

เนื่องจาก  $Z_i = 6w_i$  ดังนั้น

$$C_i = 3w_i \quad (3.85)$$

พิจารณาค่า  $D_i$  โดยการเทียบสัมประสิทธิ์ที่ค่า  $x^3$  ในสมการที่  $x$  เป็นค่าของเทอมของ  $D_i$  และนำไปเปรียบเทียบกับค่า  $x^3$  ของสมการที่ (3.60) คือ  $(z_{i+1} - z_i)/6h_i$  ดังนั้นจึงหาค่า  $D_i$  ได้จากสมการ

$$D_i = \frac{z_{i+1} - z_i}{6h_i} \quad (3.86)$$

เนื่องจาก  $z_{i+1} = 6w_{i+1}$  และ  $z_i = 6w_i$  ดังนั้นเราสามารถหาค่า  $D_i$  ในเทอมของ  $w_{i+1}$  และ  $w_i$  ได้ดังนี้

$$D_i = \frac{w_{i+1} - w_i}{h_i} \quad (3.87)$$

สำหรับค่า  $B_i$  นั้นเราสามารถหาค่าได้จากหาอนุพันธ์อันดับ 1 ของสมการที่ 3.60 ที่จุด  $t_i$  ดังนี้

$$P_i'(x) = \frac{z_{i+1}}{2h_i} (x - t_i)^2 - \frac{z_i}{2h_i} (t_{i+1} - x)^2 + \frac{y_{i+1}}{h_i} - \frac{h_i}{6} z_{i+1} - \frac{y_i}{h_i} + \frac{h_i z_i}{6} \quad (3.88)$$

ที่จุด  $t_i$

เอกสารนี้เป็นเอกสารที่สงวนไว้สำหรับการใช้งานเพื่อการศึกษาเท่านั้น ไม่อนุญาตให้นำไปใช้ประโยชน์ด้านการค้า ไม่ว่าจะกรณีใดๆ ทั้งสิ้น อีกทั้งห้ามมิให้ดัดแปลงเนื้อหา และต้องอ้างอิงถึงเจ้าของเอกสารทุกครั้งที่มีการนำไปใช้

$$B_i = \frac{-h_i}{6} z_{i+1} - \frac{h_i}{3} z_i + \frac{y_{i+1} - y_i}{h_i} \quad (3.89)$$

แทนค่า  $z_{i+1} = 6w_{i+1}$  และ  $z_i = 6w$  จะได้สมการ  $B_i$  ดังนี้

$$B_i = \frac{y_{i+1} - y_i}{h_i} - h_i(w_{i+1} + 2w_i) \quad (3.90)$$



เอกสารนี้เป็นเอกสารที่สงวนไว้สำหรับการใช้งานเพื่อการศึกษาเท่านั้น ไม่อนุญาตให้นำไปใช้ประโยชน์ด้านการค้า  
ไม่ว่ากรณีใดๆ ทั้งสิ้น อีกทั้งห้ามมิให้ดัดแปลงเนื้อหา และต้องอ้างอิงถึงเจ้าของเอกสารทุกครั้งที่มีการนำไปใช้

## บทที่ 4

# การทำโปรแกรมแบบพารามิเตอร์

### 4.1 การทำโปรแกรมแบบพารามิเตอร์บนคอมพิวเตอร์ส่วนบุคคล

จากการที่คอมพิวเตอร์ส่วนบุคคลสามารถนำมาใช้ในการสร้างโปรแกรมชิ้นงานสำหรับเครื่องจักรควบคุมเชิงตัวเลข (NC) โปรแกรมชิ้นงานที่สร้างขึ้นบน PC นี้ สามารถทำออกมาได้ทั้งในลักษณะของรหัสระบบควบคุมเชิงตัวเลข (NC Code) หรือของรหัสระบบควบคุมเชิงตัวเลขแบบพารามิเตอร์ (Parametrical NC Code) ในกรณีของรหัสควบคุมเชิงตัวเลขแบบปกติทั่วไป ผู้โปรแกรมสามารถเขียนโปรแกรมบน PC แบบเชิงโต้ตอบด้วยภาษาที่ใช้กับเครื่อง PC โปรแกรมนี้จะสร้างโปรแกรมชิ้นงาน NC นี้ตามข้อมูลของชิ้นงานที่ป้อนเข้าไป โปรแกรมลักษณะนี้จะถูกกระทำขึ้นเพื่อใช้ทำงานเฉพาะอย่างที่ยับยั้ง โดยเฉพาะในกรณีที่มีระบบขอบในระนาบ XZ, XY และ YZ ไม่คงที่ โปรแกรมสำเร็จทางด้าน CAM แบบ 2D ไม่สามารถสร้างเส้นทางเดินมีดตัด (Toolpath) ของชิ้นงานที่มีปัญหาเหล่านี้ได้ ถึงแม้ว่างานในลักษณะนี้มีใช้งานในลักษณะที่ต้องทำการประมาณค่าระบบสามมิติ (3D interpolation) แต่ในทางปฏิบัติผู้ทำงานมักจะต้องแก้ปัญหาโดยการนำโปรแกรมสำเร็จทางด้าน CAM แบบ 3D ที่มีราคาสูงมากมาใช้ งานลักษณะงานเช่นนี้เราอาจนำปัญหาต่างๆ มาทำการวิเคราะห์อย่างละเอียด และทำการโปรแกรมแบบเชิงโต้ตอบด้วยโปรแกรมภาษาคอมพิวเตอร์บน PC ได้ตัวอย่างเช่น การใช้โปรแกรมภาษาเบสิกรุ่นต่างๆ (GW BASIC, QBASIC, ฯลฯ) นำมาเขียนโปรแกรมแบบเชิงโต้ตอบที่สร้างรหัสสำหรับหน่วยควบคุมของเครื่องควบคุมเชิงตัวเลข ตัวอย่างการทำงานนี้ยังจัดว่าเป็นการทำงานในลักษณะหนึ่งโปรแกรมต่อหนึ่งชิ้นงาน (one program one part) อยู่

การประยุกต์ใช้งานที่นิยมทำกันมากอีกกรณีหนึ่งคือ ผู้โปรแกรมจะสร้างโปรแกรมแบบพารามิเตอร์สำหรับการควบคุมในระดับหน่วยควบคุมของเครื่องจักร CNC และทำการเขียนโปรแกรมแบบเชิงโต้ตอบสำหรับการนี้โดยอาศัยโปรแกรมภาษาในระดับ PC เพื่อสร้างแฟ้มข้อมูลที่สามารถรองรับโปรแกรมแบบพารามิเตอร์ในหน่วยควบคุมของเครื่องจักร CNC แฟ้มข้อมูลเหล่านี้สามารถส่งต่อไปยังหน่วยควบคุมของ CNC ในรูปของโปรแกรมชิ้นงาน NC โปรแกรมข้อมูลนี้จะประกอบด้วยข้อมูลของชิ้นงานสำหรับการโปรแกรมชิ้นงานบนหน่วยควบคุมของเครื่องจักร CNC โปรแกรมชิ้นงานจะประกอบด้วยลักษณะการเคลื่อนที่ของมีดตัด และปฏิบัติการต่างๆ ของมีดตัด แฟ้มข้อมูลในการนี้เป็นทางเดินมีดตัดจะถูกคำนวณด้วยตัวของหน่วยควบคุมเอง กรรมวิธีแบบนี้จะถูกจัดว่าเป็นการทำงานในลักษณะหนึ่งโปรแกรมต่อชิ้นงานหนึ่งตระกูล (one program one family)

#### 4.1.1 เป้าหมายของโปรแกรม

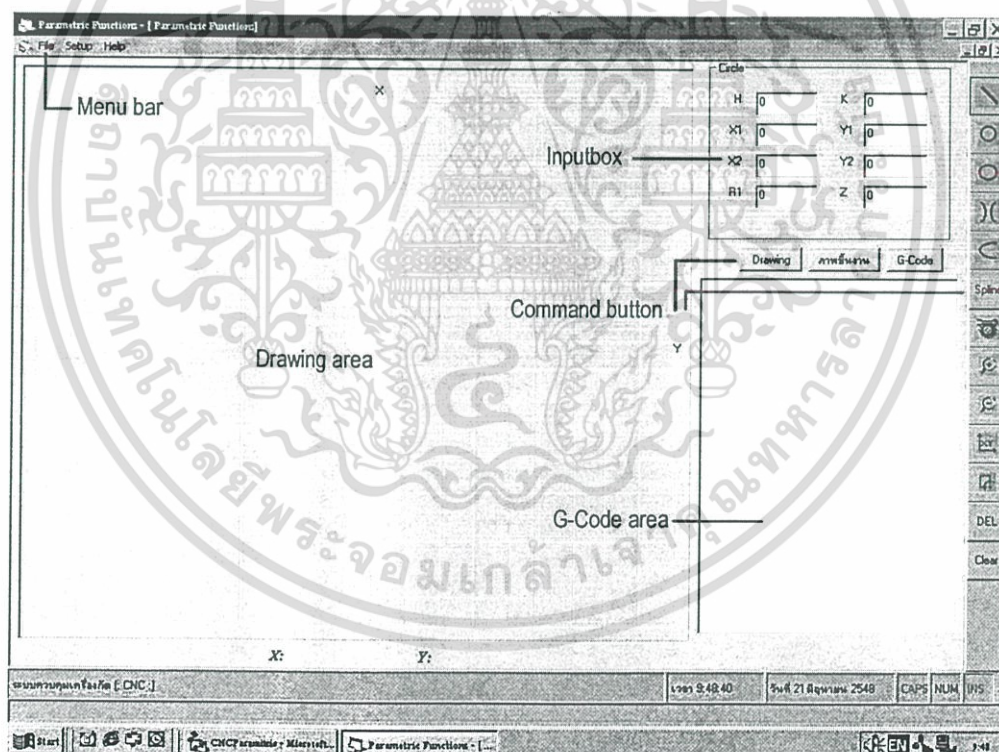
4.1.1.1 เป็นโปรแกรมสำหรับออกแบบชิ้นงานชนิด 2 แกน คือ แกน x และแกน y โดยสามารถกำหนดค่าความลึก (แกน z) คงที่ โดยมีเครื่องมือพื้นฐานทางเรขาคณิตในการออกแบบ อันได้แก่ เส้นตรง วงกลม วงรี พาราโบลา ไฮเพอร์โบลา สไปรน์ และมีคำสั่งพิเศษใช้ในการเขียนเฟืองตรงแบบโมดูล

4.1.1.2 เป็นโปรแกรมที่เปลี่ยนข้อมูลที่ป้อนเข้าสำหรับออกแบบชิ้นงาน ให้เป็นรหัส G-code ให้สามารถทำงานร่วมกับเครื่องกัดซีเอ็นซี

4.1.1.3 สามารถทำงานได้บนบนคอมพิวเตอร์ส่วนบุคคล (Personal computer) ได้ทุกรุ่นโดยไม่ต้องดัดแปลงส่วนประกอบใดๆ

#### 4.1.2 การใช้งานของโปรแกรม

เมื่อทำการเปิดโปรแกรมจากไฟล์ ProCNC.exe จะพบเมนูหลักของโปรแกรมดังแสดงในรูปที่พื้นที่ใช้งานของโปรแกรมที่ถูกแสดงบนจอภาพ แบ่งออกได้เป็น 4 ส่วนใหญ่ๆ คือ



รูปที่ 4.1 แสดงส่วนประกอบหลักของโปรแกรม

4.1.2.1 เมนูบาร์ (Menu bar) และแถบเครื่องมือหลัก ซึ่งแสดงปุ่มไอคอน (icon) ที่เป็นตัวเรียกคำสั่ง เส้นตรง วงกลม วงรี พาราโบลา ไฮเพอร์โบลา สไปรน์ และเฟืองตรง มาใช้งานเมื่อเราคลิก (click) ที่ปุ่มไอคอนจะเกิดกล่องป้อนข้อมูล (Input box) ขึ้นมา

เอกสารนี้เป็นเอกสารที่สงวนลิขสิทธิ์ไว้กับโรงเรียนเพื่อให้นักเรียน เมื่อผู้ใช้ได้หน้าไปใช้ประโยชน์ด้านการค้าไม่ว่ากรณีใดๆ ทั้งสิ้น อีกทั้งห้ามมิให้ดัดแปลงเนื้อหา และต้องอ้างอิงถึงเจ้าของเอกสารทุกครั้งที่มีการนำไปใช้

4.1.2.2 กล่องป้อนข้อมูล (Input box) เป็นกล่องที่ถูกเขียนขึ้นมาเพื่อให้ผู้ใช้โปรแกรมป้อนค่าพิกัดที่จำเป็นในการเขียนคำสั่ง เส้นตรง วงกลม วงรี พาราโบลา ไฮเพอร์โบลา สไปลน์ และเฟืองตรง

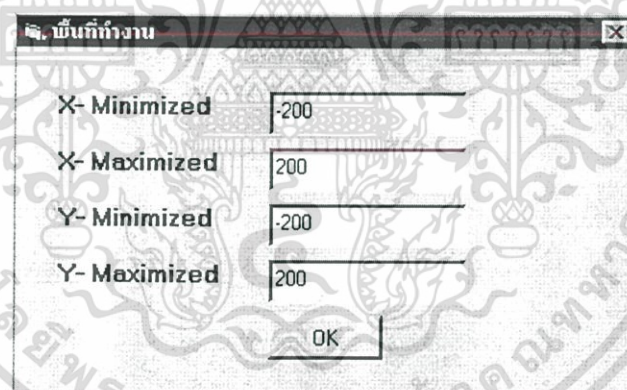
4.1.2.3 พื้นที่แสดงรูปชิ้นงาน (Drawing area) พื้นที่บริเวณนี้เป็นพื้นที่สำหรับใช้แสดงรูปร่างของชิ้นงานที่ได้จากการป้อนค่าผ่านกล่องข้อมูล (Input box) ซึ่งพื้นที่นี้เปรียบเสมือนกระดาษเขียนแบบที่แสดงภาพชิ้นงานที่ได้จากคำสั่งต่างๆที่มีให้เลือกใช้ในโปรแกรม

4.1.2.4 พื้นที่แสดงค่าG-Code (G-Code area) พื้นที่บริเวณนี้เป็นพื้นที่แสดงค่า G-code ที่ได้จากคำสั่งที่ผู้ใช้ป้อนค่าเข้าไป และค่า G-code ที่ได้นี้จะนำไปใช้เป็นคำสั่งให้เครื่องกัด CNC ทำงาน

### 4.1.3 การทำงานของชุดคำสั่งของโปรแกรม

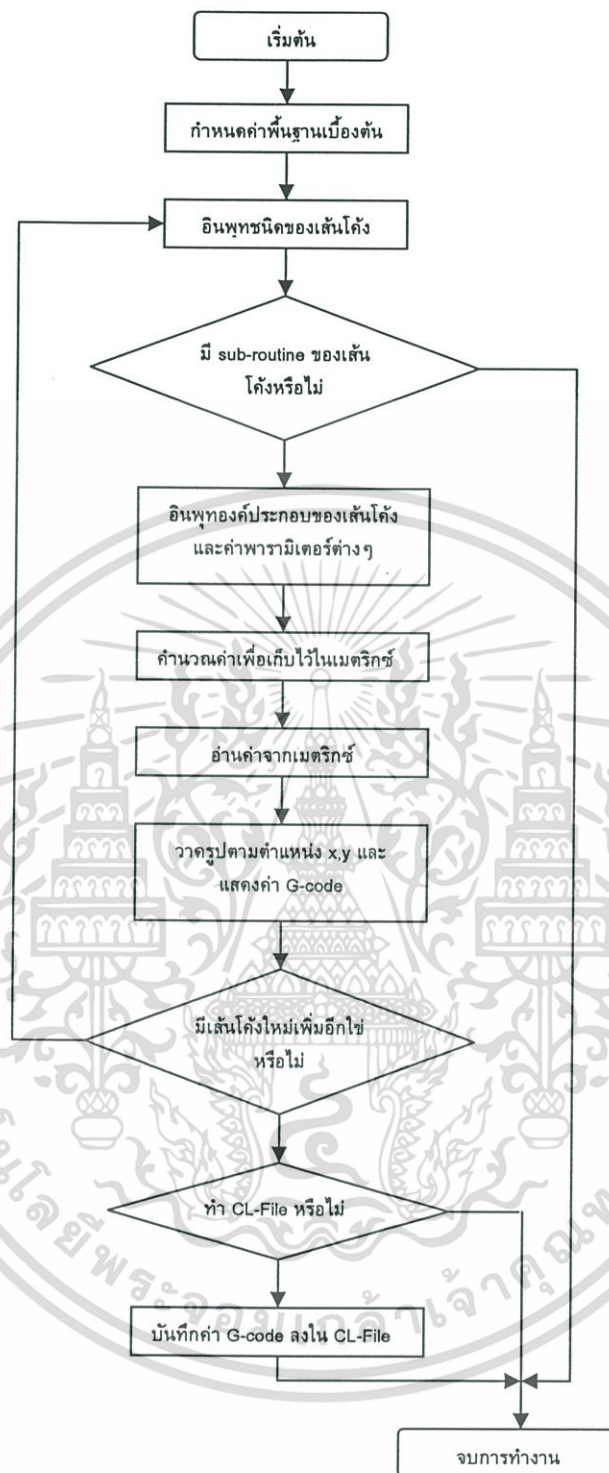
ในการใช้โปรแกรมภาษาVisual Basic มาสร้างโปรแกรมชิ้นงานCNCแบบเชิงโต้ตอบนั้น สามารถนำมาเขียนเป็นไฟล์ชาร์ตได้ดังรูปที่ ซึ่งมีขั้นตอนรายละเอียดดังนี้

4.1.3.1 กำหนดค่าพื้นฐานเบื้องต้น ได้แก่ การกำหนดพื้นที่วาดรูป โดยกำหนดให้สามารถแสดงรูปทั้งหมดได้ในขอบเขต ซึ่งผู้ที่ใช้งานจะเป็นผู้ที่ป้อนค่าเข้าไป



รูปที่ 4.2 แสดงกรอบกำหนดขอบเขตพื้นที่วาดรูป

4.1.3.2 รับเงื่อนไขการวาดรูป ซึ่งในที่นี้แบ่งออกได้เป็น คำสั่งเส้นตรง วงกลม วงรี พาราโบลา ไฮเพอร์โบลา สไปลน์ และเฟืองตรง และรับค่าตัวแปร สำหรับโปรแกรมนี้ได้ออกแบบให้มีแถบเครื่องมือ ที่มีคำสั่งต่างๆ อำนวยความสะดวกให้แก่ผู้ใช้ ผู้ใช้สามารถใช้อำนาจเหล่านี้ได้โดยใช้เมาส์คลิกไปที่ปุ่มไอคอน (icon) ซึ่งมีรายละเอียดของคำสั่งต่างๆ ดังนี้



รูปที่ 4.3 แสดงโฟลชาร์ตของการตรวจแก้ไขข้อมูล

1. เส้นตรง (Line) เป็นคำสั่งที่ใช้สำหรับเขียนเส้นตรงโดยเป็นการเชื่อมระหว่างจุดสองจุด โดยมีข้อมูลป้อนเข้า ดังนี้

$x_1$  คือจุดเริ่มต้นของเส้นตรง ในพิกัดแกน x

$y_1$  คือจุดเริ่มต้นของเส้นตรง ในพิกัดแกน y

$x_2$  คือจุดสุดท้ายของเส้นตรง ในพิกัดแกน x

เอกสารนี้เป็นเอกสารที่สงวนไว้สำหรับการใช้งานเพื่อการศึกษาเท่านั้น ไม่อนุญาตให้นำไปใช้ประโยชน์ด้านการค้า ไม่ว่ากรณีใดๆ ทั้งสิ้น อีกทั้งห้ามมีเหตุดัดแปลงเนื้อหา และต้องอ้างอิงถึงเจ้าของเอกสารทุกครั้งที่มีการนำไปใช้

$y_2$  คือจุดสุดท้ายของเส้นตรง ในพิกัดแกน  $y$

$Z$  คือค่าความลึกของชิ้นงานที่ต้องการกัด(โดยปกติระบุค่าเป็นลบ)

Line			
H	<input type="text" value="0"/>	K	<input type="text" value="0"/>
X1	<input type="text" value="0"/>	Y1	<input type="text" value="0"/>
X2	<input type="text" value="0"/>	Y2	<input type="text" value="0"/>
Z	<input type="text" value="0"/>		

รูปที่ 4.4 แสดงกล่องรับข้อมูลของเส้นตรง

2. วงกลม(Circle) เป็นคำสั่งสำหรับเขียนรูปวงกลมหรือส่วนโค้งของวงกลม โดยมีข้อมูลป้อนเข้า ดังนี้

$h$  คือจุดกำเนิด ของวงกลมหรือส่วน โค้งของวงกลม ในพิกัดแกน  $x$

$k$  คือจุดกำเนิด ของวงกลมหรือส่วน โค้งของวงกลม ในพิกัดแกน  $y$

$x_1$  คือจุดเริ่มต้นของวงกลมหรือส่วน โค้งของวงกลม ในพิกัดแกน  $x$

$y_1$  คือจุดเริ่มต้นของวงกลมหรือส่วน โค้งของวงกลม ในพิกัดแกน  $y$

$x_2$  คือจุดสุดท้ายของวงกลมหรือส่วน โค้งของวงกลม ในพิกัดแกน  $x$

$y_2$  คือจุดสุดท้ายของวงกลมหรือส่วน โค้งของวงกลม ในพิกัดแกน  $y$

$R_1$  คือรัศมีของวงกลมหรือส่วน โค้งของวงกลม

$Z$  คือค่าความลึกของชิ้นงานที่ต้องการกัด(โดยปกติระบุค่าเป็นลบ)

Circle			
H	<input type="text" value="0"/>	K	<input type="text" value="0"/>
X1	<input type="text" value="0"/>	Y1	<input type="text" value="0"/>
X2	<input type="text" value="0"/>	Y2	<input type="text" value="0"/>
R1	<input type="text" value="0"/>	Z	<input type="text" value="0"/>

รูปที่ 4.5 แสดงกล่องรับข้อมูลของวงกลม

เอกสารนี้เป็นเอกสารที่สงวนไว้สำหรับการใช้งานเพื่อการศึกษาเท่านั้น ไม่อนุญาตให้นำไปใช้ประโยชน์ด้านการค้า ไม่ว่าจะกรณีใดๆ ทั้งสิ้น อีกทั้งห้ามมิให้ดัดแปลงเนื้อหา และต้องอ้างอิงถึงเจ้าของเอกสารทุกครั้งที่มีการนำไปใช้

3. วงรี(Ellipse) เป็นคำสั่งสำหรับเขียนรูปวงรีโดยมีข้อมูลป้อนเข้า ดังนี้
- h คือจุดกำเนิด ของวงรี ในพิกัดแกน x
  - k คือจุดกำเนิด ของวงรี ในพิกัดแกน y
  - $x_1$  คือจุดเริ่มต้นของวงรี ในพิกัดแกน x
  - $y_1$  คือจุดเริ่มต้นของวงรี ในพิกัดแกน y
  - $x_2$  คือจุดสุดท้ายของวงรี ในพิกัดแกน x
  - $y_2$  คือจุดสุดท้ายของวงรี ในพิกัดแกน y
  - $R_1$  คือรัศมีของวงรี ในพิกัดแกน x
  - $R_2$  คือรัศมีของวงรี ในพิกัดแกน y
  - Z คือค่าความลึกของชิ้นงานที่ต้องการกัด(โดยปกติระบุค่าเป็นลบ)
- Ellipse

H 0	K 0
$x_1$ 0	$y_1$ 0
$x_2$ 0	$y_2$ 0
a 0	b 0
Z 0	
- รูปที่ 4.6 แสดงกล่องรับข้อมูลของวงรี
4. พาราโบลา(Parabola)เป็นคำสั่งสำหรับเขียนรูปพาราโบลาโดยมีข้อมูลป้อนเข้า ดังนี้
- h คือจุดกำเนิด ของพาราโบลา ในพิกัดแกน x
  - k คือจุดกำเนิด ของพาราโบลา ในพิกัดแกน y
  - $x_1$  คือจุดเริ่มต้นของพาราโบลา ในพิกัดแกน x
  - $y_1$  คือจุดเริ่มต้นของพาราโบลาในพิกัดแกน y
  - $x_2$  คือจุดสุดท้ายของพาราโบลา ในพิกัดแกน x
  - $y_2$  คือจุดสุดท้ายของพาราโบลา ในพิกัดแกน y
  - P คือของพาราโบลา
  - Z คือค่าความลึกของชิ้นงานที่ต้องการกัด(โดยปกติระบุค่าเป็นลบ)

Parabola			
H	<input type="text"/>	K	<input type="text"/>
X1	<input type="text"/>	Y1	<input type="text"/>
X2	<input type="text"/>	Y2	<input type="text"/>
P	<input type="text"/>	Z	<input type="text"/>

รูปที่ 4.7 แสดงกล่องรับข้อมูลของพาราโบลา

5. ไฮเพอร์โบลา(Hyperbola)เป็นคำสั่งสำหรับเขียนรูปไฮเพอร์โบลาโดยมีข้อมูลป้อนเข้า ดังนี้

$h$  คือจุดกำเนิด ของไฮเพอร์โบลา ในพิกัดแกน  $x$

$k$  คือจุดกำเนิด ของไฮเพอร์โบลา ในพิกัดแกน  $y$

$x_1$  คือจุดเริ่มต้นของไฮเพอร์โบลาในพิกัดแกน  $x$

$y_1$  คือจุดเริ่มต้นของไฮเพอร์โบลาในพิกัดแกน  $y$

$x_2$  คือจุดสุดท้ายของไฮเพอร์โบลาในพิกัดแกน  $x$

$y_2$  คือจุดสุดท้ายของไฮเพอร์โบลา ในพิกัดแกน  $y$

$W_x$  คือของไฮเพอร์โบลา ในพิกัดแกน  $x$

$W_y$  คือของไฮเพอร์โบลา ในพิกัดแกน  $y$

$Z$  คือค่าความลึกของชิ้นงานที่ต้องการกัด(โดยปกติระบุค่าเป็นลบ)

Hyperbola			
H	<input type="text"/>	K	<input type="text"/>
X1	<input type="text"/>	Y1	<input type="text"/>
X2	<input type="text"/>	Y2	<input type="text"/>
Wa	<input type="text"/>	Wb	<input type="text"/>
Z	<input type="text"/>		

รูปที่ 4.8 แสดงกล่องรับข้อมูลของไฮเพอร์โบลา

เอกสารนี้เป็นเอกสารที่สงวนไว้สำหรับการใช้งานเพื่อการศึกษาเท่านั้น ไม่อนุญาตให้นำไปใช้ประโยชน์ด้านการค้าไม่ว่ากรณีใดๆ ทั้งสิ้น อีกทั้งห้ามมิให้ดัดแปลงเนื้อหา และต้องอ้างอิงถึงเจ้าของเอกสารทุกครั้งที่มีการนำไปใช้

6. สไปรน์ (Spline) เป็นคำสั่งสำหรับเขียนรูปสไปรน์โดยมีข้อมูลป้อนเข้า ดังนี้

$n$  คือจำนวนข้อมูล

$x_1 - x_n$  คือค่าลำดับพิกัดแกน  $x$

$y_1 - y_n$  คือค่าลำดับพิกัดแกน  $y$

$Z$  คือค่าความลึกของชิ้นงานที่ต้องการกัด(โดยปกติระบุค่าเป็นลบ)

#	X	Y
1	1	7
2	3	9
3	5	11
4	8	14
5	11	22
6	14	27

รูปที่ 4.9 แสดงกล่องรับข้อมูลของสไปรน์

7. เฟืองตรง(Spur gear) เป็นคำสั่งสำหรับเขียนรูปเฟืองตรงโดยมีข้อมูลป้อนเข้า ดังนี้

$T$  คือค่ามุมกดคั่น(Pressure angle) ของฟันเฟือง

$M$  คือค่าโมดูล(Module)ของเฟืองตรง

$NT$  คือจำนวนฟันเฟือง(Number of teeth)

$Z$  คือค่าความลึกของชิ้นงานที่ต้องการกัด(โดยปกติระบุค่าเป็นลบ)

Spur Gear

$T$   Pressure Angle

$M$   Module

$NT$   Number of Teeth

$Z$   Depth

เอกสารนี้เป็นเอกสารที่สงวนไว้สำหรับการใช้งานเพื่อการศึกษาเท่านั้น ไม่อนุญาตให้นำไปใช้ประโยชน์ด้านการค้า  
**รูปที่ 4.10 แสดงกล่องรับข้อมูลของเฟืองตรง**  
 ไม่ว่ากรณีใดๆ ทั้งสิ้น อีกทั้งห้ามมีเหตุดัดแปลงเนื้อหา และต้องอ้างอิงถึงเจ้าของเอกสารทุกครั้งที่มีการนำไปใช้

หลังจากนั้นโปรแกรมจะทำการคำนวณค่าเมตริกซ์ [X], [Y] แล้วทำการตรวจสอบสถานะว่ามีการเปิดไฟล์งานเพื่อบันทึกค่า G-Code หรือไม่ ถ้ายังโปรแกรมก็จะมียกข้อข้อความให้กรอกชื่อไฟล์งาน หลังจากนั้นก็จะทำการอ่านค่าเมตริกซ์ที่ได้จากการคำนวณ

4.1.3.3 แสดงรูปภาพที่ได้จากข้อมูลป้อนเข้า และแสดง G-Code ที่ได้จากการประมวลผลข้อมูลแสดงออกไปยังหน้าจอของโปรแกรม

4.1.3.4 ตรวจสอบคำสั่งเขียนเส้นเพิ่มเติม ถ้ามีก็ทำซ้ำโดยเริ่มจากขั้นตอนที่ 1-3 ถ้าไม่มีคำสั่งโปรแกรมจะสอบถามต้องการบันทึกค่า CL-File หรือไม่ก่อนจะออกจากโปรแกรม

หลังจากจบขั้นตอนการป้อนข้อมูลทั้งหมดของโปรแกรมแล้วสามารถนำไฟล์งานที่บันทึกค่า G-Code มาตรวจสอบหรือปรับปรุงเพิ่มเติมได้ด้วยโปรแกรม "Note pad" ซึ่งสามารถส่งถ่ายไปยังเครื่องจักร CNC เพื่อทำการผลิตชิ้นงานต่อไป

## 4.2 การออกแบบคำสั่งโปรแกรมเฟืองตรง [9]

### 4.2.1 ส่วนประกอบของเฟืองตรง

วงกลมพิตช์ (Pitch Circle)  $d$  คือวงกลมทางทฤษฎีซึ่งในการคำนวณคู่เฟืองที่ขบกันเส้นวงกลมพิตช์จะสัมผัสกัน และเฟืองสองตัวที่ขบกันเฟืองตัวเล็กกว่าจะเรียกว่า พินเนียน (Pinion) และเฟืองตัวที่ใหญ่กว่าจะถูกเรียกว่าเฟือง (gear)

พิตช์ในแนวเส้นรอบวง (Circular pitch)  $p$  เป็นระยะทางที่วัดจากจุดหนึ่งบนวงกลมพิตช์ของฟันเฟืองหนึ่งไปยังตำแหน่งเดียวกันของฟันเฟืองถัดไป มีค่าเท่ากับความหนาของฟัน (tooth thickness) บวกความกว้างของร่องฟัน (width of space)

โมดูล (Module)  $m$  เป็นค่านีขนาดของฟันเฟืองในระบบ SI ซึ่งเป็นอัตราส่วนของเส้นผ่าศูนย์กลางพิตช์ (Pitch diameter) ต่อจำนวนฟัน (Number of teeth) เฟืองคู่ที่ขบกันจะต้องเป็นเฟืองที่มีโมดูลเดียวกัน เฟืองที่มีโมดูลมากจะมีขนาดฟันใหญ่ เฟืองที่มีโมดูลน้อยจะมีขนาดฟันเล็ก

อีกวิธีหนึ่งที่นิยมใช้ในการกำหนดขนาดของฟันเฟือง ที่ใช้ระบบหน่วยวัดเป็นนิ้ว ซึ่งนิยมใช้กันมากในแถบอเมริกา และยุโรป ฟันเฟืองจะถูกกำหนดเป็น ไดเมทริคพิตช์ (Diametral pitch) DP คือใช้จำนวนฟันต่อความยาวหนึ่งนิ้วของเส้นผ่าศูนย์กลางพิตช์ (Pitch diameter) ซึ่งเป็นส่วนกลับของโมดูล

ช่วงสูงบนของฟัน (Addendum)  $a$  เป็นระยะทางที่วัดในแนวรัศมีวัดระหว่างปลายฟัน (Top land) ถึงวงกลมพิตช์ (Pitch circle)

ช่วงสูงล่างของฟัน (dedendum)  $b$  เป็นระยะทางที่วัดในแนวรัศมีระหว่างจากโคนฟัน (Bottom land) ถึงวงกลมพิตช์ (Pitch circle)

เอกสารนี้เป็นเอกสารที่สงวนไว้เพื่อใช้ในการเรียนการสอนเพื่อการศึกษาเท่านั้น ไม่อนุญาตให้นำไปใช้ประโยชน์ด้านการค้าไม่ว่ากรณีใดๆ ทั้งสิ้น อีกทั้งห้ามมิให้ดัดแปลงเนื้อหา และต้องอ้างอิงถึงเจ้าของเอกสารทุกครั้งที่มีการนำไปใช้

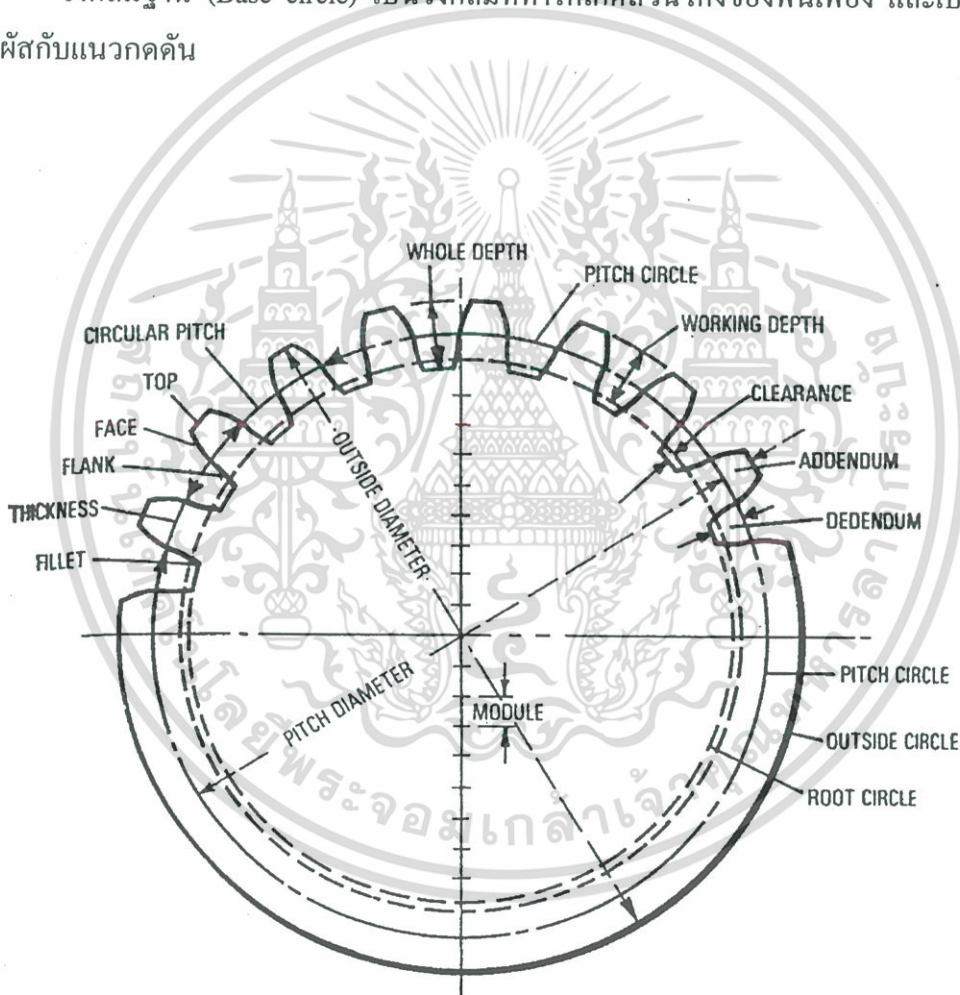
ความลึกทั้งหมดของร่องฟัน (Whole depth) เป็นผลรวมของช่วงสูงบนฟัน (Addendum) กับช่วงสูงล่างของฟัน (dedendum)

วงกลมช่องว่าง (Clearance circle) เป็นวงกลมที่สัมผัสกับวงกลมแอดเดนดัมของเฟืองคู่ที่ขบกัน

ช่องว่าง (Clearance)  $C$  เป็นช่องว่างที่เกิดจากผลต่างของระยะช่วงระยะสูงล่าง  $b$  กับระยะช่วงสูงบน  $a$  ของเฟืองคู่ที่ขบกัน

ความหลวม (backlash) เป็นระยะที่ช่องว่างระหว่างฟัน (Tooth space) มีค่ามากกว่าความหนาของฟันเฟือง (Tooth thickness) ที่มาขบกัน โดยวัดตามแนววงกลมพิตช์

วงกลมฐาน (Base circle) เป็นวงกลมที่ทำให้เกิดส่วนโค้งของฟันเฟือง และเป็นวงกลมที่สัมผัสกับแนวกคั่น



รูปที่ 4.11 แสดงส่วนประกอบของเฟืองตรง

#### 4.2.2 สูตรที่ใช้ในการเขียนแบบเฟืองตรง

จากการออกแบบโปรแกรมเพื่อใช้ในการเขียนแบบเฟืองตรง การโปรแกรมได้ออกแบบไว้ให้ผู้ใช้งานระบุถึงค่าพารามิเตอร์ที่สำคัญ 3 ค่าที่จำเป็นจะต้องระบุ คือ โมดูล (Module,  $m$ ) จำนวนฟันเฟือง (Number of teeth,  $N$ ) มุมกคั่น (pressure angle,  $\phi$ ) ซึ่งค่าพารามิเตอร์ทั้ง 3 ค่าที่ถูกรู้ก่อนในการคำนวณว่ากรณีใดๆ ทั้งสิ้น อีกทั้งห้ามมิให้ตัดแปลงเนื้อหา และต้องอ้างอิงถึงเจ้าของเอกสารทุกครั้งที่มีการนำไปใช้

กล่องโต้ตอบ (Inputbox) ทำให้สามารถกำหนดค่าพารามิเตอร์ของส่วนประกอบต่างๆของเฟือง ดังนี้

พิตช์ในแนวเส้นรอบวง (circular pitch)

$$p = m \cdot \pi \quad (4.1)$$

วงกลมพิตช์ (pitch circle)

$$d = m \cdot N \quad (4.2)$$

ช่วงสูงบนของฟัน (addendum)

$$a = \frac{1}{p} \quad (4.3)$$

ช่วงสูงล่างฟัน (dedendum)

$$b = \frac{1.25}{p} \quad (4.4)$$

เส้นผ่าศูนย์กลางยอดฟัน (outside diameter)

$$d_o = d + 2a \quad (4.5)$$

เส้นผ่าศูนย์กลางโคนฟัน (root diameter)

$$d_r = d + 2b \quad (4.6)$$

วงกลมฐาน (base circle)

$$d_b = d \cos \phi \quad (4.7)$$

#### 4.2.3 เส้นโค้งอินโวลูท (Involute Curve) และคุณสมบัติต่าง ๆ ของอินโวลูท (Involute)

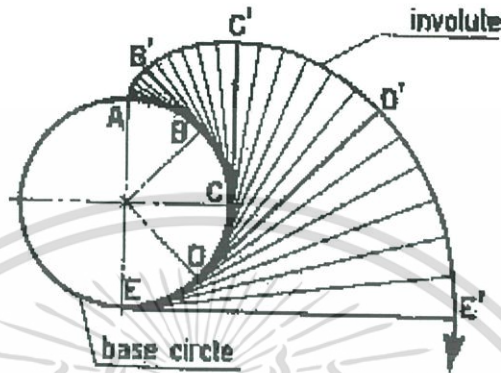
[26], [29]

เนื่องจากเฟืองหนึ่ง ไปยังเฟืองคู่ที่ขบกันอย่างต่อเนื่อง และวิ่งได้เรียบมีเสียงดัง และเกิดการสั่นสะเทือนน้อยที่สุด ดังนั้นรูปทรงความโค้งของฟันเฟือง จะต้องเป็นรูปทรงเรขาคณิตในปัจจุบันนิยมใช้เป็นแบบเส้นโค้งอินโวลูท

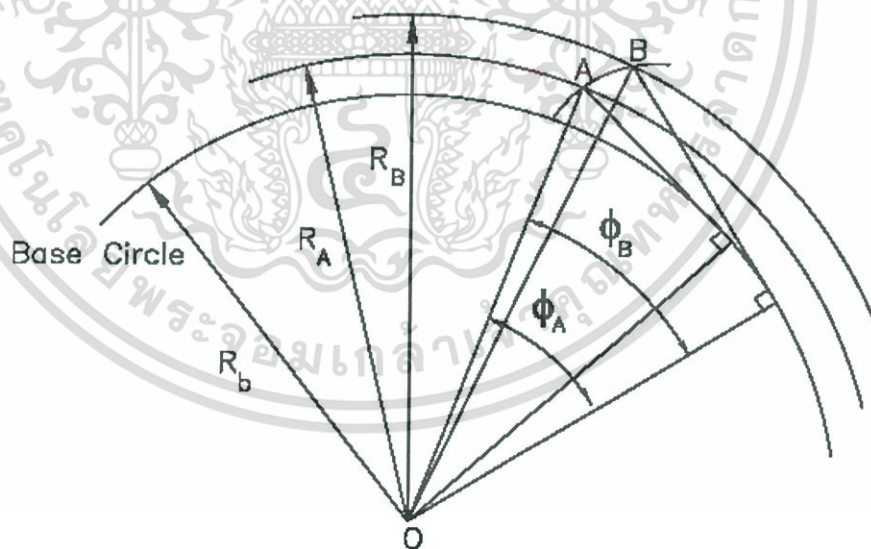
การเกิดลักษณะเส้นโค้งอินโวลูท พิจารณาจากรูปที่ 4.12 ถ้าใช้เชือกพันรอบรูปทรงกระบอก ซึ่งเส้นรอบวงของทรงกระบอกนั้นเปรียบเสมือนวงกลมฐาน (Base Circle) จากนั้นค่อยๆ กลายปลายเชือกนั้น ออกโดยดึงเชือกนั้นไว้ให้ตึง แนวที่ปลายเชือกเคลื่อนที่ไปจะเกิดเป็นลักษณะส่วนโค้งสัมผัสกัน

เอกสารนเป็นเอกสารที่สงวนไว้สำหรับงานเพื่อการศึกษานี้เท่านั้น เมื่อผู้ผู้ใดเห็นไปใช้ประโยชน์ในการค้าไม่ว่ากรณีใดๆ ทั้งสิ้น อีกทั้งห้ามมิให้ดัดแปลงเนื้อหา และต้องอ้างอิงถึงเจ้าของเอกสารทุกครั้งที่มีการนำไปใช้

ระหว่างจุด  $BB', CC', DD'$  และ  $EE'$  ซึ่งส่วนโค้งที่เกิดขึ้นนี้ เราเรียกว่า เส้นโค้งอินโวลูท (Involute Curve)



รูปที่ 4.12 แสดงการเกิดเส้นโค้งอินโวลูท



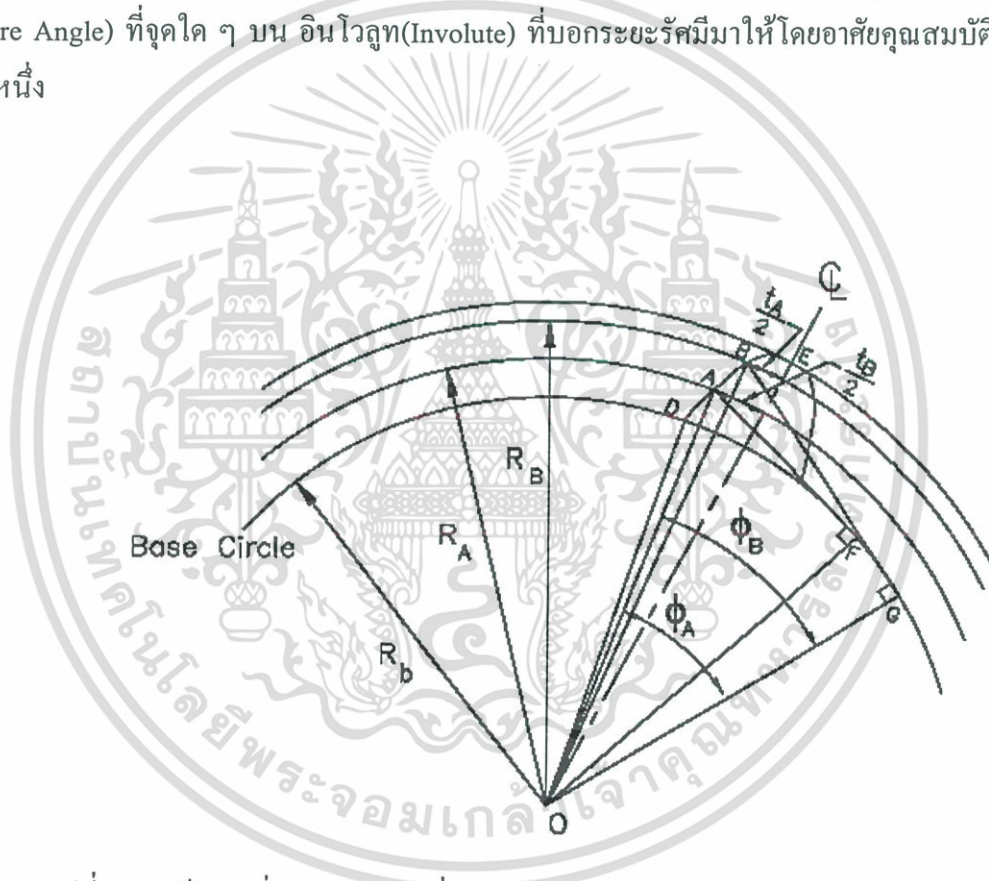
รูปที่ 4.13 แสดงความสัมพันธ์ของมุมกคคบนจุดต่างๆของเส้นโค้งอินโวลูท

ในรูปที่ 4.13 แสดงให้เห็นถึงเส้นโค้งอินโวลูทซึ่งถูกสร้างขึ้นมาจากวงกลมฐาน (Base Circle) ที่มีรัศมี  $R_b$  กำหนดให้ A และ B เป็นจุด 2 จุดบนอินโวลูทโดยมีระยะรัศมีเป็น  $R_A$  และ เอกสารนี้เป็นเอกสารที่สงวนไว้สำหรับการใช้งานเพื่อการศึกษาเท่านั้น ไม่อนุญาตให้นำไปใช้ประโยชน์ด้านการค้า ไม่ว่ากรณีใดๆ ทั้งสิ้น อีกทั้งห้ามมิให้ดัดแปลงเนื้อหา และต้องอ้างอิงถึงเจ้าของเอกสารทุกครั้งที่มีการนำไปใช้

$R_b$  รวมทั้งมุมกดคั่นอินโวลูท ( Involute Pressure Angle) เป็น  $\Phi_A$  และ  $\Phi_B$  ตามลำดับ ความสัมพันธ์ต่าง ๆ มีดังนี้

$$\left. \begin{aligned} R_b &= R_A \cos \Phi_A \\ R_b &= R_B \cos \Phi_B \\ \cos \Phi_B &= \frac{R_A}{R_B} \cos \Phi_A \end{aligned} \right\} \quad (4.8)$$

จะเห็นว่าสามารถใช้ความสัมพันธ์ตามสมการ (4.8) หาค่ามุมกดคั่นอินโวลูท ( Involute Pressure Angle) ที่จุดใด ๆ บน อินโวลูท (Involute) ที่บอกระยะรัศมีมาให้โดยอาศัยคุณสมบัติของอีกจุดหนึ่ง



รูปที่ 4.14 เป็นรูปที่แสดงลักษณะที่สมบูรณ์ของฟันแบบอินโวลูท (Involute)

จากรายละเอียดในรูปที่ 4.12 ความหนาของฟันที่จุด B อาจหาได้ถ้ารู้ความหนาของฟันที่จุดอื่น ๆ เช่นจุด A โดยมีขั้นตอนดังนี้ จากหลักการของการสร้างอินโวลูท (Involute) ส่วนโค้ง DG จะเท่ากับความยาวของเส้นตรง BG ดังนั้น

$$\left. \begin{aligned}
 \frac{DG}{OG} &= \frac{BG}{OG} \\
 \tan \Phi_B &= \frac{BG}{OG} \\
 D\hat{O}G = \therefore D\hat{O}G &= \tan \Phi_B \\
 D\hat{O}B &= D\hat{O}G - \Phi_B \\
 &= \tan \Phi_A
 \end{aligned} \right\} (4.9)$$

ในทำนองเดียวกัน  $D\hat{O}A = \tan \Phi_A - \Phi_A$

$(\tan \Phi - \Phi)$  เรียกว่า อินโวลูทฟังก์ชัน (Involute Function) และเขียนแทนด้วย  $inv \Phi$  มุม  $\Phi$  มีหน่วยเป็นเรเดียน ตารางที่ 4.1 เป็นค่า อินโวลูทฟังก์ชัน (Involute Function) มีค่ามุมต่าง ๆ กัน

$$\left. \begin{aligned}
 DOE = DOB + \frac{0.5t_B}{R_B} &= inv \Phi_B + \frac{t_B}{2R_B} \\
 DOE = DOA + \frac{0.5t_A}{R_A} &= inv \Phi_A + \frac{t_A}{2R_A}
 \end{aligned} \right\} (4.10)$$

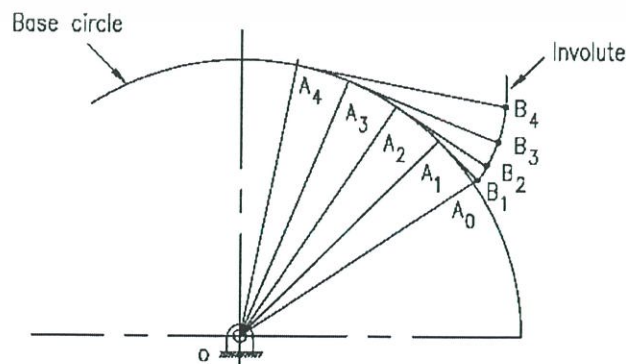
จากสมการ (4.10)

$$t_B = 2R_B \left[ \frac{t_A}{2R_A} + inv \Phi_A - inv \Phi_B \right] (4.11)$$

จากสมการ (4.11) จะเห็นว่าสามารถหาค่าความหนาของฟันที่จุดใด ๆ บน Involutes ก็ได้ ถ้ารู้ความหนาของฟันที่จุดอื่น

#### 4.2.4 หลักการสร้างรูปโค้งอินโวลูทของฟันเฟือง

จากรูป 15 แสดงหลักการสร้างเส้นโค้งอินโวลูท เริ่มจากการแบ่งวงกลมฐานให้เป็นส่วนเท่า ๆ กัน และสร้างเส้นรัศมี (Radial Line)  $OA_0, OA_1, OA_2, OA_3$  และ  $OA_4$  ตามลำดับ ลากเส้นตั้งฉากสัมผัสตั้งวงกลมฐาน (Base circle) คือ  $A_1B_1, A_2B_2, A_3B_3$  และ  $A_4B_4$  โดยกำหนดให้มีความยาวเท่ากับ  $A_1A_0, A_2A_0A_3A_0$  และ  $A_4A_0$  ดังนั้นจุดต่อที่เชื่อมระหว่าง  $A_0, B_1, B_2, B_3$  และ  $B_4$  จะเกิดเป็นเส้นโค้งอินโวลูท



เอกสารนี้เป็นเอกสารที่สงวนไว้สำหรับการใช้งานเพื่อการศึกษาเท่านั้น ไม่อนุญาตให้ทำไปใช้ประโยชน์ด้านการค้า  
รูปที่ 4.15 แสดงหลักการสร้างรูปโค้งอินโวลูทของฟันเฟือง  
ไม่ว่ากรณีใดๆ ทั้งสิ้น อีกทั้งห้ามมิให้ดัดแปลงเนื้อหา และต้องอ้างอิงถึงเจ้าของเอกสารทุกครั้งที่มีการนำไปใช้

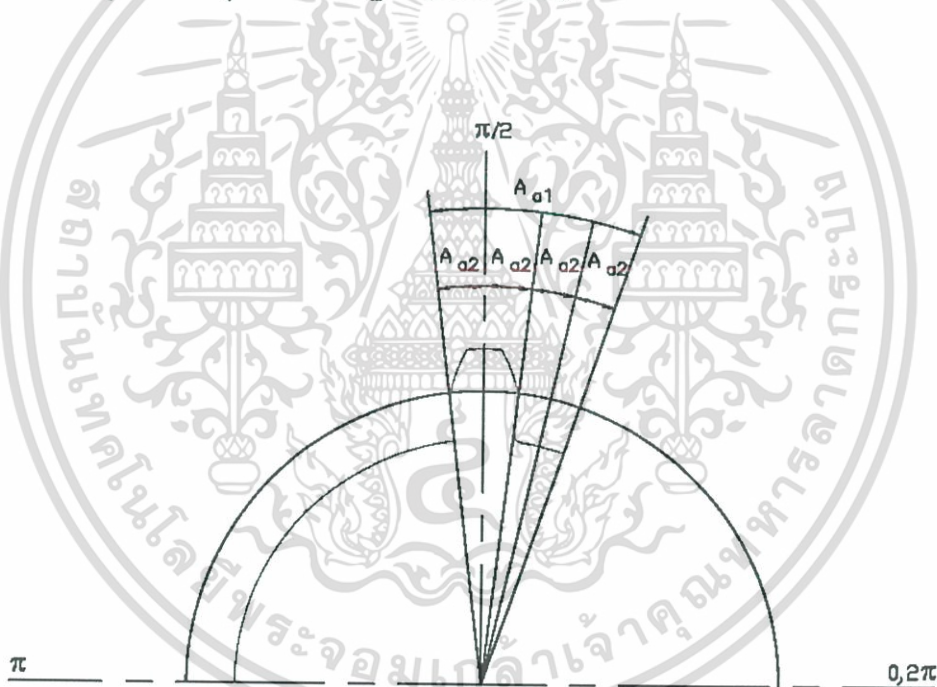
#### 4.2.5 ขั้นตอนการแบ่งมุมสำหรับเขียนรูปฟันเฟืองตรง

4.2.5.1 กำหนดมุม  $A_{\alpha_1}$  ซึ่งเป็นมุมรวมของฟันเฟือง 1 ฟัน ซึ่งจะกำหนดได้จากมุม 360 องศาหารด้วยจำนวนฟันเฟืองทั้งหมด ตามสูตร  $A_{\alpha_1} = \frac{360}{NT}$

4.2.5.2 แบ่งมุม  $A_{\alpha_1}$  เป็นสี่ส่วนเท่า ๆ กัน เพื่อแบ่งเป็นขอบเขตในการเขียนรูป ดังนี้

ส่วนที่ 1 และ 2 จะถูกกำหนดไว้สำหรับเขียนเส้นโค้งอินวอลูท (Involute Curve) และพื้นที่ปลายฟัน (Top Segment of the Tooth) ส่วนที่ 3 จะถูกกำหนดไว้สำหรับเขียนรัศมีฟิลเลต (Fillet Radius) ส่วนที่ 4 จะถูกกำหนดไว้สำหรับรัศมีโคนฟัน

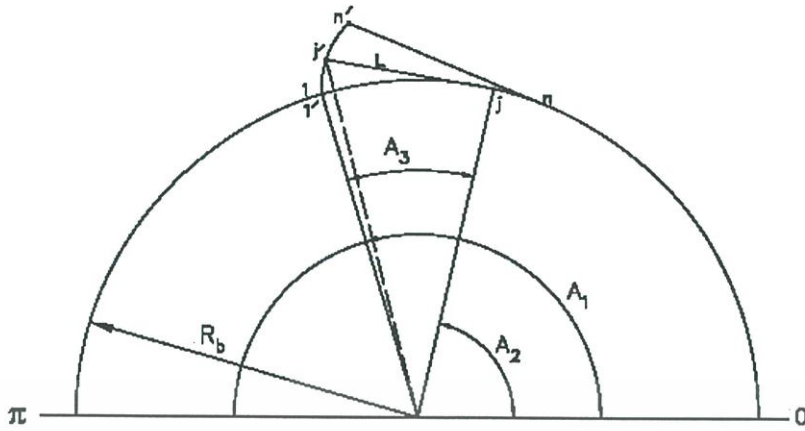
4.2.5.3 การกำหนดจุดเริ่มสร้างเส้นโค้งอินวอลูท (Involute Curve) โดยกำหนดมุม  $A_1$  ซึ่งเกิดจากการกำหนดให้สร้างรูปภาพเริ่มจากควอแรนต์ที่ 2 โดยกำหนด  $\frac{\pi}{2} + A_{\alpha_2}$  เป็นจุดเริ่มสร้างเส้นโค้ง ณ จุดตัดของมุมกับวงกลมฐาน (Base Circle)



รูปที่ 4.16 แสดงการแบ่งมุมสำหรับเขียนรูปฟันเฟืองตรง

#### 4.2.6 หลักการเขียนเส้นโค้งอินวอลูทสำหรับโปรแกรมคอมพิวเตอร์ [10], [11]

การเขียนเส้นโค้งอินวอลูทสามารถทำได้โดยการกำหนดจุดต่อต่าง ๆ ของเส้นโค้งเท่ากัน  $n$  จุด พิจารณาจากรูป โดยที่  $R_b$  คือรัศมีของวงกลมฐาน



รูปที่ 4.17 แสดงการแบ่งมุมสำหรับเขียนเส้นโค้งอินเวอร์ลูท

พิจารณาจากรูปของเส้นโค้งอินเวอร์ลูทสำหรับจุดเริ่มต้น  $(x_1, y_1)$  เกิดขึ้นที่จุด 1 สามารถหาค่า  $(x_1, y_1)$  ได้จากสมการ

$$\begin{aligned} x_1 &= R_b \cos A_1 \\ y_1 &= R_b \sin A_1 \end{aligned} \quad (4.12)$$

และที่สำหรับจุดใด ๆ บนเส้นโค้งเราสามารถหาได้โดยการกำหนดจุดย่อย ๆ ของเส้นโค้ง ออกเท่ากับ  $n$  ช่วง โดยแต่ละช่วงจะมีความมเปลี่ยนแปลงไปเท่ากัน ตัวอย่างเช่น  $j'$  เราสามารถหาค่า  $(x_j, y_j)$  ได้โดยการลากเส้นสัมผัสโค้ง  $j-j'$  ทำให้หาค่า  $(x_j, y_j)$  ได้ตามสมการ

$$L = R_b \times \frac{\pi}{180} \times (A_1 - A_3) \quad \text{หน่วยเรเดียน} \quad (4.13)$$

ดังนั้นจุดพิกัด  $(x_j, y_j)$  หาได้จากสมการ

$$\begin{aligned} x_j &= R_b \cos (A_1 - A_3) - L \cos (A_1 - A_3 - 90) \\ y_j &= R_b \sin (A_1 - A_3) - L \sin (A_1 - A_3 - 90) \end{aligned} \quad (4.14)$$

ดังนั้นหากเรากำหนดให้ช่วงมุมระหว่างมุม  $A_1$  และ  $A_2$  ถูกแบ่งเป็นช่วงมุมย่อย ๆ จำนวน  $n$  ช่วง โดยเริ่มจากมุม  $A_1$  ไปยัง  $A_2$  จะสามารถหาค่าแต่ละช่วงของมุมที่เปลี่ยนแปลงได้ โดยกำหนดให้มุมที่ถูกเปลี่ยนแปลงแต่ละช่วงเป็นมุม  $\theta_i$  โดยที่  $i$  มีค่าเท่ากับ  $1, 2, \dots, n$

เอกสารนี้เป็นเอกสารที่สงวนไว้สำหรับการใช้งานเพื่อการศึกษาเท่านั้น ไม่อนุญาตให้นำไปใช้ประโยชน์ด้านการค้า ไม่ว่ากรณีใดๆ ทั้งสิ้น อีกทั้งห้ามมิให้ดัดแปลงเนื้อหา และต้องอ้างอิงถึงเจ้าของเอกสารทุกครั้งที่มีการนำไปใช้

$$\begin{aligned} x_i &= R_i \cos (A_i - \theta_i) - L \cos (A_1 - \theta_i - 90) \\ y_i &= R_i \sin (A_i - \theta_i) - L \sin (A_1 - \theta_i - 90) \end{aligned} \quad (4.15)$$

ในการเขียนโปรแกรมจะทำการกำหนดค่า  $x_i$  และ  $y_i$  เก็บไว้ในเมตริกซ์ ในส่วนของจุดสิ้นสุดของเส้นโค้งอินวอลูท เราสามารถหาได้จากความสัมพันธ์กับรัศมีของยอดฟัน  $R_a$  กล่าวคือจุดสุดท้ายของเส้นโค้งอินวอลูทต้องมีค่าน้อยกว่า  $R_a$  แสดงได้โดยสูตร

$$\left. \begin{aligned} & \text{if } \sqrt{x_i^2 + y_i^2} > R_a^2, \text{ then} \\ & [x_{Limit}]_i = [x_{Limit}]_{i-1}, \text{ else} \\ & [x_{Limit}]_i = [x_i] \\ & \text{if } \sqrt{x_i^2 + y_i^2} > R_a^2, \text{ then} \\ & [y_{Limit}]_i = [y_{Limit}]_{i-1}, \text{ else} \\ & [y_{Limit}]_i = [y_i] \end{aligned} \right\} \quad (4.16)$$

#### 4.2.7 การเขียนเส้นรัศมีปลายฟันของเฟืองตรง

เนื่องจากเราสามารถหาค่ามุม  $\alpha$  ของจุดสุดท้ายของเส้นโค้งอินวอลูทได้จากสมการ

$$\alpha = \tan^{-1} \left| \frac{x_{Limit}}{y_{Limit}} \right| \quad (4.17)$$

พิจารณาแบ่งมุมที่จะเขียนรูปเส้นรัศมีปลายฟันออกเป็นช่วงมุมย่อย ๆ  $n$  ช่วง เราสามารถกำหนดเขียนเส้นโค้งเป็นครั้งหนึ่งของส่วนโค้งฟันเฟือง โดยกำหนดอ้างอิงจากเส้นตั้งฉากกับด้วยค่ามุมเริ่มต้นของเส้นรัศมีปลายฟันของเฟืองตรง คือ  $\frac{\pi}{2} - \alpha$  โดยแบ่งช่วงของมุมเป็น  $\theta_i$

โดยที่  $\theta_i = 1, 2, \dots, n$  เราสามารถคำนวณหาค่า  $x_i, y_i$  ของเส้นรัศมีปลายฟันของเส้นทั้งหมดได้จากสูตร

$$\left. \begin{aligned} x_i &= R_a \cos \left( \frac{\pi}{2} + \alpha - \theta_i \right) \\ y_i &= R_a \sin \left( \frac{\pi}{2} + \alpha - \theta_i \right) \end{aligned} \right\} \quad (4.18)$$

#### 4.2.8 การเขียนภาพสะท้อนของเส้นโค้งอินวอลูท (Modeling the mirrored involute)

จากการเขียนภาพเส้นโค้งอินวอลูทด้านที่อยู่ ในจุดภาคที่ 2 แล้วนั้น เรานำข้อมูลพิกัด  $x, y$  ของเส้นโค้งอินวอลูทจัดเก็บไว้เป็นเมตริกซ์ ซึ่งทำให้สะดวกในการเขียนภาพสะท้อนของเส้นโค้ง เอกสารนี้เป็นเอกสารที่สงวนไว้สำหรับการใช้งานเพื่อการศึกษาเท่านั้น ไม่นิยมนำไปใช้ประโยชน์ด้านการค้า ไม่ว่ากรณีใดๆ ทั้งสิ้น อีกทั้งห้ามมิให้ดัดแปลงเนื้อหา และต้องอ้างอิงถึงเจ้าของเอกสารทุกครั้งที่มีการนำไปใช้

อินเวลูตด้านจุดภาคที่ 1 (ทิศทางทวนเข็มนาฬิกา) เนื่องจากมีการแตกต่างค่าลบเปลี่ยนไปเป็นบวก สำหรับค่า  $x$  ในจุดภาคที่ 1 ทำให้สามารถเขียนเป็นสูตรคำนวณได้ดังนี้

$$\begin{aligned}x_i &= -R_b \cos(A_1 - \theta_i) - L \cos(A_1 - \theta_i - 90) \\y_i &= R_b \sin(A_1 - \theta_i) - L \sin(A_1 - \theta_i - 90)\end{aligned}\quad (4.19)$$

สำหรับจุดสิ้นสุดของเส้นโค้งอินเวลูตในส่วนของการเขียนภาพสะท้อนใช้หลักเกณฑ์เดียวกับการเขียนเส้นโค้งอินเวลูตดังที่ได้แสดงไว้ในหัวข้อการเขียนเส้นโค้งอินเวลูต

#### 4.2.9 การเขียนเส้นผ่าศูนย์กลางโคนฟันระหว่างฟันเฟือง (Modeling the root diameter between teeth)

ในการเขียนเส้นผ่าศูนย์กลางโคนฟันเฟือง (root diameter) เราสามารถกำหนดมุมสำหรับเริ่มการเขียนภาพกับมุมสิ้นสุดการเขียนภาพได้โดยพิจารณาจากขั้นตอนการแบ่งมุมสำหรับเขียนรูปฟันเฟือง พบว่ามุมดังกล่าวคือมุม  $Aa_2$  องศา มุมเริ่มต้นที่มุม  $A_1 - 3Aa_2$  และมุมสิ้นสุดคือมุม  $A_1 - 4Aa_2$  จากนั้นกำหนดให้มุมที่ถูกเปลี่ยนแปลงแต่ละช่วงเป็นมุม  $\theta_i$  โดยที่  $i$  มีค่าเท่ากับ  $1, 2, \dots, n$  และแบ่งมุม  $Aa_2$  เท่ากับ  $n$  ช่วง จะได้สมการพิกัดของเส้นผ่าศูนย์กลางโคนฟัน คือ

$$\begin{aligned}x_i &= R_r \cos(A_1 - 3Aa_2 + \theta_i) \\y_i &= R_r \sin(A_1 - 3Aa_2 + \theta_i)\end{aligned}\quad (4.20)$$

#### 4.2.10 การหมุนภาพ (Rotation)

การหมุนภาพเป็นการแปลงภาพเรขาคณิต (geometric transformations) โดยการหมุนภาพนี้จะต้องกำหนดจุดใดจุดหนึ่งเป็นจุดหมุนเสมอ ซึ่งขณะนี้จะแสดงให้เห็นที่จุดอ้างอิง (Origin) ดังรูปที่ 4.18 เมื่อกำหนดให้  $|P| = r$  การอ้างอิงถึงระบบพิกัด  $P(x, y)$  เราใช้ระบบพิกัดโพลาร์ (การบอกตำแหน่งจุดโดยใช้เวกเตอร์) ที่ตำแหน่งของ  $P$  ดังนี้

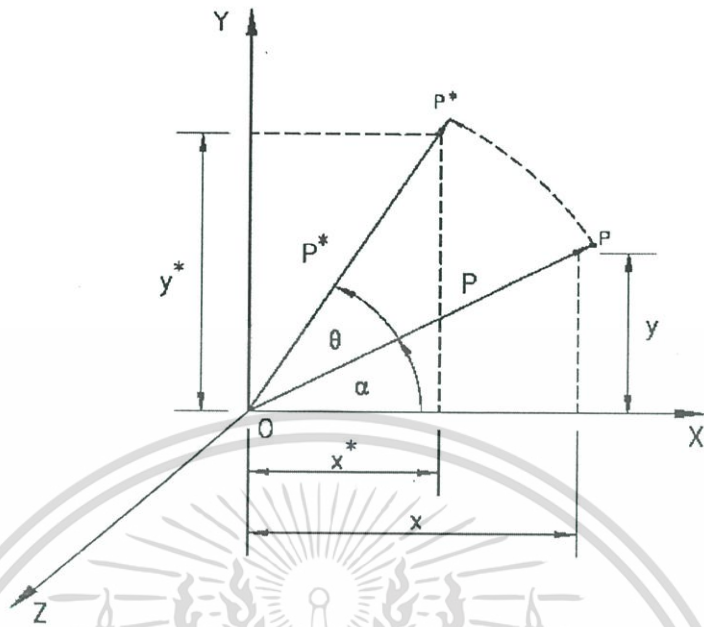
$$\begin{aligned}x &= r \cos \alpha \\y &= r \sin \alpha\end{aligned}\quad (4.21)$$

ถ้า  $(x, y)$  ถูกหมุนไปจากจุดเดิมเป็นมุม  $\theta$  ในทิศทางทวนเข็มนาฬิกาจะได้จุดใหม่  $p^*(x^*, y^*)$  และหลังจากภาพถูกหมุนไปแล้วระยะห่างระหว่างจุดหมุนกับภาพจะยังคงมีค่าเท่าเดิมคือ

$$|p^*| = |p| = r \quad (4.22)$$

เอกสารนี้เป็นเอกสารที่สงวนไว้สำหรับการใช้งานเพื่อการศึกษาเท่านั้น ไม่อนุญาตให้นำไปใช้ประโยชน์ด้านการค้า ไม่ว่ากรณีใดๆ ทั้งสิ้น อีกทั้งห้ามมิให้ดัดแปลงเนื้อหา และต้องอ้างอิงถึงเจ้าของเอกสารทุกครั้งที่มีการนำไปใช้

และรูปร่างลักษณะของภาพก็ยังคงเดิม แต่ภาพถูกจัดวางในที่ต่างไปจากเดิม



รูปที่ 4.18 แสดงการหมุนภาพรอบจุดกำเนิด

$$\begin{aligned} x^* &= r \cos(\alpha + \theta) \\ y^* &= r \sin(\alpha + \theta) \end{aligned} \quad (4.23)$$

$$z^* = z$$

ซึ่งอาจเขียนใหม่ได้ดังนี้

$$\begin{aligned} x^* &= r \cos \alpha \cos \theta - r \sin \alpha \sin \theta \\ y^* &= r \sin \alpha \cos \theta + r \cos \alpha \sin \theta \\ z^* &= z \end{aligned} \quad (4.24)$$

แทนค่า  $r \cos \alpha$  ด้วย  $x$  และ  $r \sin \alpha$  ด้วย  $y$  จะได้

$$\begin{aligned} x^* &= x \cos \theta - y \sin \theta \\ y^* &= x \sin \theta + y \cos \theta \\ z^* &= z \end{aligned} \quad (4.25)$$

สมการข้างต้นเป็นสมการการหมุนภาพในกรณีหมุนรอบแกน  $z$  สามารถเขียนในรูปของเมตริกซ์

ได้เป็น

เอกสารนี้เป็นเอกสารที่สงวนไว้สำหรับการใช้งานเพื่อการศึกษาเท่านั้น ไม่อนุญาตให้นำไปใช้ประโยชน์ด้านการค้า  
ไม่ว่ากรณีใดๆ ทั้งสิ้น อีกทั้งห้ามมิให้ดัดแปลงเนื้อหา และต้องอ้างอิงถึงเจ้าของเอกสารทุกครั้งที่มีการนำไปใช้

$$\begin{bmatrix} x^* \\ y^* \\ z^* \end{bmatrix} = \begin{bmatrix} \cos \theta & -\sin \theta & 0 \\ \sin \theta & \cos \theta & 0 \\ 0 & 0 & 1 \end{bmatrix} \begin{bmatrix} x \\ y \\ z \end{bmatrix} \quad (4.26)$$

ในการหมุนภาพนิยมทำการหมุนภาพรอบจุดหมุนในทิศทางหมุนทวนเข็มนาฬิกา เนื่องจากในทางคณิตศาสตร์จะกำหนดให้ทิศทางหมุนเป็นบวกในทิศทางทวนเข็มนาฬิกา แต่ถ้าต้องการกำหนดในทิศทางตามเข็มนาฬิกาก็สามารถทำได้โดย กำหนดค่า  $-\theta$  แทน  $\theta$  ลงในสมการข้างต้น

### 4.3 การทำโปรแกรมชิ้นงานแบบพารามิเตอร์ในระดับตัวควบคุมของเครื่องจักร (Parametrical Part Programming on controller level)

ในการทำงานเดียวกันกับการ โปรแกรมชิ้นงานบนเครื่องคอมพิวเตอร์ส่วนบุคคลเราจะนำการวิเคราะห์แบบพิมพ์เขียวและสร้างแม่โครของโปรแกรมย่อย (macro subprograms) กับโปรแกรมแม่โครควบคุมเราไม่สามารถสร้างโปรแกรมแม่โครที่ครอบคลุมรูปทรงทางเรขาคณิตที่จะใช้ผลิตได้ทั้งหมด จึงมีการพัฒนารูทีน(routines) ที่จะสามารถครอบคลุมรูปแบบทางเรขาคณิตส่วนใหญ่ไว้ แต่การโปรแกรมแม่โครเหล่านี้ก็สามารถปรับแต่งไปใช้งานได้และผู้ใช้ก็สามารถสร้างรูทีนเฉพาะงานขึ้นมาใช้งานเองก็ได้ ซับรูทีนของแม่โครที่เตรียมสำหรับเครื่องมือหรืออุปกรณ์เฉพาะอย่างตลอดจนเครื่องมือและอุปกรณ์กลุ่มต่างๆ ก็มีลักษณะเดียวกันการ โปรแกรมชิ้นงานแบบพารามิเตอร์บนเครื่องคอมพิวเตอร์ส่วนบุคคลนั่นเอง ดังนั้นความแตกต่างที่สำคัญของการ โปรแกรมทั้งสองระดับนี้ก็คือบนเครื่องคอมพิวเตอร์ส่วนบุคคลเราสามารถสร้างพารามิเตอร์สำหรับชิ้นงานที่มีรูปร่างใดๆ ก็ได้ แต่ในส่วนของเครื่องควบคุมจะไม่สามารถทำได้ทุกรูปร่าง

### 4.4 ระบบการทำงานแบบโต้ตอบ (Interactive System)

ระบบการทำงานแบบโต้ตอบมักจะใช้การแสดงผลผ่านหน้าจอกราฟิกส์เพื่อแสดงข้อมูลแก่ผู้ใช้งานอย่างมีประสิทธิภาพสามารถตอบสนองการเปลี่ยนแปลงหรือการแก้ไขข้อมูลตามความต้องการของผู้ใช้งานได้ดี ดังนั้นนักออกแบบส่วนต่อประสานกับผู้ใช้(user interface designer) จะต้องคำนึงถึงปัญหาเหล่านี้ให้มากที่สุด

#### 4.4.1 การตรวจแก้ข้อมูลแบบโต้ตอบ (Interactive Data Editor)

ในการออกแบบ “การตรวจแก้ข้อมูล (data editor)” จะมีหลักการที่สำคัญจากพื้นฐานทางด้านวิศวกรรมที่เกี่ยวกับมนุษย์ (human engineering) ซึ่งองค์ประกอบที่สำคัญจะได้แก่  
เอกสารเป็นเอกสารที่ส่งในวิธีที่ช่วยให้การทำงานที่ถูกต้องและแม่นยำ โดยผู้ใช้ที่เห็นแบบโต้ตอบซึ่งในด้านการค้าไม่ว่ากรณีใดๆ ทั้งสิ้น อีกทั้งห้ามมิให้ตัดแปลงเนื้อหา และต้องอ้างอิงถึงเจ้าของเอกสารทุกครั้งที่มีการนำไปใช้

#### 4.4.1.1 ผลป้อนกลับ (feedback)

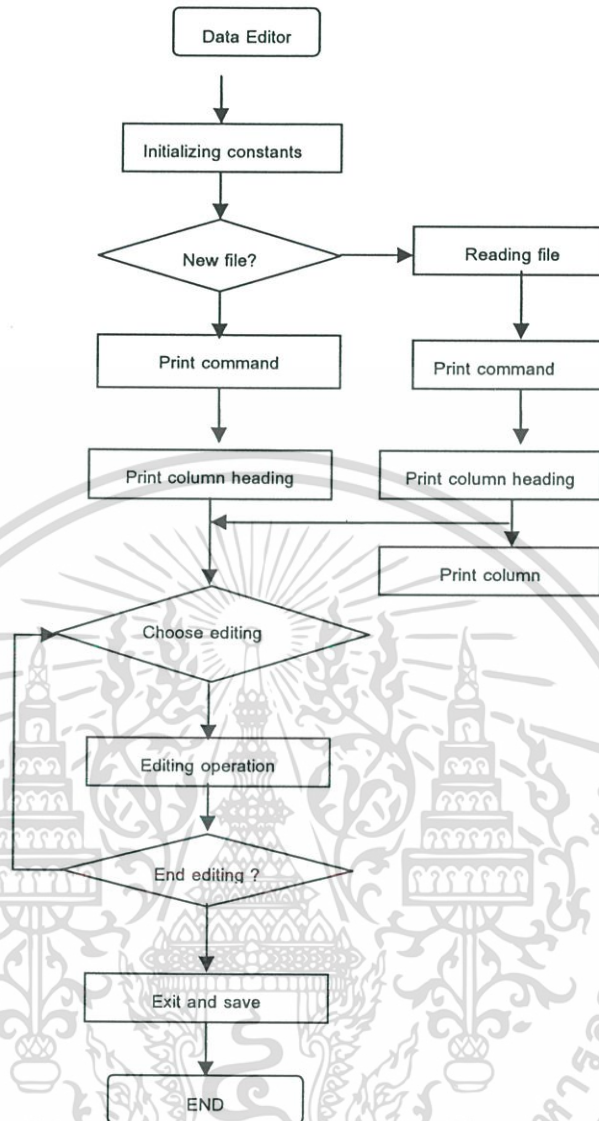
ผลป้อนกลับเป็นส่วนที่สำคัญมากของระบบการทำงานแบบโต้ตอบ โดยปกติแล้วผลป้อนกลับจะเกิดขึ้นจากการที่คำสั่งแต่ละอันเป็นที่ยอมรับของระบบ รูปแบบของผลป้อนกลับที่ให้คุณประโยชน์สูงสุดจะบอกผู้ใช้งานได้ด้วยการปฏิบัติการได้เสร็จสมบูรณ์แล้ว ในกรณีนี้มักจะมีการตัดแปลงหรือจัดหน้าจอการแสดงผลออกมาใหม่หรือมีการให้เสียงต่างๆ บอกออกมาให้ทราบ

#### 4.4.1.2 ความต้องกัน (consistency)

การสร้างความต้องกันหรือความสอดคล้องเข้าใจตรงกันนั้นตำแหน่งหน้าจอของหัวข้อต่างๆ เช่น เมนู(menu), คำสั่ง(commands) และผลป้อนกลับ(feedback) เป็นสิ่งสำคัญมาก ปกติเราจะกำหนดส่วนต่างๆ ของหน้าจอไว้สำหรับหัวข้อต่างๆ เหล่านี้ ความต้องกันนี้จะช่วยให้ผู้ใช้งานสามารถหาหัวข้อเมนูที่ต้องการได้อย่างรวดเร็ว สำหรับตัวอย่างในการสร้างความต้องกันอื่นๆ ได้แก่ การใช้รหัสสี(color coding) และการใช้คำย่อต่างๆ

#### 4.4.1.3 การจำน้อยที่สุด (minimal memorization)

หลักการที่สำคัญสำหรับการนี้คือทำสิ่งจำเป็นที่จะต้องจำให้อยู่ในรูปแบบที่จำได้ง่ายที่สุดเท่าที่จะทำได้ และถ้าหลีกเลี่ยงได้ต้องพยายามอย่าให้มีสิ่งที่จะต้องจำในการปฏิบัติการ ซึ่งตัวอย่างตรรกะของการโปรแกรมคอมพิวเตอร์(Computer programming logic) ของการตรวจแก้ข้อมูลได้แสดงดังผังงานในรูปที่ 4.19



รูปที่ 4.19 แสดงชาร์ทการใช้หน่วยความจำน้อยสุด

#### 4.4.1.4 การใช้คอมพิวเตอร์ช่วยในการออกแบบและการผลิตเชิงโต้ตอบ (Interactive Computer-Aided Design and Manufacture)

การออกแบบและการผลิตแบบใช้คอมพิวเตอร์ช่วยจะใช้ศาสตร์ทางด้านเรขภาพคอมพิวเตอร์ (computer graphics) มาใช้เป็นเครื่องมือในการทำงาน โดยจะมีการพัฒนาชุดคำสั่งกราฟิกส์ (graphics commands) ที่ใช้คีย์บอร์ดเป็นอุปกรณ์สำคัญสำหรับป้อนอินพุต อาจมีการใช้ฟังก์ชันคีย์ (function key) ในคำสั่งกราฟิกส์หรือมีการออกแบบหน้าจอในรูปแบบของคำสั่งที่ทำงานตามรายการเลือก (menu-driven commands) ข้อความพร้อมรับ (prompt) และข้อความบอกสถานะ (status messages) ที่แสดงผลออกมาตามข้อมูลกราฟิกส์ประกอบอยู่ด้วย

เอกสารนี้เป็นเอกสารที่สงวนไว้สำหรับการใช้งานเพื่อการศึกษาเท่านั้น ไม่อนุญาตให้นำไปใช้ประโยชน์ด้านการค้า ไม่ว่ากรณีใดๆ ทั้งสิ้น อีกทั้งห้ามมิให้ดัดแปลงเนื้อหา และต้องอ้างอิงถึงเจ้าของเอกสารทุกครั้งที่มีการนำไปใช้

## บทที่ 5

### ผลการทดลองและการวิเคราะห์

#### 5.1 วิธีการทดลอง

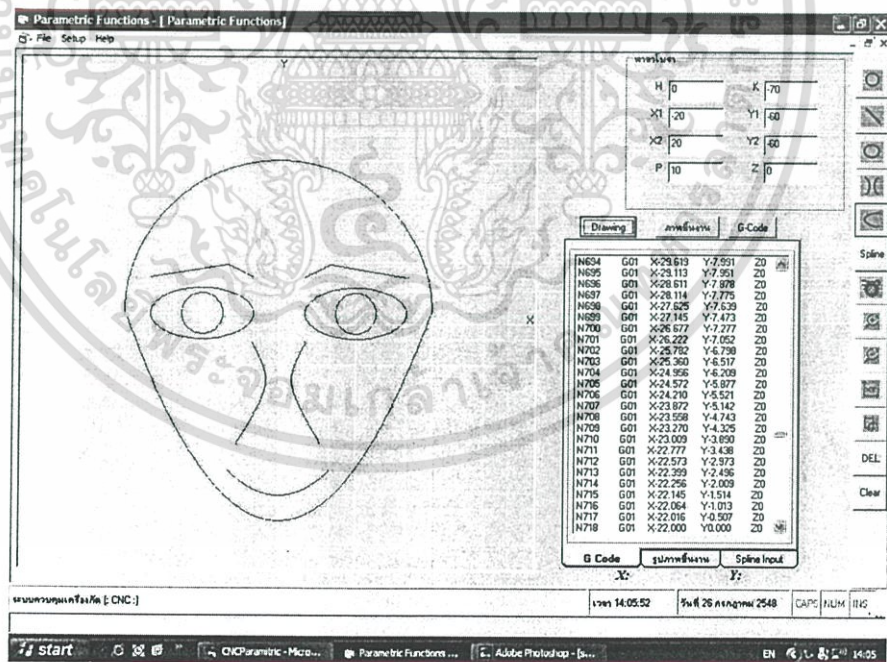
ในการทดลองนี้ได้ทำการศึกษา โดยจัดทำโปรแกรมภาษาวิซวลเบสิกสำหรับใช้ในการทำเพิ่มข้อมูลโปรแกรมชิ้นงาน NC ตามข้อมูลเส้นทางเดินมีดตัด (cutter Location Data File หรือ CL – Data) ขึ้นมาจากการรับข้อมูลป้อนเข้าตามพิกัดตำแหน่งป้อนเข้าของไอคอนต่างๆ คือเส้นตรง วงกลม วงรี พาราโบลา ไฮเพอร์โบลา สไปรน์ และเฟืองตรง แล้วบันทึกเพิ่มข้อมูลเก็บไว้ในลักษณะของเพิ่มข้อมูลรหัสแอสกี (ASCII text file) เพิ่มข้อมูลที่ได้นั้นสามารถนำมาตรวจสอบความถูกต้องและปรับปรุงได้โดยโปรแกรม Notepad บน WINDOWS และนำมาตรวจสอบกับโปรแกรมCAM สำเร็จรูปโดยแปลงข้อมูลจากไฟล์นามสกุล.txt เป็นนามสกุล .nci ในโปรแกรม Master CAM เพื่อจำลองภาพกราฟฟิกซ์และข้อมูลของทาวงเดินมีดตัดระหว่างโปรแกรมที่ประดิษฐ์และโปรแกรมสำเร็จรูป หลังจากนั้นได้ทำการทดลองผลิตชิ้นงานจริงโดยเชื่อมต่อข้อมูลเส้นทางเดินมีดตัดระหว่างคอมพิวเตอร์กับเครื่องจักร CNC โดยเชื่อมต่อผ่านพอร์ต RS – 232 – C (มาตรฐานของการเชื่อมต่อที่นิยมใช้ระหว่างคอมพิวเตอร์กับเครื่องจักร CNC คือ RS – 232 – C มาตรฐานนี้ประกาศใช้เมื่อปี 1969 โดย Electronic Industries Association : ETA อักษร RS แทน Recommended Standard 232 แทนหมายเลขของมาตรฐาน และอักษร C แสดงให้รู้ว่ามาตรฐานได้มีการแก้ไขปรับปรุงกี่ครั้ง)

#### 5.2 ผลการทดสอบจากการสร้างคำสั่งเส้นตรง วงกลม วงรี พาราโบลา และไฮเพอร์โบลา

จากการทดสอบป้อนข้อมูลดังตารางที่ 5.1 ได้ผลการทดลองตามรูปที่ 5.1 และรูปที่ 5.2 ซึ่งแสดงการเขียนรูปที่และค่า G-Code ซึ่งสามารถนำไปใช้เชื่อมโยงกับเครื่องจักร CNC ทำให้สามารถทำให้เกิดชิ้นงานดังรูปที่ 5.3

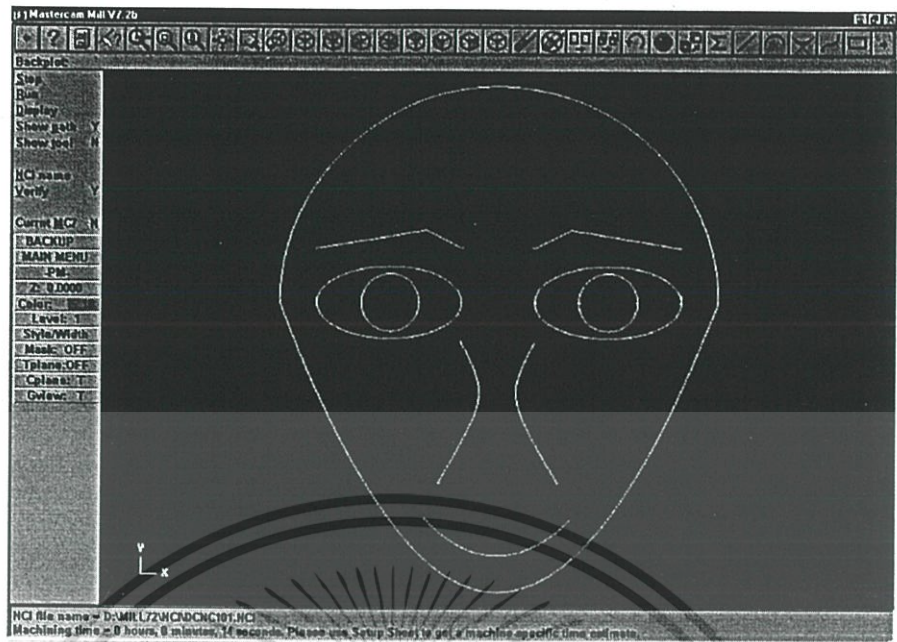
ตารางที่ 5.1 แสดงค่าข้อมูลที่ป้อนเข้าสู่โปรแกรมสร้างคำสั่งเส้นตรง วงกลม วงรี พาราโบลาและไฮเพอร์โบลา

PATH	SHAPE	H	K	X1	Y1	X2	Y2	P	R	A	B	WA	WB
P1	Parabola	0	-80	-60	0	60	0	11	-	-	-	-	-
C1	Circle	0	0	60	0	-60	0	-	60	-	-	-	-
L1	Line	-	-	-50	15	-20	20	-	-	-	-	-	-
L2	Line	-	-	-20	20	-10	15	-	-	-	-	-	-
L3	Line	-	-	10	15	20	20	-	-	-	-	-	-
L4	Line	-	-	20	20	50	15	-	-	-	-	-	-
E1	Ellipse	30	0	50	0	50	0	-	-	20	10	-	-
C2	Circle	30	0	38	0	38	0	-	8	-	-	-	-
E2	Ellipse	-30	0	10	0	10	0	-	-	20	10	-	-
C3	Circle	-30	0	-22	0	-22	0	-	8	-	-	-	-
H1	Hyperbola	0	-25	10	-10	15	-50	-	-	-	-	5	8
P2	Parabola	0	-70	-20	-60	20	-60	10	-	-	-	-	-

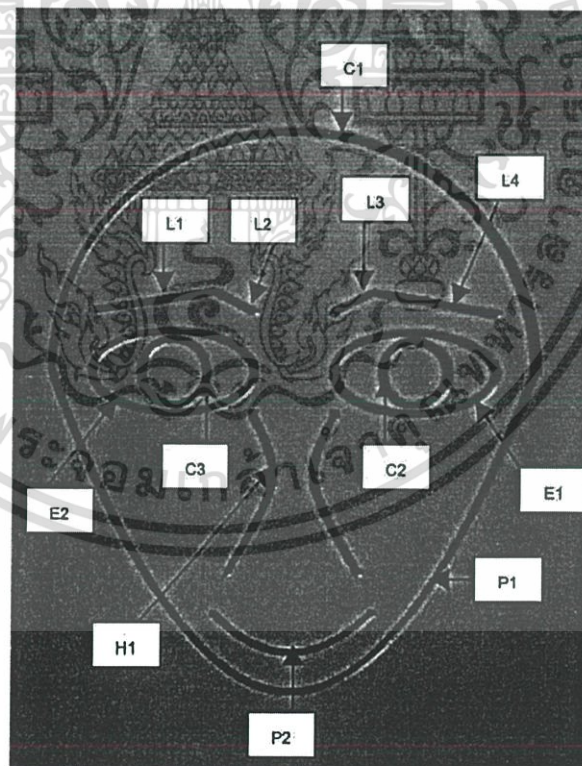


รูปที่ 5.1 แสดงภาพกราฟฟิกส์และ G-code ที่ได้จากการป้อนข้อมูลคำสั่งเส้นตรง วงกลม วงรี พาราโบลา และไฮเพอร์โบลา

เอกสารนี้เป็นเอกสารที่สงวนไว้สำหรับการใช้งานเพื่อการศึกษาเท่านั้น ไม่อนุญาตให้นำไปใช้ประโยชน์ด้านการค้า ไม่ว่าจะกรณีใดๆ ทั้งสิ้น อีกทั้งห้ามมิให้ดัดแปลงเนื้อหา และต้องอ้างอิงถึงเจ้าของเอกสารทุกครั้งที่มีการนำไปใช้



รูปที่ 5.2 แสดงภาพกราฟฟิกส์ที่ได้จากการแปลงข้อมูลเทียบกับ โปรแกรม Master CAM

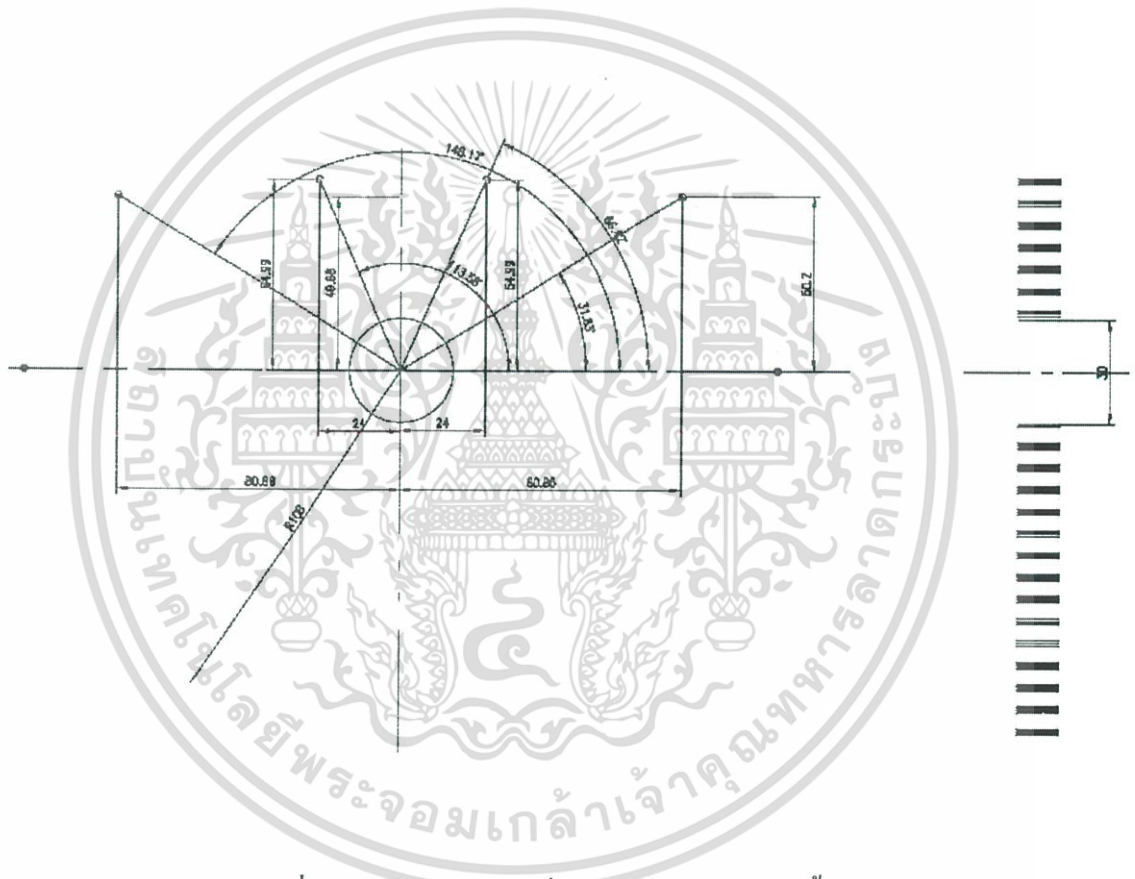


รูปที่ 5.3 แสดงผลที่ได้จากการทดสอบโปรแกรมกับเครื่องจักรCNC

เอกสารนี้เป็นเอกสารที่สงวนไว้สำหรับการใช้งานเพื่อการศึกษาเท่านั้น ไม่อนุญาตให้นำไปใช้ประโยชน์ด้านการค้า ไม่ว่าจะกรณีใดๆ ทั้งสิ้น อีกทั้งห้ามมิให้ดัดแปลงเนื้อหา และต้องอ้างอิงถึงเจ้าของเอกสารทุกครั้งที่มีการนำไปใช้

### 5.3 ผลการทดสอบจากการสร้างคำสั่งสไปลน์

ในการประยุกต์ใช้งานเกี่ยวกับคำสั่งสไปลน์นั้นได้ทำการทดลองออกแบบชิ้นงานเป็น ลูกเบี้ยว(Cam) ที่มีรูปร่างสมมาตร โดยกำหนดจุดควบคุม (Control point) ของสไปลน์เป็นจุดข้อมูล ป้อนเข้าสู่โปรแกรมก๊อชชิ้นงาน ซึ่งข้อมูลป้อนเข้าแสดงให้เห็นในตารางที่ 5.2 การเขียนรูปกราฟฟิกที่ได้จากการป้อนค่าเข้าสู่โปรแกรมและค่าG-Code ซึ่งสามารถนำไปใช้เชื่อมโยงกับเครื่องจักรCNC ทำให้สามารถทำให้เกิดชิ้นงานแสดงโดยรูปที่ 5.2 รูปที่ 5.3 แสดงผลลูกเบี้ยวที่ได้จากการทดสอบ โปรแกรมกับเครื่องจักรCNCและผลจากการเปรียบเทียบค่าระหว่างจุดควบคุมกับการวัดค่าแสดง โดยรูปที่ 5.4

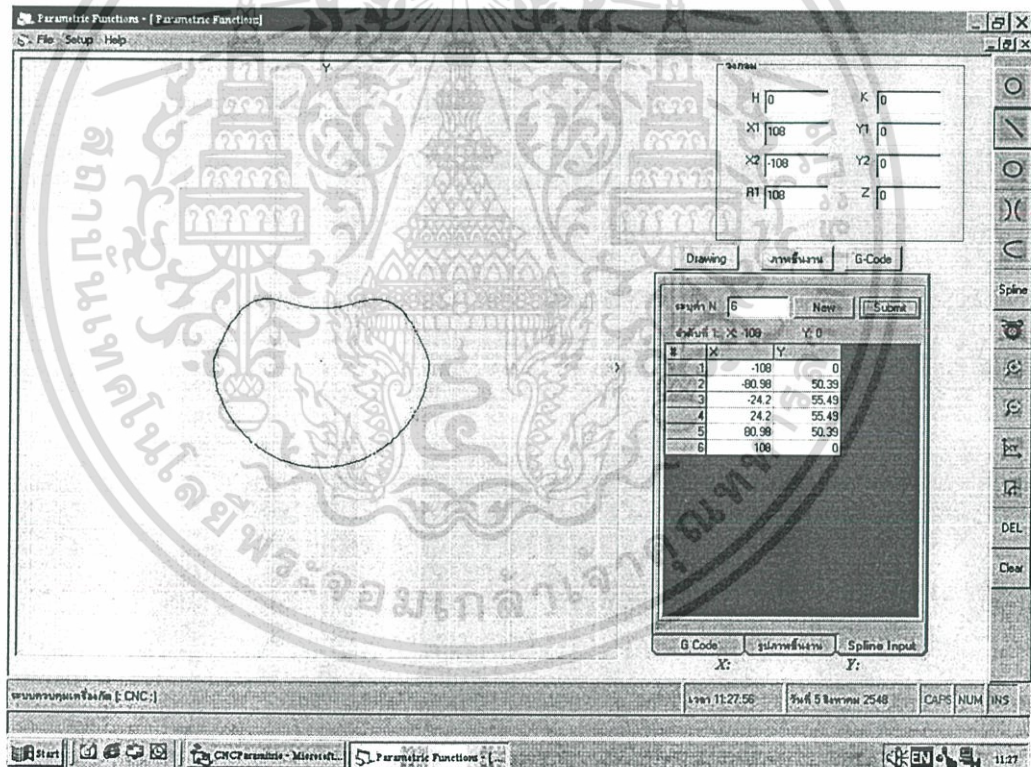


รูปที่ 5.4 แสดงแบบงานที่กำหนดขนาดของลูกเบี้ยว

เอกสารนี้เป็นเอกสารที่สงวนไว้สำหรับการใช้งานเพื่อการศึกษาเท่านั้น ไม่อนุญาตให้นำไปใช้ประโยชน์ด้านการค้า ไม่ว่าจะกรณีใดๆ ทั้งสิ้น อีกทั้งห้ามมิให้ดัดแปลงเนื้อหา และต้องอ้างอิงถึงเจ้าของเอกสารทุกครั้งที่มีการนำไปใช้

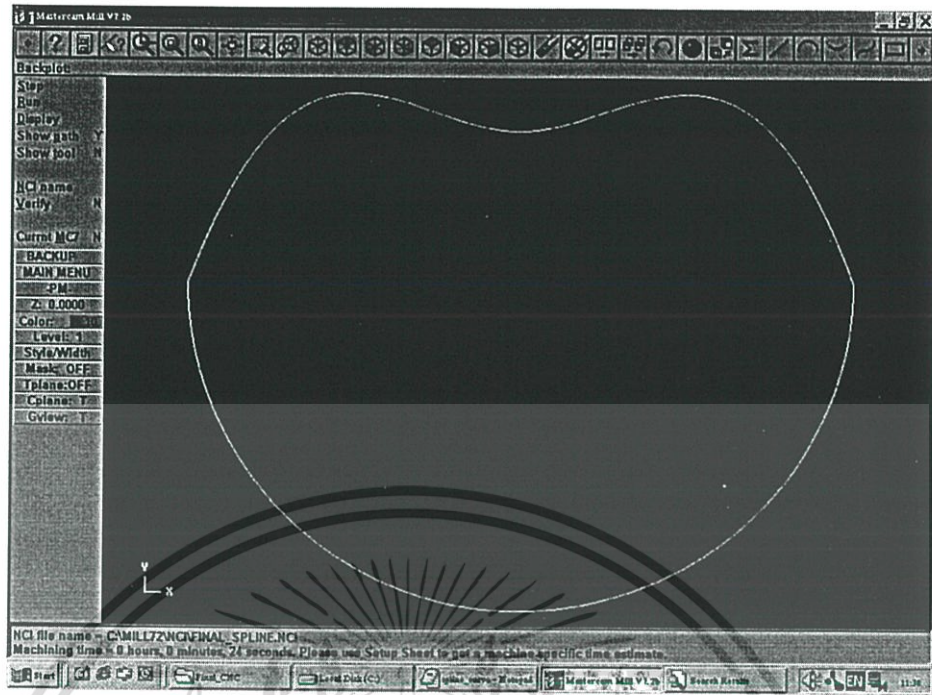
ตารางที่ 5.2 แสดงค่าข้อมูลที่ป้อนเข้าสู่โปรแกรมสร้างคำสั่งสไปล์

PATH	SHAPE	H	K	X1	Y1	X2	Y2	R
A1	Circle	0	0	108	0	-108	0	108
A2	Spline	0	0	-108	0	-	-	-
A3	Spline	-	-	-80.86	50.2	-	-	-
A4	Spline	-	-	-24	54.99	-	-	-
A5	Spline	-	-	0	49.98	-	-	-
A6	Spline	-	-	80.86	50.2	-	-	-
A7	Spline	30	0	80.86	50.2	-	-	-
A8	Spline	30	0	108	0	-	-	-



รูปที่ 5.5 แสดงภาพกราฟฟิกส์และG-code ที่ได้จากการป้อนข้อมูลคำสั่งสไปล์

เอกสารนี้เป็นเอกสารที่สงวนไว้สำหรับการใช้งานเพื่อการศึกษาเท่านั้น ไม่อนุญาตให้นำไปใช้ประโยชน์ด้านการค้า ไม่ว่าจะกรณีใดๆ ทั้งสิ้น อีกทั้งห้ามมิให้ดัดแปลงเนื้อหา และต้องอ้างอิงถึงเจ้าของเอกสารทุกครั้งที่มีการนำไปใช้



รูปที่ 5.6 แสดงภาพกราฟฟิกส์ของคำสั่งไปลนในโปรแกรมMaster CAM

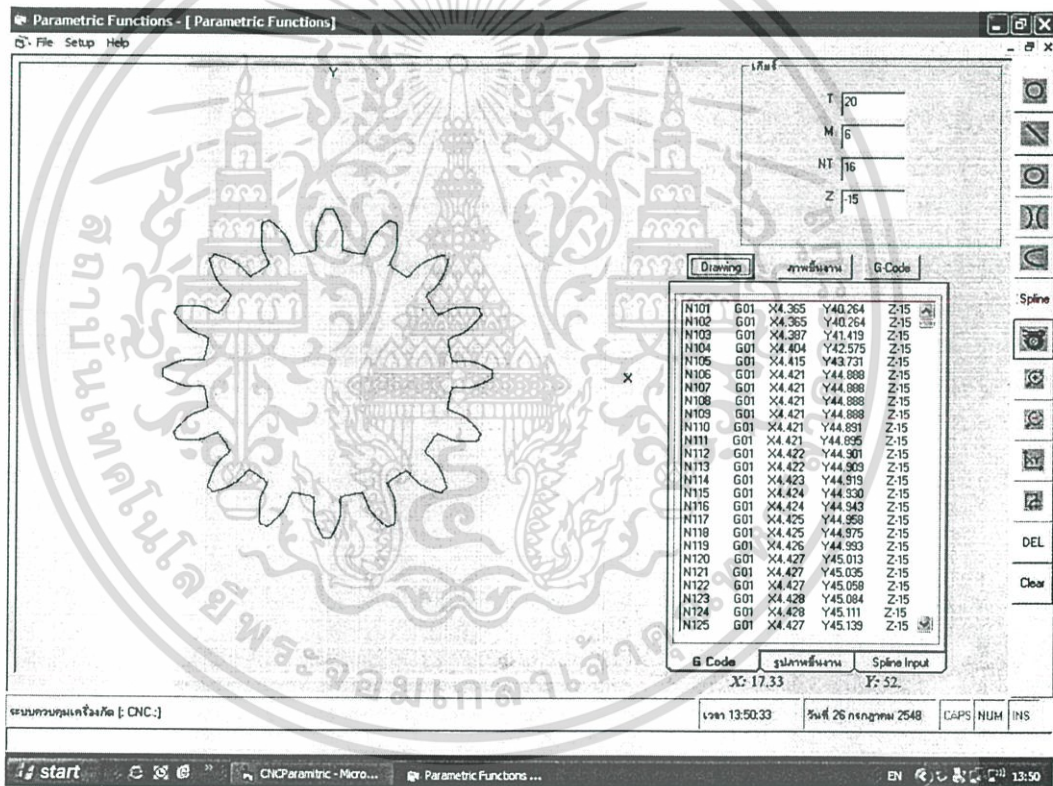


รูปที่ 5.7 แสดงผลจากคำสั่งไปลนที่ได้จากการทดสอบ โปรแกรมกับเครื่องจักรCNC

เอกสารนี้เป็นเอกสารที่สงวนไว้สำหรับการใช้งานเพื่อการศึกษาเท่านั้น ไม่อนุญาตให้นำไปใช้ประโยชน์ด้านการค้า ไม่ว่ากรณีใดๆ ทั้งสิ้น อีกทั้งห้ามมิให้ดัดแปลงเนื้อหา และต้องอ้างอิงถึงเจ้าของเอกสารทุกครั้งที่มีการนำไปใช้

ตารางที่ 5.3 แสดงการเปรียบเทียบค่าข้อมูลที่ป้อนเข้าสู่และพิกัดที่วัดได้จากโปรแกรมสำเร็จรูป

คำสั่ง	พิกัดป้อนเข้า					พิกัดที่วัดได้					ค่าแตกต่าง				
	x1	y1	x2	y2	รัศมี	x1	y1	x2	y2	รัศมี	x1	y1	x2	y2	รัศมี
Circle	108	0	-108	0	108	107.946	-0.073	-108	-0.073	107.979	-0.054	0.073	0	0.073	-0.021
Spline	-108	0	-	-	-	-108	-0.073	-	-	-	0	-	-	-	-
Spline	80.86	50.2	-	-	-	-80.865	50.123	-	-	-	0.005	-	-	-	-
Spline	-24	54.99	-	-	-	-24.059	55.048	-	-	-	0.059	-	-	-	-
Spline	0	49.98	-	-	-	0	50.001	-	-	-	0	-	-	-	-
Spline	24	54.99	-	-	-	24.054	55.037	-	-	-	0.054	-	-	-	-
Spline	80.86	50.2	-	-	-	80.893	50.141	-	-	-	0.033	-	-	-	-
Spline	108	0	-	-	-	107.946	-0.073	-	-	-	-0.054	-	-	-	-

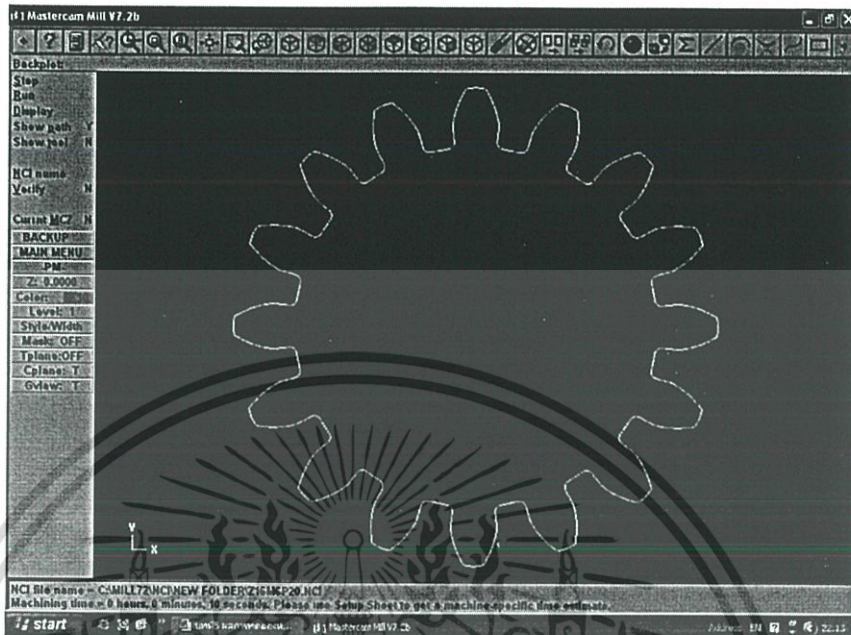


รูปที่ 5.8 แสดงภาพกราฟฟิกส์และG-code ที่ได้จากการป้อนข้อมูลคำสั่งเพียงตรง

#### 5.4 ผลการทดสอบจากการสร้างคำสั่งเพียงตรง

ในการประยุกต์ใช้งานเกี่ยวกับคำสั่งเพียงตรงนั้น ได้ทำการทดลองโดยกำหนดเพียงตัวอย่างที่มีโมดูล คือ 5 และมุมกอดัน คือ 20 องศา และมีจำนวนฟันเฟืองเท่ากับ 16 ฟัน จากนั้นป้อนข้อมูลเข้าสู่โปรแกรมก๊อชิ่งงานในคำสั่งเพียงตรง การเขียนรูปภาพฟิกส์ที่ได้จากการป้อนค่าเอกสารนี้เป็นเอกสารที่สงวนไว้สำหรับการใช้งานเพื่อการศึกษาเท่านั้น ไม่นิยมนำไปใช้ประโยชน์ด้านการค้า ไม่ว่าจะกรณีใดๆ ทั้งสิ้น อีกทั้งห้ามมิให้ดัดแปลงเนื้อหา และต้องอ้างอิงถึงเจ้าของเอกสารทุกครั้งที่มีการนำไปใช้

เข้าสู่โปรแกรมและค่าG-Code ถูกแสดงไว้ดังรูปที่ 5.8 ซึ่งสามารถนำไปใช้เชื่อมโยงกับเครื่องจักร CNC ทำให้สามารถทำให้เกิดชิ้นงานแสดงโดยรูปที่5.10

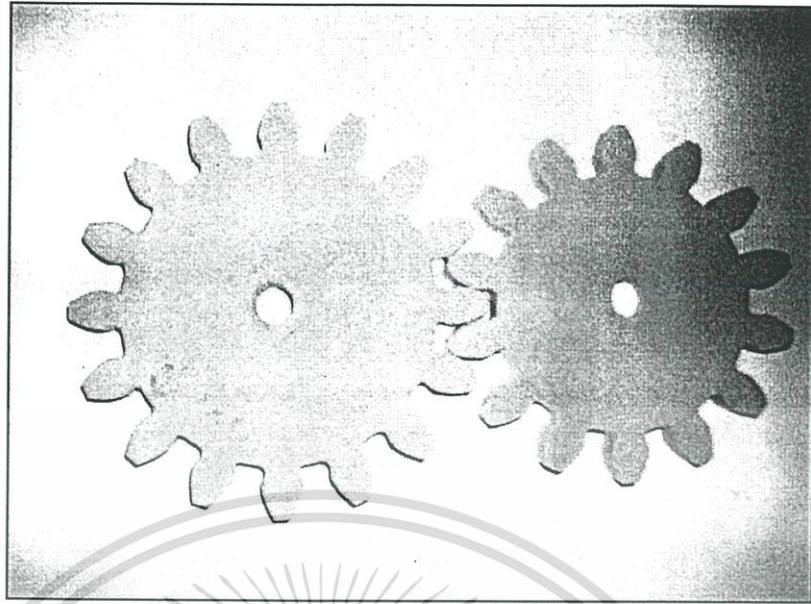


รูปที่ 5.9 แสดงภาพกราฟิกของคำสั่งเฟืองในโปรแกรม Master CAM

ตารางที่ 5.4 แสดงการเปรียบเทียบค่าพิกัดที่วัดได้ของเฟืองตรง 16 ฟัน โมดูล=5 , มุมกดคัน=20 องศาและค่าที่คำนวณได้จากสูตร

ชื่อส่วนประกอบของเฟือง	สูตรที่ใช้คำนวณ	ค่าที่ได้จากการคำนวณ (mm.)	ค่าที่วัดได้ (mm.)	ค่าแตกต่าง (mm.)
Addendum (a)	$1.000 / Pd$	5	5.014	0.14
Dedendum (b)	$1.25 / Pd$	6.25	6.167	-0.083
Fillet radius (rf)	$0.304 / Pd$	1.52	1.284	0.236
Tooth Thickness	$1.5708 / Pd$	7.854	7.908	0.054
Outside diameter	$(d \times Z)+2m$	90	89.966	-0.034

เอกสารนี้เป็นเอกสารที่สงวนไว้สำหรับการใช้งานเพื่อการศึกษาเท่านั้น ไม่อนุญาตให้นำไปใช้ประโยชน์ด้านการค้า ไม่ว่าจะกรณีใดๆ ทั้งสิ้น อีกทั้งห้ามมิให้ดัดแปลงเนื้อหา และต้องอ้างอิงถึงเจ้าของเอกสารทุกครั้งที่มีการนำไปใช้



รูปที่ 5.10 แสดงผลจากคำสั่งเฟืองที่ได้จากการทดสอบ โปรแกรมกับเครื่องจักร CNC



เอกสารนี้เป็นเอกสารที่สงวนไว้สำหรับการใช้งานเพื่อการศึกษาเท่านั้น ไม่อนุญาตให้นำไปใช้ประโยชน์ด้านการค้า  
ไม่ว่ากรณีใดๆ ทั้งสิ้น อีกทั้งห้ามมิให้ดัดแปลงเนื้อหา และต้องอ้างอิงถึงเจ้าของเอกสารทุกครั้งที่มีการนำไปใช้

## สรุปผลการวิจัยและข้อเสนอแนะ

### 6.1 สรุปผลการวิจัย

ในวิทยานิพนธ์ฉบับนี้ได้ทำการศึกษาการสร้างโปรแกรมชิ้นงานแบบพารามิเตอร์ของรูปทรงเรขาคณิต ต่างๆ เช่น เส้นตรง วงกลม วงรี พาราโบลา ไฮเพอร์โบลา และการประมาณค่าด้วยวิธีพารามเมตริกควิกวิกสไปลน์ รวมถึงการประยุกต์ใช้ความรู้ทางการเขียนแบบวิศวกรรมกับโปรแกรมคอมพิวเตอร์นำมาใช้ประยุกต์ใช้สร้างรูปพื้นเฟืองตรง โดยการใส่โปรแกรมภาษาวิซวลเบสิกในการสร้างหน้าจอแบบกราฟฟิกส์และคำนวณหา G-code สำหรับสร้างทางเดินมีดตัดให้กับเครื่องจักร CNC

จากการวิจัยพบว่าโปรแกรม CNC แบบเชิงโต้ตอบนั้นสามารถนำมาใช้กับงานกัด (Milling) แบบ 2 มิติได้เป็นอย่างดี ซึ่งค่าตัวเลขที่คำนวณได้จากโปรแกรมนั้นมีค่าเบี่ยงเบนทางตัวเลขน้อยมาก ทำให้สามารถนำไปใช้สร้างชิ้นงานที่มีรูปทรงที่เป็นไปตามหลักการทางเรขาคณิตและต้องการความเที่ยงตรงสูงได้เป็นอย่างดีและเหมาะสมสำหรับเครื่องจักร CNC ที่ไม่มีชุดควบคุมสำหรับแปลงค่าเป็น G-code ได้

แนวทางที่สามารถนำโปรแกรมไปประยุกต์ใช้ให้บังเกิดผล คือ การลดปัญหาที่เกิดขึ้นเนื่องจากผู้ปฏิบัติการที่ใช้ในการออกแบบคำสั่งรหัสเครื่องจักร (G - Code) ที่ใช้สำหรับป้อนข้อมูลให้เครื่องจักรที่ถูกระบุตามแบบงานที่ต้องการใช้เวลาในการทำความเข้าใจกับแบบงาน และสร้างคำสั่ง G - Code อีกทั้งยังต้องเสียเวลาป้อนค่า G - Code เข้าสู่ชุดควบคุมของเครื่องจักร CNC และยังสามารถตรวจสอบความถูกต้องของข้อมูลได้จากรูปกราฟฟิกส์ที่แสดงบนหน้าจอของของโปรแกรม อีกทั้งยังเป็นการทำงานในระบบ off-line program คือสามารถสร้างข้อมูลได้ล่วงหน้าก่อนทำการผลิต ทำให้ลดเวลาในการเตรียมข้อมูลการผลิตเป็นอย่างมาก

หลักการในการนำสมการพารามเมตริกมาใช้กับเครื่องจักร CNC นั้นสามารถนำมาใช้ประโยชน์ได้อย่างเหมาะสมกับงานทางคณิตศาสตร์ที่ต้องการแสดงภาพกราฟฟิกส์ที่สมบูรณ์โดยใช้เทคนิคจุดต่อจุดอย่างต่อเนื่อง

จากการทดลองคำสั่งสไปลน์นั้นพบว่าค่าพิกัดข้อมูลที่ได้จากการป้อนข้อมูลและคำนวณค่า นั้นมีความถูกต้องและแม่นยำ เนื่องจากโปรแกรมได้แก้ไขที่จุดเริ่มต้นและจุดสุดท้ายของจุดต่อโดยใช้วิธีกำหนดอนุพันธ์อันดับที่ 3 เพื่อลดค่าความผิดพลาด

การทดลองคำสั่งเฟืองตรง จากการป้อนข้อมูลทดลองและวัสดุปร่างของเฟืองนั้น พบว่าโปรแกรมสามารถคำนวณหาจุดพิกัดต่างๆของเฟืองตรงได้อย่างถูกต้อง และสามารถนำเฟืองตรงไปใช้งานได้จริง อย่างไรก็ตามสำหรับการใช้งานเพื่อการศึกษาเท่านั้น ไม่นิยมนำไปใช้ประโยชน์ด้านการค้าไม่ว่ากรณีใดๆ ทั้งสิ้น อีกทั้งห้ามมิให้ดัดแปลงเนื้อหา และต้องอ้างอิงถึงเจ้าของเอกสารทุกครั้งที่มีการนำไปใช้

## 6.2 ข้อเสนอแนะ

ในงานวิจัยนี้มุ่งหวังให้ถ่ายทอดผู้ใช้งานในงานกักตัก 2 มิติ ไม่ได้ครอบคลุมถึงงานแบบ 3 มิติ ซึ่งควรมีการพัฒนาต่อไปเพื่อให้สามารถรองรับในการนำมาใช้กับงานในระบบ 3 มิติได้ เพื่อให้โปรแกรมมีความสามารถในการรองรับการประยุกต์ใช้ในงานอุตสาหกรรมที่มีการพัฒนาอย่างรวดเร็ว

อีกทั้งการพัฒนาโปรแกรมต่อไปนั้นสามารถทำได้โดยการเพิ่มชุดคำสั่งเข้าไปเป็นไอคอนเพิ่มเติมได้โดยตรง เช่น คำสั่งเขียนเฟืองโซ่ หรือลูกเบี้ยว ซึ่งทำได้โดยง่ายเพราะมีคำสั่งในการรองรับในการแสดงผลกราฟฟิกส์ทางหน้าจอคอมพิวเตอร์ และการสร้างเส้นทางเดินของมิดคัตรองรับเป็นโปรแกรมย่อย (Sub directory) ไว้อยู่แล้วทำให้ไม่ต้องเสียเวลาในการในการเขียน โปรแกรมใหม่ทั้งหมด



เอกสารนี้เป็นเอกสารที่สงวนไว้สำหรับการใช้งานเพื่อการศึกษาเท่านั้น ไม่อนุญาตให้นำไปใช้ประโยชน์ด้านการค้า ไม่ว่าจะกรณีใดๆ ทั้งสิ้น อีกทั้งห้ามมิให้ดัดแปลงเนื้อหา และต้องอ้างอิงถึงเจ้าของเอกสารทุกครั้งที่มีการนำไปใช้

## เอกสารอ้างอิง

- [1] Gregory Charles Loney 1985 **Interactive Design and NC Machining** MS.Thesis of Lehigh University.
- [2] Dusko Savic, **BASIC Interactive Graphics**. Butteworth & Co (Publishers) Ltd., 1985.
- [3] Roy E.Mayers., **Microcomputer Graphics**. Addison-Wesley Publishing Company, 1985.
- [4] C.S. Park, **Elements of Computer** Wesley Publishing Company, Inc., U.S.A., 1984.
- [5] A.W. Goodman, **Analytic Geomety and the Calculus** 4<sup>th</sup> edition, Macmillian Publishing Co., Inc., 1980
- [6] Abraham Zeid, **CAD/CAM Theory and Proactive** Mcgaw-Hill, Inc.
- [7] G. Forsythe, M. Malcolm and C. Moler, **Computer Method for Mathematic Computations**, Prentice Hall, Inc. c1977.
- [8] Steven C. Chapra and Raymond P.Cauale 2002., **Numerical Methods for Engineers with software and Programming Application** fourth edition McGvaw – Hill Company.
- [9] .Steve F. Krar and J.Willian Oswald 1991 **Technology of Machine Tools** forth edition Mcgraw – Hill International Editions.
- [10] Y.C.PAO **Elements of Computer-Aide Design and Manufacturing** John Wiley & Sons., Inc., U.S.A.,1994.
- [11] Joseph B. Ferreira **Using Spreadsheets to Parameterize Spur Gear Design for Laser Cutter** BS. Thesis of Massachusetts Institute of Technology.
- [12] Frederick E.Giesecke , Alva Mitchell and Henry Cecil Spencer **Technical Drawing** fourth edition , The Macmillan Company Newyork.
- [13] Dann D’Hont “Off Line Parametrical Programming Facilities for Stand Alone CNC Machine Tools” การประชุมใหญ่ทางวิชาการ หัวข้อเทคโนโลยีใหม่ในงานวิศวกรรม วิศวกรรมสถานแห่งประเทศไทยในพระบรมราชูปถัมภ์ 26-28 ตุลาคม 2532 หน้า810-816
- [14] Eugene A. Avallone Theodore Baumetster III **Marks Standard Handbook foer Mechanical Engineering** Tenth Edition MaGraw-Hill, c1997.
- [15] กิตติ ภักดีวัฒนกุลและจำลอง ครูอุตสาหะ. 2542. **Visual Basic 6 ฉบับโปรแกรมเมอร์** กรุงเทพฯ : ไทยเจริญการพิมพ์
- [16] คณิส สุจินัย. **เทคนิคการใช้คอมพิวเตอร์ช่วยในการเขียนแบบวิศวกรรม** กรุงเทพฯ:

เอกสารนี้เป็นเอกสารต้นฉบับลิขสิทธิ์ส่วนตัว เพื่อการศึกษาเท่านั้น ไม่อนุญาตให้นำไปใช้ประโยชน์ด้านการค้า ไม่ว่ากรณีใดๆ ทั้งสิ้น อีกทั้งห้ามมิให้ดัดแปลงเนื้อหา และต้องอ้างอิงถึงเจ้าของเอกสารทุกครั้งที่มีการนำไปใช้

- [17] จงกล งามวิวิทย์ 2533 การควบคุมเชิงตัวเลข กรุงเทพฯ: พิมพ์ครั้งที่1 ตำราชุด  
วิศวกรรมศาสตร์ คณะวิศวกรรมศาสตร์ สถาบันเทคโนโลยีพระจอมเกล้าเจ้าคุณทหาร  
ลาดกระบัง
- [18] ทวี เทศเจริญ 2535 การออกแบบเครื่องมือกล กรุงเทพฯ: คณะวิศวกรรมศาสตร์ สถาบัน  
เทคโนโลยีพระจอมเกล้าเจ้าคุณทหารลาดกระบัง
- [19] บรรเลง ศรีนิต และประเสริฐ ก๊วยสมบุญ ผู้แปล 2524 ตารางงานโลหะ กรุงเทพฯ : โรงพิมพ์  
สจพ.
- [20] บุญชู ลีลาขจรจิต “การประยุกต์ใช้โปรแกรมภาษาเบสิกกับชิ้นงาน CNC รูปแพนอากาศ”  
วิทยานิพนธ์ วิศวกรรมศาสตรบัณฑิต สาขาวิศวกรรมเครื่องกล บัณฑิตวิทยาลัย สถาบัน  
เทคโนโลยีพระจอมเกล้าเจ้าคุณทหารลาดกระบัง
- [21] ปรียา ชุมทรัพย์ คณิตศาสตร์ เล่ม 1 สำนักพิมพ์ กรุงเทพฯ: สถาบันเทคโนโลยีพระจอมเกล้า  
พระนครเหนือ
- [22] พูลพงษ์ บุญพราหมณ์ คอมพิวเตอร์ช่วยงานอุตสาหกรรม กรุงเทพฯ: สมาคมส่งเสริมเทคโนโลยี  
(ไทย - ญี่ปุ่น)
- [23] โยธิน เปรมปราณีรัชต์ Numerical Control กรุงเทพฯ : คณะวิศวกรรมศาสตร์ สถาบันเทคโนโลยี  
พระจอมเกล้าวิทยาเขตเจ้าคุณทหารลาดกระบัง.
- [24] วิชัย ศิวรานนท์ 2541 “การ โปรแกรมและการจำลองภาพการทำงานของเครื่องกลึงซีเอ็นซี”  
วิทยานิพนธ์วิทยาศาสตรมหาบัณฑิต สาขาวิทยาการคอมพิวเตอร์และเทคโนโลยี  
สารสนเทศ บัณฑิตวิทยาลัย, สถาบันเทคโนโลยีพระจอมเกล้าเจ้าคุณทหารลาดกระบัง
- [25] วุฒิชัย กิปลกาญจน์ 2533 “กลไกและพลศาสตร์ของเครื่องจักรกล”  
สำนักพิมพ์ฟิสิกส์เซ็นเตอร์
- [26] วรวิทย์ อึ้งภากรณ์ และชาญ ถนัดงาน 2535 การออกแบบเครื่องจักรกล เล่ม 2. กรุงเทพฯ :  
บริษัท ซี เอ็ดดูเคชั่น จำกัด
- [27] สมยศ จันเกษม และ กิโยคัตสึ ซึง 2540 การออกแบบชิ้นส่วนเครื่องกล กรุงเทพฯ :  
พิมพ์ครั้งที่ 3 บริษัทสำนักพิมพ์ดวงกมล (2520) จำกัด
- [28] สมพัฒน์ รุ่งตะวันเรืองศรี เรียนรู้คอมพิวเตอร์กราฟิกส์ 2 มิติ ด้วยภาษาซี กรุงเทพฯ:  
บริษัท ซีเอ็ดดูเคชั่น จำกัด
- [29] อนันต์ วงศ์กระจ่าง, มนตรี บุญชูและยุทธนา หริรักษาพิทักษ์ 2526 เฟืองและเทคนิคการ  
ผลิตเฟือง กรุงเทพฯ: โรงพิมพ์ศรีสยาม
- [30] สุรชาติพิศ จิวชยากุล 2536 “ระบบซอฟต์แวร์เพื่อการใช้งานเครื่องมือกลควบคุมอัตโนมัติ  
ด้วยคอมพิวเตอร์ส่วนบุคคล” วิทยานิพนธ์ วิศวกรรมศาสตรมหาบัณฑิต สาขา  
วิศวกรรมไฟฟ้า บัณฑิตวิทยาลัย, สถาบันเทคโนโลยีพระจอมเกล้าเจ้าคุณทหาร  
ลาดกระบัง

- [31] อำนาง ทองแสน 2543 เทคโนโลยีคอมพิวเตอร์ ช่วยออกแบบและผลิต CAD / CAM Technology กรุงเทพฯ: พิมพ์ครั้งที่ 2 สำนักพิมพ์ สมาคมส่งเสริมเทคโนโลยี (ไทย - ญี่ปุ่น)



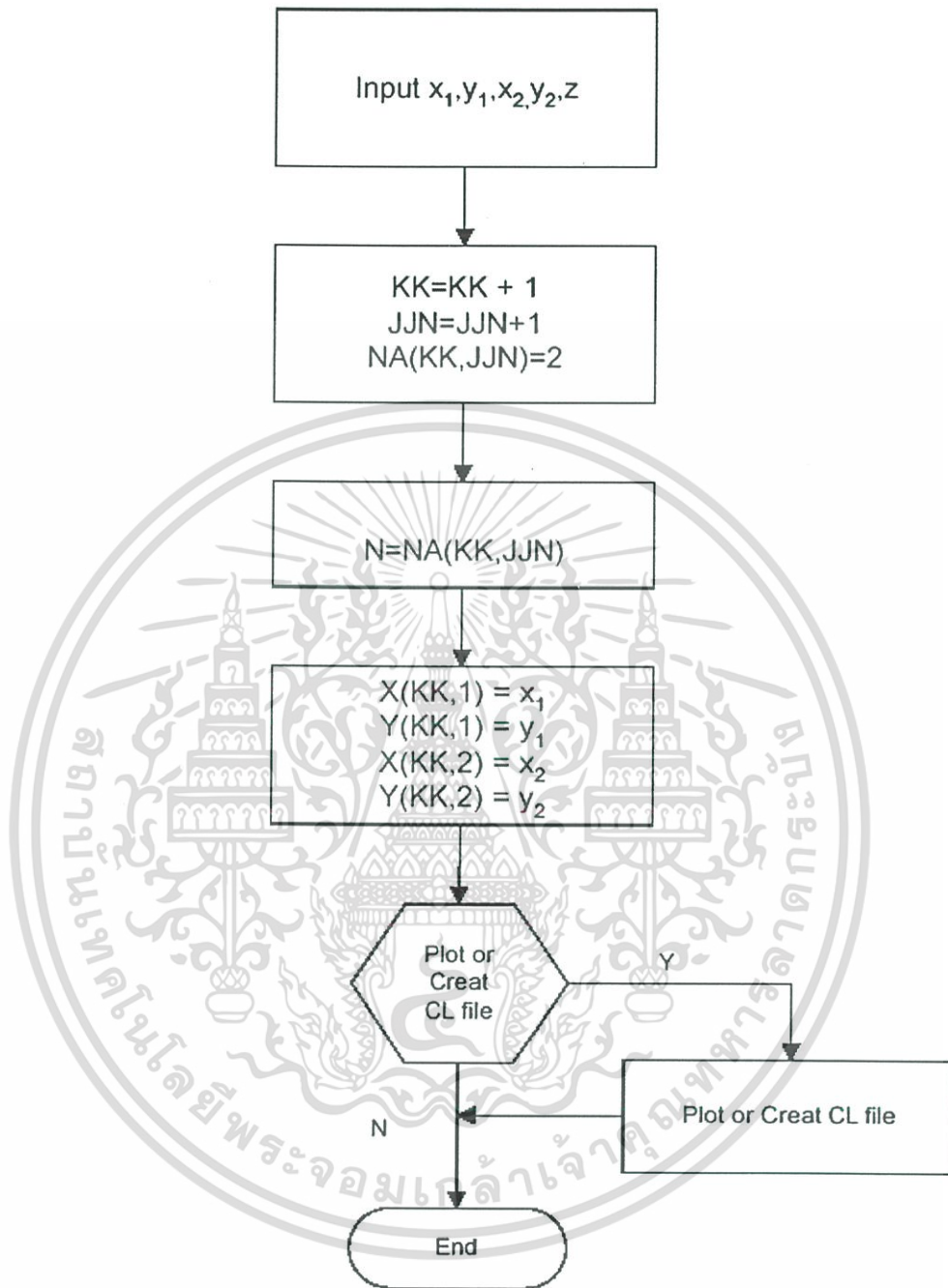
เอกสารนี้เป็นเอกสารที่สงวนไว้สำหรับการใช้งานเพื่อการศึกษาเท่านั้น ไม่อนุญาตให้นำไปใช้ประโยชน์ด้านการค้า  
ไม่ว่ากรณีใดๆ ทั้งสิ้น อีกทั้งห้ามมิให้ดัดแปลงเนื้อหา และต้องอ้างอิงถึงเจ้าของเอกสารทุกครั้งที่มีการนำไปใช้



เอกสารนี้เป็นเอกสารที่สงวนไว้สำหรับการใช้งานเพื่อการศึกษาเท่านั้น ไม่อนุญาตให้นำไปใช้ประโยชน์ด้านการค้า  
ไม่ว่ากรณีใดๆ ทั้งสิ้น อีกทั้งห้ามมิให้ดัดแปลงเนื้อหา และต้องอ้างอิงถึงเจ้าของเอกสารทุกครั้งที่มีการนำไปใช้



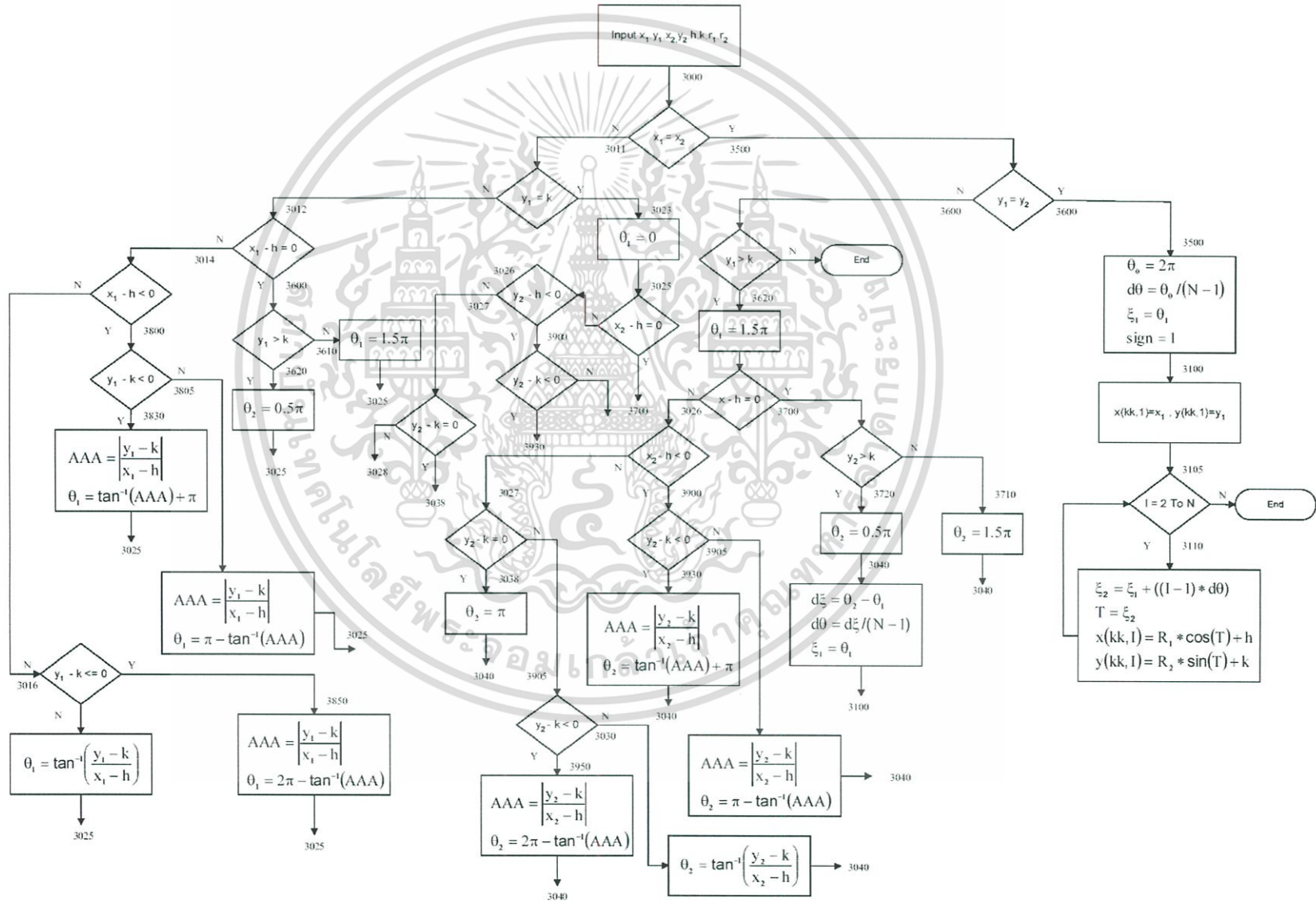
เอกสารนี้เป็นเอกสารที่สงวนไว้สำหรับการใช้งานเพื่อการศึกษาเท่านั้น ไม่อนุญาตให้นำไปใช้ประโยชน์ด้านการค้า  
ไม่ว่ากรณีใดๆ ทั้งสิ้น อีกทั้งห้ามมิให้ดัดแปลงเนื้อหา และต้องอ้างอิงถึงเจ้าของเอกสารทุกครั้งที่มีการนำไปใช้

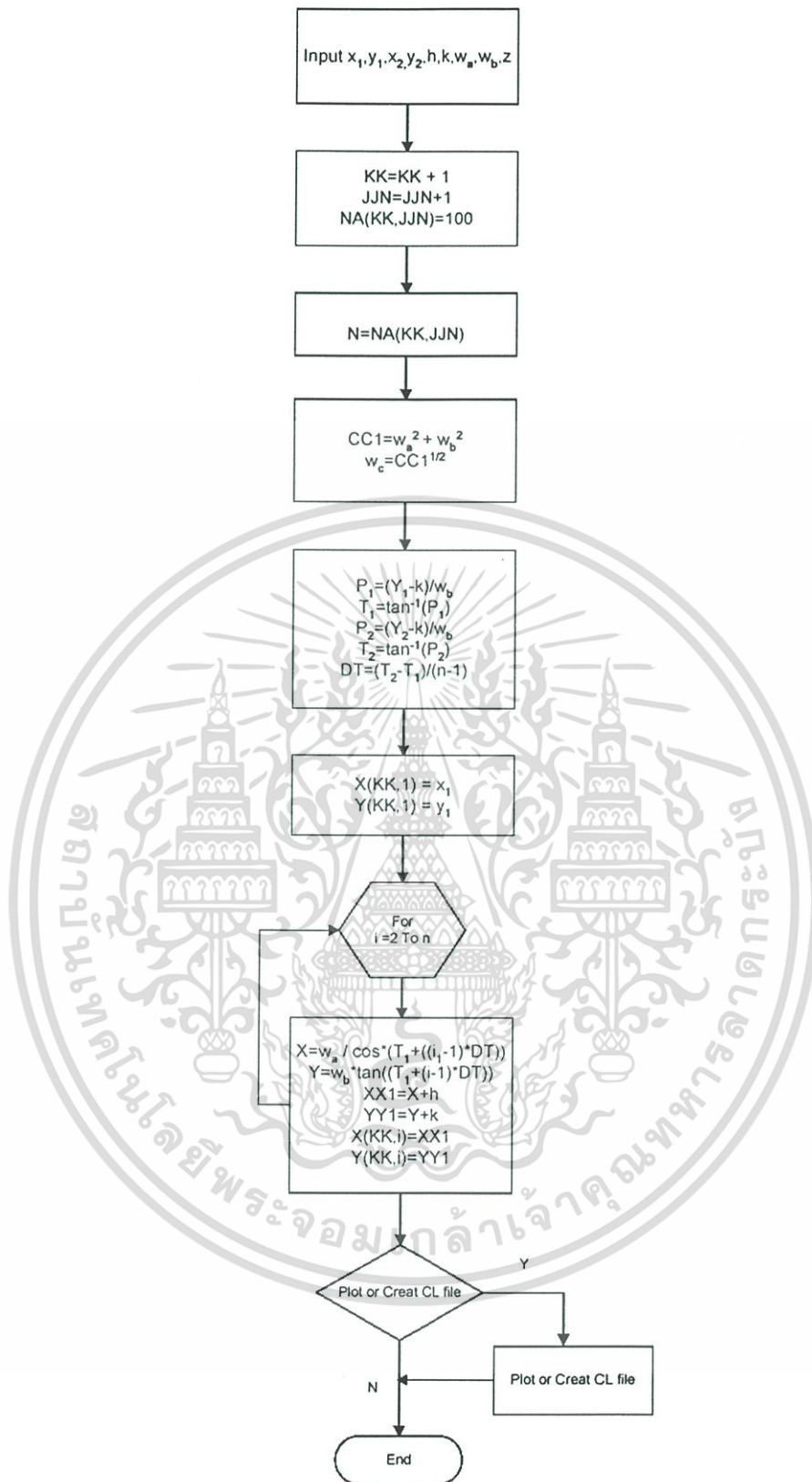


รูปที่ ก.1 แสดงขั้นตอนการทำงานของคำสั่งเส้นตรง

เอกสารนี้เป็นเอกสารที่สงวนไว้สำหรับการใช้งานเพื่อการศึกษาเท่านั้น ไม่อนุญาตให้นำไปใช้ประโยชน์ด้านการค้า ไม่ว่ากรณีใดๆ ทั้งสิ้น อีกทั้งห้ามมิให้ดัดแปลงเนื้อหา และต้องอ้างอิงถึงเจ้าของเอกสารทุกครั้งที่มีการนำไปใช้

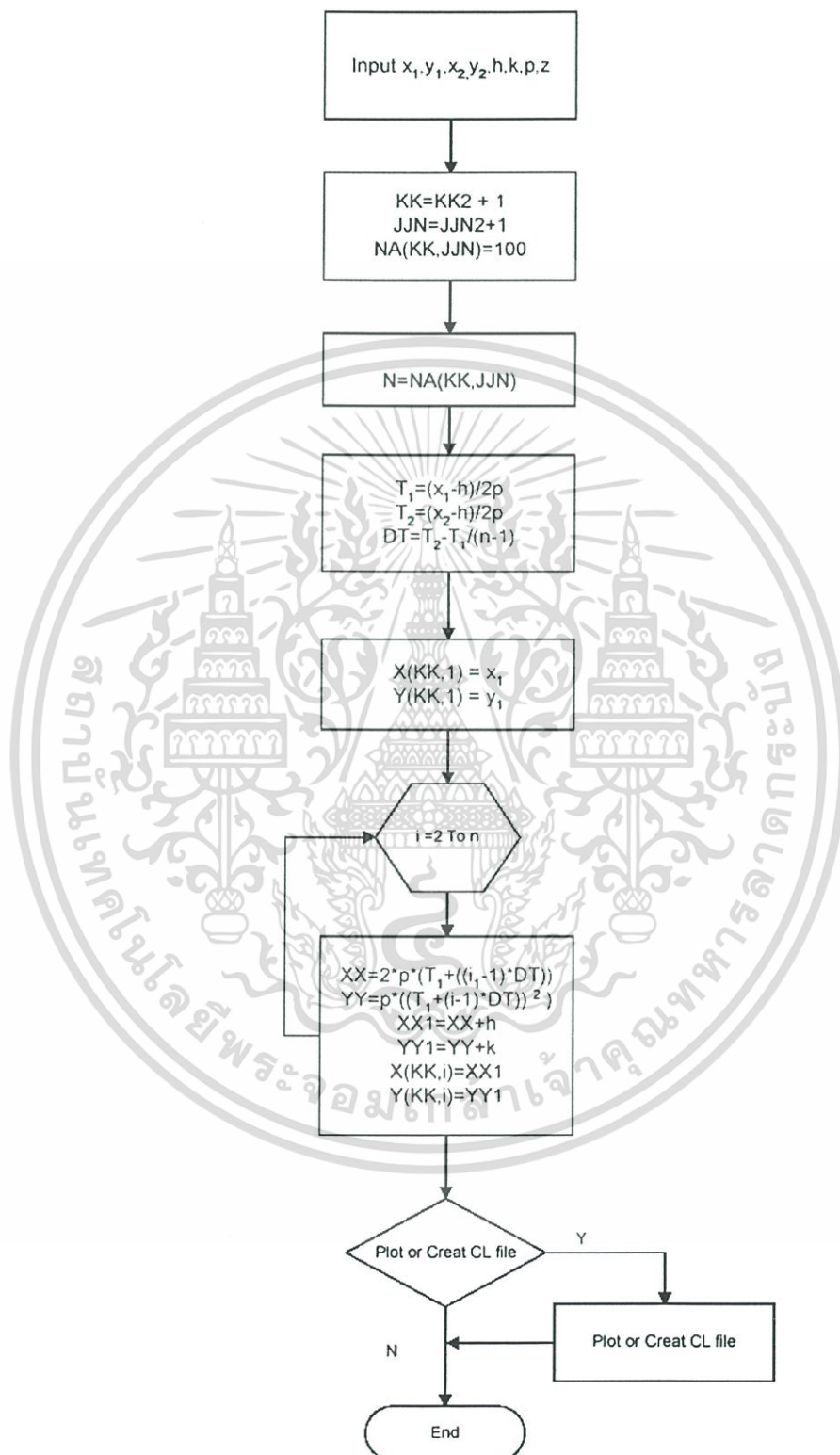
รูปที่ ก.2 แสดงขั้นตอนการทำงานของอัลกอริทึมและวงจร



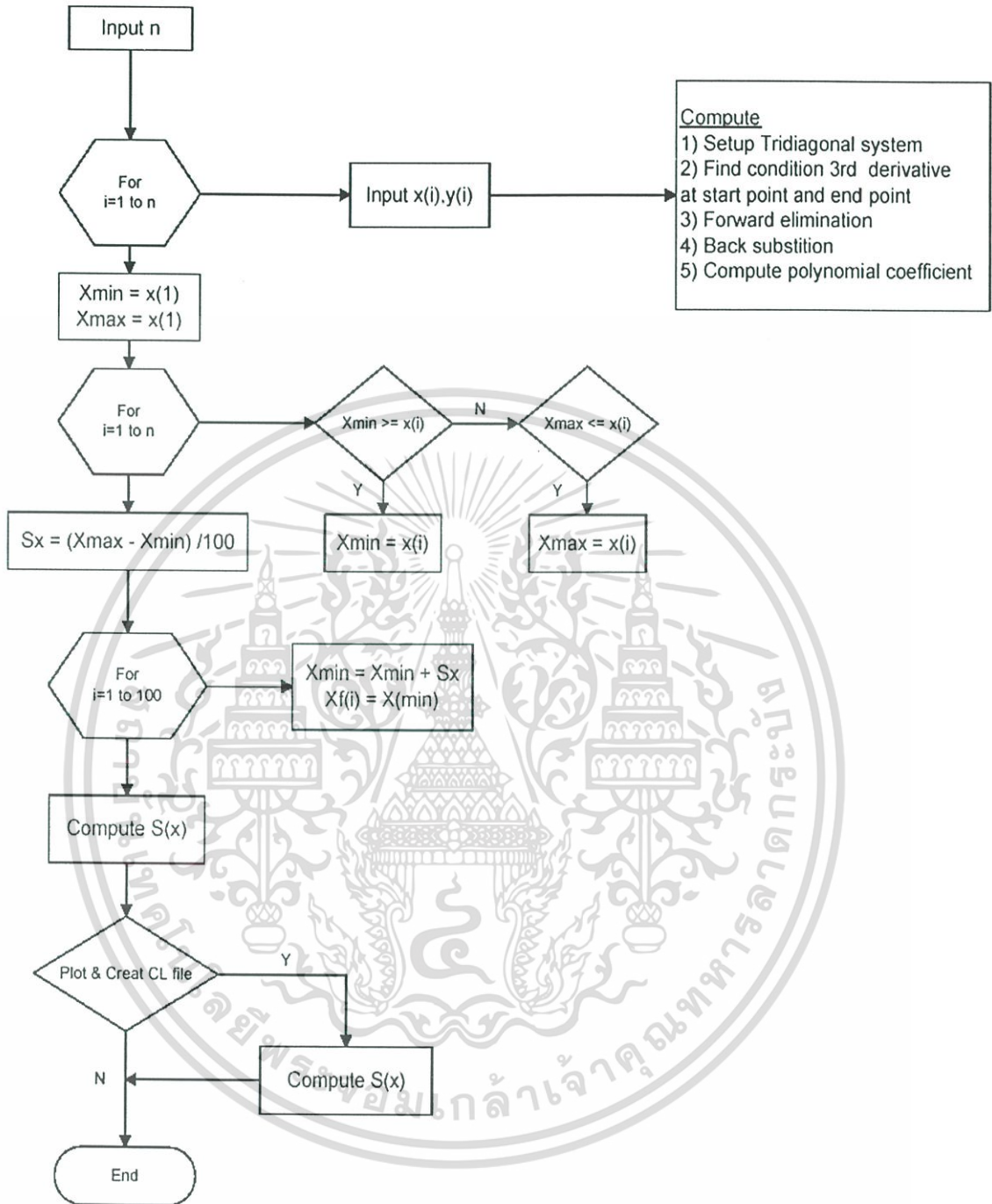


รูปที่ ก.3 แสดงขั้นตอนการทำงานของคำสั่งพาราโบลา

เอกสารนี้เป็นเอกสารที่สงวนไว้สำหรับการใช้งานเพื่อการศึกษาเท่านั้น ไม่อนุญาตให้นำไปใช้ประโยชน์ด้านการค้า ไม่ว่าจะกรณีใดๆ ทั้งสิ้น อีกทั้งห้ามมิให้ดัดแปลงเนื้อหา และต้องอ้างอิงถึงเจ้าของเอกสารทุกครั้งที่มีการนำไปใช้

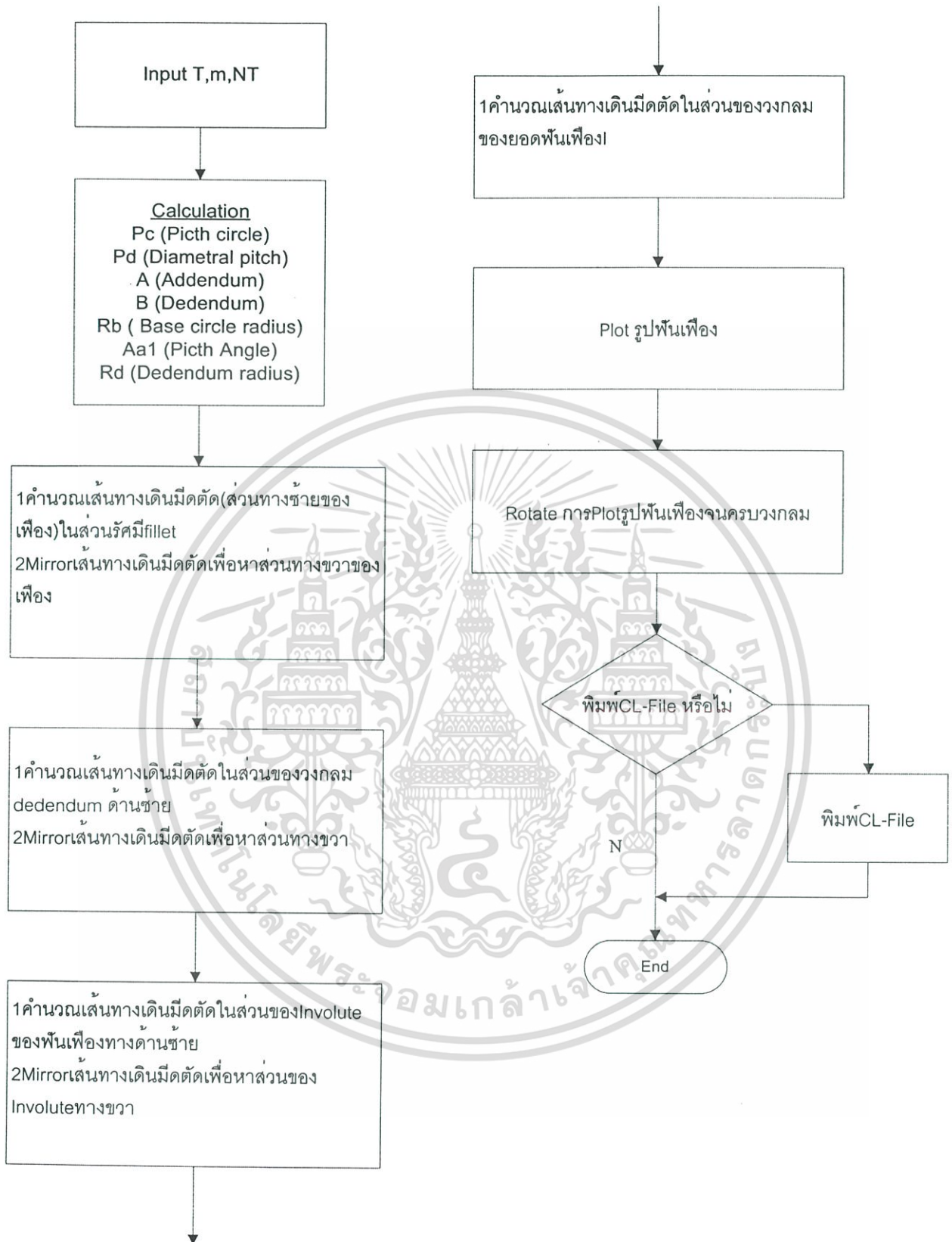


เอกสารนี้เป็นเอกสารที่สงวนไว้สำหรับการใช้งานที่อาจารย์ผู้สอนเท่านั้น ไม่สามารถนำไปใช้ประโยชน์ด้านการค้า  
**รูปที่ ก.4** แสดงขั้นตอนการทำงานของคำสั่งไฮเพอร์โบล่า  
 ไม่ว่าจะกรณีใดๆ ทั้งสิ้น อีกทั้งห้ามมิให้ดัดแปลงเนื้อหา และต้องอ้างอิงถึงเจ้าของเอกสารทุกครั้งที่มีการนำไปใช้



รูปที่ ก.5 แสดงขั้นตอนการทำงานของคำสั่ง spline

เอกสารนี้เป็นเอกสารที่สงวนไว้สำหรับการใช้งานเพื่อการศึกษาเท่านั้น ไม่อนุญาตให้นำไปใช้ประโยชน์ด้านการค้า ไม่ว่าจะกรณีใดๆ ทั้งสิ้น อีกทั้งห้ามมิให้ดัดแปลงเนื้อหา และต้องอ้างอิงถึงเจ้าของเอกสารทุกครั้งที่มีการนำไปใช้



รูปที่ ก.6 แสดงขั้นตอนการทำงานของคำสั่งเฟืองตรง

เอกสารนี้เป็นเอกสารที่สงวนไว้สำหรับการใช้งานเพื่อการศึกษาเท่านั้น ไม่อนุญาตให้นำไปใช้ประโยชน์ด้านการค้า ไม่ว่ากรณีใดๆ ทั้งสิ้น อีกทั้งห้ามมิให้ดัดแปลงเนื้อหา และต้องอ้างอิงถึงเจ้าของเอกสารทุกครั้งที่มีการนำไปใช้



เอกสารนี้เป็นเอกสารที่สงวนไว้สำหรับการใช้งานเพื่อการศึกษาเท่านั้น ไม่อนุญาตให้นำไปใช้ประโยชน์ด้านการค้า  
ไม่ว่ากรณีใดๆ ทั้งสิ้น อีกทั้งห้ามมิให้ดัดแปลงเนื้อหา และต้องอ้างอิงถึงเจ้าของเอกสารทุกครั้งที่มีการนำไปใช้

## ตัวอย่างการเขียนโปรแกรมคำสั่งเส้นตรง

Private Sub Line()

2000: KK = KK1 + 1: JJN = JJN1 + 1: NA(KK, JJN) = 2

n = NA(KK, JJN)

X(KK, 1) = X1: Y(KK, 1) = Y1

X(KK, 2) = X2: Y(KK, 2) = Y2

G7000

G8000

End Sub

## ตัวอย่างการเขียนโปรแกรมคำสั่งวงกลมและวงรี

Private Sub CirclePlot()

On Error GoTo Err

3000: Rem CIRCLE

3002: KK = KK1 + 1: JJN = JJN1 + 1: NA(KK, JJN) = 100

3005: n = NA(KK, JJN)

3010: If X2 = X1 Then GoTo 3500

3012: If (X1 - H) = 0 Then GoTo 3600

3014: If (X1 - H) < 0 Then GoTo 3800

3016: If (Y1 - K) <= 0 Then GoTo 3850

3020: THETA1 = Atn((Y1 - K) / (X1 - H))

3025: If (X2 - H) = 0 Then GoTo 3700

3026: If (X2 - H) < 0 Then GoTo 3900

3027: If (Y2 - K) <= 0 Then GoTo 3950

'K3-Code

3030: THETA2 = Atn((Y2 - K) / (X2 - H))

3040: dZeta = THETA2 - THETA1

3050: dTHETA = dZeta / (n - 1): Zeta1 = THETA1

เอกสารนี้เป็นเอกสารที่สงวนไว้สำหรับการใช้งานเพื่อการศึกษาเท่านั้น ไม่อนุญาตให้นำไปใช้ประโยชน์ด้านการค้า  
ไม่ว่ากรณีใดๆ ทั้งสิ้น อีกทั้งห้ามมิให้ดัดแปลงเนื้อหา และต้องอ้างอิงถึงเจ้าของเอกสารทุกครั้งที่มีการนำไปใช้

```

3100:  X(KK, 0) = X1: Y(KK, 0) = Y1
3105:  For i = 1 To n
3110:      Zeta2 = Zeta1 + ((i - 1) * dTHETA): T = Zeta2
3120:      X(KK, i) = R1 * Cos(T) + H
3130:      Y(KK, i) = R2 * Sin(T) + K
3150:  Next i
      C7000
      Exit Sub
3500:  If Y2 = Y1 Then THETA0 = 2 * 3.14159: Rem 360 degrees
3510:  dTHETA = THETA0 / (n - 1): Zeta1 = THETA1
3520:  SIGN = 1: GoTo 3100
3530: 'End

3600:  If Y1 > K Then GoTo 3620
3610:  THETA1 = 1.5 * 3.14159: GoTo 3025
3620:  THETA1 = 0.5 * 3.14159: GoTo 3025

3700:  If Y2 > K Then GoTo 3720
3710:  THETA2 = 1.5 * 3.14159: GoTo 3040
3720:  THETA2 = 0.5 * 3.14159: GoTo 3040

3800:  If Y1 - K < 0 Then GoTo 3830
3805:  AAA = Abs((Y1 - K) / (X1 - H))
3810:  THETA1 = (3.14159 - Atn(AAA))
3820:  GoTo 3025

3830:  AAA = Abs((Y1 - K) / (X1 - H))
3835:  THETA1 = (Atn(AAA) + 3.14159)
3840:  GoTo 3025

```

เอกสารนี้เป็นเอกสารที่สงวนไว้สำหรับการใช้งานเพื่อการศึกษาเท่านั้น ไม่อนุญาตให้นำไปใช้ประโยชน์ด้านการค้า  
ไม่ว่ากรณีใดๆ ทั้งสิ้น อีกทั้งห้ามมิให้ดัดแปลงเนื้อหา และต้องอ้างอิงถึงเจ้าของเอกสารทุกครั้งที่มีการนำไปใช้

3850:  $AAA = \text{Abs}((Y1 - K) / (X1 - H))$   
 3860:  $THETA1 = ((2 * 3.14159) - \text{Atn}(AAA))$   
 3870: GoTo 3025  
  
 3900: If  $Y2 - K < 0$  Then GoTo 3930  
 3905:  $AAA = \text{Abs}((Y2 - K) / (X2 - H))$   
 3910:  $THETA2 = (3.14159 - \text{Atn}(AAA))$   
 3920: GoTo 3040

3930:  $AAA = \text{Abs}((Y2 - K) / (X2 - H))$   
 3935:  $THETA2 = (\text{Atn}(AAA) + 3.14159)$   
 3940: GoTo 3040  
  
 3950:  $AAA = \text{Abs}((Y2 - K) / (X2 - H))$   
 3960:  $THETA2 = ((2 * 3.14159) - \text{Atn}(AAA))$   
 3970: GoTo 3040  
 Err: Exit Sub  
 End Sub

ตัวอย่างการเขียนโปรแกรมคำสั่งพาราโบลา

Private Sub G4000() '====Parametric PARABOLA Equation=====

On Error GoTo Err

KK = KK2 + 1: JJN = JJN2 + 1: NA(KK, JJN) = 100

n = NA(KK, JJN)

T1 =  $(X1 - H) / (2 * p)$

T2 =  $(X2 - H) / (2 * p)$

DT =  $(T2 - T1) / (n - 1)$

X(KK, 1) = X1: Y(KK, 1) = Y1

เอกสารนี้เป็นเอกสารที่สงวนไว้สำหรับการใช้งานเพื่อการศึกษาเท่านั้น ไม่อนุญาตให้นำไปใช้ประโยชน์ด้านการค้า  
 ไม่ว่ากรณีใดๆ ทั้งสิ้น อีกทั้งห้ามมิให้ดัดแปลงเนื้อหา และต้องอ้างอิงถึงเจ้าของเอกสารทุกครั้งที่มีการนำไปใช้

```

For i = 2 To n
    XX = 2 * p * (T1 + ((i - 1) * DT))
    YY = p * ((T1 + ((i - 1) * DT)) ^ 2)
    XX1 = XX + H: YY1 = YY + K
    X(KK, i) = XX1: Y(KK, i) = YY1
Next i
G7000

```

```

Err:          Exit Sub
End Sub

```

ตัวอย่างการเขียนโปรแกรมคำสั่งไฮเพอร์โบลา

```
Private Sub G5000(): 'Rem PARAMETRIC HYPERBOLA
```

```
On Error GoTo Err
```

```
If KK = 0 Then KK = KK + 1
```

```
If JJN = 0 Then JJN = JJN + 1
```

```
NA(KK, JJN) = 100
```

```
n = NA(KK, JJN)
```

```
CC1 = (wa ^ 2) + (WB ^ 2): WC = Sqr(CC1)
```

```
P1 = (Y1 - K) / WB: T1 = Atn(P1)
```

```
P2 = (Y2 - K) / WB: T2 = Atn(P2)
```

```
DT = (T2 - T1) / (n - 1)
```

```
X(KK, 1) = X1: Y(KK, 1) = Y1
```

```
For i = 2 To n
```

```
Xi1 = wa / Cos(T1 + ((i - 1) * DT))
```

```
Yi1 = WB * Tan(T1 + ((i - 1) * DT))
```

```
XX1 = Xi1 + H: YY1 = Yi1 + K
```

```
X(KK, i) = XX1: Y(KK, i) = YY1
```

```
Next i
```

เอกสารนี้เป็นเอกสารที่สงวนไว้สำหรับการใช้งานเพื่อการศึกษาเท่านั้น ไม่อนุญาตให้นำไปใช้ประโยชน์ด้านการค้า  
ไม่ว่ากรณีใดๆ ทั้งสิ้น อีกทั้งห้ามมิให้ดัดแปลงเนื้อหา และต้องอ้างอิงถึงเจ้าของเอกสารทุกครั้งที่มีการนำไปใช้

G7000

Err: Exit Sub

End Sub

ตัวอย่างการเขียนโปรแกรมคำสั่งสไปลน์

Public Sub Sp15000()

n = txtN.Text

Xmin = flng\_Min

Xmax = flng\_Max

MsgBox "n " &amp; n

If n &lt; 1 Or n &gt; 100 Then End

For i = 1 To n

Xxi(i) = Fg\_SplineInput.TextMatrix(i, 1)

Yxi(i) = Fg\_SplineInput.TextMatrix(i, 2)

Next i

Coefficients

G1000

G7000

G8000

End Sub

Private Sub Coefficients()

10 Rem PROGRAM FOR PARAMETRIC CUBIC SPLINE

122 Rem SUBROUTINE SPLINE

130 NM1 = n - 1

140 If n &lt; 2 Then End

150 If n &lt; 3 Then

560 Bxi(1) = (Yxi(2) - Yxi(1)) / (Xxi(2) - Xxi(1))

570 Cxi(1) = 0

580 Dxi(1) = 0

เอกสารนี้เป็นเอกสารที่สงวนไว้สำหรับการใช้งานเพื่อการศึกษาเท่านั้น ไม่อนุญาตให้นำไปใช้ประโยชน์ด้านการค้า  
ไม่ว่ากรณีใดๆ ทั้งสิ้น อีกทั้งห้ามมิให้ดัดแปลงเนื้อหา และต้องอ้างอิงถึงเจ้าของเอกสารทุกครั้งที่มีการนำไปใช้

```

590    Bxi(2) = Bxi(1)
600    Cxi(2) = 0
610    Dxi(2) = 0
        InputData
    End If
    If n >= 3 Then
160 Rem SET UP TRIDIAGONAL SYSTEM
170 Rem Bxi=DIAGONAL,Dxi=OFFDIAGONAL,Cxi =RIGHT HAND SIDE
180 Dxi(1) = Xxi(2) - Xxi(1)
190 Cxi(2) = (Yxi(2) - Yxi(1)) / Dxi(1)
200 For i = 2 To NM1
210 Dxi(i) = Xxi(i + 1) - Xxi(i)
220 Bxi(i) = 2 * (Dxi(i - 1) + Dxi(i))
230 Cxi(i + 1) = (Yxi(i + 1) - Yxi(i)) / Dxi(i)
240 Cxi(i) = Cxi(i + 1) - Cxi(i)
250 Next i
260 Rem CONDITIONS, THIRD DERIVATIVE AT Xxi(1) AND Xxi(N)
270 Bxi(1) = -Dxi(1)
280 Bxi(n) = -Dxi(n - 1)
290 Cxi(1) = 0
300 Cxi(n) = 0
310 If (n = 3) Then GoTo 370
320 Cxi(1) = Cxi(3) / (Xxi(4) - Xxi(2)) - Cxi(2) / (Xxi(3) - Xxi(1))
330 Cxi(n) = Cxi(n - 1) / (Xxi(n) - Xxi(n - 2)) - Cxi(n - 2) / (Xxi(n - 1) - Xxi(n - 3))
340 Cxi(1) = Cxi(1) * Dxi(1) ^ 2 / (Xxi(4) - Xxi(1))
350 Cxi(n) = -Cxi(n) * (Dxi(n - 1) ^ 2) / (Xxi(n) - Xxi(n - 3))
360 Rem FORWARD ELIMINATION
370 For i = 2 To n
380 T = Dxi(i - 1) / Bxi(i - 1)

```

```

390 Bxi(i) = Bxi(i) - T * Dxi(i - 1)
400 Cxi(i) = Cxi(i) - T * Cxi(i - 1)
405 Next i
410 Rem BACK SUBSTITUTION
420 Cxi(n) = Cxi(n) / Bxi(n)
430 For IB = 1 To NM1
440 i = n - IB
450 Cxi(i) = (Cxi(i) - Dxi(i) * Cxi(i + 1)) / Bxi(i)
460 Next IB
470 Rem COMPUTE POLYNOMIAL COEFFICIENTS
480 Bxi(n) = (Yxi(n) - Yxi(NM1)) / Dxi(NM1) + Dxi(NM1) * (Cxi(NM1) + 2 * Cxi(n))
490 For i = 1 To NM1
500 Bxi(i) = (Yxi(i + 1) - Yxi(i)) / Dxi(i) - Dxi(i) * (Cxi(i + 1) + 2 * Cxi(i))
510 Dxi(i) = (Cxi(i + 1) - Cxi(i)) / Dxi(i)
515 Cxi(i) = 3 * Cxi(i)
520 Next i
530 Cxi(n) = 3 * Cxi(n)
540 Dxi(n) = Dxi(n - 1)
    InputData
    End If
    End Sub

Private Sub InputData()
75 XMIN1 = flng_Min
MsgBox "Xmin " & flng_Min
80 SX = (flng_Max - flng_Min) / 100
83 For i = 1 To 100
84 XMIN1 = XMIN1 + SX
85 Xf(i) = XMIN1
88 Next i

```

เอกสารนี้เป็นเอกสารที่สงวนไว้สำหรับการใช้งานเพื่อการศึกษาเท่านั้น ไม่อนุญาตให้นำไปใช้ประโยชน์ด้านการค้า  
ไม่ว่ากรณีใดๆ ทั้งสิ้น อีกทั้งห้ามมิให้ดัดแปลงเนื้อหา และต้องอ้างอิงถึงเจ้าของเอกสารทุกครั้งที่มีการนำไปใช้

89  $Xf(0) = Xmin$

Evaluates

End Sub

Private Sub Evaluates()

Dim Dx(101) As Variant

Dim S(101) As Variant

640 Rem SUBROUTINE FOR EVALUATES CUBIC SPLINE FUNCTION

KK = 1

641 For Z = 0 To 100

642 Uxi(Z) = Xf(Z)

650 If i >= n Then i = 1

660 If Uxi(Z) < Xxi(i) Then GoTo 680

670 If Uxi(Z) <= Xxi(i + 1) Then GoTo 740

680 i = 1

690 J = n + 1

700 K = (i + J) / 2

710 If (Uxi(Z) < Xxi(K)) Then J = K

720 If (Uxi(Z) >= Xxi(K)) Then i = K

730 If (J > i + 1) Then GoTo 700

740 Dx(Z) = Uxi(Z) - Xxi(i)

750 S(Z) = Yxi(i) + Dx(Z) \* (Bxi(i) + Dx(Z) \* (Cxi(i) + Dx(Z) \* Dxi(i)))

X(KK, i) = Uxi(Z)

Y(KK, i) = S(Z)

KK = KK + 1

752 Next Z

JJN = KK

End Sub

ตัวอย่างการเขียน โปรแกรมคำสั่งเฟืองตรง

Public Sub G10000() 'Rem \*PROGRAM GEAR\*

On Error GoTo Err

P1 = 3.141593 / 180: Picture1.Cls

FixCoordinates

T = Round(TgT.Text, 3): 'INPUT "PRESSURE ANGLE = "; T

Md = Round(TgMd.Text, 3): 'INPUT "MODULE = "; m

NT = Round(TgNT.Text, 3): 'INPUT "NUMBER OF TEETH ="; NT

PC = 3.141593 \* Md

Pd = 3.141593 / PC

D = Md \* NT

A = 1 / Pd

B = 1.25 / Pd

R1 = D / 2

Rb = R1 \* Cos(T \* P1)

Ra = R1 + A

Rd = R1 - B

Aa1 = 360 / NT

Aa2 = Aa1 / 4

A1 = 90 + Aa2: A2 = 60

A3 = (A1 - A2) / 100

xadj = 1 'X-adjusting coeff.

adj = 1 'Y-adjusting coeff.

DLtime = 1000

G13200

G17000

G15000: G18000: G10899

Err: Exit Sub

End Sub

เอกสารนี้เป็นเอกสารที่สงวนไว้สำหรับการใช้งานเพื่อการศึกษาเท่านั้น ไม่อนุญาตให้นำไปใช้ประโยชน์ด้านการค้า  
ไม่ว่ากรณีใดๆ ทั้งสิ้น อีกทั้งห้ามมิให้ดัดแปลงเนื้อหา และต้องอ้างอิงถึงเจ้าของเอกสารทุกครั้งที่มีการนำไปใช้

```
' Rem * SUBROUTINE INVOLU - PLOTS GEAR TOOTH INVOLUTE*
```

```
Private Sub G13200()
```

```
On Error GoTo Err
```

```
NG = 255: Sgp = 0: KGp = 1
```

```
KKG = (90 + Aa2)
```

```
Tp1(1) = R1 * Cos(KKG * P1)
```

```
Tp2(1) = R1 * Sin(KKG * P1)
```

```
For J = 1 To NG
```

```
    Sgp = Sgp + 1: KGp = KGp + 1
```

```
    A4 = A1 - (J - 1) * A3
```

```
    L = R1 * 0.017453 * (J - 1) * A3
```

```
    If KGp <= NG Then
```

```
        Tp1(KGp) = Rb * Cos(A4 * P1) - L * Cos((A4 - 90) * P1)
```

```
        Tp2(KGp) = Rb * Sin(A4 * P1) - L * Sin((A4 - 90) * P1)
```

```
        XX = Tp1(KGp): YY = Tp2(KGp)
```

```
        rr = Sqr(XX * XX + (YY * YY))
```

```
        rr1 = rr - R1
```

```
        rr2 = R1 - rr1
```

```
        If rr2 <= Rb Then G13300
```

```
    Else
```

```
        Exit Sub
```

```
    End If
```

```
Next J
```

```
Err:      Exit Sub
```

```
End Sub
```

```
Private Sub G17000()
```

```
On Error GoTo Err
```

```
ss = 2 * Sg
```

```
For i = 1 To Sg
```

```
    w = ss + 1
```

```
    T3(w - i) = -T3(i)
```

```
    T4(w - i) = T4(i)
```

```
Next i
```

เอกสารนี้เป็นเอกสารที่สงวนไว้สำหรับการใช้งานเพื่อการศึกษาเท่านั้น ไม่อนุญาตให้นำไปใช้ประโยชน์ด้านการค้า  
ไม่ว่ากรณีใดๆ ทั้งสิ้น อีกทั้งห้ามมิให้ดัดแปลงเนื้อหา และต้องอ้างอิงถึงเจ้าของเอกสารทุกครั้งที่มีการนำไปใช้

```

Err:      Exit Sub

End Sub

Private Sub G15000() 'Rem * SUBROUTINE CIRCLE *" Part of Gear
ANG = 2 * Aa2
ANG1 = ANG / 20
For J = 1 To 19 Step 1
    JJ = (A10) + (ANG1 * J)
    DDX3(J) = (Rd * Cos(JJ * P1))
    DDY3(J) = (Rd * Sin(JJ * P1))
Next J

Err:      Exit Sub

End Sub

Private Sub G18000()
'18000 -----
AB1 = Aa2 / 2: Rfillet = Rd * Sin(AB1 * P1)
ABG1 = AB1 / 10
Rf1 = Rd + Rfillet: JJ1 = 90 + Aa2
DDX4 = Rf1 * Cos(JJ1 * P1): DDX3(1) = DDX4
DDY4 = Rf1 * Sin(JJ1 * P1): DDY3(1) = DDY4
H401 = DDX4 - (Rfillet * Cos(Aa2 * P1))
K401 = DDY4 - (Rfillet * Sin(Aa2 * P1))
ABG2 = (90 / 10): NJ3 = 1
For J = 2 To 10
    NJ3 = NJ3 + 1
    JJ3 = Aa2 - (J * ABG2)
    DDX5 = Rfillet * Cos(JJ3 * P1)
    DDY5 = Rfillet * Sin(JJ3 * P1)
    DDX3(NJ3) = DDX5 + H401
    DDY3(NJ3) = DDY5 + K401
'Print NJ3; " "; DDX3(NJ3); ","; DDY3(NJ3),
'Picture1.PSet (Q1(ss), Q2(ss)), RGB(215, 0, 215)

```

Next J

เอกสารนี้เป็นเอกสารที่สงวนไว้สำหรับการใช้งานเพื่อการศึกษาเท่านั้น ไม่อนุญาตให้นำไปใช้ประโยชน์ด้านการค้า  
 For i = 2 To 21  
 ไม่ว่าจะกรณีใดๆ ทั้งสิ้น อีกทั้งห้ามมิให้ดัดแปลงเนื้อหา และต้องอ้างอิงถึงเจ้าของเอกสารทุกครั้งที่มีการนำไปใช้

```

NJ3 = NJ3 + 1
II3 = (90 + (1.5 * Aa2)) + (ABG1 * (i - 1))
DDX3(NJ3) = Rd * Cos(II3 * P1)
DDY3(NJ3) = Rd * Sin(II3 * P1)
'Print NJ3; " "; DDX3(NJ3); ", "; DDY3(NJ3),

```

```
Next i
```

```

Aa3 = 3 * Aa2: JJ2 = 90 + Aa3
DDX4 = Rf1 * Cos(JJ2 * P1)
DDY4 = Rf1 * Sin(JJ2 * P1)
H402 = DDX4 + (Rfillet * Cos(Aa3 * P1))
K402 = DDY4 + (Rfillet * Sin(Aa3 * P1))

```

```
For J = 2 To 10
```

```

NJ3 = NJ3 + 1
JJ3 = ((2 * Aa2) - 90) - (J * ABG2)
DDX5 = Rfillet * Cos(JJ3 * P1)
DDY5 = Rfillet * Sin(JJ3 * P1)
DDX3(NJ3) = DDX5 + H402
DDY3(NJ3) = DDY5 + K402

```

```
Next J
```

```

NJ3 = NJ3 + 1
X1 = -DDX6
Y1 = DDY6
DDX3(NJ3) = Cos(Aa1 * P1) * X1 - Sin(Aa1 * P1) * Y1
DDY3(NJ3) = Sin(Aa1 * P1) * X1 + Cos(Aa1 * P1) * Y1

```

```
End Sub
```

```
Private Sub G10899() '-----PLOT GEAR -----
```

```
On Error GoTo Err
```

```
FixCoordinates
```

```
KK = KK + 1: NNG = 0
```

```
n = 300
```

```
For i = 1 To ss
```

```
' NNG = NNG + 1
```

เอกสารนี้เป็นเอกสารที่สงวนไว้สำหรับการใช้งานเพื่อการศึกษาเท่านั้น ไม่อนุญาตให้นำไปใช้ประโยชน์ด้านการค้า  
 Q1(i) = T3(i)  
 ไม่ว่าจะกรณีใดๆ ทั้งสิ้น อีกทั้งห้ามมิให้ดัดแปลงเนื้อหา และต้องอ้างอิงถึงเจ้าของเอกสารทุกครั้งที่มีการนำไปใช้

$$Q11 = Q1(i) * 1000$$

$$Q12 = \text{Int}(Q11)$$

$$Q13 = Q12 / 1000$$

$$Q1(i) = Q13$$

$$Q2(i) = T4(i)$$

$$Q21 = Q2(i) * 1000$$

$$Q22 = \text{Int}(Q21)$$

$$Q23 = Q22 / 1000$$

$$Q2(i) = Q23$$

Next i

Picture1.PSet (Q1(ss), Q2(ss)), RGB(215, 0, 215)

For K = ss To 1 Step -1

$$NNG = NNG + 1: X(KK, NNG) = Q1(K): Y(KK, NNG) = Q2(K)$$

$$Xi1 = Q1(K): Yi1 = Q2(K)$$

Next K

For II = 1 To 43

$$Q3(II) = \text{DDX3}(II)$$

$$Q31 = Q3(II) * 1000$$

$$Q32 = \text{Int}(Q31)$$

$$Q33 = Q32 / 1000$$

$$Q3(II) = Q33$$

$$Q4(II) = \text{DDY3}(II)$$

$$Q41 = Q4(II) * 1000$$

$$Q42 = \text{Int}(Q41)$$

$$Q43 = Q42 / 1000$$

$$Q4(II) = Q43$$

Next II

Picture1.PSet (Q3(1), Q4(1)), RGB(215, 0, 215)

For KKG = 1 To 43

$$Xi1 = Q3(KKG): Yi1 = Q4(KKG)$$

เอกสารนี้เป็นเอกสารที่สงวนไว้สำหรับการใช้งานเพื่อการศึกษาเท่านั้น ไม่อนุญาตให้นำไปใช้ประโยชน์ด้านการค้า  
 NNG = NNG + 1: X(KK, NNG) = Q3(KKG): Y(KK, NNG) = Q4(KKFG)  
 ไม่ว่าจะกรณีใดๆ ทั้งสิ้น อีกทั้งห้ามมิให้ดัดแปลงเนื้อหา และต้องอ้างอิงถึงเจ้าของเอกสารทุกครั้งที่มีการนำไปใช้

Next KKG

If NNG > n Then GoTo G12000

XXG = X(KK, NNG): YYG = Y(KK, NNG): NG2 = n - NNG: NNG2 = NNG

For i = 1 To NG2

NNG3 = NNG2 + i: X(KK, NNG3) = XXG: Y(KK, NNG3) = YYG

Next i

X(KK, n) = XXG: Y(KK, n) = YYG

G12000: For C3 = Aa1 To 360 Step Aa1

KK = KK + 1: NNG = 0

n = 300

For i = 1 To ss

X1 = T3(i)

Y1 = T4(i)

G16500

Q1(i) = X2

Q11 = Q1(i) \* 1000

Q12 = Int(Q11)

Q13 = Q12 / 1000

Q1(i) = Q13

Q2(i) = Y2

Q21 = Q2(i) \* 1000

Q22 = Int(Q21)

Q23 = Q22 / 1000

Q2(i) = Q23

Next i

For K = ss To 1 Step -1

'Print #iFileNum, ss; KK; NNG; Chr\$(13)

'Picture1.Line -(xadj \* Q1(K), adj \* Q2(K))

'-----

NNG = NNG + 1: X(KK, NNG) = Q1(K): Y(KK, NNG) = Q2(K)

Xi1 = Q1(K): Yi1 = Q2(K)

'If Xi1 <> 0 Then X9 = (Xi1)

'If Yi1 <> 0 Then Y9 = (Yi1)

เอกสารนี้เป็นเอกสารที่สงวนไว้สำหรับการใช้งานเพื่อการศึกษาเท่านั้น ไม่อนุญาตให้นำไปใช้ประโยชน์ด้านการค้า  
ไม่ว่ากรณีใดๆ ทั้งสิ้น อีกทั้งห้ามมิให้ดัดแปลงเนื้อหา และต้องอ้างอิงถึงเจ้าของเอกสารทุกครั้งที่มีการนำไปใช้

```
'Picture1.Line -(X9, Y9), RGB(215, 0, 215)
```

```
For m = 1 To DLtime: Next m
```

```
Next K
```

```
For II = 1 To 43
```

```
  X1 = DDX3(II)
```

```
  Y1 = DDY3(II)
```

```
  G16500
```

```
  Q3(II) = X2
```

```
  Q31 = Q3(II) * 1000
```

```
  Q32 = Int(Q31)
```

```
  Q33 = Q32 / 1000
```

```
  Q3(II) = Q33
```

```
  Q4(II) = Y2
```

```
  Q41 = Q4(II) * 1000
```

```
  Q42 = Int(Q41)
```

```
  Q43 = Q42 / 1000
```

```
  Q4(II) = Q43
```

```
Next II
```

```
For KKG = 1 To 43
```

```
  Xi1 = Q3(KKG): Yi1 = Q4(KKG)
```

```
  NNG = NNG + 1: X(KK, NNG) = Q3(KKG): Y(KK, NNG) = Q4(KKG)
```

```
Next KKG
```

```
  If NNG >= n Then GoTo G12500
```

```
  XXG = X(KK, NNG): YYG = Y(KK, NNG): NG2 = (n - NNG)
```

```
  For i = 1 To NG2
```

```
    NNG = NNG + 1: X(KK, NNG) = XXG: Y(KK, NNG) = YYG
```

```
  Next i
```

```
G12500: Next C3
```

```
Err: Exit Sub
```

```
End Sub
```

เอกสารนี้เป็นเอกสารที่สงวนไว้สำหรับการใช้งานเพื่อการศึกษาเท่านั้น ไม่อนุญาตให้นำไปใช้ประโยชน์ด้านการค้า  
ไม่ว่ากรณีใดๆ ทั้งสิ้น อีกทั้งห้ามมิให้ดัดแปลงเนื้อหา และต้องอ้างอิงถึงเจ้าของเอกสารทุกครั้งที่มีการนำไปใช้

## ตัวอย่างไฟล์โปรแกรมที่ได้จากการทดลองหัวข้อ5.2

'C:\face

' Program for Line , conic curve

N101	G01	X-60.000	Y0.000	Z-3	N125	G01	X-32.122	Y-56.551	Z-3
N102	G01	X-60	Y0	Z-3	N126	G01	X-30.910	Y-58.288	Z-3
N103	G01	X-58.788	Y-1.455	Z-3	.....				
N104	G01	X-57.576	Y-4.660	Z-3	.....				
N105	G01	X-56.364	Y-7.799	Z-3	N285	G01	X12.727	Y-65.951	Z-3
N106	G01	X-55.152	Y-10.871	Z-3	N286	G01	X13.131	Y-65.690	Z-3
N107	G01	X-53.940	Y-13.876	Z-3	N287	G01	X13.535	Y-65.420	Z-3
N108	G01	X-52.728	Y-16.815	Z-3	N288	G01	X13.939	Y-65.143	Z-3
N109	G01	X-51.516	Y-19.687	Z-3	N289	G01	X14.343	Y-64.857	Z-3
N110	G01	X-50.304	Y-22.492	Z-3	N290	G01	X14.747	Y-64.563	Z-3
N111	G01	X-49.091	Y-25.230	Z-3	N291	G01	X15.151	Y-64.261	Z-3
N112	G01	X-47.879	Y-27.901	Z-3	N292	G01	X15.555	Y-63.951	Z-3
N113	G01	X-46.667	Y-30.506	Z-3	N293	G01	X15.959	Y-63.633	Z-3
N114	G01	X-45.455	Y-33.043	Z-3	N294	G01	X16.363	Y-63.306	Z-3
N115	G01	X-44.243	Y-35.514	Z-3	N295	G01	X16.767	Y-62.972	Z-3
N116	G01	X-43.031	Y-37.919	Z-3	N296	G01	X17.171	Y-62.629	Z-3
N117	G01	X-41.819	Y-40.256	Z-3	N297	G01	X17.575	Y-62.278	Z-3
N118	G01	X-40.607	Y-42.527	Z-3	N298	G01	X17.979	Y-61.919	Z-3
N119	G01	X-39.394	Y-44.730	Z-3	N299	G01	X18.383	Y-61.551	Z-3
N120	G01	X-38.182	Y-46.868	Z-3	N300	G01	X18.787	Y-61.176	Z-3
N121	G01	X-36.970	Y-48.938	Z-3	N301	G01	X19.191	Y-60.792	Z-3
N122	G01	X-35.758	Y-50.941	Z-3	N302	G01	X19.595	Y-60.400	Z-3
N123	G01	X-34.546	Y-52.878	Z-3	N303	G01	X20.000	Y-60.000	Z-3
N124	G01	X-33.334	Y-54.748	Z-3	N304	G01	X20	Y-60	Z-3

เอกสารนี้เป็นเอกสารที่สงวนไว้สำหรับการใช้งานเพื่อการศึกษาเท่านั้น ไม่อนุญาตให้นำไปใช้ประโยชน์ด้านการค้า  
ไม่ว่ากรณีใดๆ ทั้งสิ้น อีกทั้งห้ามมิให้ดัดแปลงเนื้อหา และต้องอ้างอิงถึงเจ้าของเอกสารทุกครั้งที่มีการนำไปใช้

## ตัวอย่างไฟล์โปรแกรมที่ได้จากการทดลองหัวข้อ5.3

'C:\spline

N101	G01	X108.000	Y0	Z-3	N272	G01	X44.727	Y61.293	Z-3
N102	G01	X107.946	Y-3.427	Z-3	N273	G01	X46.909	Y61.695	Z-3
N103	G01	X107.783	Y-6.85	Z-3	N274	G01	X49.090	Y62.009	Z-3
N104	G01	X107.511	Y-10.266	Z-3	N275	G01	X51.272	Y62.224	Z-3
N105	G01	X107.131	Y-13.672	Z-3	N276	G01	X53.454	Y62.329	Z-3
N106	G01	X106.643	Y-17.064	Z-3	N277	G01	X55.636	Y62.316	Z-3
N107	G01	X106.048	Y-20.439	Z-3	N278	G01	X57.818	Y62.174	Z-3
N108	G01	X105.346	Y-23.794	Z-3	N279	G01	X60.000	Y61.892	Z-3
N109	G01	X104.538	Y-27.124	Z-3	N280	G01	X62.181	Y61.461	Z-3
N110	G01	X103.625	Y-30.427	Z-3	N281	G01	X64.363	Y60.871	Z-3
N111	G01	X102.608	Y-33.7	Z-3	N282	G01	X66.545	Y60.111	Z-3
N112	G01	X101.487	Y-36.938	Z-3	N283	G01	X68.727	Y59.171	Z-3
N113	G01	X100.264	Y-40.14	Z-3	N284	G01	X70.909	Y58.041	Z-3
N114	G01	X98.940	Y-43.3	Z-3	N285	G01	X73.090	Y56.711	Z-3
N115	G01	X97.516	Y-46.418	Z-3	N286	G01	X75.272	Y55.171	Z-3
N116	G01	X95.994	Y-49.488	Z-3	N287	G01	X77.454	Y53.411	Z-3
N117	G01	X94.376	Y-52.509	Z-3	N288	G01	X79.636	Y51.42	Z-3
N118	G01	X92.662	Y-55.477	Z-3	N289	G01	X81.818	Y49.189	Z-3
N119	G01	X90.855	Y-58.389	Z-3	N290	G01	X84.000	Y46.708	Z-3
N120	G01	X88.957	Y-61.242	Z-3	N291	G01	X86.181	Y43.965	Z-3
N121	G01	X86.969	Y-64.034	Z-3	N292	G01	X88.363	Y40.952	Z-3
N122	G01	X84.894	Y-66.761	Z-3	N293	G01	X90.545	Y37.659	Z-3
N123	G01	X82.733	Y-69.421	Z-3	N294	G01	X92.727	Y34.074	Z-3
N124	G01	X80.489	Y-72.011	Z-3	N295	G01	X94.909	Y30.189	Z-3
N125	G01	X78.163	Y-74.528	Z-3	N296	G01	X97.090	Y25.993	Z-3
N126	G01	X75.759	Y-76.971	Z-3	N297	G01	X99.272	Y21.476	Z-3
N127	G01	X73.279	Y-79.336	Z-3	N298	G01	X101.454	Y16.628	Z-3
N128	G01	X70.725	Y-81.621	Z-3	N299	G01	X103.636	Y11.44	Z-3
N129	G01	X68.100	Y-83.824	Z-3	N300	G01	X105.818	Y5.9	Z-3
N132	G01	X59.823	Y-89.917	Z-3	N301	G01	X108.000	Y-.001	Z-3
.....					N302	G01	X108	Y-.001	Z-3
.....									

เอกสารนี้เป็นเอกสารที่สงวนไว้สำหรับการใช้งานเพื่อการศึกษาเท่านั้น ไม่อนุญาตให้นำไปใช้ประโยชน์ด้านการค้า  
ไม่ว่ากรณีใดๆ ทั้งสิ้น อีกทั้งห้ามมิให้ดัดแปลงเนื้อหา และต้องอ้างอิงถึงเจ้าของเอกสารทุกครั้งที่มีการนำไปใช้

## ตัวอย่างไฟล์โปรแกรมที่ได้จากการทดลองหัวข้อ5.4

c:\Z16M5P20				N 4333	G01	X 10.373	Y 36.128
N 101	G01	X 7.568	Y 32.89	N 4334	G01	X 10.372	Y 36.127
N 102	G01	X 7.568	Y 32.89	N 4335	G01	X 10.372	Y 36.127
Z 0				N 4336	G01	X 9.658	Y 33.64
N 103	G01	X 7.195	Y 32.973	N 4337	G01	X 9.59	Y 33.456
N 104	G01	X 6.822	Y 33.053	N 4338	G01	X 9.493	Y 33.286
N 105	G01	X 6.448	Y 33.128	N 4339	G01	X 9.371	Y 33.132
N 106	G01	X 6.073	Y 33.199	N 4340	G01	X 9.226	Y 33
N 107	G01	X 5.697	Y 33.265	N 4341	G01	X 9.063	Y 32.891
N 108	G01	X 5.32	Y 33.327	N 4342	G01	X 8.884	Y 32.81
N 109	G01	X 5.05	Y 33.392	N 4343	G01	X 8.695	Y 32.758
N 110	G01	X 5.05	Y 33.392	N 4344	G01	X 8.5	Y 32.736
N 111	G01	X 5.05	Y 33.392	N 4345	G01	X 8.304	Y 32.744
N 112	G01	X 5.05	Y 33.392	N 4346	G01	X 8.112	Y 32.783
N 113	G01	X 5.05	Y 33.392	N 4347	G01	X 8.112	Y 32.783
N 114	G01	X 4.858	Y 33.43	N 4348	G01	X 8.112	Y 32.783
N 115	G01	X 4.674	Y 33.497	N 4349	G01	X 8.112	Y 32.783
N 116	G01	X 4.502	Y 33.592	N 4350	G01	X 8.112	Y 32.783
N 117	G01	X 4.347	Y 33.713	N 4351	G01	X 7.837	Y 32.826
N 118	G01	X 4.214	Y 33.856	N 4352	G01	X 7.465	Y 32.913
N 119	G01	X 4.104	Y 34.019	N 4353	G01	X 7.093	Y 32.996
N 120	G01	X 4.021	Y 34.196	N 4354	G01	X 6.719	Y 33.074
N 121	G01	X 3.967	Y 34.385	N 4355	G01	X 6.345	Y 33.148
N 122	G01	X 3.943	Y 34.579	N 4356	G01	X 5.969	Y 33.216
.....				N 4357	G01	X 5.593	Y 33.282
N 4330	G01	X 10.377	Y 36.139	N 4358	G01	X 5.593	Y 33.282
N 4331	G01	X 10.374	Y 36.134				
N 4332	G01	X 10.374	Y 36.13				

เอกสารนี้เป็นเอกสารที่สงวนไว้สำหรับการใช้งานเพื่อการศึกษาเท่านั้น ไม่อนุญาตให้นำไปใช้ประโยชน์ด้านการค้า  
ไม่ว่ากรณีใดๆ ทั้งสิ้น อีกทั้งห้ามมิให้ดัดแปลงเนื้อหา และต้องอ้างอิงถึงเจ้าของเอกสารทุกครั้งที่มีการนำไปใช้



เอกสารนี้เป็นเอกสารที่สงวนไว้สำหรับการใช้งานเพื่อการศึกษาเท่านั้น ไม่อนุญาตให้นำไปใช้ประโยชน์ด้านการค้า  
ไม่ว่ากรณีใดๆ ทั้งสิ้น อีกทั้งห้ามมิให้ดัดแปลงเนื้อหา และต้องอ้างอิงถึงเจ้าของเอกสารทุกครั้งที่มีการนำไปใช้

ตารางที่ ค.1 สัดส่วนฟันของมิตัดฟันเฟืองมาตรฐานของระบบมาตรฐานเกียร์อินเวลูท

Tooth parameter (of basic rack)	Symbol, Figs. 8.3.1a and 8.3.2	Tooth proportions for various standard systems					
		1	2	3	4	5	6
		Full-depth involute, 14½°	Full-depth involute, 20°	Stub involute, 20°	Coarse-pitch involute spur gears, 20°	Coarse-pitch involute spur gears, 25°	Fine-pitch involute, 20°
1. System sponsors		ANSI and AGMA	ANSI	ANSI and AGMA	AGMA	AGMA	ANSI and AGMA
2. Pressure angle	$\phi$	14½°	20°	20°	20°	25°	20°
3. Addendum	$a$	$1/P_d$	$1/P_d$	$0.8/P_d$	$1.000/P_d$	$1.000/P_d$	$1.000/P_d$
4. Min dedendum	$b$	$1.157/P_d$	$1.157/P_d$	$1/P_d$	$1.250/P_d$	$1.250/P_d$	$1.200/P_d + 0.002$
5. Min whole depth	$h_t$	$2.157/P_d$	$2.157/P_d$	$1.8/P_d$	$2.250/P_d$	$2.250/P_d$	$2.2002/P_d + 0.002$ in
6. Working depth	$h_i$	$2/P_d$	$2/P_d$	$1.6/P_d$	$2.000/P_d$	$2.000/P_d$	$2.000/P_d$
7. Min clearance	$h_c$	$0.157/P_d$	$0.157/P_d$	$0.200/P_d$	$0.250/P_d$	$0.250/P_d$	$0.200/P_d + 0.002$ in
8. Basic circular tooth thickness on pitch line	$t$	$1.5708/P_d$	$1.5708/P_d$	$1.5708/P_d$	$\pi/(2P_d)$	$\pi/(2P_d)$	$1.5708/P_d$
9. Fillet radius in basic rack	$r_f$	$1/2 \times$ clearance	$1/2 \times$ clearance	Not standardized	$0.300/P_d$	$0.300/P_d$	Not standardized
10. Diametral pitch range		Not specified	Not specified	Not specified	19.99 and coarser	19.99 and coarser	20 and finer
11. Governing standard: ANSI AGMA		B6.1 201.02	B6.1	B6.1 201.02	201.02	201.02	1,003-G93

เอกสารนี้เป็นเอกสารที่สงวนไว้สำหรับการใช้งานเพื่อการศึกษาเท่านั้น ไม่อนุญาตให้นำไปใช้ประโยชน์ด้านการค้า  
ไม่ว่ากรณีใดๆ ทั้งสิ้น อีกทั้งห้ามมิให้ดัดแปลงเนื้อหา และต้องอ้างอิงถึงเจ้าของเอกสารทุกครั้งที่มีการนำไปใช้

## ตารางที่ ค.2 เทียบค่ามาตรฐานเฟืองระบบเมตริก กับระบบอเมริกา

Diametral pitch $P_d$	Module $m$	Circular pitch		Circular tooth thickness		Addendum	
		in	mm	in	mm	in	mm
1/2	50.8000	6.2832	159.593	3.1416	79.7965	2.0000	50.8000
0.5080	50	6.1842	157.080	3.0921	78.5398	1.9685	50
0.5644	45	5.5658	141.372	2.7850	70.6858	1.7730	45
0.6048	42	5.1948	131.947	2.5964	65.9734	1.6529	42
0.6513	39	4.8237	122.522	2.4129	61.2610	1.5361	39
0.7056	36	4.4527	113.097	2.2249	56.5487	1.4164	36
3/4	33.8667	4.1888	106.396	2.0943	53.1977	1.3333	33.8667
0.7697	33	4.0816	103.673	2.0400	51.8363	1.2987	33
0.8467	30	3.7105	94.248	1.8545	47.1239	1.1806	30
0.9407	27	3.3395	84.823	1.6693	42.4115	1.0627	27
1	25.4000	3.1416	79.800	1.5708	39.8984	1.0000	25.4001
1.0583	24	2.9685	75.398	1.4847	37.6991	0.9452	24
1.1546	22	2.7210	69.115	1.3600	34.5575	0.8658	22
1.2700	20	2.4737	62.832	1.2368	31.4159	0.7874	20
1.4111	18	2.2263	56.548	1.1132	28.2743	0.7087	18
1.5	16.9333	2.0944	53.198	1.0472	26.5988	0.6667	16.933
1.5875	16	1.9790	50.267	0.9894	25.1327	0.6299	16
1.8143	14	1.7316	43.983	0.8658	21.9911	0.5512	14
2	12.7000	1.5708	39.898	0.7854	19.949	0.5000	12.7000
2.1167	12	1.4842	37.699	0.7420	18.8496	0.4724	12
2.5	10.1600	1.2566	31.918	0.6283	15.9593	0.4000	10.1600
2.5400	10	1.2368	31.415	0.6184	15.7080	0.3937	10
2.8222	9	1.1132	28.275	0.5565	14.1372	0.3543	9
3	8.4667	1.0472	26.599	0.5235	13.2995	0.3333	8.4667
3.1416	8.0851	1.0000	25.400	0.5000	12.7000	0.3183	8.0851
3.1750	8	0.9895	25.133	0.4948	12.5664	0.3150	8.00
3.5	7.2571	0.8976	22.799	0.4488	11.3994	0.2857	7.2571
3.6286	7	0.8658	21.991	0.4329	10.9956	0.2756	7.000
3.9078	6.5	0.8039	20.420	0.4020	10.2101	0.2559	6.5
4	6.3500	0.7854	19.949	0.3927	9.9746	0.2500	6.3500
4.2333	6	0.7421	18.850	0.3710	9.4248	0.2362	6.0000
4.6182	5.5	0.6803	17.279	0.3401	8.6394	0.2165	5.5
5	5.0801	0.6283	15.959	0.3142	7.9794	0.2000	5.080
5.0802	5	0.6184	15.707	0.3092	7.8537	0.1968	5.000
5.3474	4.75	0.5875	14.923	0.2938	7.4612	0.1870	4.750
5.6444	4.5	0.5566	14.138	0.2783	7.0688	0.1772	4.500
6	4.2333	0.5236	13.299	0.2618	6.6497	0.1667	4.233
6.3500	4	0.4947	12.565	0.2473	6.2827	0.1575	4.000
6.7733	3.75	0.4638	11.781	0.2319	5.8903	0.1476	3.750
7	3.6286	0.4488	11.399	0.2244	5.6998	0.1429	3.629

เอกสารนี้เป็นเอกสารที่สงวนไว้สำหรับการใช้งานเพื่อการศึกษาเท่านั้น ไม่อนุญาตให้นำไปใช้ประโยชน์ด้านการค้า  
ไม่ว่ากรณีใดๆ ทั้งสิ้น อีกทั้งห้ามมิให้ดัดแปลงเนื้อหา และต้องอ้างอิงถึงเจ้าของเอกสารทุกครั้งที่มีการนำไปใช้

## ตารางที่ ก.2 (ต่อ)

Diametral pitch $P_d$	Module $m$	Circular pitch		Circular tooth thickness		Addendum	
		in	mm	in	mm	in	mm
7.2571	3.5	0.4329	10.996	0.2164	5.4979	0.1378	3.500
7.8154	3.25	0.4020	10.211	0.2010	5.1054	0.1279	3.250
8	3.1750	0.3927	9.974	0.1964	4.9886	0.1250	3.175
8.4667	3	0.3711	9.426	0.1855	4.7130	0.1181	3.000
9	2.8222	0.3491	8.867	0.1745	4.4323	0.1111	2.822
9.2364	2.75	0.3401	8.639	0.1700	4.3193	0.1082	2.750
10	2.5400	0.3142	7.981	0.1571	3.9903	0.1000	2.540
10.1600	2.50	0.3092	7.854	0.1546	3.9268	0.0984	2.500
11	2.3091	0.2856	7.254	0.1428	3.6271	0.0909	2.309
11.2889	2.25	0.2783	7.069	0.1391	3.5344	0.0886	2.250
12	2.1167	0.2618	6.646	0.1309	3.3325	0.0833	2.117
12.7000	2	0.2474	6.284	0.1236	3.1420	0.0787	2.000
13	1.9538	0.2417	6.139	0.1208	3.0696	0.0769	1.954
14	1.8143	0.2244	5.700	0.1122	2.8500	0.0714	1.814
14.5143	1.75	0.2164	5.497	0.1082	2.7489	0.0689	1.750
15	1.6933	0.2094	5.319	0.1047	2.6599	0.0667	1.693
16	1.5875	0.1964	4.986	0.0982	2.4936	0.0625	1.587
16.9333	1.5	0.1855	4.712	0.0927	2.3562	0.0591	1.500
18	1.4111	0.1745	4.432	0.0873	2.2166	0.0556	1.411
20	1.2700	0.1571	3.990	0.0785	1.9949	0.0500	1.270
20.3200	1.25	0.1546	3.927	0.0773	1.9635	0.0492	1.250
22	1.1545	0.1428	3.627	0.0714	1.8136	0.0455	1.155
24	1.0583	0.1309	3.325	0.0655	1.6624	0.0417	1.058
25.4000	1	0.1237	3.142	0.0618	1.5708	0.0394	1.000
28	0.90701	0.1122	2.850	0.0561	1.4249	0.0357	0.9071
28.2222	0.9	0.1113	2.827	0.0556	1.4137	0.0354	0.9000
30	0.84667	0.1047	2.659	0.0524	1.3329	0.0333	0.8467
31.7500	0.8	0.0989	2.513	0.04945	1.2566	0.0315	0.8000
32	0.79375	0.0982	2.494	0.04909	1.2468	0.0313	0.7937
33.8667	0.75	0.0928	2.357	0.04638	1.1781	0.0295	0.7500
36	0.70556	0.0873	2.217	0.04363	1.1083	0.0278	0.7056
36.2857	0.7	0.0865	2.199	0.04325	1.0996	0.0276	0.7000
40	0.63500	0.0785	1.994	0.03927	0.9975	0.0250	0.6350
42.3333	0.6	0.0742	1.885	0.03710	0.9423	0.0236	0.6000
44	0.57727	0.0714	1.814	0.03570	0.9068	0.0227	0.5773
48	0.52917	0.0655	1.661	0.03272	0.8311	0.0208	0.5292
50	0.50800	0.0628	1.595	0.03141	0.7976	0.0200	0.5080
50.8000	0.5	0.06184	1.5707	0.03092	0.7854	0.0197	0.5000
63.5000	0.4	0.04947	1.2565	0.02473	0.6283	0.0157	0.4000
64	0.39688	0.04909	1.2469	0.02454	0.6234	0.0156	0.3969
67.7333	0.375	0.04638	1.1781	0.02319	0.5890	0.0148	0.3750
72	0.35278	0.04363	1.1082	0.02182	0.5541	0.0139	0.3528
72.5714	0.35	0.04329	1.0996	0.02164	0.5498	0.0138	0.3500
78.1538	0.325	0.04020	1.0211	0.02010	0.5105	0.0128	0.3250
80	0.31750	0.03927	0.9975	0.01964	0.4987	0.0125	0.3175
84.6667	0.3	0.03711	0.9426	0.01856	0.4713	0.0118	0.3000
92.3636	0.275	0.03401	0.8639	0.01700	0.4319	0.0108	0.2750
96	0.26458	0.03272	0.8311	0.01636	0.4156	0.0104	0.2646
101.6000	0.25	0.03092	0.7854	0.01546	0.3927	0.00984	0.2500
120	0.21167	0.02618	0.6650	0.01309	0.3325	0.00833	0.2117
125	0.20320	0.02513	0.6383	0.01256	0.3192	0.00800	0.2032
127.0000	0.2	0.02474	0.6284	0.01237	0.3142	0.00787	0.2000
150	0.16933	0.02094	0.5319	0.01047	0.2659	0.00667	0.1693
169.3333	0.15	0.01855	0.4712	0.00928	0.2356	0.00591	0.1500
180	0.14111	0.01745	0.4432	0.00873	0.2216	0.00555	0.1411
200	0.12700	0.01571	0.3990	0.00786	0.1995	0.00500	0.1270
203.2000	0.125	0.01546	0.3927	0.00773	0.1963	0.00492	0.1250

เอกสารนี้เป็นเอกสารที่สงวนไว้สำหรับการใช้งานเพื่อการศึกษาเท่านั้น ไม่อนุญาตให้นำไปใช้ประโยชน์ด้านการค้า  
ไม่ว่ากรณีใดๆ ทั้งสิ้น อีกทั้งห้ามมิให้ดัดแปลงเนื้อหา และต้องอ้างอิงถึงเจ้าของเอกสารทุกครั้งที่มีการนำไปใช้

ตารางที่ ก.3 แสดงค่าอินเวลูทฟังก์ชัน

Degrees	0.0	0.1	0.2	0.3	0.4	0.5	0.6	0.7	0.8	0.9
0	0.000000	0.000000	0.000000	0.000000	0.000000	0.000000	0.000000	0.000000	0.000000	0.000000
1	0.000002	0.000002	0.000003	0.000004	0.000005	0.000006	0.000007	0.000009	0.000010	0.000012
2	0.000014	0.000016	0.000019	0.000022	0.000025	0.000028	0.000031	0.000035	0.000039	0.000043
3	0.000048	0.000053	0.000058	0.000064	0.000070	0.000076	0.000083	0.000090	0.000097	0.000105
4	0.000114	0.000122	0.000132	0.000141	0.000151	0.000162	0.000173	0.000184	0.000197	0.000209
5	0.000222	0.000236	0.000250	0.000265	0.000280	0.000296	0.000312	0.000329	0.000347	0.000366
6	0.000384	0.000404	0.000424	0.000445	0.000467	0.000489	0.000512	0.000536	0.000560	0.000586
7	0.000612	0.000638	0.000666	0.000694	0.000723	0.000753	0.000783	0.000815	0.000847	0.000880
8	0.000914	0.000949	0.000985	0.001022	0.001059	0.001098	0.001137	0.001178	0.001219	0.001252
9	0.001305	0.001349	0.001394	0.001440	0.001488	0.001536	0.001586	0.001636	0.001688	0.001740
10	0.001794	0.001849	0.001905	0.001962	0.002020	0.002079	0.002140	0.002202	0.002265	0.002329
11	0.002394	0.002461	0.002528	0.002598	0.002668	0.002739	0.002812	0.002889	0.002962	0.003039
12	0.003117	0.003197	0.003277	0.003360	0.003443	0.003529	0.003615	0.003712	0.003792	0.003883
13	0.003975	0.004069	0.004164	0.004261	0.004359	0.004459	0.004561	0.004664	0.004768	0.004874
14	0.004982	0.005091	0.005202	0.005315	0.005429	0.005545	0.005662	0.005782	0.005903	0.006025
15	0.006150	0.006276	0.006404	0.006534	0.006665	0.006799	0.006934	0.007071	0.007209	0.007350
16	0.007493	0.007637	0.007784	0.007932	0.008082	0.008234	0.008388	0.008544	0.008702	0.008863
17	0.009025	0.009189	0.009355	0.009523	0.009694	0.009866	0.010041	0.010217	0.010396	0.010577
18	0.010760	0.010946	0.011133	0.011323	0.011515	0.011709	0.011906	0.012105	0.012306	0.012509
19	0.012715	0.012923	0.013134	0.013346	0.013562	0.013779	0.013999	0.014222	0.014447	0.014674
20	0.014904	0.015137	0.015372	0.015609	0.015850	0.016092	0.016337	0.016585	0.016836	0.017089
21	0.017345	0.017603	0.017865	0.018129	0.018395	0.018665	0.018937	0.019212	0.019490	0.019770
22	0.020054	0.020340	0.020630	0.020921	0.021216	0.021514	0.021815	0.022119	0.022426	0.022736
23	0.023049	0.023365	0.023684	0.024006	0.024332	0.024660	0.024992	0.025326	0.025664	0.026005
24	0.026350	0.026697	0.027048	0.027402	0.027760	0.028121	0.028485	0.028852	0.029223	0.029598
25	0.029975	0.030357	0.030741	0.031130	0.031521	0.031917	0.032315	0.032718	0.033124	0.033534
26	0.033947	0.034364	0.034785	0.035209	0.035637	0.036069	0.036505	0.036945	0.037388	0.037835
27	0.038287	0.038696	0.039201	0.039664	0.040131	0.040602	0.041076	0.041556	0.042039	0.042526
28	0.043017	0.043513	0.044016	0.044516	0.045024	0.045537	0.046054	0.046575	0.047100	0.047630

เอกสารนี้เป็นเอกสารที่สงวนไว้สำหรับการใช้งานเพื่อการศึกษาเท่านั้น ไม่อนุญาตให้นำไปใช้ประโยชน์ด้านการค้า  
ไม่ว่ากรณีใดๆ ทั้งสิ้น อีกทั้งห้ามมิให้ดัดแปลงเนื้อหา และต้องอ้างอิงถึงเจ้าของเอกสารทุกครั้งที่มีการนำไปใช้

## ตารางที่ ก.3 (ต่อ)

Degrees	0.0	0.1	0.2	0.3	0.4	0.5	0.6	0.7	0.8	0.9
29	0.048164	0.048702	0.049245	0.049792	0.050344	0.050901	0.051462	0.052027	0.052597	0.053172
30	0.053751	0.054336	0.054924	0.055519	0.056116	0.056720	0.057267	0.057940	0.058558	0.059181
31	0.059809	0.060441	0.061079	0.061721	0.062369	0.063022	0.063680	0.064343	0.065012	0.065685
32	0.066364	0.067048	0.067738	0.068432	0.069133	0.069838	0.070549	0.071266	0.071988	0.072716
33	0.073449	0.074188	0.074932	0.075683	0.076439	0.077200	0.077968	0.078741	0.079520	0.080305
34	0.081097	0.081974	0.082697	0.083506	0.084321	0.085142	0.085970	0.086804	0.087644	0.088490
35	0.089342	0.090201	0.091066	0.091938	0.092816	0.093701	0.094592	0.095490	0.096395	0.097306
36	0.098224	0.099149	0.100080	0.101019	0.101964	0.102916	0.103875	0.104841	0.105814	0.106795
37	0.107782	0.108777	0.109779	0.110788	0.111805	0.112828	0.113860	0.114899	0.115945	0.116999
38	0.118060	0.119130	0.120207	0.121291	0.122384	0.123484	0.124592	0.125709	0.126833	0.127965
39	0.129106	0.130254	0.131411	0.132576	0.133749	0.134931	0.136122	0.137320	0.138528	0.139743
40	0.140968	0.142201	0.143443	0.144694	0.145954	0.147222	0.148500	0.149787	0.151082	0.152387
41	0.153702	0.155025	0.156358	0.157700	0.159052	0.160414	0.161785	0.163165	0.164556	0.165956
42	0.167366	0.168786	0.170216	0.171656	0.173106	0.174566	0.176037	0.177518	0.179009	0.180511
43	0.182023	0.183546	0.185080	0.186625	0.188180	0.189746	0.191324	0.192912	0.194511	0.196122
44	0.197744	0.199377	0.201022	0.202678	0.204346	0.206026	0.207717	0.209420	0.211135	0.212863
45	0.214602	0.216353	0.218117	0.219893	0.221682	0.223483	0.225296	0.227123	0.228962	0.230814
46	0.232678	0.234557	0.236448	0.238352	0.240270	0.242202	0.244147	0.246105	0.248077	0.250064
47	0.252064	0.254078	0.256106	0.258149	0.260206	0.262277	0.264363	0.266463	0.268578	0.270709
48	0.272855	0.275015	0.277191	0.279381	0.281588	0.283810	0.286047	0.288300	0.290570	0.292855
49	0.295157	0.297474	0.299809	0.302160	0.304527	0.306912	0.309313	0.311731	0.314166	0.316619
50	0.319088	0.321577	0.324082	0.326605	0.329146	0.331706	0.334284	0.336879	0.339493	0.342127
51	0.344779	0.347451	0.350141	0.352850	0.355579	0.358328	0.361096	0.363885	0.366693	0.369522
52	0.372371	0.375241	0.378130	0.381041	0.383974	0.386927	0.389903	0.392899	0.395917	0.398958
53	0.402021	0.405105	0.408213	0.411343	0.414495	0.417671	0.420870	0.424094	0.427340	0.430610
54	0.433905	0.437222	0.440566	0.443933	0.447326	0.450744	0.454187	0.457655	0.461150	0.464670
55	0.468217	0.471790	0.475390	0.479017	0.482670	0.486351	0.490060	0.493797	0.497562	0.501355
56	0.505177	0.509027	0.512908	0.516817	0.520755	0.524724	0.528724	0.532753	0.536814	0.540905
57	0.545027	0.549182	0.553368	0.557586	0.561836	0.566120	0.570436	0.574789	0.579173	0.583591
58	0.588043	0.592530	0.597053	0.601609	0.606203	0.610832	0.615498	0.620200	0.624940	0.629717
59	0.634535	0.639387	0.644297	0.649210	0.654181	0.659190	0.664240	0.669331	0.674462	0.679635
60	0.684853	0.690109	0.695409	0.700751	0.706137	0.711567	0.717041	0.722561	0.728126	0.733736

เอกสารนี้เป็นเอกสารที่สงวนไว้สำหรับการใช้งานเพื่อการศึกษาเท่านั้น ไม่อนุญาตให้นำไปใช้ประโยชน์ด้านการค้า  
ไม่ว่ากรณีใดๆ ทั้งสิ้น อีกทั้งห้ามมิให้ดัดแปลงเนื้อหา และต้องอ้างอิงถึงเจ้าของเอกสารทุกครั้งที่มีการนำไปใช้



เอกสารนี้เป็นเอกสารที่สงวนไว้สำหรับการใช้งานเพื่อการศึกษาเท่านั้น ไม่อนุญาตให้นำไปใช้ประโยชน์ด้านการค้า  
ไม่ว่ากรณีใดๆ ทั้งสิ้น อีกทั้งห้ามมิให้ดัดแปลงเนื้อหา และต้องอ้างอิงถึงเจ้าของเอกสารทุกครั้งที่มีการนำไปใช้



<http://www.me-nett.com>

**การประชุมวิชาการ**

**เครือข่ายวิศวกรรมเครื่องกล**

**แห่งประเทศไทย ครั้งที่ ๑๗**

The 17<sup>th</sup> Conference on Mechanical Engineering Network of Thailand

**๑๕-๑๗ ตุลาคม ๒๕๕๖**

October 15-17, 2003

**สถาบันเทคโนโลยีพระจอมเกล้าพระนครเหนือ**

**กรุงเทพฯ - ปราจีนบุรี**

KMITNB Bangkok - Prachinburi

**บทคัดย่อ**

*Abstract*



เอกสารนี้เป็นเอกสารที่สงวนไว้สำหรับการใช้งานเพื่อการศึกษาเท่านั้น ไม่อนุญาตให้นำไปใช้ประโยชน์ด้านการค้า  
ไม่ว่ากรณีใดๆ ทั้งสิ้น อีกทั้งห้ามมิให้ดัดแปลงเนื้อหา และต้องอ้างอิงถึงเจ้าของเอกสารทุกครั้งที่มีการนำไปใช้

การประชุมวิชาการเครือข่ายวิศวกรรมเครื่องกลแห่งประเทศไทยครั้งที่ 17  
15-17 ตุลาคม 2546 จังหวัดปราจีนบุรี

## การทำโปรแกรมขนงานCNCแบบเชิงโต้ตอบ Interactive CNC Part Programming

รัฐพล นวมพัฒน์<sup>1</sup> บุญชู ลีลาขจรจต<sup>2</sup> ทวี เทศเจริญ<sup>3</sup>

ภาควิชาวิศวกรรมเครื่องกล คณะวิศวกรรมศาสตร์ สถาบันเทคโนโลยีพระจอมเกล้าเจ้าคุณทหารลาดกระบัง

3 หมู่ 2 ถ.ฉลองกรุง เขตลาดกระบัง กรุงเทพฯ 10520

โทร 0-23264197 โทรสาร 0-23264198 E-mail: s4611533@kmitl.ac.th<sup>1</sup>

Rattapol Noumpipat<sup>1</sup> Boonchu Leelakajohnjit<sup>2</sup> Thavee Teschareon<sup>3</sup>

Department of Mechanical Engineering, Faculty of Engineering, King Mongkut's Institute of Technology Ladkrabang

3 Moo 2 Chalokkung Rd, Ladkrabang Bangkok 10520 Thailand

Tel: 0-23264197 Fax: 0-23264198 E-mail: s4611533@kmitl.ac.th<sup>1</sup>

### บทคัดย่อ.

ในการศึกษาจะเป็นการประยุกต์ใช้การทำข้อมูลแบบล่วงหน้าอย่างง่ายโดยอาศัยการโปรแกรมขนงานแบบพารามิเตอร์มาช่วยในการจัดทำโปรแกรมขนงานCNCแบบเชิงโต้ตอบ ซึ่งช่วยให้สามารถทำโปรแกรมได้ง่ายและยังช่วยให้สามารถจัดเตรียมส่งอำนวยความสะดวกต่างๆเพื่อให้มีศักยภาพในการรองรับการประยุกต์ใช้งานด้านต่างๆของอุตสาหกรรมได้อีกด้วย

การโปรแกรมขนงานแบบพารามิเตอร์(parametrical part programming) สามารถนำมาประยุกต์ใช้เพื่อเตรียมข้อมูลเชิงตัวเลขได้อย่างมีประสิทธิภาพ เพราะสามารถเตรียมส่งอำนวยความสะดวกต่างๆได้มาก ซึ่งเป็นผลดีต่อระดับการสื่อสารข้อมูลเชิงตัวเลขระหว่างคอมพิวเตอร์กับเครื่องจักรCNC นอกจากนี้การโปรแกรมขนงานแบบพารามิเตอร์สามารถพัฒนารูปแบบการทำงานโดยผู้ปฏิบัติการเองและยังสามารถปรับแต่งให้เข้ากับรูปแบบปัญหาที่เกิดขึ้นจริงในกระบวนการผลิต

### Abstract

The main objective of this study is to explain how interactive CNC part programming can be generated from parametrical part programming method on PC level (or off line programming).

By this technique we are able to get less lead time for program preparation, less human interventions, thus, resulting in less mistakes, and smoother throughput of programs, data, and worksheets. The system is constructive and based on skilled experiences that results in a high flexibility for the user, and can be implemented in any manufacturing process, for small batch or large scale production.

Parametrical part programming can be developed to prepare numerical data effectively, and offers a wide range of potential industrial applications, provides a lot of facilities at both PC and controller level. Parametrical part programs can be developed by the user himself and tailored to his manufacturing problems

### 1. บทนำ

การฝึกอบรมผู้ปฏิบัติงาน ให้มีทักษะความชำนาญในด้านการโปรแกรมขนงานCNC เป็นการลงทุนค่อนข้างสูงเพราะต้องใช้ทั้งเงินและเวลาสำหรับการฝึกอบรม การโปรแกรมขนงานCNCเชิงโต้ตอบจะช่วยให้สามารถทำโปรแกรมขนงานCNC ได้สะดวกรวดเร็วขงยังช่วยลดระยะเวลาในการฝึกอบรมสำหรับการโปรแกรมขนงานCNCแบบดั้งเดิม

<sup>1</sup> นักศึกษาปริญญาโท ภาควิชาวิศวกรรมเครื่องกล สถาบันเทคโนโลยีพระจอมเกล้าเจ้าคุณทหารลาดกระบัง

<sup>2</sup> นักวิชาการ สถาบันวิจัยวิทยาศาสตร์และเทคโนโลยีแห่งประเทศไทย

<sup>3</sup> รองศาสตราจารย์ ภาควิชาวิศวกรรมเครื่องกล คณะวิศวกรรมศาสตร์ สถาบันเทคโนโลยีพระจอมเกล้าเจ้าคุณทหารลาดกระบัง

อกทรงระบบยังมีความยืดหยุ่นอย่างมากทำให้สามารถประยุกต์ไปใช้งานใน  
 ถานต่างๆได้ในจำนวนมาก

การใช้งานเครื่องจักรกลควบคุมด้วยคอมพิวเตอร์CNC ได้ขยายตัว  
 เข้าไปในงานอุตสาหกรรมต่างๆ อย่างรวดเร็ว โคมการคิดค้นเทคนิคใหม่  
 เพื่อนำมาประยุกต์ใช้กับเทคโนโลยีการผลิตและมีการปรับตัวให้สามารถใ  
 ้งานกับเครื่องจักรกลCNCได้ การบูรณาการส่งต่างๆ เหล่านี้เข้าด้วยกันได้  
 ก่อให้เกิดปัญหาแกส่วนต่างๆ ที่เกี่ยวข้องอย่างมาก ปัญหาหลักสำคัญย  
 อดหนึ่งกึ่งคงเป็นการเตรียมข้อมูลเชิงตัวเลขสำหรับเครื่องจักรCNC  
 เพราะส่วนมากแล้วผู้ใช้งานยังคงใช้กรรมวิธีการโปรแกรมแบบหน  
 โปรแกรมต่อหนึ่งชนงานอยู่

การนำคอมพิวเตอร์ส่วนบุคคล(PC) มาใช้ในงานเครื่องจักร  
 CNC ได้ช่วยให้การจัดเตรียมข้อมูลเชิงตัวเลขของเครื่องจักรช่นมาก และ  
 ทาให้สามารถเตรียมข้อมูลบนเครื่องคอมพิวเตอร์ส่วนบุคคลอื่นๆ ที่ไม่  
 อดเชื่อมต่อกับเครื่องจักรCNCได้ แต่กระนั้นก็ตามการทำงานกย  
 อดเป็นแบบกรรมวิธีการโปรแกรมหนึ่งชนงานใช้หนึ่งโปรแกรมอยู่ในการ  
 อดศึกษาจนได้ศึกษาการทำโปรแกรมชนงานCNCเชิงโต้ตอบขึ้นมาโดยต  
 อดยบนพื้นฐานของการโปรแกรมชนงานแบบใช้พารามิเตอร์(Parametric  
 Part Programming) ซึ่งช่วยให้สามารถทำโปรแกรมได้ง่ายและจัดเตรียม  
 อดส่งอำนวยความสะดวกต่างๆใหม่ศกยภาพในการรองรับการประยุกต์ใ  
 ้งานอุตสาหกรรมด้านต่างๆได้ ชงขราชการนสามารถใชทำงานทงบนเคร  
 อดอมพิวเตอร์ส่วนบุคคลและบนตัวควบคุมของเครื่องจักร โดยเฉพาะการ  
 โปรแกรมชนงานแบบใช้พารามิเตอร์จะช่วยให้ผู้ใช้งานสามารถพัฒนา  
 อดแบบการทำงานของตัวเองขึ้นมาได้และสามารถปรับแต่งให้เข้ากับปัญหา  
 อดในด้านการผลิตเขาประสพอยู่ได้

## 2. การทำโปรแกรมแบบใช้พารามิเตอร์ (Parametrical Programming)

### 2.1 การทำโปรแกรมแบบพารามิเตอร์บนเครื่องคอมพิวเตอร์ส่วนบุคคล

จากการทคอมพิวเตอร์ส่วนบุคคลสามารถนำมาใช้ในการสร้าง  
 โปรแกรมชนงานสำหรับเครื่องจักรควบคุมเชิงตัวเลข(NC) โปรแกรมชน  
 อดงานสร้างบนPC นสามารถทำออกมาได้ทงในลักษณะของรหัสระบบ  
 อดควบคุมเชิงตัวเลข(NC Code) หรือของรหัสระบบควบคุมเชิงตัวเลขแบบ  
 อดพารามิเตอร์(Parametrical NC Code) ในกรณีของรหัสควบคุมเชิงตัวเลข  
 อดแบบปกติทั่วไป ผู้โปรแกรมสามารถเขียนโปรแกรมบนPC แบบเชิงโต้  
 อดตอบด้วยภาษาไทกบเครื่องPC โปรแกรมจะสร้างโปรแกรมชนงานNC  
 อดตามข้อมูลของชนงานที่ป้อนเข้าไป โปรแกรมลักษณะนี้จะถูกกระทำช  
 อดเพื่อใช้ทำงานเฉพาะอย่างทชบซ้อน โดยเฉพาะในกรณีที่มีนขอบใน  
 อดระนาบXZ, XY และYZไม่คงท โปรแกรมสำเร็จทงด้านCAMแบบ2D ไม่  
 อดสามารถสร้างเส้นทางเดินมีดตัด(Toolpath) ของชนงานที่มีปัญหาเหล่า  
 อดนได้ทงแนวงานในลักษณะนมีใช้งานในลักษณะทต้องการประมาณค  
 อดาระบบสามมด(3D interpolation) แต่ในทงปฏบตผู้ทงานมักจะต้องแก้

ปัญหาโดยการนำโปรแกรมสำเร็จทงด้านCAMแบบ3D ทราคาสูงมาก  
 อดมาใช้งาน ลักษณะงานเช่น เราอาจนำปัญหาต่างๆ มาทำการวิเคราะห์  
 อดอย่างละเอียดและทำการโปรแกรมแบบเชิงโต้ตอบด้วยโปรแกรมภาษา  
 อดคอมพิวเตอร์บนPC ได้ทงอย่างเช่น การใช้โปรแกรมภาษาเบสิกรู  
 อดต่างๆ(GWBASIC,QBASIC, ฯลฯ) นามาเขียนโปรแกรมแบบเชิงโต้ตอบ  
 อดสร้างรหัสสำหรับหน่วยควบคุมของเครื่องควบคุมเชิงตัวเลข ทงอย่างการ  
 อดทงานนยงจัดว่าเป็นการทำงานในลักษณะทงโปรแกรมต่อทงชน  
 อดงาน(one program one part) อยู่

การประยุกต์ใช้งานทงนยทกกันมากอีกกรณีทงนคคือ ผู้โปรแกรมจะ  
 อดสร้างโปรแกรมแบบพารามิเตอร์สำหรับการควบคุมในระดับหน่วยควบคุม  
 อดของเครื่องจักรCNC และทำการเขียนโปรแกรมแบบเชิงโต้ตอบสำหรับ  
 อดนโดยอาศัยโปรแกรมภาษาในระดับPC เพื่อสร้างแฟ้มข้อมูลสามารถ  
 อดรทงโปรแกรมแบบพารามิเตอร์ในหน่วยควบคุมของเครื่องจักรCNC แฟ  
 อดมข้อมูลเหล่านี้สามารถส่งต่อไปยังหน่วยควบคุมของCNC ในรูปของ  
 อดโปรแกรมชนงานNC โปรแกรมข้อมูลจะประกอบด้วยข้อมูลของชนงาน  
 อดสำหรับการโปรแกรมชนงานบนหน่วยควบคุมของเครื่องจักร CNC  
 อดโปรแกรมชนงานจะประกอบด้วยลักษณะการเคลื่อนทงของมีดตัด และ  
 อดปฏบตการต่างๆของมีดตัด แฟ้มข้อมูลในการนเป็นทงเดินมีดตัดจะถูก  
 อดคำนวณด้วยตัวของหน่วยควบคุมเอง กรรมวแบบจะถูกจัดว่าเป็นการ  
 อดทำงานในลักษณะทงโปรแกรมต่อชนงานทงตระกูล(one program one  
 อดfamily )

### 2.2 การทำโปรแกรมชนงานแบบพารามิเตอร์ในระดับตัวควบคุมของเครื่องจักร(Parametrical Part Programming on controller level)

ในทงานองเดียวกันกับการโปรแกรมชนงานบนเครื่องคอมพิวเตอร์  
 อดส่วนบุคคลเราจะนำการวิเคราะห์แบบพีพีพีชิวและสร้างแมโครของ  
 อดโปรแกรมย่อย(macro subprograms) ทบโปรแกรมแมโครควบคุมเราไม่  
 อดสามารถสร้างโปรแกรมแมโครทรอบคลุมรูปทงทงทงเราคณิตทจะใช้  
 อดผลิตได้ทงหมด จงมีการพัฒนารูทง(routines) ทจะสามารถครอบคลุม  
 อดรูปแบบทงเราคณิตส่วนใหญ่ไว้แต่การโปรแกรมแมโครเหล่านกสามารถ  
 อดปรับแต่งไปใช้งานได้และผู้ใช้สามารถสร้างรูทงเฉพาะงานขึ้นมาใ  
 อดงานเองก็ได้ ชบรูทงของแมโครเตรียมสำหรับเครื่องมือหรืออุปกรณ์เฉพาะ  
 อดอย่างทลอดจนเครื่องมือและอุปกรณ์กลุ่มต่างๆ ทมลักษณะเดียวกันการ  
 อดโปรแกรมชนงานแบบพารามิเตอร์บนเครื่องคอมพิวเตอร์ส่วนบุคคลนเอง  
 อดดงนความแตกต่างทสำคัญของการโปรแกรมทงสองระดับนคคอบน  
 อดเครื่องคอมพิวเตอร์ส่วนบุคคลเราสามารถสร้างพารามิเตอร์สำหรับ  
 อดชนงานทงรูปร่างใดๆ ก็ได้ แต่ในส่วนของเครื่องควบคุมจะไม่  
 อดสามารถทำได้ทงรูปร่าง

### 2.3 สมการพารามิเตอร์(Parametrical Equations)

ในการอธิบายลักษณะของเส้นโค้ง(curves)ต่างๆ เวกเตอร์จะเป็น  
 อดเครื่องมือประโยชน์มาก ถ้าเรากำหนดเวกเตอร์ R เป็นฟังก์ช  
 อดนของสเกลาร์ t

เอกสารนี้เป็นเอกสารที่สงวนไว้สำหรับการใช้งานเพื่อการศึกษาเท่านั้น ไม่อนุญาตให้นำไปใช้ประโยชน์ด้านการค้า  
 ไม่ว่ากรณีใดๆ ทั้งสิ้น อีกทั้งห้ามมิให้ดัดแปลงเนื้อหา และต้องอ้างอิงถึงเจ้าของเอกสารทุกครั้งที่มีการนำไปใช้

เราอาจเขียนเวกเตอร์ฟังก์ชันออกมาได้ในรูป  $R = R(t)$  ซึ่งสำหรับเวกเตอร์ในระนาบเราอาจเขียนองค์ประกอบออกมาได้เป็น

$$R(t) = f(t)i + g(t)j \dots\dots\dots(2.3.1)$$

โดย  $f(t)$  เป็นฟังก์ชันที่หาค่าองค์ประกอบในแนวแกน  $x$  ของ  $R$  และ  $g(t)$  เป็นฟังก์ชันที่หาค่าองค์ประกอบในแนวแกน  $y$  ของ  $R$  เมื่อทราบค่าฟังก์ชันสเกลาร์  $f(t)$  และ  $g(t)$  เราจะสามารถหาค่าเวกเตอร์  $R(t)$  ได้ โดยความเป็นจริงแล้ว สมการ (2.3.1) เป็นเพียงแนวทางในการเขียนสมการอนุพันธ์อย่างย่อๆรูปแบบหนึ่ง นอก

$$x = f(t), \quad y = g(t) \dots\dots\dots(2.3.2)$$

สมการ (2.3.2) เรียกว่าสมการพาราเมตริก หรือ สมการอิงตัวแปรเสริม (parametric equations) โดย  $t$  จะถูกเรียกว่า พารามิเตอร์ (parameter) สมการพาราเมตริกช่วยให้สามารถกำหนดทิศทางของเส้นโค้งได้ โดยให้ทิศทางพารามิเตอร์มีค่าเพิ่มขึ้นเป็นบวก นอกจากนั้นยังสามารถกลับทิศทางของเส้นโค้งได้โดยจัดรูปแบบของพารามิเตอร์ให้เหมาะสม ดังนั้นเส้นโค้งบนระนาบนอกจากจะใช้สมการ (2.3.3) และ (2.3.4) เป็นตัวแทนแล้ว อาจใช้สมการ (2.3.2) หรือ (2.3.5) แทนก็ได้ ตัวอย่างสมการในระบบพิกัดฉาก

$$g(x,y) = 0 \text{ หรือ } y = f(x) \dots\dots\dots(2.3.3)$$

ตัวอย่างสมการเชิงขั้ว

$$g(r;\theta) = 0 \text{ หรือ } r = f(r;\theta) \dots\dots\dots(2.3.4)$$

ตัวอย่างสมการพาราเมตริก

$$x = x(t), \quad y = y(t) \dots\dots\dots(2.3.5a)$$

$$\text{หรือ } r = r(t), \quad \theta = \theta(t) \dots\dots\dots(2.3.5b)$$

สำหรับเส้นโค้งในกลุ่มนภาคตัดกรวย(conic section) ซึ่งนำมาใช้เป็นเส้นโค้งหลักในการศึกษา จะรูปแบบของสมการต่างๆดังนี้

ก.) วงรีและวงกลม รูปแบบสมการทั่วไปในระบบพิกัดฉากเป็น

$$\frac{(X-H)^2}{A^2} + \frac{(Y-K)^2}{B^2} = 1$$

ส่วนในรูปสมการพาราเมตริกจะได้เป็น

$$(X-H) = A \cos(t)$$

$$(Y-K) = B \sin(t)$$

โดยสมการทั้งสองรูปแบบจะเป็นวงกลมเมื่อ  $A = B$

ข.) พาราโบลา รูปแบบสมการทั่วไปในระบบพิกัดฉากเป็น

$$(Y-H) = (X-H)^2 / 4P$$

ส่วนในรูปสมการพาราเมตริกจะได้เป็น

$$(X-H) = 2Pt$$

$$(Y-K) = Pt^2$$

โดยความกว้างของพาราโบลาที่จุดโฟกัสค่าเท่ากับ  $4P$

ค.) ไฮเพอร์โบลา รูปแบบสมการทั่วไปในระบบพิกัดฉากเป็น

$$\frac{(X-H)^2}{A^2} - \frac{(Y-K)^2}{B^2} = 1; B = \sqrt{C^2 - A^2}$$

ส่วนในรูปสมการพาราเมตริกจะได้เป็น

$$(X-H) = A \sec(t)$$

$$(Y-K) = B \tan(t)$$

### 3. ระบบการทำงานแบบโต้ตอบ (Interactive System)

ระบบการทำงานแบบโต้ตอบมักจะใช้การแสดงผลผ่านหน้าจอกราฟิกส์เพื่อแสดงข้อมูลแก่ผู้ใช้งานอย่างมีประสิทธิภาพสามารถตอบสนองการเปลี่ยนแปลงหรือการแก้ไขข้อมูลตามความต้องการของผู้ใช้งานได้ดี ดังนั้นนักออกแบบส่วนต่อประสานกับผู้ใช้ (user interface designer) จะต้องคำนึงถึงปัญหาเหล่านี้ให้มากที่สุด

#### 3.1 การตรวจแก้ไขข้อมูลแบบโต้ตอบ(Interactive Data Editor)

ในการออกแบบ "การตรวจแก้ไขข้อมูล(data editor)" จะมีหลักการที่สำคัญจากพื้นฐานทางด้านวิศวกรรมที่เกี่ยวข้องกับมนุษย์(human engineering) ซึ่งองค์ประกอบที่สำคัญจะ ได้แก่

##### 3.1.1 ผลป้อนกลับ (feedback)

ผลป้อนกลับเป็นส่วนที่สำคัญมากของระบบการทำงานแบบโต้ตอบ โดยปกติแล้วผลป้อนกลับจะเกิดขึ้นจากการที่คำสั่งแต่ละอันเป็นที่ยอมรับของระบบ รูปแบบของผลป้อนกลับที่ให้คุณประโยชน์สูงสุดจะบอกผู้ใช้งานได้ว่าปฏิบัติการได้เสร็จสมบูรณ์แล้ว ในกรณีนี้มักจะมีการตัดแปลงหรือจัดหน้าจอการแสดงผลออกมาใหม่หรือมีการให้เสียงต่างๆบอกออกมาให้ทราบ

##### 3.1.2 ความต้องกัน (consistency)

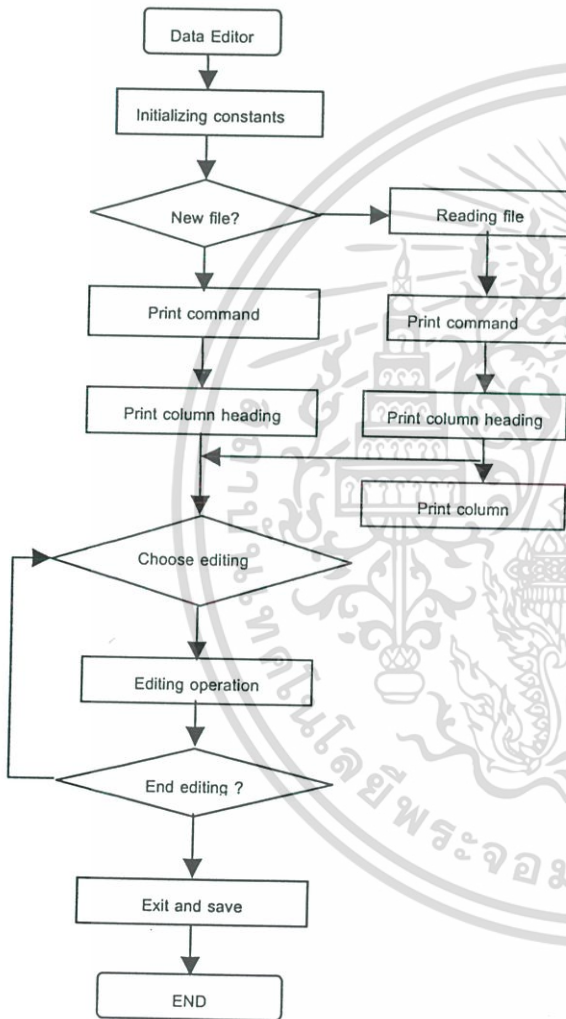
การสร้างความต้องกันหรือความสอดคล้องเข้าใจตรงกันนั้นตำแหน่งหน้าจอของหัวข้อต่างๆเช่น เมนู(menu), คำสั่ง(commands) และผลป้อนกลับ(feedback) เป็นสิ่งสำคัญมาก ปกติเราจะกำหนดส่วนต่างๆของหน้าจอไว้สำหรับหัวข้อต่างๆเหล่านี้ ความต้องกันนี้จะช่วยให้ผู้ใช้งานสามารถ

เอกสารนี้เป็นเอกสารที่สงวนไว้สำหรับการใช้งานเพื่อการศึกษาเท่านั้น ไม่อนุญาตให้นำไปใช้ประโยชน์ด้านการค้า ไม่ว่ากรณีใดๆ ทั้งสิ้น อีกทั้งห้ามมิให้ดัดแปลงเนื้อหา และต้องอ้างอิงถึงเจ้าของเอกสารทุกครั้งที่มีการนำไปใช้

หาหัวข้อเมนูที่ต้องการได้อย่างรวดเร็ว สำหรับตัวอย่างในการสร้างความต้องกันเอาไว้ได้แก่ การใช้รหัสสี(color coding) และการใช้คีย์ต่าง ๆ

3.1.3 การจำน้อยที่สุด (minimal memorization)

หลักการที่สำคัญสำหรับการนึกคำสั่งจำเป็นที่จะต้องจำให้อยู่ในรูปแบบที่จำได้ง่ายที่สุดเท่าที่จะทำได้ และถ้าหลีกเลี่ยงได้ต้องพยายามอย่าให้มีสิ่งที่จะต้องจำในการปฏิบัติการ ซึ่งตัวอย่างตรรกะของการโปรแกรมคอมพิวเตอร์(computer programming logic) ของการตรวจแก้ข้อมูลได้แสดงผังงานในรูปที่ 1



รูปที่ 1 แสดงโฟลชาร์ตของการตรวจแก้ข้อมูล

3.2 การใช้คอมพิวเตอร์ช่วยในการออกแบบและการผลิตเชิงโต้ตอบ(Interactive Computer-Aided Design and Manufacture)

การออกแบบและการผลิตแบบใช้คอมพิวเตอร์ช่วยจะใช้ศาสตร์ทางด้านเรขภาพคอมพิวเตอร์(computer graphics) มาใช้เป็นเครื่องมือในการทำงานโดยจะมีการพัฒนาชุดคำสั่งกราฟิกส์(graphics commands) ที่ใช้คีย์บอร์ดเป็นอุปกรณ์สำคัญสำหรับป้อนอินพุท อาจมีการใช้ฟังก์ชันคีย์(function key) ในคำสั่งกราฟิกส์หรือมีการออกแบบหน้าจอในรูปของคำสั่งที่ทำงานตามรายการเลือก(menu-driven commands) ข้อความพร้อมรับ(prompt) และข้อความบอกสถานะ(status messages)ที่แสดงผลออกมาตามข้อมูลกราฟิกส์ประกอบอยู่ด้วย

4 การโปรแกรมชิ้นงาน

ในการใช้โปรแกรมภาษา Visual Basic มาสร้างโปรแกรมชิ้นงาน CNC แบบเชิงโต้ตอบนั้น สามารถนำมาเขียนเป็นไฟล์ชาร์ตได้ดังรูปที่ 2 ซึ่งมีรายละเอียดดังนี้

ขั้นตอนที่ 1 กำหนดค่าพื้นฐานเบื้องต้น ได้แก่ การกำหนดพื้นที่วาดรูป โดยกำหนดให้สามารถแสดงรูปทั้งหมดได้ในขอบเขต ซึ่งผู้ที่ใช้งานจะเป็นผู้ที่ป้อนค่าเข้าไป

ขั้นตอนที่ 2 รับเงื่อนไขการวาดรูป ซึ่งในที่นี้แบ่งออกได้เป็น Line Circle Ellipse Parabola Hyperbola และรับค่าตัวแปร ดังนี้

- คำสั่ง Line รับค่า X1,X2,Y1,Y2
- คำสั่ง Circle รับค่า H,K,X1,X2,Y1,Y2,R
- คำสั่ง Ellipse รับค่า H,K,X1,X2,Y1,Y2,A,B
- คำสั่ง Parabola รับค่า H,K,X1,X2,Y1,Y2,P
- คำสั่ง Hyperbola รับค่า H,K,X1,X2,Y1,Y2,WA,WB

หลังจากนั้นทำการคำนวณค่าเมตริกซ์ [X] , [Y] แล้วทำการตรวจสอบสถานะว่ามีการเปิดไฟล้งานเพื่อบันทึกค่า G-Code หรือไม่ ถ้ายังโปรแกรมก็จะมกลองข้อความให้กรอกชื่อไฟล้งาน หลังจากนั้นก็จะทำการอ่านค่าเมตริกซ์ที่ได้จากการคำนวณ

ขั้นตอนที่ 3 แสดงรูปภาพที่ได้จากข้อมูลป้อนเข้า และแสดง G-Code ที่ได้จากการประมวลผลข้อมูลแสดงออกไปยังหน้าจอของโปรแกรม

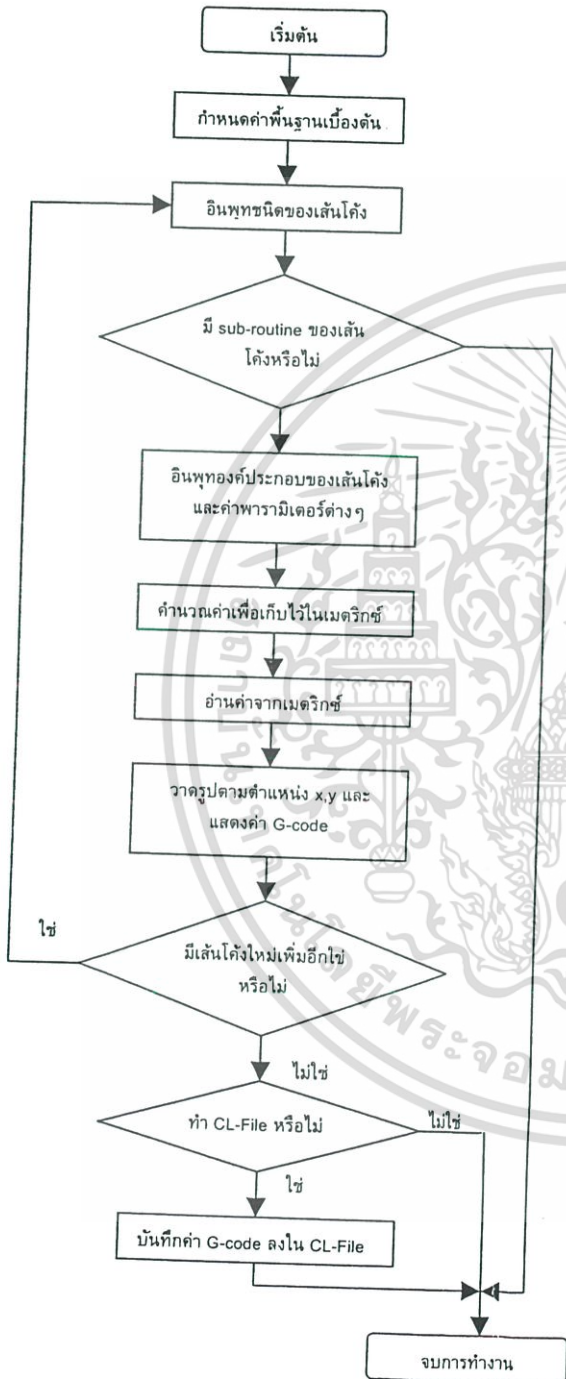
ขั้นตอนที่ 4 ตรวจรับคำสั่งเขียนเส้นเพิ่มเติม ถ้ามีก็ทำซ้ำโดยเริ่มจากขั้นตอนที่ 1-3 ถ้าไม่มีคำสั่งโปรแกรมจะสอบถามต้องการบันทึกค่า CL-File หรือไม่ก่อนจะออกจากโปรแกรม

หลังจากจบขั้นตอนการป้อนข้อมูลทั้งหมดของโปรแกรมแล้วสามารถนำไปไฟล้งานที่บันทึกค่า G-Code มาตรวจสอบหรือปรับปรุงเพิ่มเติมได้ด้วยโปรแกรม "Note pad" ซึ่งสามารถส่งถ่ายไปยังเครื่องจักร CNC เพื่อทำการผลิตชิ้นงานต่อไป

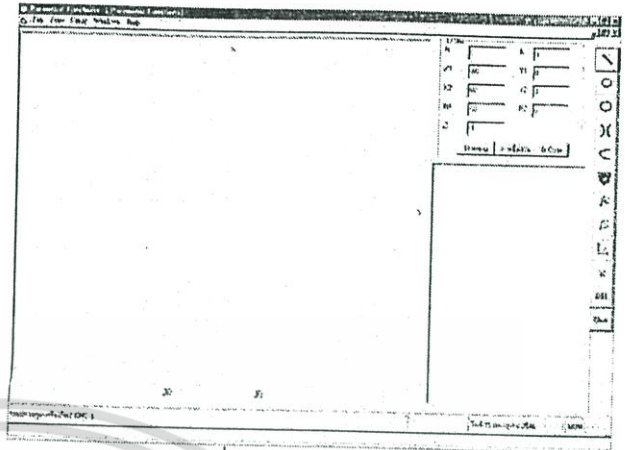
5 วิธีการใช้งานโปรแกรม

เมื่อทำการเปิดโปรแกรมจะพบเมนูหลักของโปรแกรมดังที่แสดงดังรูปที่ 3 ซึ่งใช้สำหรับเขียนแบบงานตามรูปร่างพื้นฐานที่กำหนด ได้แก่ Line Circle Ellipse Parabola Hyperbola ซึ่งก่อนเริ่มเขียนรูปผู้ใช้งานต้องกำหนดขนาดพื้นที่เพื่อสำหรับวาดรูปเสียก่อนดังแสดงเป็นกรอบโต้ตอบในรูปที่ 4 แล้วจึงทำการคลิกไอคอนรูปร่างพื้นฐานที่กำหนดเพื่อแสดงกรอบได้

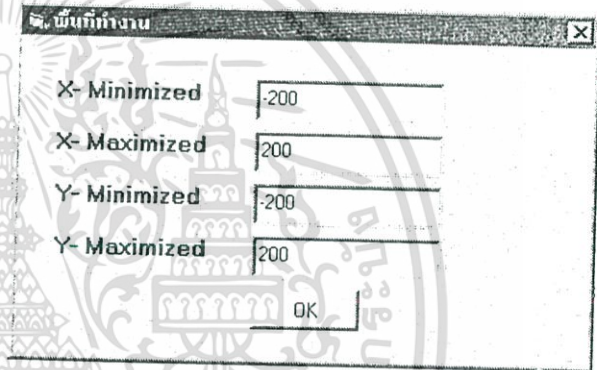
ตอนเพอร์รับข้อมูลจะป้อนเข้า เมอป้อนข้อมูลครบถ้วนแล้วโปรแกรมก็  
จะแสดงรูปภาพและค่าG-Code หลังจากนั้นทำการบันทึกบันทึกค่าลงบน  
ไฟล์งานทงขอไว้



รูปที่2 แสดงขั้นตอนการทำงานของโปรแกรม



รูปที่3 แสดงเมนูหลักของโปรแกรม



รูปที่4 แสดงเป็นกรอบโต้ตอบการระบุพื้นที่ในการสร้างรูป

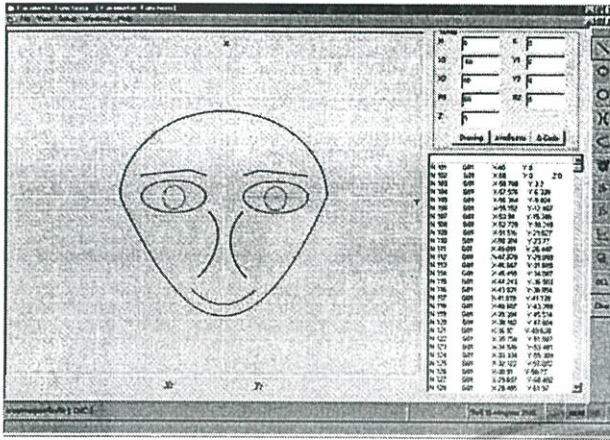
6 ผลการทดสอบโปรแกรม

จากการทดสอบป้อนข้อมูลดังตารางที่ 1 ได้ผลการทดลองตามรูปที่5  
ซึ่งแสดงการเขียนรูปที่และค่าG-Code ซึ่งสามารถนำไปใช้เชื่อมโยงกับ  
เครื่องจักรCNC ทำให้สามารถทำให้เกิดชิ้นงานดังรูปที่6

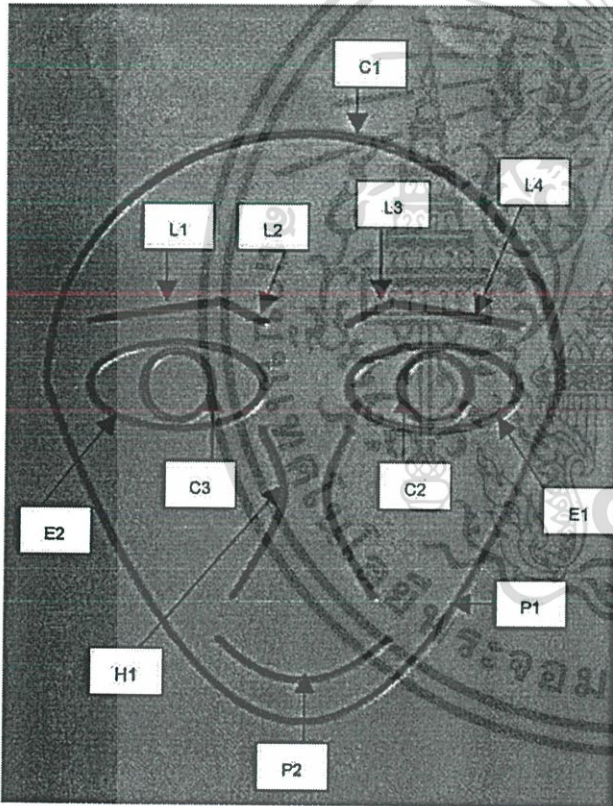
ตารางที่1 แสดงค่าข้อมูลที่ป้อนเข้าสู่โปรแกรม

PATH	SHAPE	H	K	X1	Y1	X2	Y2	P	R	A	B	WA	WB
P1	Parabola	0	-80	-60	0	60	0	11	-	-	-	-	-
C1	Circle	0	0	60	0	-60	0	-	60	-	-	-	-
L1	Line	-	-	-50	15	-20	20	-	-	-	-	-	-
L2	Line	-	-	-20	20	-10	15	-	-	-	-	-	-
L3	Line	-	-	10	15	20	20	-	-	-	-	-	-
L4	Line	-	-	20	20	50	15	-	-	-	-	-	-
E1	Ellipse	30	0	50	0	50	0	-	-	20	10	-	-
C2	Circle	30	0	38	0	38	0	-	8	-	-	-	-
E2	Ellipse	-30	0	10	0	10	0	-	-	20	10	-	-
C3	Circle	-30	0	-22	0	-22	0	-	8	-	-	-	-
H1	Hyperbola	0	-25	10	-10	15	-50	-	-	-	-	5	8
P2	Parabola	0	-70	-20	-60	20	-60	10	-	-	-	-	-

เอกสารนี้เป็นเอกสารที่สงวนไว้สำหรับการใช้งานเพื่อการศึกษาเท่านั้น ไม่อนุญาตให้นำไปใช้ประโยชน์ด้านการค้า  
ไม่ว่ากรณีใดๆ ทั้งสิ้น อีกทั้งห้ามมิให้ดัดแปลงเนื้อหา และต้องอ้างอิงถึงเจ้าของเอกสารทุกครั้งที่มีการนำไปใช้



รูปท5 แสดงผลที่ได้จากการป้อนข้อมูลเข้าสู่โปรแกรม



รูปท6 แสดงผลที่ได้จากการทดสอบโปรแกรมกับเครื่องจักรCNC

7 สรุป

การโปรแกรมขนงานแบบพารามิเตอร์สามารถนำมาประยุกต์ใช้กับกระบวนการผลิตต่างๆ ได้ ไม่ว่าจะเป็นระดับการผลิตจำนวนน้อยๆ หรือการผลิตขนาดใหญ่ โดยทฤษฎีปฏิบัติงานไม่ต้องทำการเขียนG-codeเอง และยังสามารถตรวจสอบความถูกต้องของข้อมูลได้จากรูปทแสดงในโปรแกรม อีกทั้งยังทำขนงานที่มีรูปร่างเดียวกันหรืออยู่ในตระกูลเดียวกัน โดยไม่ต้องเขียนขนงานใหม่ทั้งหมด รวมถึงการทำขนงานที่มีรูปร่างซับซ้อนได้ง่ายขน ขงจะทำให้เกิดผลประโยชน์ตอบแทนสูงมากแม้ว่าจะเป็นการทำงานในช่วงสั้นๆ และมีการขีดจำกัดจากปัญหาทางด้านพนักงานน้อยกว่า ทำให้เกิดผลผลิตที่ทราบกว่าทงในด้านโปรแกรมขนข้อมูลและการทำงาน ประการสุดท้ายที่สำคัญคือมันเป็นระบบทสร้างสรรค์และตงอยู่บนทักษะความชำนาญของผู้ใช้ซึ่งให้ความคล่องตัวในการใช้งานสำหรับผู้ใช้เป็นอย่างมาก

เอกสารอ้างอิง

- [1] Dann D'Hont "Off Line Parametrical Programing Facilities for Stand Alone CNC Machine Toos" การประชุมใหญ่ทางวิชาการ หัวข้อเทคโนโลยีใหม่ในงานวิศวกรรม วิศวกรรมสถานแห่งประเทศไทยในพระบรมราชูปถัมภ์, 26-28 ตุลาคม 2532 หน้า810 -816
- [2] บุญชู ลีลาจรจิต บุญสืบ ราชรัตนารักษ์ ทวี เทศเจริญ อัครเดช สินธุภัก, "การประยุกต์ใช้โปรแกรมภาษาเบสิกกับขนงานCNCรูปแพนอากาศ", การประชุมวิชาการเครือข่ายวิศวกรรมเครื่องกลแห่งประเทศไทยครงท 14, ปี พ.ศ. 2543 หน้า 84-92
- [3] เลิศ สิทธิโกศล, " เรขาคณิตวิเคราะห์และแคลคูลัส II " บริษัท สกายบุคส์ จำกัด, ปี พ.ศ. 2544, หน้า 75-81
- [4] Dusko Savic "BASIC Interactive Graphics" Buttenworth & Co (Publishers) Ltd., 1985
- [5] Roy E. Myers. "Microcomputer Graphics "Addison-Wesley Publishing Company, Inc., U.S.A., 1982
- [6] Y. C. PAO "Elements of Computer-Aicd Design and Manufacturing" John Wiley & Sons, Inc., U.S.A., 1984
- [7] C. S. Park, " Interactive Microcomputer Graphics " Addison-Wesley Publishing Company, 1985, 458 p.
- [8] A. W. Goodman, " Analytic Geometry and the Calculus " 4th edition, Macmillan Publishing Co., Inc., 1980, pp.582-662

เอกสารนี้เป็นเอกสารที่สงวนไว้สำหรับการใช้งานเพื่อการศึกษาเท่านั้น ไม่อนุญาตให้นำไปใช้ประโยชน์ด้านการค้า ไม่ว่าจะกรณีใดๆ ทั้งสิ้น อีกทั้งห้ามมิให้ดัดแปลงเนื้อหา และต้องอ้างอิงถึงเจ้าของเอกสารทุกครั้งที่มีการนำไปใช้

## ประวัติผู้เขียน

นายรัฐพล นวมพิพัฒน์ เกิดเมื่อวันที่ 5 ตุลาคม 2515 ที่กรุงเทพฯ สำเร็จการศึกษาระดับปริญญาตรี จากคณะวิศวกรรมศาสตร์ สาขาเทคโนโลยีการผลิต สถาบันเทคโนโลยีพระจอมเกล้าพระนครเหนือ ปีการศึกษา 2540 หลังจากสำเร็จการศึกษาแล้วได้เข้าทำงานที่ บริษัท อลูคอน จำกัด (มหาชน) ในตำแหน่งวิศวกรซ่อมบำรุง จนถึงปัจจุบัน

### สิ่งตีพิมพ์และผลงานทางวิชาการ

- 2544 “ผลกระทบพฤติกรรมการลดเสียงของอุปกรณ์ลดเสียงความถี่สูงแบบHelmholtz”  
วิศวกรรมสาร ฉบับวิจัยและพัฒนา ปีที่ 12 ฉบับที่ 4
- 2546 “การทำโปรแกรมชิ้นงานCNCแบบเชิงโต้ตอบ” การประชุมวิชาการเครือข่าย  
วิศวกรรมเครื่องกลแห่งประเทศไทยครั้งที่ 17 วันที่15-17 ตุลาคม 2546 จังหวัดปราจีนบุรี

